

Stapfia

LINZ, 23. MÄRZ 1984

Publikation der
Botanischen Arbeitsgemeinschaft am O.Ö.
Landesmuseum Linz

ATLAS DER AKTUELLEN VERBREITUNG VON FLECHTEN IN OBERÖSTERREICH

von Roman Türk und Helmut Wittmann, Salzburg

ATLAS DER AKTUELLEN VERBREITUNG VON FLECHTEN IN OBERÖSTERREICH

von Roman Türk und Helmut Wittmann, Salzburg

In Dankbarkeit den Eltern gewidmet

INHALTSVERZEICHNIS

1. Einleitung	3
1.1. Rückgang der Flechten	3
1.2. Allgemeine Erläuterungen zur Artenliste und zu den Verbreitungskarten	5
1.3. Liste der Mitarbeiter und Danksagung	6
2. Darstellung von Geologie, Klima, Höhenstufengliederung und Bearbeitungsstand in Form von Rasterkarten	7
3. Liste der Flechtenarten	12
4. Literatur	27
5. Verbreitungskarten	29

1. EINLEITUNG

Angeregt durch den Aufruf zur Flechten- und Mooskartierung in Mitteleuropa von PHILIPPI & WIRTH (1973) werden auch in Österreich Untersuchungen über die Verbreitung von Flechten auf Grundfeldbasis (vgl. NIKLFELD 1971) durchgeführt. Da eine Bearbeitung des gesamten österreichischen Bundesgebietes nicht in absehbarer Zeit erfolgen kann, wurde vorerst versucht, die Flechtenverbreitung in einem Bundesland - und zwar Oberösterreich - schwerpunktmäßig zu erfassen. Gerade das Bundesland Oberösterreich mit einer Fläche von ca. 11.990 km² schien uns deshalb besonders geeignet, da es eine relativ klare geologische, morphologische und klimatische Gliederung aufweist.

Im Norden erstreckt sich die Böhmischa Masse, die im nördlichen und östlichen Mühlviertel Mittelgebirgscharakter zeigt. Südlich schließt die kollin-montane Stufe des Alpenvorlandes an (Jüngeres Tertiär, Diluvium, Alluvium). Der Süden des Bundeslandes wird von der Flyschzone (Jüngere Kreide bis Eozän) und dem oberösterreichischen Anteil der Nördlichen Kalkalpen (Trias, Jura bis ältere Kreide), die von der hochmontanen bis zur nivalen Stufe reichen, eingenommen (vgl. dazu Abb. 1 und 2).

Die Verteilung der mittleren Jahrestemperaturen entspricht weitgehend der Höhenstufengliederung (vgl. Abb. 3). Die mittleren Jahresniederschläge nehmen von Norden bis Süden zu. In der Böhmischa Masse weisen der Norden und Westen höhere Niederschlagsraten auf als der zentrale Bereich des Mühlviertels (vgl. Abb. 4). Schon diese an sich grobe Gliederung kommt in den Verbreitungskarten vieler Flechtenarten deutlich zum Ausdruck.

1.1. Rückgang der Flechten

In den letzten Jahren ist im gesamten mitteleuropäischen Raum ein drastischer Rückgang vor allem der epiphytischen Flechten zu verzeichnen (vgl. WIRTH 1976; WIRTH & FUCHS, 1980). Auch in Oberösterreich konnte festgestellt werden, daß einige Arten infolge der negativen anthropogenen Einflüsse sogar innerhalb des Kartierungszeitraumes von acht Jahren seltener wurden oder über weite Strecken deutliche Anzeichen

einer Vitalitätsverminderung zeigen. Aus diesem Grunde wurde vor allem der Verbreitung von epiphytischen Flechtenarten besondere Beachtung geschenkt. Durch den Vergleich mit der älteren Literatur (POETSCH & SCHIEDERMAYR 1872; 1894) wird das wahre Ausmaß dieser Entwicklung deutlich, wie am Beispiel von *Lobaria pulmonaria* und *Menegazzia terebrata* bereits gezeigt wurde (TÜRK, WITTMANN & PILSL 1982).

Es ist absehbar, daß selbst heute noch häufige und weit verbreitete Arten in wenigen Jahrzehnten selten bzw. aus weiten Gebieten ihres Areals gänzlich verschwinden werden. Es ergibt sich also die Notwendigkeit einer möglichst raschen Inventarisierung nicht nur aus arealkundlichen sondern auch aus humanrelevanten ökologischen Gesichtspunkten. Denn ein möglichst umfassender Datenschatz ist die unbedingte Voraussetzung, um aus der zukünftigen Entwicklung der Flechtenvegetation Rückschlüsse auf die Veränderungen verschiedener Umweltbedingungen ziehen zu können.

Dies wird auch durch die Tatsache unterstrichen, daß Flechten beispielsweise eine wichtige Rolle als Bioindikatoren für Luftverunreinigungen spielen. WIRTH (1976) hebt neben den Luftverunreinigungen u.a. forstwirtschaftliche Maßnahmen, die landwirtschaftliche Nutzung und den Einfluß von Folgeerscheinungen des Fremdenverkehrs als Ursachen für den Rückgang bzw. das Verschwinden von Flechten in der Bundesrepublik Deutschland hervor. Diese Ursachen sind ohne Einschränkung auch für Österreich gültig.

Der Einfluß von Luftverunreinigungen auf das Flechtenwachstum durch Immissionen von Industrie, Verkehr und Hausbrand ist in den industriellen und urbanen Ballungszentren des oberösterreichischen Zentralraums zwar sehr deutlich, er kommt aber in den Verbreitungskarten von a priori häufigen Arten noch nicht zum Ausdruck. Denn zum einen ist der verwendete Raster für immissionsbezogene Aussagen zu grob, zum anderen wird auch das spärliche Vorkommen bzw. das Auftreten von Kümmerformen mit einem Punkt im Grundfeld angegeben. Immissionsbezogene Kartierungen auf der Basis kleinerer Rasterfelder (z.B. 1 km²) weisen auf den drastischen Rückgang vieler Arten hin (vgl. z.B. BORTENSCHLAGER & SCHMIDT 1963a; 1963b; HOISLBAUER 1979; TÜRK & HOISLBAUER 1978). Im Innviertel wird die Flechtenvegetation über weite Bereiche offensichtlich durch Schadstoffwirkungen sowohl der heimischen als auch der westlich gelegenen Großemittenten stark beeinflußt.

In welchem Zusammenhang eine Beeinträchtigung des Flechtenwachstums mit dem in der letzten Zeit viel diskutierten Waldsterben steht, bedarf noch weiterer, eingehender Untersuchungen. Nach unseren bisherigen Beobachtungen ist im Bereich der Industriezentren eine strenge Korrelation zwischen den auftretenden Schädigungen bei Flechten und den Symptomen des Baumsterbens gegeben. Im Gegensatz dazu zeigt bereits ein hoher Prozentsatz der Nadelbäume (Fichte, Tanne) in den industriefernen Alpentälern (z.B. südliches Ennstal, Steyrtal, Almtal) die typischen Schadbilder, während die epiphytische Flechtenvegetation noch keine äußerlich sichtbaren Schädigungen erkennen läßt. Da aber gerade die epiphytischen Flechten gegenüber dem direkten Einfluß von sauren Abgasen (z.B. SO₂) äußerst empfindlich reagieren (vgl. TÜRK et al. 1974; HAWKSWORTH & ROSE 1976) liegt der Schluß nahe, daß für die Bäume ein anderer Schädigungsmechanismus als die direkte Einwirkung von sauer reagierenden Abgasen vorliegt.

Eine starke Beeinträchtigung der Flechtenvegetation stellen forstwirtschaftliche Maßnahmen dar. Wie WIRTH (1976) ausführte, sind Kahlschläge, die Begünstigung der Fichte, das Anlegen von Monokulturen und das Fehlen vermorschender Stämme für den Rückgang zahlreicher Arten verantwortlich.

Die wenigen Reste naturnaher Wälder, in denen Altbäume und Baumleichen noch vorhanden sind (z.B. Reichraminger Hintergebirge, Sengsengebirge, Totes Gebirge), vermitteln einen Eindruck der ehemaligen Flechtenvegetation in ihrem üppigen Wachstum und ihrer Artenvielfalt. Angesichts eines Vergleiches mit den stark verarmten Monokulturen, die ohne Berücksichtigung der ökologischen Vielfalt angelegt und genutzt werden, drängt sich die Forderung nach Unterschutzstellung dieser Refugien schon allein auf Grund der Flechtenvegetation auf.

Ein weiterer negativer Einfluß ist der überdimensionierte Ausbau von Forstwegen und Forststraßen, die eine tiefgreifende Veränderung des Bestandesklimas zur Folge haben. Nach eigenen Beobachtungen sterben vor allem hygrisch anspruchsvolle Arten im Bereich von neu angelegten Forststraßen innerhalb kurzer Zeit ab. Als Grund hierfür kann die Verstärkung der konvektiven, aufwärtsgerichteten Luftströmungen in dem ehemals geschlossenen Waldbestand angesehen werden. Dieser Effekt ist gebietsweise noch 50 bis 100 m im Waldesinneren zu beobachten und tritt verstärkt in den Hanglagen auf. Dasselbe gilt für das Anlegen von Schipisten und Liftanlagen im Waldbereich.

Ferner trägt zur weiteren Dezimierung der Flechtenflora das Schlägern von Straßenbäumen und alten Obstbäumen bei. Ihre zumeist staubimprägnierte, eutrophierte Borke ist als Substrat für die Entwicklung artenreicher, synanthroper Flechtengesellschaften von großer Bedeutung. Weitere kausale Zusammenhänge zwischen dem Rückgang von Flechten und Veränderungen der Umwelt sind bei WIRTH (1976) und WIRTH & FUCHS (1980) eingehend erörtert.

1.2. Allgemeine Erläuterungen zur Artenliste und zu den Verbreitungskarten

In der Artenliste sind 542 Taxa in alphabetischer Reihenfolge verzeichnet. Liegen Fundmeldungen einer Art aus mindestens drei Grundfeldern vor, erfolgt die Darstellung in Form einer Rasterkarte, bei Arten, die nur in einem oder in zwei Grundfeldern festgestellt wurden, werden die Fundorte angeführt. Ein Punkt in einem Grundfeld repräsentiert das Vorkommen einer Art unabhängig von ihrer Frequenz (Individuenzahl pro Grundfeld) und ihrer Vitalität. In dem Kartierungszeitraum von 1975 bis 1983 wurden über 12.000 Fundmeldungen in 120 Grundfeldern (Meßtischblätter) registriert. In die Artenliste und die Verbreitungskarten wurden auch Angaben aus den benachbarten Bundesländern aufgenommen, sofern die Fundorte in unmittelbarer Grenznähe liegen. Die Auswertung erfolgte durch direktes Übertragen der Geländelisten* bzw. von Einzelfunden in gerasterte Verbreitungskarten. Einzelne Angaben wurden den Arbeiten von SCHAUER (1965), RICEK (1970; 1983) und HOISLBAUER (1979) entnommen.

Wie POELT und VEŽDA (1977) ausführen, sind "große und sippentreiche Gattungen oder Artengruppen noch immer ganz unzureichend bekannt". Aus diesem Grunde haben wir auf die Darstellung der Verbreitung der Gattungen *Aspicilia*, *Catapyrenium*, *Lempholemma* und *Verrucaria* (vgl. WIRTH 1980) verzichtet, sowie verschiedene gesteinsbewohnende *Caloplaca*-Arten (z.B. aus der *velana*-Gruppe) und einen Teil der Usneen nicht behandelt. Die aus Oberösterreich stammenden Proben der Gattung *Catapyrenium* werden derzeit im Rahmen einer Gesamtrevision dieser Gattung von Herrn Mag. O. BREUSS (Wien) bearbeitet.

Die Verfasser sind sich dessen bewußt, daß weder die Artenliste noch die Verbreitungskarten aller hier angeführten Flechten Anspruch auf Vollständigkeit erheben können. Dies gilt vor allem für viele gesteinsbewohnende Gattungen. Deshalb betrachten wir die vorliegende Arbeit als Anregung für das eingehende Studium der Verbreitung kritischer und schwierig ansprechbarer Verwandtschaftskreise, womit auch die Bitte um weitere Mitarbeit an der Erfassung der Flechtenflora Oberösterreichs verbunden ist.

Die ökologische Charakteristik der hier verzeichneten Arten ist bei POELT (1969), POELT & VEŽDA (1977; 1981) und WIRTH (1980) ausführlich dargestellt, die Nomenklatur folgt ebenfalls diesen Arbeiten.

* Für die Überlassung der Geländelisten für die Flechtenkartierung in der Bundesrepublik Deutschland sind wir Herrn Dr. habil. V. WIRTH zu großem Dank verpflichtet.

Obwohl arealprägende ökologische Parameter im Verbreitungsmuster vieler Flechtenarten beim Vergleich mit geologischen, klimatischen und orographischen Daten klar hervortreten, soll eine tiefergehende kausale Interpretation einer österreichweiten Darstellung vorbehalten bleiben.

Belege sämtlicher kartierter Taxa befinden sich in den Privatsammlungen der Autoren, teilweise wurden Dubletten in den Herbarien der Universität Salzburg (SZU) und des Oberösterreichischen Landesmuseums (LI) hinterlegt.

1.3. Liste der Mitarbeiter

Hannes AUGUSTIN (Mettmach), Dr. Franz BERGER (Kopfing), Mag. Germana BERNSTEINER (Piesendorf), Mag. Othmar BREUSS (Wien), Wolfgang BRUNNBAUER (Wien), Dr. Helene CZEIKA (Wien), Franz GRIMS (Taufkirchen/Pram), Univ.-Prof. Dr. Robert KRISAI (Braunau), Dr. Renate LASOTA-CHRIST (Wien), Mag. Dagmar NÖTZL (Amstetten), Mag. Peter PILSL (Ried/Innkreis), Norbert SPENLING + (Krems), OSTR Susanne WAGNER (Spittal/Drau), Eva WESELY (Weyer), Elfie WÖRGÖTTER (Salzburg) und Mag. Manfred WEIGERSTORFER (Kremsmünster).

Ihnen gebührt unser aufrichtiger Dank für die Mitteilung von Einzelfunden, Erstellung von Florenlisten bzw. die Überlassung von Aufsammlungen. Für wertvolle Hinweise, anregende Diskussionen sowie für die Bestimmung und Überprüfung zahlreicher Flechtenproben sind wir den Herren Univ.-Prof. Dr. Josef POELT (Graz) und Dr. habil. Volkmar WIRTH (Ludwigsburg) zu größtem Dank verpflichtet. Weiters waren uns die Bestimmung und Revision einiger kritischer Formenkreise durch die Herren Doz. Dr. Josef HAFELLNER und Dr. Helmut MAYRHOFER (beide Graz) eine große Hilfe, wofür ihnen an dieser Stelle herzlich gedankt sei, ebenso Herrn Univ.-Prof. Dr. Harald NIKLFELD für die Überlassung der Österreich-Rasterkarte.

2. DARSTELLUNG VON GEOLOGIE, KLIMA, HÖHENSTUFENGLIEDERUNG UND BEARBEITUNGSSTAND IN FORM VON RASTERKARTEN

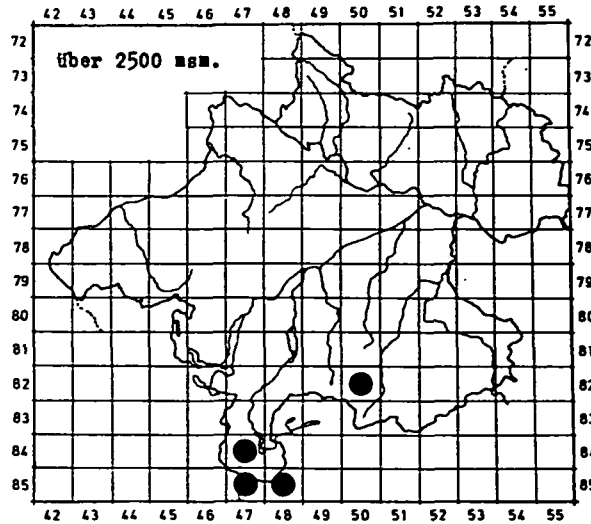
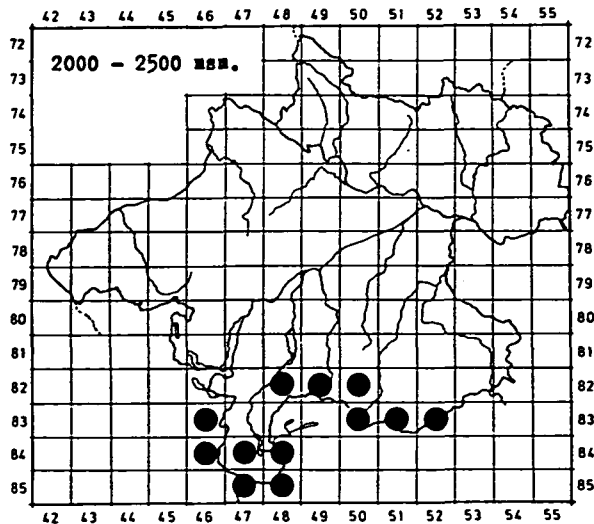
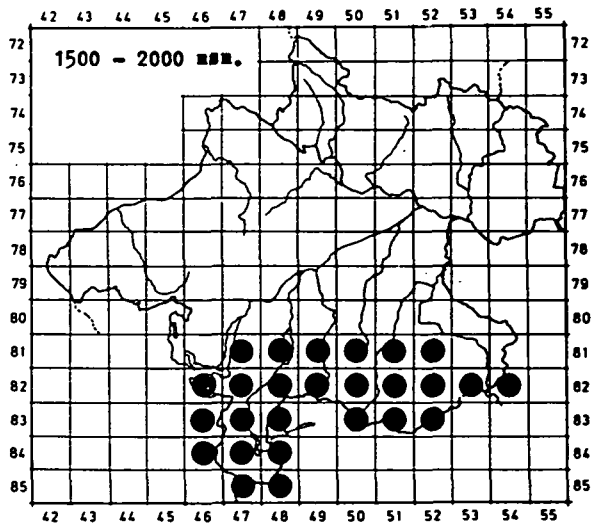
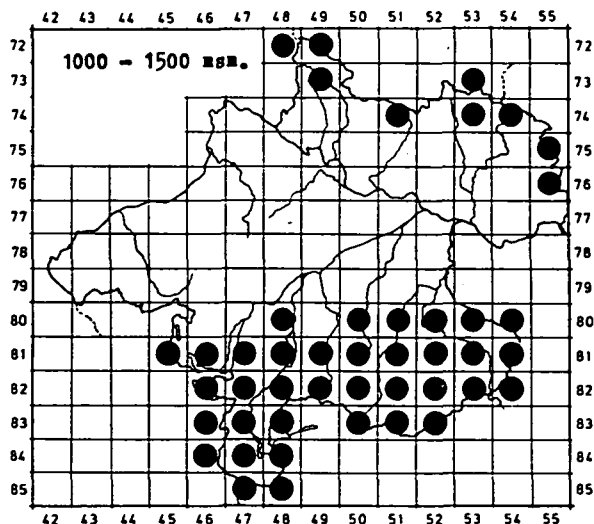
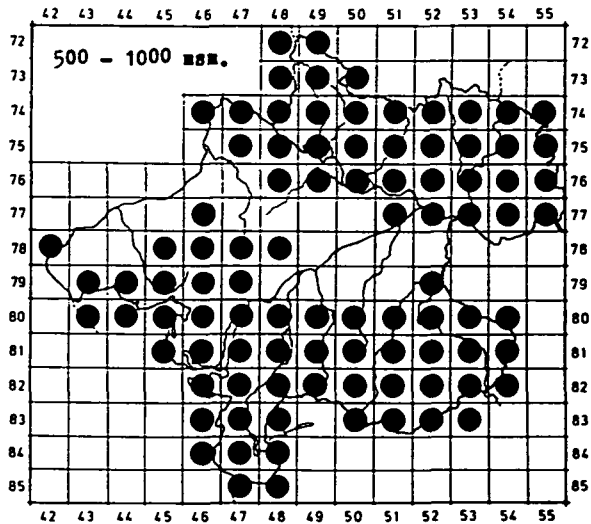
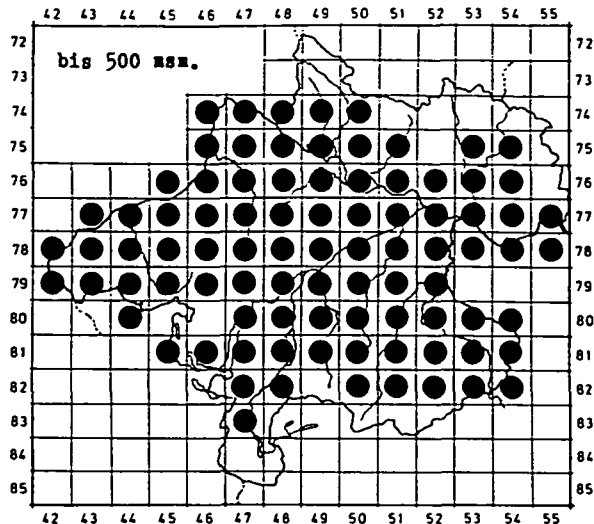


Abb. 1: Verteilung der Seehöhen

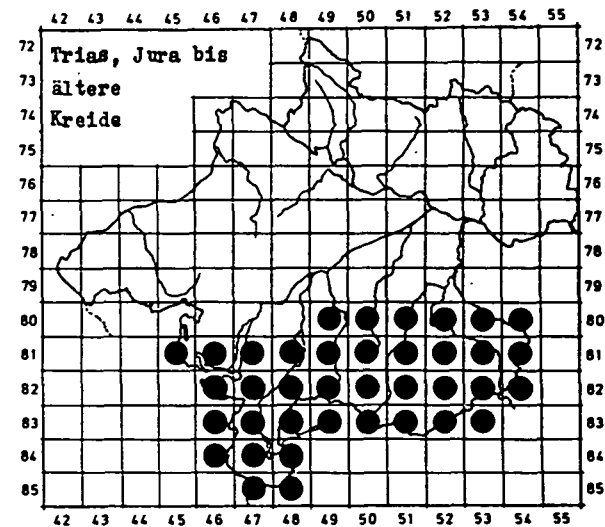
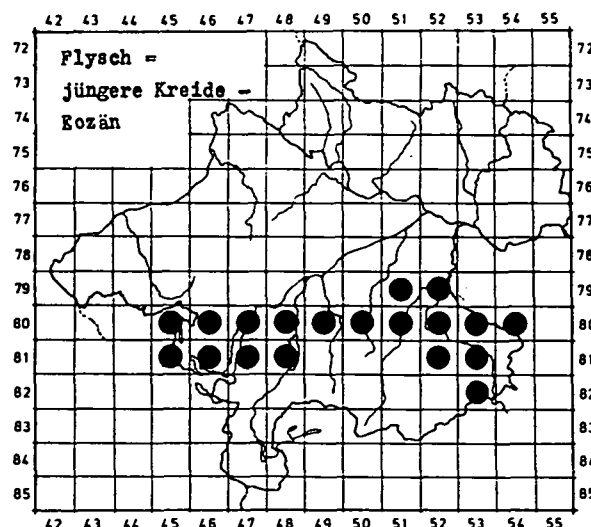
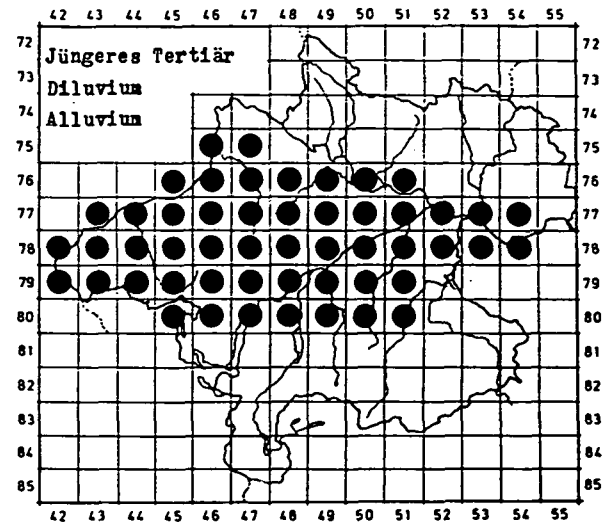
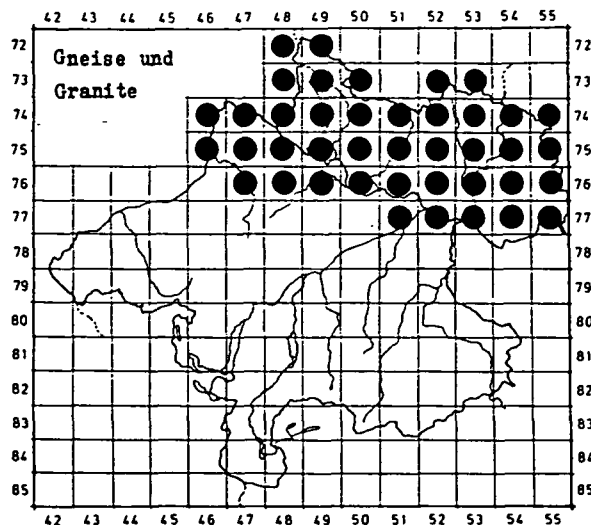


Abb. 2: Geologische Übersicht (Grundlage JANIK 1969)

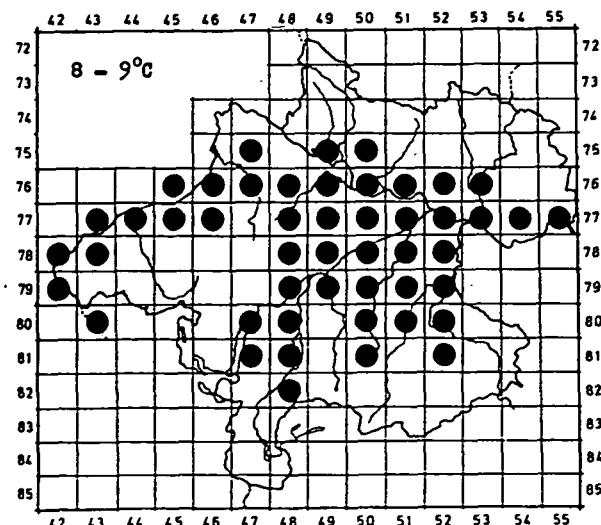
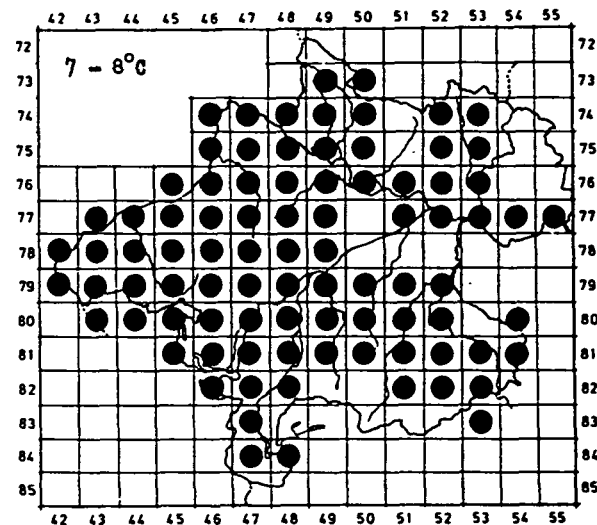
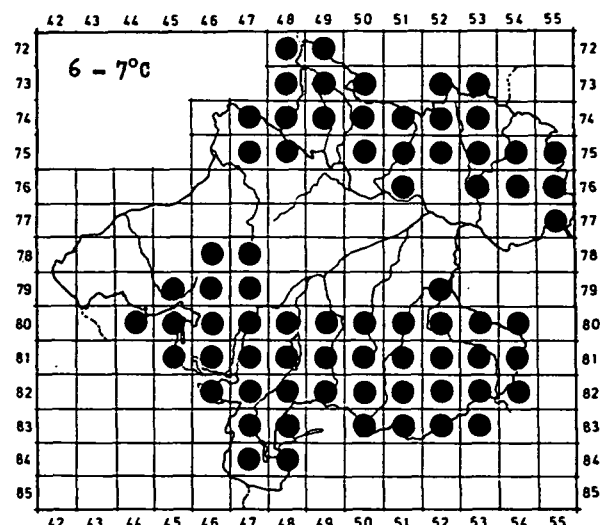
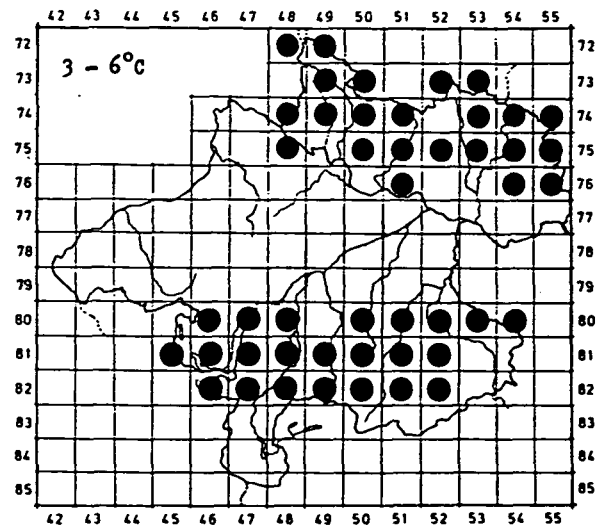
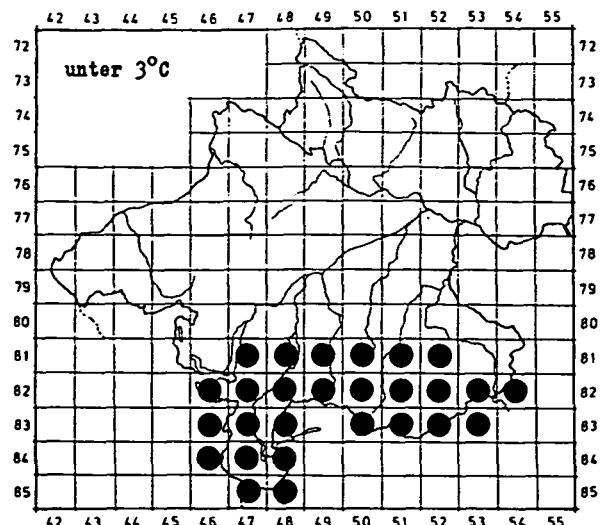


Abb. 3: Mittlere Jahrestemperaturen
1901 — 1950
(Grundlage KOHL 1958)

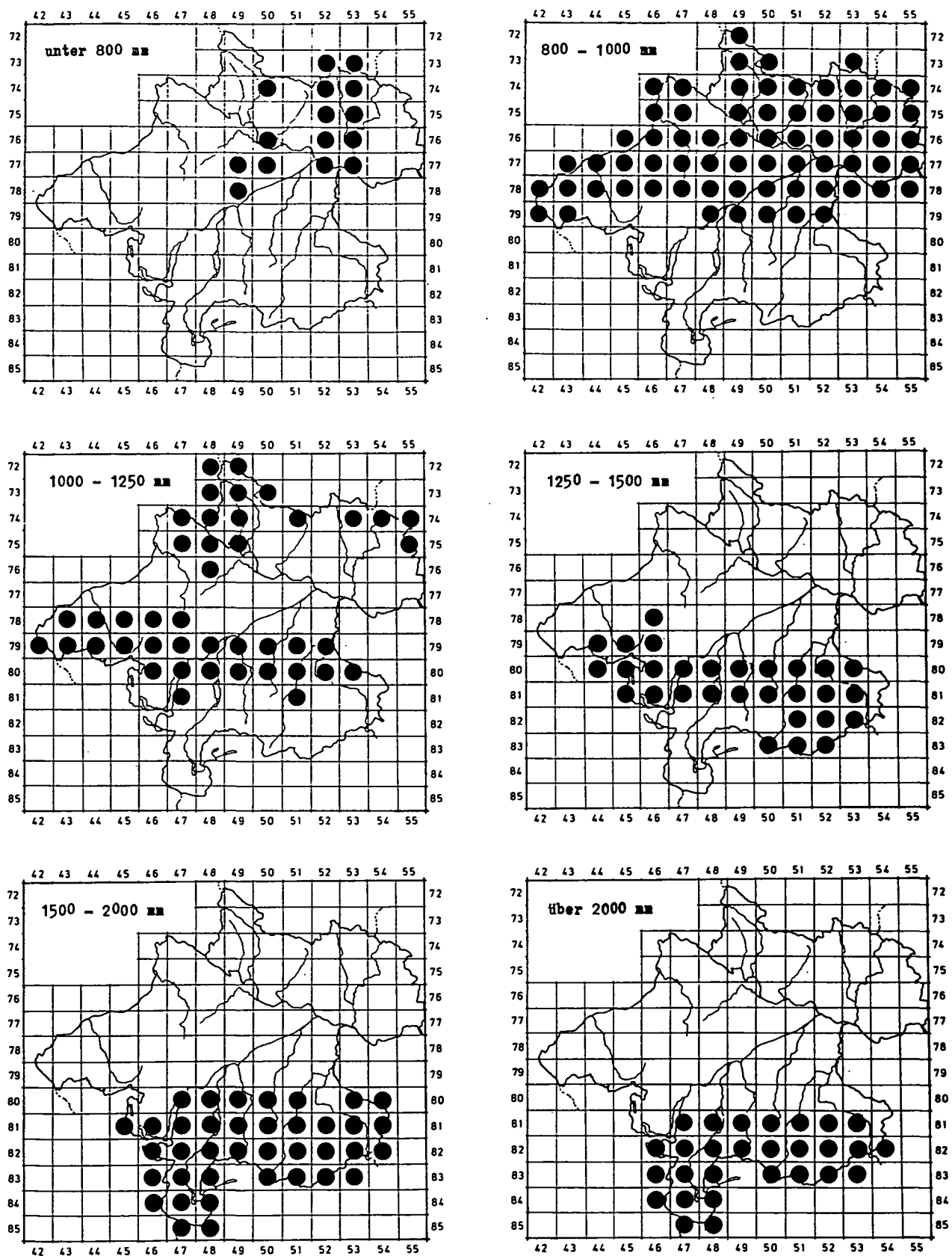


Abb. 4: Mittlere Jahresniederschläge (Grundlage STEINHAUSER 1969)

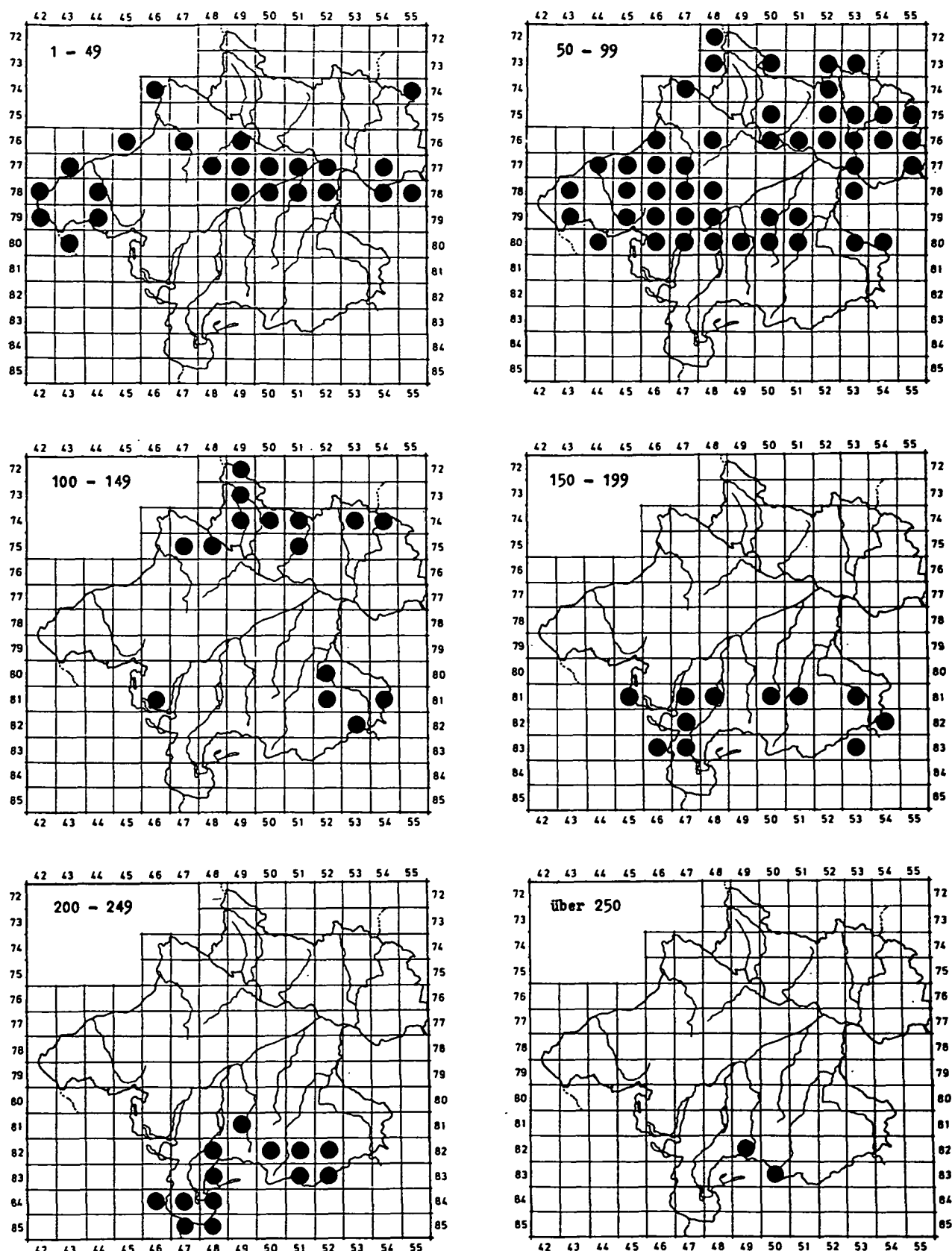


Abb. 5: Bearbeitungsstand der Grundfelder (Stand 1.12.1983)
(Anzahl der kartierten Arten pro Grundfeld)

3. ARTENLISTE

Acarospora

- cervina* Massal.: 8350, Totes Gebirge, Wildenseealm, auf Kalkfels, 1650 m (Steiermark)
fuscata (Nyl.) Arnold: Abb. 6. Außerhalb ihres Hauptverbreitungsgebietes im Mühlviertel
kommt *Acarospora fuscata* vereinzelt auf Grab- und Grenzsteinen vor.
glaucocarpa (Ach.) Koerber: Abb. 7
macrospora (Hepp) Bagl.: Abb. 8

Acrocordia

- conoidea* (Fr.) Koerber: 8152, Ennstal, Reichraming, Fahrenberg, auf Kalkfels, 1000 m.
gemmata (Ach.) Massal., syn. *A. alba* (Schrader) Zahlbr.: Abb. 9

Agonimia

- tristicula* (Nyl.) Zahlbr.: Abb. 10

Alectoria

- ochroleuca* (Hoffm.) Massal.: Abb. 11
sarmentosa (Ach.) Ach.: Abb. 12

Anaptychia

- ciliaris* (L.) Koerber: Abb. 13 (zum Rückgang dieser Flechte vgl. TÜRK et al. 1982).

Anisomeridium

- biforme* (Borrer in Hooker) R.C. Harris: 8048, Trauntal, Steyrermühl, Laserwehr, auf *Acer pseudoplatanus*; 8153, Ennstal, Almkogel, auf *Fagus sylvatica*, 1470 m.
macrocarpum (Koerber) V. Wirth, syn. *Arthopyrenia m.* (Koerber) Zahlbr.: 8146, Mondsee, Hochplettspitze, auf *Acer pseudoplatanus*, 850 m; 8251, Sengengebirge, Weg von Redtenbach auf die Hohe Nock, auf *Acer pseudoplatanus*, 1060 m.

Anzina

- carneonivea* (Anzi) Scheidegger, in VĚZDA, Lich. sel. 1815 (1982), syn. *Varicellaria c.* (Anzi) Erichsen: Abb. 14. Hochmontane bis alpine Stufe auf entrindetem Holz von *Pinus cembra*, *P. mugo* und *Larix decidua* in Bodennähe (vgl. TÜRK & WITTMANN 1983).

Arthonia

- fuliginosa* (Turner & Borrer) Flotow: 8251, Steyrtal, Höbach, an *Picea abies*, 500 m (SCHAUER 1965).
leucolella (Ach.) Almq.: Abb. 15 (vgl. auch SCHAUER 1965)
radiata (Pers.) Ach.: Abb. 16
stellaris Krempelh.: 8249, Totes Gebirge, Almtal, Jagersimmerl, auf *Alnus incana*, 570 m.
tumidula (Ach.) Ach., syn. *A. cinnabarin* (DC.) Wallr.: Abb. 17

Arthopyrenia

- lapponina* Anzi: Abb. 18

Arthothelium

- ruanum* (Massal.) Zwackh., syn. *A. ruanideum* (Nyl.) Arnold: Abb. 19. Im Gebiet kommt nur die bei POELT (1969) als *Arthothelium ruanideum* aufgeschlüsselte Sippe mit dem gelbgrünen bis olivgrauen Lager vor.
spectabile Flotow ex Massal.: 8249, Totes Gebirge, Almsee, auf *Alnus glutinosa* in 590 m.

Arthrorhaphis

- citrinella* (Ach.) Poelt var. *alpina* (Schaerer) Poelt: Abb. 20. Im Gebiet nur in den Kalkhochalpen.
citrinella (Ach.) Poelt var. *citrinella*: Abb. 21. Selten im Mühlviertel.

Bacidia

- bagliettoana* (Massal. & DeNot.) Jatta, syn. *B. muscorum* (Ach.) Mudd: Abb. 22
circumspecta (Norrlin ex Nyl.) Malme: 8254, Ennstal, Weyer, Frenzgraben, auf *Fagus sylvatica*, 640 m.
cuprea (Massal.) Lettau: 8152, Ennstal, Reichraming, Fahrenberg, auf Überhängendem Kalkfels, 950 m.
herbarum (Stizenb.) Arnold: 8250, Totes Gebirge, Weg von Welser Hütte auf den Großen Priel, auf Pflanzenresten, 1960 m.
rubella (Hoffm.) Massal., syn. *B. luteola* (Ach.) Mudd: Abb. 23
sabuletorum (Schreber) Lettau var. *sabuletorum*: Abb. 24
sabuletorum (Schreber) Lettau var. *dolosa* (Fr.): Abb. 409
subincompta (Nyl.) Arnold, syn. *B. affinis* (Stizenb.) Vainio: 8249, Totes Gebirge, Almsee, in der Röll, auf *Fagus sylvatica*, 690 m.

Baeomyces

- roseus* Pers.: Abb. 25
rufus (Hudson) Rebent.: Abb. 26

Bombybilliospora

- pachycarpa* (Delise ex Duby) Massal., syn. *B. incana* A.L. Sm.: 8249, Totes Gebirge, Almsee (SCHAUER 1965).

Bryonora

- castanea* (Hepp ex Th. Fr.) Poelt, syn. *Lecanora c.* Hepp ex Th. Fr.: 8447, Dachsteinmassiv, Hoher Trog am Hohen Ochsenkogel, auf Rohboden über Kalk, 2340 m (vgl. TÜRK & WITTMANN 1983).

Bryoria

- bicolor* (Ehrh.) Brodo & Hawksw.: Abb. 27
fuscescens (Gyelnik) Brodo & Hawksw.: Abb. 28
nadvornikiana (Gyelnik) Brodo & Hawksw.: Abb. 29 (vgl. TÜRK & WITTMANN 1983).
osteola (Gyelnik) Brodo & Hawksw.: 8153, Ennstal, Weyer, Großer Alpkogel, auf *Picea abies*, 1540 m; 8350, Totes Gebirge, Salzsteigjoch, auf *Picea abies*, 1750 m (Steiermark)
setacea (Ach.) Brodo & Hawksw.: 8249, Totes Gebirge, Almsee, Ostufer, auf *Picea abies*, 600 m.
subcana (Nyl. ex Stizenb.) Brodo & Hawksw.: Abb. 410

Buellia

- alboatra* (Hoffm.) Deichm. & Rostr.: 7755, Mühlviertel, 1 km SSW von Dimbach, beim »Kar«, Stamm von *Fraxinus excelsior*, 640 m (vgl. TÜRK & WITTMANN 1983).
badia (Fr.) Massal.: 7753, W von Perg, auf S-exponiertem Granitfelsen, 250 m.
disciformis (Fr.) Mudd var. *disciformis*: Abb. 30
disciformis (Fr.) Mudd var. *leptocline* (Nyl.) H. Magn.: Abb. 411
disciformis (Fr.) Mudd var. *microspora* (Vain.) Zahlbr.: 8152, Tal der Krummen Steyrling, Hinterbreitnau, auf *Fagus sylvatica*, 620 m.
epipolia (Ach.) Mong., syn. *Diplotomma e.* (Ach.) Arnold: 8147, Höllengebirge, Brunnkogel, auf Kalkfels, 1680 m; 8351, Warscheneck, Dümmer Hütte, auf Kalkfels in Weide, 1750 m.
erubescens Arnold: 8153, Ennstal, Weyer, Großer Alpkogel, auf *Acer pseudoplatanus*, 1450 m; 8254, Ennstal, Voralpe, auf *Fagus sylvatica*, 1150 m.
geophila (Sommerf.) Lyngé: Abb. 31
griseovirens (Turner & Borrer) Almb.: Abb. 32
margaritacea (Sommerf.) Lyngé: 8150, Kremstal, Kremsmauer, Törl, auf Kalkfels, 1460 m.
papillata (Sommerf.) Tuck.: 8350, Totes Gebirge, Almkogel E des Salzsteig-Joches, auf Moosen über Kalk, 2100 m (Steiermark).
punctata (Hoffm.) Massal.: Abb. 33
schaereri deNot.: Abb. 34
venusta (Koerber) Lettau, syn. *Diplotomma v.* (Koerber) Koerber: 8146, Höllengebirge, Brunnkogel, auf Kalkfels, 1680 m.
zahlbruckneri Steiner: 8547, Rötelstein N von Filzmoos, auf Holz von *Larix decidua*, 1800 m (Salzburg); 8548, Dachsteinmassiv, Weg von Ramsau auf das Guttenberghaus, auf Holz von *Larix decidua*, 1500 m (Steiermark).

Calicium

- adspersum* Pers.: 7552, Mühlviertel, Gusental, ca. 1 km SE von Reichenau, auf Holz von *Picea abies*, 600 m.
denigratum Tibell: 8249, Totes Gebirge, Almsee, Ostufer, auf Holz von *Picea abies*, 650 m.
glaucellum Ach.: 8146, Mondsee, Hochplettspitze, Holz von *Picea abies*, 950 m.
quercinum Pers.: 8053, Ennstal, Spadenberg 10 km N von Großraming, auf Holz von *Fagus sylvatica*, 850 m.
salicinum Pers.: Abb. 35
trabinellum Ach.: Abb. 36
viride Pers.: Abb. 37

Caloplaca

- alociza* (Massal.) Migula: 8246, Schafbergmassiv, Vormauerstein, auf Kalkfels in 1450 m.
aurea (Schaerer) Zahlbr.: Abb. 38
biatorina (Massal.) Steiner: Abb. 39
bryochryson Poelt: Abb. 40
cerina (Ehrh. ex Hedwig) Th. Fr. var. *cerina*: Abb. 41
cerina (Ehrh. ex Hedwig) Th. Fr. var. *muscorum* (Massal.) Jatta: Abb. 42
cerinella (Nyl.) Flagey: Abb. 43
cerinelloides Poelt: 8154, Weyer im Ennstal, auf *Fraxinus excelsior*, 420 m.
chalybaea (Fr.) Müll. Arg.: Abb. 412
chrysodeta (Vainio ex Räsänen) Dombr., syn. *Leproplaca ch.* (Vainio ex Räsänen) Laundon:
Abb. 44
cinnamomea (Th. Fr.) Oliv.: Abb. 45
cirrochroa (Ach.) Th. Fr.: Abb. 46
citrina (Hoffm.) Th. Fr.: Abb. 47
coccinea (Müll. Arg.) Poelt, syn. *C. arnoldiana* (Serv. & Cern.) Serv. & Poelt: Abb. 48
decipiens (Arnold) Blomb. & Forss.: Abb. 49
ferruginea (Hudson) Th. Fr.: 8249, Totes Gebirge, Almtal, bei Jagersimmerl, auf *Salix* spec.,
590 m; 8250, Totes Gebirge, Ödseen, auf *Salix* spec., 700 m.
flavovirescens (Wulfen) Dalla Torre & Sarnth.: Abb. 50
furfuracea H. Magn.: 8350, Totes Gebirge, Alm bei Innerhütten, auf Holz von verfallener Almhütte, bodennah, 1700 m (Steiermark).
herbidella (Nyl.) H. Magn.: Abb. 51
holocarpa (Hoffm.) Wade, syn. *C. pyracea* (Ach.) Th. Fr.: Abb. 52
isidiigera Vězda: Abb. 53
leucoraeaa (Ach.) Deichm.: Abb. 54
nubigena (Krempehl.) Dalla Torre & Sarnth.: Abb. 55
proteus Poelt: Abb. 56
saxicola (Hoffm.) Nordin, syn. *C. murorum* (Hoffm.) Th. Fr.: Abb. 57
schoeferi Poelt: 8248, Totes Gebirge, Weg von Hochkogelhütte auf den Schönberg, auf
Moosen über Kalk, 2090 m; 8351, Warscheneck, auf Moosen über Kalk, 2300 m.
stillicidiorum (Vahl) Lynge: Abb. 58
tirolensis Zahlbr.: Abb. 59
variabilis (Pers.) Müll. Arg.: Abb. 60

Candelaria

- concolor* (Dickson) Stein.: Abb. 61

Candelariella

- aurella* (Hoffm.) Zahlbr.: Abb. 62
coralliza (Nyl.) H. Magn.: Abb. 63
reflexa (Nyl.) Lettau: Abb. 64 (vgl. TÜRK & WITTMANN 1983)
vitellina (Hoffm.) Müll. Arg.: Abb. 65
xanthostigma (Ach.) Lettau: Abb. 66

Catillaria

- athallina* (Hepp) Hellbom: 8248, Totes Gebirge, Weg von Hochkogelhütte auf den Schönberg, auf Kalkfels, 1980 m.
globulosa (Flörke) Th. Fr.: Abb. 67
nigroclavata (Nyl.) Schuler: 8152, Tal der Krummen Steyrling, Hinterbreitenau, auf *Fraxinus excelsior*, 700 m.
pulverea (Borrer) Vězda: 8249, Totes Gebirge, Offensee und Almsee, auf *Fagus sylvatica*, 600 m (SCHAUER 1965)
sphaeroides (Massal.) Schuler: 8152, Reichramingbachtal, Weg von Dirnberg auf den Fahrenberg, auf *Acer pseudoplatanus*, 790 m.

Catinaria

- grossa* (Pers. ex Nyl.) Vainio, syn. *Catillaria leucoplaca* (DC.) Massal.: 8249, Totes Gebirge, Almsee, Ostufer, auf *Acer pseudoplatanus*, 630 m (vgl. TÜRK 1979).

Cetaria

- chlorophylla* (Willd.) Vainio: Abb. 68
commixta (Nyl.) Th. Fr.: 7249, Mühlviertel, 600 m WSW vom Plöckenstein, Rohblockhalde, auf Granit, 1360 m (vgl. TÜRK & WITTMANN 1983).
cucullata (Bellardi) Ach.: Abb. 69
ericetorum Opiz: Abb. 70
islandica (L.) Ach.: Abb. 71
laureri Krempehl.: Abb. 72
nivalis (L.) Ach.: Abb. 73
oakesiana Tuck.: Abb. 74 (vgl. RICEK 1970; 1983)
pinastri (Scop.) Gray: Abb. 75
sepincola (Ehrh.) Ach.: Abb. 76
tilesii Ach.: Abb. 77

Cetrelia

- cetrariooides* (Del. ex Duby) Culb. & Culb.: Abb. 78
olivetorum (Nyl.) Culb. & Culb.: Abb. 79. Unter dieser Sippe ist die bei POELT (1969) unter Mark C + rot reagierende Art zu verstehen. Ihr Vorkommen ist an deutlich ozeanisch ge-tönte Lagen gebunden.

Chaenotheca

- brunneola* (Ach.) Müll. Arg.: Abb. 413
chrysocephala (Turn. ex Ach.) Th. Fr.: Abb. 80
ferruginea (Turner ex Sm.) Migula, syn. *Ch. melanophaea* (Ach.) Zwackh.: Abb. 81
stemonea (Ach.) Zwackh., syn.: *Ch. aeruginosa* (Turner ex Sm.) A.L. Sm.: Abb. 82
trichialis (Ach.) Th. Fr.: Abb. 83

Chaenothecopsis

- pusilla* (Flörke) A. Schmid: 8353, Gesäuse, Weg vom Gstatterboden zur Ennstaler Hütte, Draxital, auf Holz von *Sambucus nigra*, 750 m (Steiermark).
subpusilla (Vainio) Tibell: 8447, Dachsteinmassiv, Weg von Hallstatt, Echerntal, zum Wiesberghaus, auf Holz von *Picea abies*, 1360 m.

Chrysotrichia

- candelaris* (L.) Laundon, syn. *Lepraria c.* (L.) Fr.: Abb. 84

Cladonia

- amaurocraea* (Flörke) Schaerer: Abb. 85
arbuscula (Wallr.) Rabenh.: Abb. 86
bacillaris auct.: Abb. 87
bellidiflora (Ach.) Schaerer: Abb. 88
botrytes (Hagen) Willd.: Abb. 89 (vgl. RICEK 1983; TÜRK & WITTMANN 1983)
caespiticia (Pers.) Flörke: Abb. 90
carneola (Fr.) Fr.: Abb. 91
cenotea (Ach.) Schaerer: Abb. 92
chlorophaea (Flörke ex Sommerf.) Sprengel: Abb. 93
coccifera (L.) Willd.: Abb. 94

coniocraea (Flörke) Sprengel: Abb. 95

cornuta (L.) Hoffm.: 7553, Mühlviertel, 3 km E von Gutau, Waldaisttal, bei der Haselmühle, zwischen Moosen über Granitfels, 510 m (vgl. TÜRK & WITTMANN 1983); 8249, Totes Gebirge, Weg von der Rinnerhütte auf Rinnerkogel, auf Rohhumus, 1750 m. Abb. 96

crispata (Ach.) Flotow: Abb. 97

cyanipes (Sommerf.) Nyl.: 8254, Voralpe, 10 km ENE von Altenmarkt, zwischen Moosen auf windgefegter Heide, 1680 m; 8347, Hochkalmberg S von Bad Goisern, zwischen Moosen in Zergstrauchheide, 1650 m (vgl. TÜRK & WITTMANN 1983).

deformis auct.: Abb. 98

digitata (L.) Hoffm.: Abb. 99

fimbriata (L.) Fr.: Abb. 100

furcata (Hudson) Schrader ssp. *furcata*: Abb. 101

furcata (Hudson) Schrader ssp. *subrangiformis* (Sandst.) Pisut: 7547, bei Kopfing, ca. 550 m. *glaуca* Flörke: 7349, Bärenstein, Wirtshaus Panihaus, auf Waldboden, 830 m (vgl. TÜRK & WITTMANN 1983); 7549, Donautal, Schlögen, 350 m.

gracilis (L.) Willd. var. *gracilis*: Abb. 102

incrassata Flörke: 8043, Straße zwischen Lamprechtshausen und Bürmoos, auf Torf, 500 m; 7943, Ibmer Moos, Maxdorf, in altem Torfstich, 480 m (beide Fundorte in Salzburg).

macilenta Hoffm.: Abb. 103

macroceras (Delise) Ahti: Abb. 104

mitis Sandst.: Abb. 105

ochrochlora Flörke: Abb. 106

phylophora Hoffm., syn. *C. degenerans* (Flörke) Sprengel: Abb. 107

pleurota (Flörke) Schaeerer: Abb. 108

pocillum (Ach.) O.J. Rich.: Abb. 109

portentosa (Dufour) Zahlbr., syn. *C. impexa* Harm.: 7249, Mühlviertel, 600 m WSW vom Plöckenstein, Rohblockhalde, zwischen Moosen, 1320 m.

pyxidata (L.) Hoffm.: Abb. 110

rangiferina (L.) Wigg.: Abb. 111

rangiformis Hoffm.: 7549, Donautal, Schlögen, Ruine Reichenbach, 350 m.

squamosa (Scop.) Hoffm.: Abb. 112

squamosa (Scop.) Hoffm. var. *subsquamosa* (Nyl.) Th. Fr.: 8047, Gahberg, ENE von Weyregg am Attersee, auf Faulholz von *Picea abies*, 820 m; 8251, Sengsengebirge, Tal des Blöttenbaches, Weg von Blumaueralm auf den Haltersitz, auf Faulholz von *Picea abies*, 1100 m.

stellaris (Opiz) Použar & Vězda, syn. *C. alpestris* (L.) Rabenh.: 7454, Waldviertel, Karlstift, Große Heide, 1000 m (SPENLING 1971; Niederösterreich); 8447, Dachsteinmassiv, Weg vom Wiesberghaus zur Simony-Hütte, in Zergstrauchheide, 1980 m; 8548, Dachsteinmassiv, Auf dem Stein, zwischen Moosen über Kalkfels, 2100 m (Steiermark).

subulata (L.) Wigg.: Abb. 113

sulphurina (Michaux) Fr., syn. *C. gonecha* (Ach.) Asah.: Abb. 114

sympycarpa (Ach.) Fr.: Abb. 115

uncialis (L.) Wigg.: Abb. 116

verticillata (Hoffm.) Schaeerer: Abb. 117

Collema

auriculatum Hoffm.: Abb. 118

cristatum (L.) Wigg.: Abb. 119

flaccidum (Ach.) Ach.: Abb. 120

multipartitum Sm.: 8249, Totes Gebirge, Großer Woising, auf Kalkfels, 1980 m; 8250, Totes Gebirge, Großer Priel, auf Kalkfels zwischen Fleischbanksattel und Gipfel, 2270 m.

nigrescens (Hudson) DC.: Abb. 121 (vgl. SCHAUER 1965)

occultatum Bagl.: 8249, Totes Gebirge, Almsee, Seehaus, auf *Aesculus hippocastanum*, 610 m (vgl. TÜRK 1979).

polycarpon Hoffm.: Abb. 122

tenax (Swartz) Ach. em. Degel.: Abb. 123

tuniforme (Ach.) Ach. em. Degel.: Abb. 124

undulatum Flotow: Abb. 125

Coniocybe

furfuracea (L.) Ach.: Abb. 126
pallida (Pers.) Fr., syn. *C. nivea* (Hoffm.) Arnold: 8147, Weißenbach am Attersee, auf *Fraxinus excelsior*, 500 m.

Cyphelium

karelicum (Vainio) Räsänen: Totes Gebirge, Almsee, auf *Abies alba*, 640 m.
tigillare (Ach.) Ach.: Abb. 127

Dacampia

hookeri Massal.: Abb. 128

Dactylina

madreporiformis (Ach.) Tuck.: Abb. 129 (vgl. TÜRK & WITTMANN 1983)
ramulosa (Hook.) Tuck.: 8548, Dachsteinmassiv, Sinabell, zwischen Bodenmoosen über Kalk, 2340 m (Steiermark).

Dermatocarpon

intestiniforme (Koerber) Hasse: Abb. 130
miniatum (L.) Mann: Abb. 131
weberi (Ach.) Mann, syn. *D. fluviatile* (Weber) Th. Fr.: Abb. 132

Dimerella

diluta (Pers.) Trevisan: Ennstal, Weyer, Frenzgraben, am Stammgrund von Buche, 620 m.

Diploschistes

gypsaceus (Ach.) Zahlbr.: Abb. 133
muscorum (Scop.) R. Santesson, syn. *D. bryophilus* (Ehrh.) Zahlbr.: Abb. 134
scruposus (Schreber) Norm.: Abb. 135

Encephalographa

cerebrina (Lam.) Massal.: 8251, Sengsengebirge, Weg von Haltersitz auf Hohe Nock, auf Kalkfels, 1750 m.

Endocarpon

pusillum Hedwig: 8351, Warscheneck, auf Erde in Felsspalten, Kalk, 1960 m.

Evernia

divaricata (L.) Ach.: Abb. 136
mesomorpha Nyl.: Abb. 137
prunastri (L.) Ach.: Abb. 138

Fulglesia

australis (Arnold) Poelt: 8447, Dachsteinmassiv, Weg von Wiesberghaus zur Simonyhütte, auf Kalkfels, überhängend, 1990 m.
bracteata (Hoffm.) Räsänen var. *bracteata*: Höllengebirge, Brunnkogel, auf Erde über Kalk, 1700 m.
schistidii (Anzi) Poelt: Abb. 139

Fuscidea

cyathoides (Ach.) V. Wirth & Vézda, syn. *Lecidea c.* (Ach.) Ach.: 7547, Geländeliste F. Grims (det. J. Poelt).

Graphis

scripta (L.) Ach.: Abb. 140

Gyalectaria

foveolaris (Ach.) Schaefer: 8250, Totes Gebirge, Weg von Fleischbanksattel auf den Großen Priel, auf Erde, 2310 m; 8548, Dachsteinmassiv, Sinabell, auf Erde über Kalk, 2340 m (Steiermark).

jenensis (Batsch) Zahlbr.: Abb. 141

leucaspis (Krempehl.) Zahlbr.: 8350, Totes Gebirge, Hinterstoder, Polsterlücke, auf Dolomit, 670 m.

truncigena (Ach.) Hepp: 8152, Tal der Krummen Steyring, Hinterbreitenau, SE vom Kienberg, auf *Fraxinus excelsior*, 650 m; 8153, Ennstal, Großer Alpkogel, auf *Fagus sylvatica*, 1460 m; 8249, Totes Gebirge, Almsee, in der Röll, auf *Fagus sylvatica*, 760 m.
ulmi (Swartz) Zahlbr.: Abb. 142

Haematomma

cismonicum Beltram: Abb. 143 (vgl. SCHÄUER 1965)
elatinum (Ach.) Massal.: Abb. 144 (vgl. SCHÄUER 1965)
ochroleucum (Necker) Laundon: Abb. 145

Heterodermia

obscurata (Nyl.) Trevis.: 8249, Totes Gebirge, Almsee, In der Röll, auf *Fagus sylvatica*; 8350, Totes Gebirge, Steyrtal, Hinterstoder, Weg zur Polsterlücke, auf *Salix* spec., 610 m.
speciosa (Wulfen) Trevis.: Abb. 146

Hulia

crustulata (Ach.) Hertel.: Abb. 147
macrocarpa (DC.) Hertel: Abb. 148

Hyperphyscia

adglutinata (Flörke) Mayrhofer & Poelt, syn. *Physciopsis* a. (Flörke) Choisy: 8153, Ennstal, Weyer, auf *Aesculus hippocastanum*, 400 m.

Hypocenomyce

scalaris (Ach.) Choisy, syn. *Lecidea* s. (Ach.) Ach.: Abb. 149
sorophora (Vainio) P. James: 8349, Totes Gebirge, Wildenseealm, auf Holz von Almhütte, 1560 m (Steiermark)

Hypogymnia

austerodes (Nyl.) Räsänen: Abb. 150
bitteri (Lynge) Ahti: Abb. 151
bitteriana (Zahlbr.) Krog: Abb. 152
intestiniformis (Vill.) Räsänen: 7249, Mühlviertel, 600 WSW vom Plöckenstein, Rohblockhalde, auf Granit, 1360 m.
physodes (L.) Nyl.: Abb. 153
tubulosa (Schaerer) Havaas: Abb. 154
vittata (Ach.) Parr.: Abb. 155

Icmadophila

ericetorum (L.) Zahlbr.: Abb. 156

Ionaspis

epulotica (Ach.) Blömb. & Forss.: 8250, Totes Gebirge, Großer Priel, auf Kalkfels, 2400 m; 8348, Hoher Sarstein E des Hallstätter Sees, auf Kalkfels, 1680 m.
melanocarpa (Krempelh.) Arnold: 8250, Totes Gebirge, Großer Priel, Gipfelregion, auf Kalk, 2510 m.

Lasallia

pustulata (L.) Mérat: Abb. 157

Lecanactis

abietina (Ach.) Koerber: Abb. 158

Lecania

cyratella (Ach.) Th. Fr.: 7353, Mühlviertel, Mairspindt N von Windhaag bei Freistadt, Borke von *Populus* spec., beim Zollhaus, 670 m.
fuscella (Schaerer) Koerber: 7353, Mühlviertel, Mairspindt, N von Windhaag bei Freistadt, Borke von *Populus* spec., beim Zollhaus, 670 m.
lecanorina (Anzi) Zahlbr.: 8348, Hoher Sarstein E vom Hallstätter See, Weg von Niederer Sarsteinalm auf Hohen Sarstein, auf Erde in Felsspalt, Kalk, 1800 m.

Lecanora

agardhiana Ach.: Abb. 159

- albescens* (Hoffm.) Flörke: Abb. 160
allophana (Ach.) Nyl.: Abb. 161
atra (Hudson) Ach.: Abb. 162
badia (Pers.) Ach.: Abb. 163
cadubriae (Massal.) Hedl.: Abb. 164
campestris (Schaerer) Hue: Abb. 165
carpinea (L.) Vainio: Abb. 166
cenisia Ach.: Abb. 167
cenisia Ach. var. *soredians* Suza: 7349, Mühlviertel, Bärenstein N von Aigen, Granitblock im Gipfelbereich, 1075 m.
chlorotera Nyl.: Abb. 168
cinereifusca H. Magn., syn. *L. degelii* Schauer & Brodo: 8249, Totes Gebirge, Almsee, 300 m W vom Seehaus, auf *Alnus* spec., 610 m; 8350, Totes Gebirge, Hinterstoder, Baum-schlagerreith, auf *Fagus sylvatica*, 940 m (vgl. SCHAUER 1965, p. 51, Verbreitungskarte von *Lecanora insignis* s. ampl., kleinsporige Sippe).
coilocarpa (Ach.) Nyl.: Abb. 169
conizaeoides Nyl. ex Crombie: Abb. 170
crenulata (Dickson) Hooker: Abb. 171
demissa (Flotow) Zahlbr.: Abb. 172
dispersa (Pers.) Sommerf.: Abb. 173
epibryon Ach.: Abb. 174
hageni (Ach.) Ach.: Abb. 175
hageni (Ach.) Ach. f. *saxifragae* Anzi: 8350, Totes Gebirge, Almkogel E des Salzsteigjoches, auf Moosen über Kalk, 2120 m; 8447: Dachsteinmassiv, Hoher Ochsenkogel, auf Moosen über Kalk, 2500 m.
intricata (Schrader) Ach.: Abb. 176
intumescens (Rebent.) Rabenh.: Abb. 177
mughicola Nyl.: Abb. 178
muralis (Schreber) Rabenh.: Abb. 179
pallida (Schreber) Rabenh.: Abb. 180
polytropa (Ehrh.) Rabenh.: Abb. 181
pulicaris (Pers.) Ach.: Abb. 182
reuteri Schaerer: Abb. 183
rupicola (L.) Zahlbr., syn. *L. sordida* (Pers.) Th. Fr.: Abb. 184
saligna (Schrader) Zahlbr. var. *sarcopis* (Ach.) Hillm.: Abb. 185
sambuci (Pers.) Nyl.: Abb. 186
subfuscata Magnusson: Abb. 187
subintricata (Nyl.) Th. Fr.: Abb. 188 (vgl. TÜRK & WITTMANN 1983)
subplanata Nyl.: Abb. 414
subrugosa Nyl.: Abb. 189
symmicta (Ach.) Ach.: Abb. 190
umbrina (Ehrh.) Massal.: Abb. 191
varia (Hoffm.) Ach.: Abb. 192

Lecidea

- berengeriana* (Massal.) Th. Fr.: Abb. 193
crassipes (Th. Fr.) Nyl.: Abb. 194
efflorescens (Hedl.) Erichsen: 8249, Totes Gebirge, Almsee, auf *Salix* spec., 600 m; 8448, Trauntal, Obertraun, Koppenwinkel, auf *Alnus* spec., 530 m.
fuliginosa Taylor: 7752, Donautal, W von Luftenberg, S-exponierter Granitfels, 210 m.
fuscoatra (L.) Ach. var. *fuscoatra*: Abb. 195
fuscoatra (L.) Ach. var. *grisella* (Flörke) Nyl.: 7452, 7453, 7854
granulosa (Hoffm.) Ach.: Abb. 196
helvola (Koerber ex Hellbom) Hedl.: Abb. 197; nach WIRTH (1980) und POELT (briefl. Mitteilung) ein noch ungeklärter Formenkreis.
hypnorum Libert: Abb. 198
hypocrita Massal.: Abb. 199

immersa (Hoffm.) Ach.: Abb. 200

insidiosa Th. Fr.: 8247, Leonsberg NE von Bad Ischl, parasitisch auf *Lecanora varia*, Holz von *Picea abies*, 1500 m.

lithophila (Ach.) Ach.: Abb. 201

monticola (Ach.) Schaeerer.: 8148, Höllengebirge, Alberfeldkogel, auf Kalkfels, 1680 m.

oligotropha Laundon: Abb. 202 (vgl. TÜRK & WITTMANN 1983); in den Kalkalpen vorwiegend auf Rohhumus in der hochmontanen bis alpinen Stufe.

plana (Lahm in Koerber) Nyl.: Abb. 203

turgidula Fr.: Abb. 204

uliginosa (Schrader) Ach.: Abb. 205

vitellinaria Nyl.: 7450, Mühlviertel, 1,8 km NNE von Helfenberg, Tal der Steinernen Mühl, Granitblock, parasitisch auf *Candelariella vitellina* (vgl. TÜRK & WITTMANN 1983).

Lecidella

achristotera (Nyl.) Hertel & Leuckert: Abb. 206 (vgl. TÜRK & WITTMANN 1983).

carpatica Koerber: 7452, Mühlviertel, Straße von Bad Leonfelden nach Freistadt, S von Lahrndorf, Granitfels, 660 m.

eupherea (Flörke) Hertel: Abb. 208

flavosorediata (Vézda) Hertel & Leuckert: 8153, Ennstal, Großer Alpkogel, auf *Acer pseudoplatanus*, 1450 m; 8351, Warscheneck, Weg von Roßleithen auf die Dümller Hütte, auf *Acer pseudoplatanus*, 1000 m.

inamoena (Müll. Arg.) Hertel: Abb. 209

stigmataea (Ach.) Hertel & Leuckert: Abb. 210

wulfenii Koerber: Abb. 211

Lecidoma

demissum (Rutstr.) G. Schneider & Hertel, syn. *Lepidoma d.* (Rutstr.) Choisy: Abb. 212

Lepraria

chlorina (Ach.) Ach. ex Sm.: Abb. 213

crassissima (Hue) Lettau: Abb. 214

incana (L.) Ach.: Abb. 215

membranacea auct.: Abb. 216

neglecta auct.: Abb. 217

Leptogium

cyanescens (Ach.) Koerber: 7449, Mühlviertel, Tal der Kleinen Mühl, an der Straße von Sarleinsbach nach Rohrbach, Granitfels am Bachbett, 470 m; 7650, Mühlviertel, Tal der Großen Rodl, 800 m E von Rottenegg, Granitfels am Bachbett, 300 m.

lichenoides (L.) Zahlbr.: Abb. 218

saturninum (Dickson) Nyl.: Abb. 219

sinuatum (Hudson) Massal.: Abb. 220

Letharia

vulpina (L.) Vainio: Abb. 221

Lobaria

amplissima (Scop.) Forss.: 8251, Sengsengebirge, 500 m ESE der Feichtauer Hütte, Stamm von *Fagus sylvatica*, 1440 m.

pulmonaria (L.) Hoffm.: Abb. 222

scrobiculata (Scop.) DC., syn. *L. verrucosa* (Hudson) Hoffm.: Abb. 223.

Lopadium

disciforme (Flot.) Vézda & Poelt: Abb. 224 (vgl. TÜRK & WITTMANN 1983)

Melanolecia

jurana (Schaerer) Hertel, syn. *Lecidea j.* Schaerer, syn. *Tremolecia j.* (Schaerer) Hertel: Abb. 225

micropsis (Massal.) Hertel, syn. *Tremolecia nivalis* (Anzi) Hertel: 8248, Totes Gebirge, Schönberg, auf Kalk, 1900 m.

Melaspilea

gibberulosa (Ach.) Zwackh.: 8448, Obertraun, Koppenwinkel Alm, auf *Fraxinus excelsior*, 550 m.

Menegazzia

- terebrata* (Hoffm.) Koerber: Abb. 226
terebrata (Hoffm.) Koerber var *dissecta* (Rass.) Poelt: Abb. 227 (vgl. TÜRK & WITTMANN 1983)

Micarea

- cinerea* (Schaerer) Hedl.: 7249, Mühlviertel, Tal des Klafferbaches, ENE Zwieselberg, auf Borke von *Alnus glutinosa*, 840 m.
lignaria (Ach.) Hedl., syn. *Bacidia l.* (Ach.) Lettau.: Abb. 228
melaena (Nyl.) Hedl.: Abb. 229
misella (Nyl.) Hedl.: Abb. 230 (vgl. TÜRK & WITTMANN 1983)
peliocarpa (Anzi) Coppins & R. Sant.: Abb. 231

Microcalicium

- subpedicellatum* (Schaerer) Tibell: 8347, Salzkammergut, WSW von Bad Goisern, Weg von der Goiserer Hütte auf den Hochkalmberg, auf Borke von *Picea abies*, 1600 m (vgl. TÜRK & WITTMANN 1983).

Multiclavula

- mucida* (Fr.) Petersen: Abb. 414 (vgl. GEITLER 1955)

Mycoblastus

- sanguinarius* (L.) Norman: Abb. 232

Mycocalicium

- parietinum* (Ach. ex Schaerer) Hawksw.: 8152, Tal der Krummen Steyrling, Hinterbreitenau, auf Baumstumpf von *Picea abies*, 700 m; 8251, Sengengebirge, Tal des Blöttenbaches, Weg von der Blumaueralm auf den Haltersitz, auf Baumstumpf von *Picea abies*, 1350 m.

Mycomicrothelia

- micula* Koerber: 8347, Salzkammergut, Bad Goisern, auf *Tilia platyphyllos*, 600 m.

Mycoporum

- elabens* Flotow ex Nyl., syn. *Dermatina e.* (Schaerer) Zahlbr.: 8249, Totes Gebirge, Almsee, Ostufer, auf *Picea abies*, 590 m (TÜRK, 1979).

Nephroma

- bellum* (Sprengel) Tuck.: Abb. 233
parile (Ach.) Ach.: Abb. 234
resupinatum (L.) Ach.: Abb. 235

Normandina

- pulchella* (Borrer) Nyl.: Abb. 236

Ochrolechia

- alboflavescens* (Wulfen) Zahlbr.: Abb. 237
arborea (Krey.) Almb.: 7947, Göbl-Berg 5 km W von Ampfelwang, auf Borke von *Acer pseudo-platanus*, 750 m.
geminipara (Th. Fr.) Vainio: Abb. 239
pallescens (L.) Massal.: Abb. 240
szatalaensis Verseghy: Abb. 241 (vgl. SCHAUER 1965)
turneri (Sm.) Hasselr.: Abb. 242
upsaliensis (L.) Massal.: Abb. 243

Omphalina

- ericetorum* (Pers.) Lange, syn. *Gerronema e.* (Pers.) Singer: Abb. 244
hudsoniana (Jenn.) Bigelow, syn. *Gerronema luteolilacina* (Favre) Singer: Abb. 245

Opegrapha

- atra* Pers.: Abb. 246
lichenoides Pers.: Abb. 247
niveoatra (Borrer) Laundon, syn. *O. subsiderella* (Nyl.) Arnold: Abb. 248 (vgl. SCHAUER 1965)
rufescens Pers.: Abb. 249
vermicellifera (Kunze) Laundon: Abb. 250 (vgl. SCHAUER 1965)
viridis Pers.: Abb. 251

Pachyospora

verrucosa (Ach.) Massal., syn. *Aspicilia v.* (Ach.) Koerber: Abb. 252

Pachyphiale

fagicola (Hepp in Arnold) Zwackh.: 8350, Hinterstoder, Weg zur Polsterlücke, ca. 680 m.

Pannaria

conoplea (Ach.) Bory: Abb. 253

pezizoides (Weber) Trevisan: Abb. 254

praetermissa Nyl., syn. *Parmeliella p.* (Nyl.) P. James: Abb. 255

rubiginosa (Ach.) Bory: 8249, Totes Gebirge, Almsee, Weg zur Röll, auf *Fraxinus excelsior*, 680 m; Hinterstoder, an *Alnus* spec., 700 m (SCHAUER 1965).

Parmelia

acetabulum (Necker) Duby, syn. *Melanelia a.* (Necker) Essl.: Abb. 256

arnoldii Du Rietz, syn. *Parmotrema a.* (Du Rietz) Hale: Abb. 257 (vgl. SCHAUER 1965)

caperata (L.) Ach., syn. *Pseudoparmelia c.* (L.) Hale: Abb. 258

conspersa Ach., syn. *Xanthoparmelia c.* (Ach.) Hale: Abb. 259

contorta Bory: Abb. 260 (vgl. TÜRK & WITTMANN 1983)

crinita Ach., syn. *Parmotrema c.* (Ach.) Hale: Abb. 261 (vgl. SCHAUER 1965)

disjuncta Erichsen, syn. *Melanelia d.* (Erichsen) Essl.: Abb. 262

elegantula (Zahlbr.) Szat., syn. *Melanelia e.* (Zahlbr.) Essl.: Abb. 263

exasperata (Ach.) DeNot., syn. *Melanelia e.* (Ach.) Essl.: Abb. 264

exasperatula Nyl., syn. *Melanelia e.* (Nyl.) Essl.: Abb. 265

flaventior Stirton: Abb. 266

glabra (Schaerer) Nyl., syn. *Melanelia g.* (Schaerer) Essl.: Abb. 267

glabratula (Lamy) Nyl., syn. *Melanelia g.* (Lamy) Essl. var. *glabratula*: Abb. 268

glabratula (Lamy) Nyl. var. *fuliginosa* (Fr. ex Duby) Grumm., syn. *P. fuliginosa* (Fr.) Nyl.: Abb. 269

laevigata (Sm.) Ach., syn. *Hypotrachyna l.* (Sm.) Hale: Abb. 270 (vgl. SCHAUER 1965).

loxodes Nyl., syn. *P. isidiotyla* Nyl., syn. *Neofuscelia l* (Nyl.) Essl.: Abb. 271

omphalodes (L.) Ach.: Abb. 272

pastillifera (Harm.) Schub. & Klem., syn. *Parmelina p.* (Harm.) Hale: Abb. 273 (vgl. SCHAUER 1965).

perlata (Hudson) Ach., syn. *P. trichotera* Hue, syn. *Parmotrema p.* (Hudson) Hale: Abb. 274 (vgl. SCHAUER 1965).

pulla Ach., syn. *Neofuscelia p.* (Ach.) Essl.: Abb. 275

quercina (Willd.) Vainio, syn. *Parmelina qu.* (Willd.) Hale: 8052, Weg von Losenstein auf die Hohe Dirn, auf *Fagus sylvatica*, 900 m (vgl. TÜRK & WITTMANN 1983).

revoluta Flörke, syn. *Hypotrachyna r.* (Flörke) Hale: Abb. 276

saxatilis (L.) Ach.: Abb. 277

sinuosa (Sm.) Ach., syn. *Hypotrachyna s.* (Sm.) Hale: Abb. 278 (vgl. SCHAUER 1965).

stygia (L.) Ach., syn. *Melanelia st.* (L.) Essl.: 7249, Mühlviertel, 600 m WSW vom Plöckenstein, Rohblockhalde, auf Granit, 1360 m (vgl. TÜRK & WITTMANN 1983).

subargentifera Nyl., syn. *Melanelia s.* (Nyl.) Essl.: Abb. 279

subaurifera Nyl., syn. *Melanelia s.* (Nyl.) Essl.: Abb. 280

subrudecta Nyl.: Abb. 281

sulcata Taylor: Abb. 282

taractica Krempelh., syn. *P. stenophylla* (Ach.) Heug.: Abb. 283

taylorensis Mitch.: Abb. 284 (vgl. SCHAUER 1965)

tiliacea (Hoffm.) Ach., syn. *P. scortea* Ach., syn. *Parmelina t.* (Hoffm.) Hale: Abb. 285

Parmeliella

triptophylla (Ach.) Müll. Arg., syn. *P. corallinoides* auct.: Abb. 286

Parmeliopsis

aleurites (Ach.) Nyl.: Abb. 287

ambigua (Wulfen) Nyl.: Abb. 288

hyperopta (Ach.) Arnold: Abb. 289

Peltigera

- aphthosa* (L.) Willd.: Abb. 290
canina (L.) Willd.: Abb. 291
collina (Ach.) Schrader: Abb. 292 (vgl. SCHAUER 1965)
degenii Gyeln.: Abb. 293
horizontalis (Hudson) Baumg.: Abb. 294
leucophlebia (Nyl.) Gyelnik: Abb. 295
membranacea (Ach.) Nyl.: 8154, Weyer, Schrabachauer Kogel, auf Waldboden, 950 m..
neckeri Müll. Arg.: 8246, Osterhorngruppe, Zwölferhorn bei St. Gilgen, auf Boden, Kalk, 1460 m (Salzburg).
polydactyla (Necker) Hoffm.: Abb. 296
praetextata (Sommerf.) Zopf: Abb. 297
rufescens (Weiss.) Humb.: Abb. 298
spuria (Ach.) DC.: Abb. 299

Pertusaria

- albescens* (Hudson) Choisy & Werner: Abb. 300
alpina Hepp: Abb. 301 (vgl. SCHAUER 1965)
amara (Ach.) Nyl.: Abb. 302
bryontha (Ach.) Nyl.: Abb. 303
coccodes (Ach.) Nyl.: Abb. 304
constricta Erichsen: Abb. 305 (vgl. SCHAUER 1965)
corallina (L.) Arnold: Abb. 306
coronata (Ach.) Th. Fr.: Abb. 307
glomerata (Ach.) Schaeerer: 8249, Totes Gebirge, Großer Woising, auf Moosen über Kalk, 2050 m.
hemisphaerica (Flörke) Erichsen: Abb. 308
lactea (L.) Arnold: 7249, Mühlviertel, 600 m WSW vom Plöckenstein, Rohblockhalde, auf Granit, 1360 m; 7350, Mühlviertel, SE von St. Oswald bei Haslach, auf Granitblock, 680 m.
laevigata (Nyl.) Arnold: 8249, Totes Gebirge, Almsee, auf *Fagus sylvatica*, 640 m; 8350, Hinterstoder, auf *Alnus* spec., 650 m (SCHAUER 1965).
leioplaca (Ach.) DC.: Abb. 309
leucostoma (Bernh.) Massal. em. Erichsen: Abb. 310
multipuncta (Turner) Nyl.: Abb. 311 (vgl. SCHAUER 1965)
pertusa (Weigel) Tuck.: Abb. 312

Petractis

- clausa* (Hoffm.) Krempelh.: Abb. 313
hypoleuca (Ach.) Vézda: Abb. 314

Phaeorrhiza

- nimbosa* (Fr.) Mayrh. & Poelt, syn. *Rinodina n.* (Fr.) Th. Fr.: 8251, Sengsengebirge, Hohe Nock, auf Erde über Kalk, 1960 m.

Phlyctis

- agelaea* (Ach.) Flotow: 7549, Donautal, Schlögen, auf *Acer pseudoplatanus*, 300 m.
argena (Ach.) Flotow: Abb. 315

Physcia

- ascendens* (Fr.) H. Olivier: Abb. 316
aipolia (Humb.) Fürnrohr: Abb. 317
caesia (Hoffm.) Hampe: Abb. 318
ciliata (Hoffm.) Du Rietz: Abb. 319 (vgl. TÜRK 1979)
dubia (Hoffm.) Lettau: Abb. 320
endococcina (Koerber) Th. Fr.: 7353, Mühlviertel, N von Windhaag bei Freistadt, Mairspindt, Granitblock am Felberbach, 670 m.
endophoenicea (Harm.) Santha: Abb. 321
hirsuta Mereschk.: 8149, Almtal, Längau, auf *Aesculus hippocastanum*, 580 m; 8249, Totes Gebirge, Almsee, Seehaus, auf *Fraxinus excelsior*, 600 m.
labrata Mereschk.: Abb. 322

luganensis Mereschk.: Abb. 415
nigricans (Flörke) Stizenb.: Abb. 323
orbicularis (Necker) Poetsch: Abb. 324
pusilloides Zahlbr.: Abb. 325 (vgl. SCHAUER 1965)
sciastra (Ach.) Du Rietz: Abb. 326
stellaris (L.) Nyl.: Abb. 327
tenella (Scop.) DC.: Abb. 328
teretiuscula (Ach.) Lyngé: Die bei POELT (1969) unter diesem Namen aufgeschlüsselte Sippe hat nach unseren Beobachtungen andere ökologische Ansprüche als *Physcia dubia*. Während *Physcia dubia* auf verschiedensten Substraten vorkommt, wurde *Ph. teretiuscula* nur auf Granitblöcken in höheren Lagen des Mühlviertels festgestellt. Vorkommen in den Grundfeldern: 7352; 7446; 7547; 7548; 7549.
wainioi Räsänen: Abb. 329 (vgl. TÜRK & WITTMANN 1983)

Physconia

enteroxantha (Nyl.) Poelt: Abb. 330
farrea (Ach.) Poelt, syn. *Ph. perisidiosa* (Erichsen) Moberg: Abb. 331
grisea (Lam.) Poelt: Abb. 332
muscigena (Ach.) Poelt: Abb. 333
pulverulenta (Schreber) Poelt, syn. *Ph. pulverulacea* Moberg: Abb. 334

Placynthium

nigrum (Hudson) Gray: Abb. 335

Platismatia

glauca (L.) Culb. & Culb.: Abb. 336

Polyblastia

cupularis Massal.: Abb. 337
sendtneri Krempelh.: Abb. 338

Porina

linearis (Leighton) Zahlbr., syn. *P. byssophila* (Koerber) Zahlbr.: 8248, Totes Gebirge, Weg von Gimbach auf die Hochkogelhütte.

Protoblastenia

calva (Dickson) Steiner: Abb. 339
incrassans (DC.) Steiner: Abb. 340
rupestris (Scop.) Steiner: Abb. 341
terricola (Anzi) Lyngé: 8348, Hoher Sarstein E vom Hallstätter See, auf kalkreicher Erde, 1950 m; 8351, Warscheneck, Weg von Dümmer Hütte zum Gipfel, auf Erde über Kalkfels, 2150 m (vgl. TÜRK & WITTMANN 1983)

Pseudevernia

furfuracea (L.) Zopf var. *furfuracea*: Abb. 342
furfuracea (L.) Zopf var. *ceratea* (Ach.) Hawksw.: Abb. 343

Psilolechia

lucida (Ach.) Choisy, syn. *Lecidea* l. (Ach.) Ach.: Abb. 344

Psora

decipiens (Hedwig) Hoffm.: Abb. 345
lurida (Dill.) DC.: Abb. 346

Ptychographa

flexella (Ach.) Coppins: Abb. 347 (vgl. TÜRK & WITTMANN 1983)

Pyrenula

laevigata (Pers.) Arnold: Abb. 348
nitida (Weigel) Ach.: Abb. 349
nitidella (Flörke ex Schaefer) Müll. Arg.: Abb. 350

Ramalina

- farinacea* (L.) Ach.: Abb. 351
fastigiata (Pers.) Ach.: Abb. 352 (vgl. TÜRK & WITTMANN 1983)
fraxinea (L.) Ach.: Abb. 353
obtusata (Arnold) Bitter: Abb. 354 (vgl. SCHAUER 1965)
pollinaria (West.) Ach.: Abb. 355
roesleri Hochst.: Totes Gebirge, Hinterstoder, auf *Alnus* spec., 680 m (SCHAUER 1965)

Rhizocarpon

- alpicola* (Hepp) Rabenh.: 7249, Mühlviertel, 600 m WSW vom Plöckenstein, Rohblockhalde, auf Granit in 1360 m; 7349, Mühlviertel, Bärenstein, Granitfelsen im Gipfelbereich, 1075 m (vgl. TÜRK & WITTMANN 1983).
badioatrum (Flörke ex Sprengel) Th. Fr.: Abb. 356
distinctum Th. Fr.: Abb. 357
geminatum Koerber: Abb. 358 (vgl. TÜRK & WITTMANN 1983)
geographicum (L.) DC.: Abb. 359
lecanorinum Anders: Abb. 360
macrosporum Räsänen: Abb. 361 (vgl. TÜRK & WITTMANN 1983)
obscuratum (Ach.) Massal.: Abb. 362
polycarpum (Hepp ex Grognot) Th. Fr.: Abb. 363
umbilicatum (Ram.) Jatta: Abb. 364

Rinodina

- archaea* (Ach.) Vainio: Abb. 365
bischoffii (Hepp) Massal.: 8149, Kasberg, Weg von Kasberg-Alm auf den Kasberg-Gipfel, auf Kalkfelsen, 1480 m. 8348, Hoher Sarstein, Niedere Sarsteinalm, auf Kalkfels, 1640 m.
exigua (Ach.) S. Gray: 7846, Kobernausser Wald, Grubmühl, auf *Tilia platyphyllos*, 560 m.
immersa (Koerber) Arnold: 8348, Hoher Sarstein, Niedere Sarsteinalm, auf gedüngtem Kalkfels, 1670 m.
mniaraea (Ach.) Koerber: Abb. 366
mniaraea (Ach.) Koerber var. *mniaraeiza* (Nyl.) H. Magn.: 8348, Hoher Sarstein, auf Moosen über Kalk, Gipfelbereich, 1970 m.
pyrina (Ach.) Arnold: Abb. 367
roscida (Sommerf.) Arnold: Abb. 368
sophodes (Ach.) Massal.: 8153, Ennstal, Großer Alpkogel, Gipfelregion, auf *Fagus sylvatica*.
turfacea (Ach.) Koerber: Abb. 369

Sagiolechia

- protuberans* (Ach.) Massal.: 8252, Sengsengebirge, Tal des Blöttenbaches, Weg von Blumauer Alm auf den Haltersitz, auf Dolomitmehr, 1360 m; 8350, Totes Gebirge, Weg von Baumschlagerreith auf das Salzsteigjoch, auf Dolomitmehr, 1240 m.

Sarcogyne

- cyclocarpa* (Anzi) Steiner: 8448, Dachsteinmassiv, Weg von Obertraun auf den Krippenstein, Umgebung des Schönberghauses, auf Kalkfels, 1540 m.
pruinosa (Sm.) Mudd.: Abb. 370
simplex (Darbish.) Nyl., syn. *Polysporina s.* (Darbish.) Vězda: 7453, Mühlviertel, NNE von Freistadt, Graben, Granitfelsen im Steinbruch, 580 m.

Sarea

- resinæ* (Fr.) Kuntze, syn. *Biatorella r.* (Fr.) Th. Fr.: Abb. 371

Schismatomma

- abietinum* (Humb.) Massal.: Abb. 372

Scoliciosporum

- chlorococcum* (Graewe ex Stenl.) Vězda, syn.: *Bacidia ch.* (Stenl.) Lettau: Abb. 373

Solorina

- bispora* Nyl. var. *bispora*: Abb. 374

bispora Nyl. var. *monospora* (Gyelnik) Frey: 8351, Warscheneck, auf Erde in Felsspalt, Kalk, 2250 m.

saccata (L.) Ach.: Abb. 375

spongiosa (Sm.) Anzi: 8351,

Squamaria

gypsacea (Sm.) Poelt: Abb. 376

lamarckii (DC.) Poelt: Abb. 377

Staurothele

catalepta (Ach.) Blomb. & Forss.: 8150, Kremsmauer, Gradner Alm, auf Kalkfels, 1250 m.

clopima (Wahlenb.) Th. Fr.: 8246, Schafbergmassiv, Vormauerstein, auf Kalkfels in Viehweide, 1400 m; 8351, Warscheneck, Dümller Hütte, auf Kalkfels in Viehweide, 1780 m.

Stenocybe

major Nyl. ex Koerber: Abb. 378

pullatula (Ach. ex Sommerf.) B. Stein., syn. *S. byssacea* (Fr.) Koerber: Abb. 379

Stereocaulon

dactylophyllum Flörke: Abb. 380

Sticta

fuliginosa (Dickson) Ach.: Abb. 381 (vgl. SCHAUER 1965)

sylvatica (Hudson) Ach.: Abb. 382 (vgl. SCHAUER 1965)

Strangospora

moriformis (Ach.) Stein.: 8151, Sengsengebirge, Weg von Klaus auf Haidenalpe, auf Holz von *Picea abies*, 1400 m.

pinicola (Massal.) Koerber: 7748, Stritzing, ca. 4,5 km W von Grieskirchen, auf *Populus* spec., 380 m.

Strigula

stigmatella (Ach.) R.C. Harris, syn. *Porina faginea* (Schaerer) Arnold: Abb. 383

Thamnolia

subuliformis (Ehrh.) Culb.: Abb. 384

vermicularis (Swartz) Schaerer: Abb. 385

Thelidium

pyrenophorum (Ach.) Mudd: 8149, Sengsengebirge, Schillereck, auf Kalkfels, 1740 m

Thelomma

ocellatum (Koerber) Tibell: Sengsengebirge, Weg von Klaus auf die Haidenalpe, auf Holz von *Larix europaea*, Dachschindel, 1420 m.

Thelopsis

melathelia Nyl.: Abb. 386

Thelotrema

lepadinum (Ach.) Ach.: Abb. 387 (vgl. TÜRK & WITTMANN 1983)

Toninia

alutacea Anzi: 8447, Dachsteinmassiv, Weg von der Simony-Hütte zum Hohen Ochsenkogel, über Moosen auf Kalk, 2350 m.

caeruleonigrans (Lightf.) Th. Fr.: Abb. 388

candida (Weber) Th. Fr.: Abb. 389

lobulata (Sommerf.) Lynge: Abb. 390

rosulata (Anzi) Oliv.: Abb. 391

tumidula (Sm.) Zahlbr.: 8149, Kasberg, Weg von Farrenau-Hütte zur Sepp-Huber-Hütte, auf Kalkfels, 1480 m.

Trapelia

coarctata (Sm. & Sowerby) Choisy: Abb. 392

involuta (Taylor) Hertel: 7453, Mühlviertel, NNE von Freistadt, Graben, auf Granitfelsen in Steinbruch, 580 m; 8053, Steyr, Damberg, auf Sandstein, 760 m.

Umbilicaria

- cylindrica* (L.) Delise ex Duby: Abb. 393
deusta (L.) Baumg.: Abb. 394
hirsuta (Swartz ex Westr.) Hoffm.: Abb. 395
hyperborea (Ach.) Hoffm.: 7249, Mühlviertel, 600 m WSW vom Plöckenstein, Rohblockhalde,
auf Granit in 1360 m (vgl. TÜRK & WITTMANN 1983).
polyphylla (L.) Hoffm.: Abb. 396

Usnea

- ceratina* Ach.: 8046, nach RICEK (1983) im Klauswald bei Thalham bei St. Georgen in den
Jahren 1946 bis 1970 beobachtet; 8249, Totes Gebirge, Almsee, auf verschiedenen
Baumarten, 620 m.
filipendula Stirton: Abb. 397
florida (L.) Wigg.: Abb. 398
fulvoreagens (Räsänen) Räsänen: 7450, Mühlviertel, SW von Helfenberg, auf *Alnus*
glutinosa, 560 m.
glabrescens (Nyl. ex Vainio) Vainio: 7249, Mühlviertel, Schwarzenberg, auf *Fraxinus*
excelsior, 800 m; 8347, Bad Goisern, Weg zur Goiserer Hütte, auf *Salix* spec., 850 m.
hirta (L.) Wigg.: Abb. 399
subfloridana Stirton, syn.: *U. comosa* (Ach.) Vainio: Abb. 400

Varicellaria

- rhodocarpa* (Koerber) Th. Fr.: Abb. 401

Xanthoria

- candelaria* (L.) Th. Fr.: Abb. 402
elegans (Link) Th. Fr.: Abb. 403
fallax (Hepp) Arnold: Abb. 404
parietina (L.) Th. Fr.: Abb. 405
polycarpa (Hoffm.) Rieber: Abb. 406

Xylographa

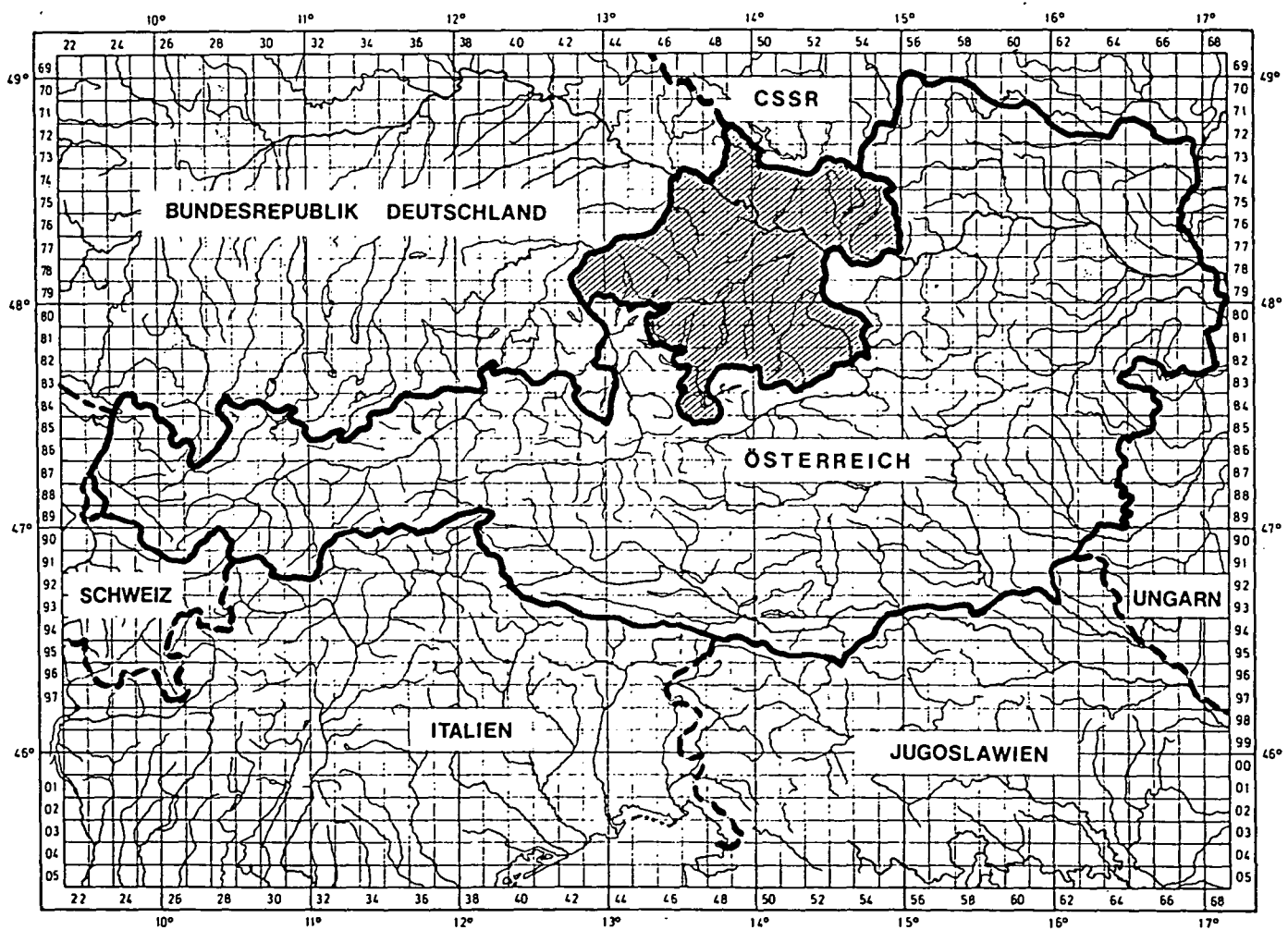
- abietina* (Pers.) Zahlbr.: Abb. 407
vitiligo (Ach.) Laundon: Abb. 408

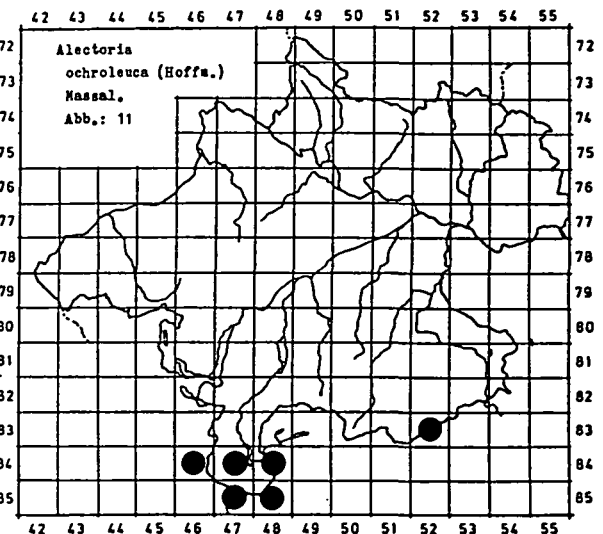
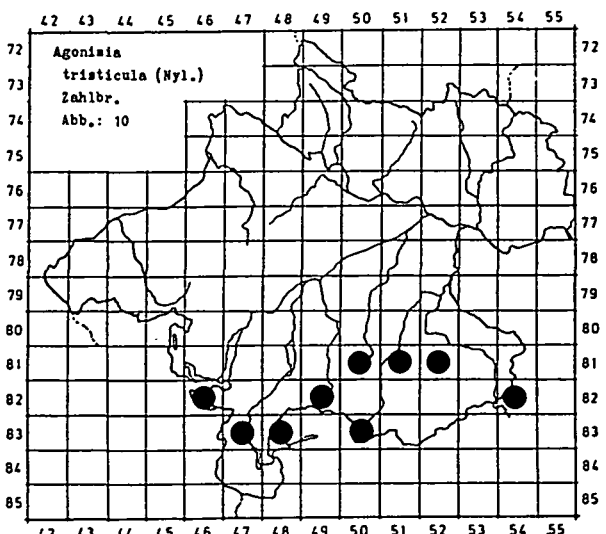
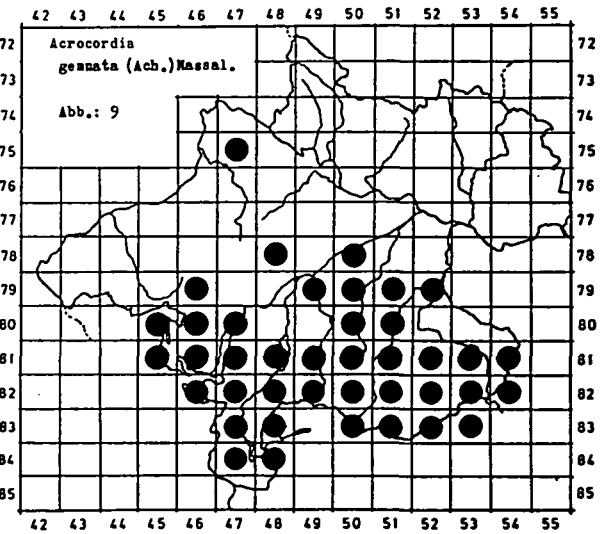
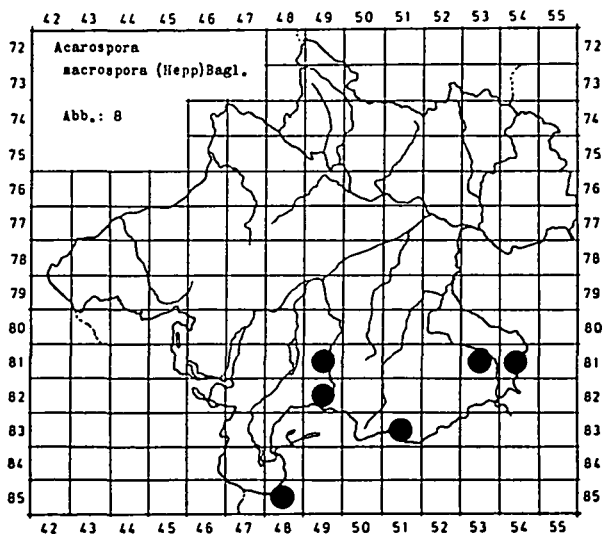
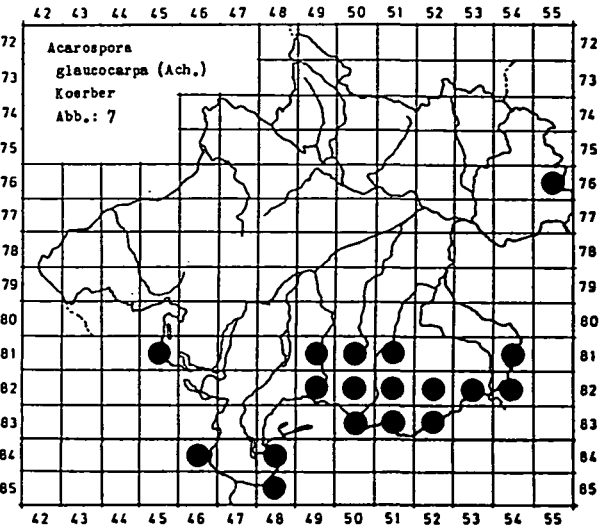
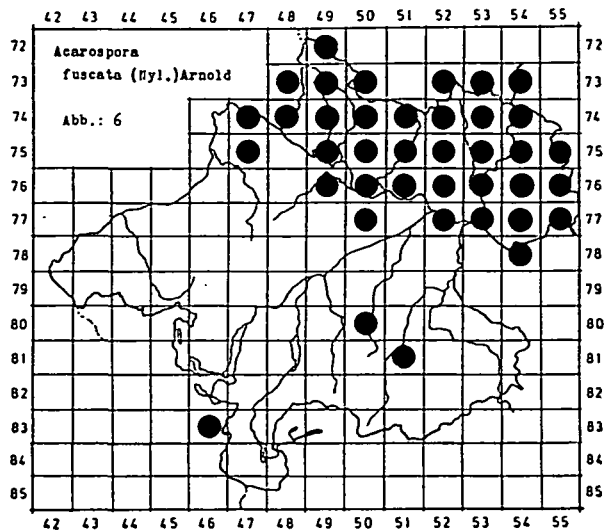
4. LITERATUR

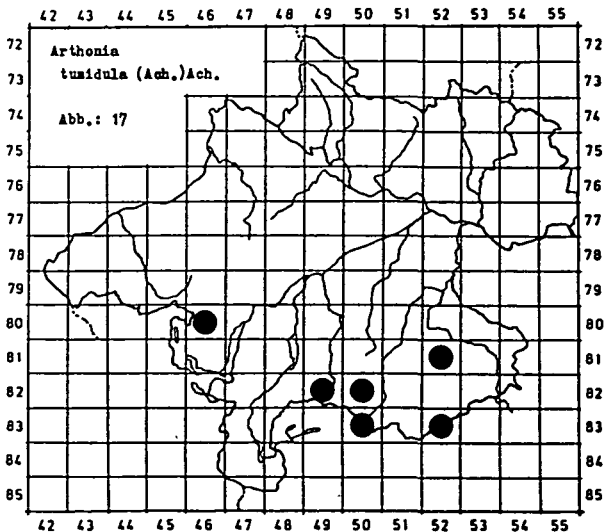
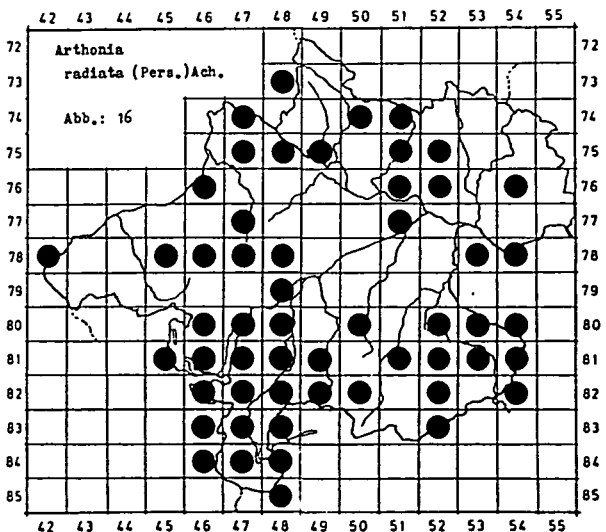
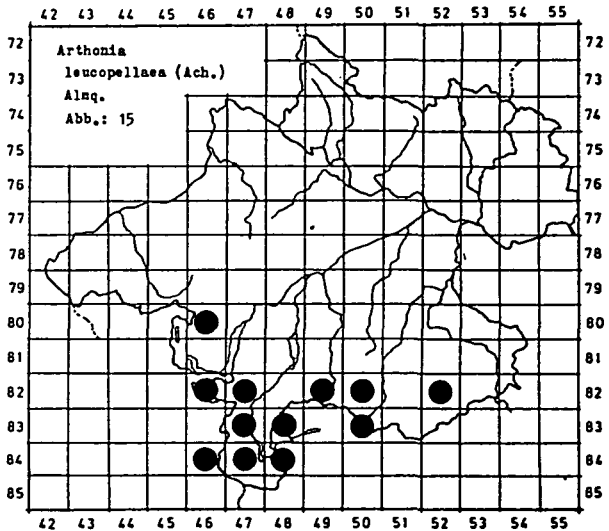
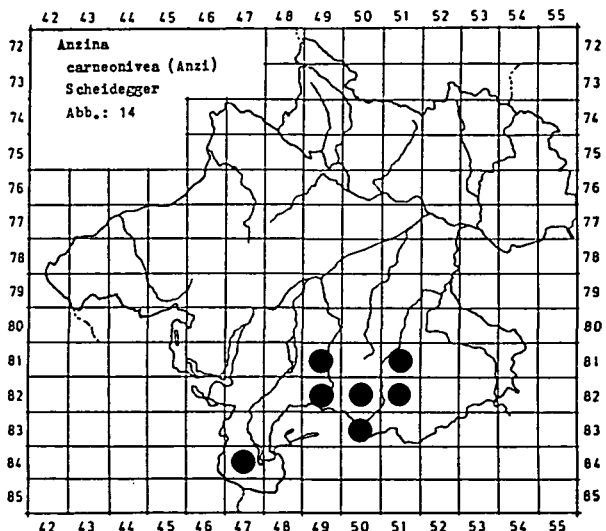
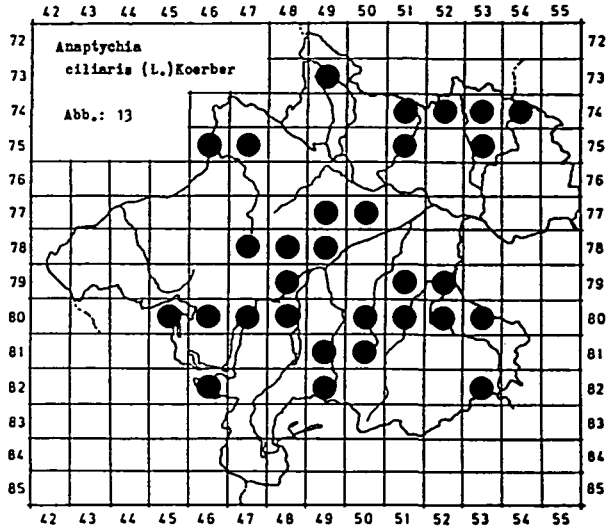
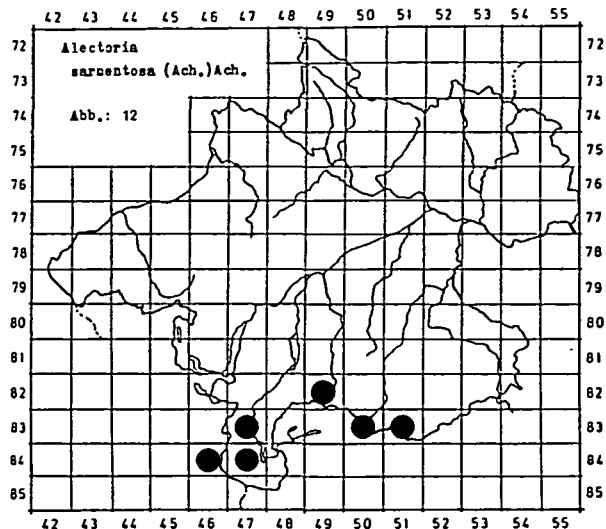
- BORTENSCHLAGER, S. & SCHMIDT, H. (1963 a): Luftverunreinigung und Flechtenverbreitung
in Linz. - Ber. Nat.-med. Ver. Innsbruck **53**: 23—27.
- BORTENSCHLAGER, S. & SCHMIDT, H. (1963 b): Untersuchung über die epixyle Flechten-
vegetation im Großraum Linz. - Natkdl. Jb. Stadt Linz 1963: 19—35.
- GEITLER, L. (1955): *Clavaria mucida*, eine extratropische Basidiolichene. - Biol. Zbl. **74**:
145—159.
- HAWKSWORTH, D. L. + ROSE, F. (1976): Lichens as pollution monitors. Studies in Biology
Nr. 66, Edward Arnold, London, 59 pp.
- HOISLBAUER G. (1979): Rindenflechten im oberösterreichischen Zentralraum und ihre Ab-
hängigkeit von Umwelteinflüssen. - Staphia **5**: 69 pp.

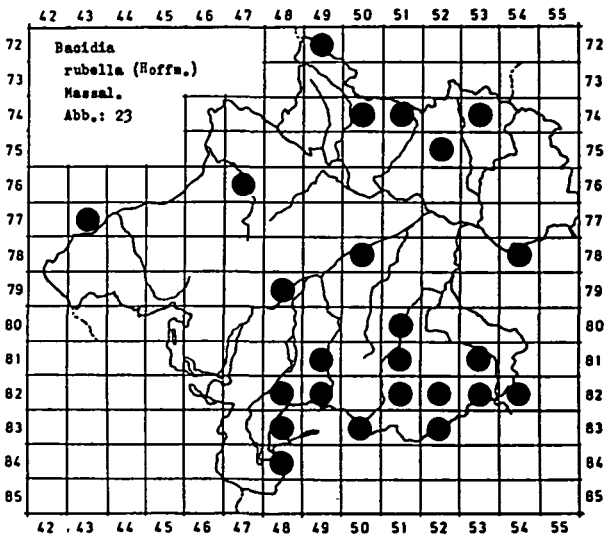
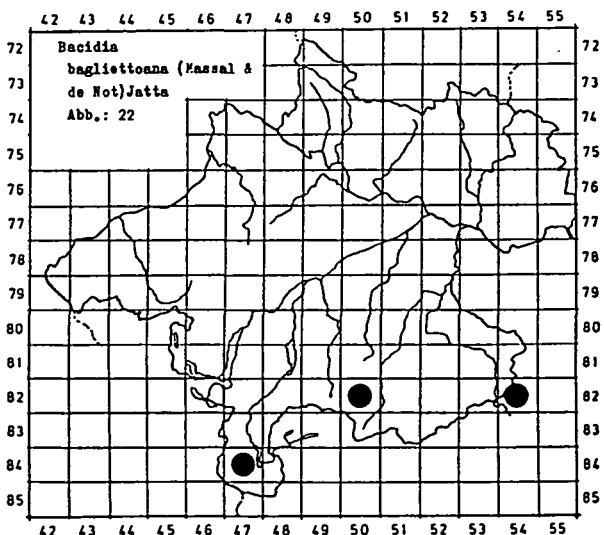
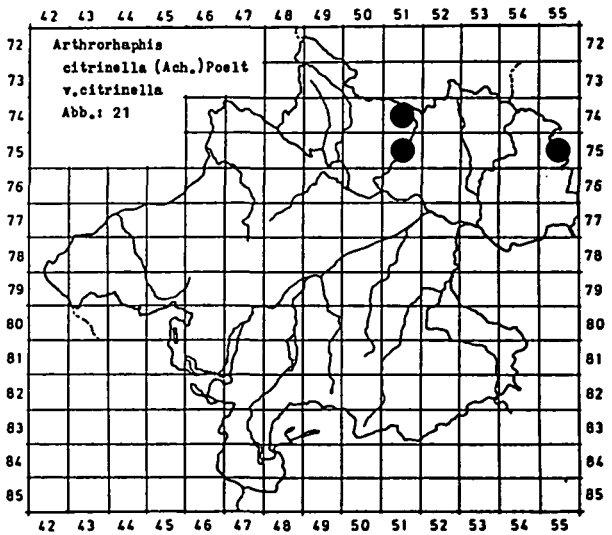
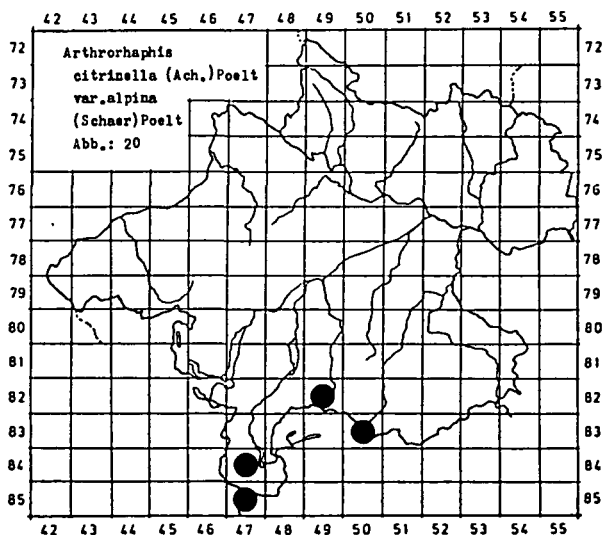
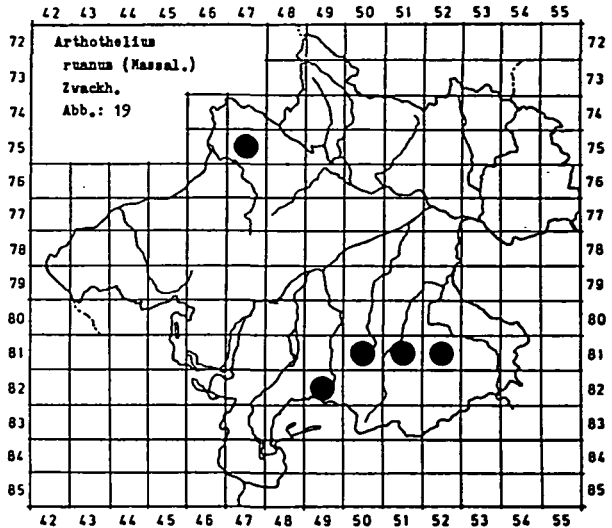
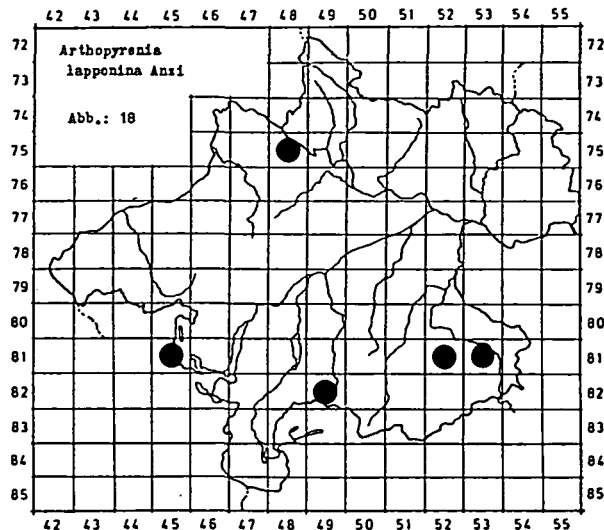
- JANIK, V. (1969): Atlas von Oberösterreich, Blatt 55 (Geologie), Wien.
- KOHL, H. (1958): Atlas von Oberösterreich, Blatt 3 (Temperatur), Wien.
- NIKLFELD, H. (1971): Bericht über die Kartierung Mitteleuropas. - *Taxon* **20**: 545—571.
- PHILIPPI, G. & WIRTH, V. (1973): Eine Kartierung von Flechten und Moosen in der Bundesrepublik Deutschland. - *Gött. Flor. Rundbr.* **7**: 58—62.
- POELT, J. (1969): Bestimmungsschlüssel europäischer Flechten. - *J. Cramer, Lehre*, 757 pp.
- POELT, J. + VÉZDA, A. (1977): Bestimmungsschlüssel europäischer Flechten, Ergänzungsheft 1. - *Bibliotheca Lichenologica* 9, J. Cramer, Vaduz, 258 pp.
- POELT J. & VÉZDA, A. (1981): Bestimmungsschlüssel europäischer Flechten, Ergänzungsheft 2. - *Bibliotheca Lichenologica* 16, J. Cramer, Vaduz, 390 pp.
- POETSCH, J.S. & SCHIEDERMAYR K.B. (1872): Systematische Aufzählung der im Erzherzogthume Österreich ob der Enns bisher beobachteten samenlosen Pflanzen (Kryptogamen). - *KK. zool.-bot. Ges. Wien. (Lichenes)*: pp. 172—277.
- POETSCH, J.S. & SCHIEDERMAYR K.B. (1894): Nachträge zur systematischen Aufzählung der im Erzherzogthume Österreich ob der Enns bisher beobachteten samenlosen Pflanzen (Kryptogamen). - *KK. zool.-bot. Ges. Wien. (Lichenes)*: pp. 135—162.
- RICEK, E.W. (1970): *Cetraria oakesiana* TUCK. im Hausruckwald, Oberösterreich. - *Herzogia* **1**: 465—467.
- RICEK, E.W., (1983): Einige Flechtenfunde aus dem Attergau, Hausruck- und Kobernausserwald. - *Linzer biol. Beitr.* **14**: 147—155.
- SCHAUER, T. (1965): Ozeanische Flechten im Nordalpenraum. - *Portugaliae Acta Biologica (B)* **8**: 17—229.
- SPENLING, N. (1971): Flechten und Flechtengesellschaften des Waldviertels. - *Herzogia* **2**: 161—230.
- STEINHAUSER, F. (1969): Atlas von Oberösterreich, Blatt 57 (Klima), Wien.
- TÜRK, R. (1979): Über einige interessante Flechtenfunde im südlichen Oberösterreich. - *Herzogia* **5**: 89—93.
- TÜRK & HOISLBAUER (1978): Der Flechtenbewuchs von Birn- und Apfelbäumen als Indikator für die Luftverunreinigung im Großraum Linz. - *Linzer biol. Beitr.* **9**: 213—224.
- TÜRK, R., WIRTH, V. & LANGE, O.L. (1974): CO₂-Gaswechsel-Untersuchungen zur SO₂-Resistenz von Flechten. - *Oecologia (Berlin)* **15**: 33—64.
- TÜRK, R. & WITTMANN, H. (1983): Neue und bemerkenswerte Flechtenfunde aus Oberösterreich I. - *Linzer biol. Beitr.* **14**: 127—139.
- TÜRK, R., WITTMANN, H. & PILSL, P. (1982): Ergebnisse der floristischen Flechtenkartierung in Oberösterreich - ein erster Überblick. - *Stapfia* **10**, 121—137.
- WIRTH, V. (1976): Veränderungen der Flechtenflora und Flechtenvegetation in der Bundesrepublik Deutschland. - *Schr. R. Vegetationskunde* **10**: 177—202.
- WIRTH, V. (1980): Flechtenflora: Ökologische Kennzeichnung und Bestimmung der Flechten Südwestdeutschlands und angrenzender Gebiete. - Ulmer, Stuttgart, 552 pp.
- WIRTH, V. & FUCHS, M. (1980): Zur Veränderung der Flechtenflora in Bayern. Forderungen und Möglichkeiten des Artenschutzes. - *Schr. R. Naturschutz und Landschaftspflege* **12**: 29—43.
- WIRTH, V. & RITSCHEL, G. (1976): Die floristische Kartierung der Flechten in der Bundesrepublik Deutschland, insbesondere in Süddeutschland. - *Mitt. flor.-soz. Arbeitsgem. N.F.* **19/20**: 35—45.

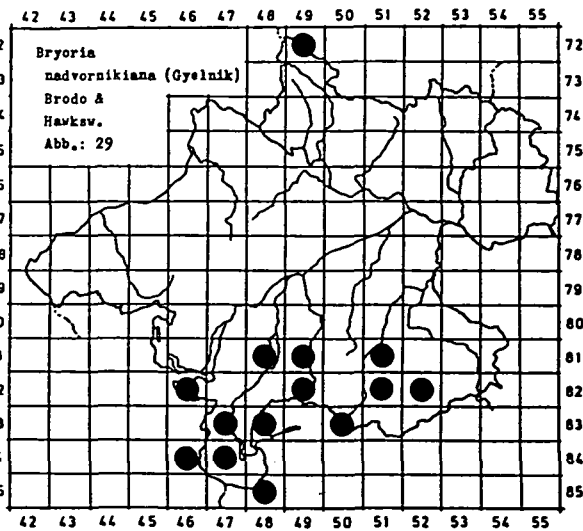
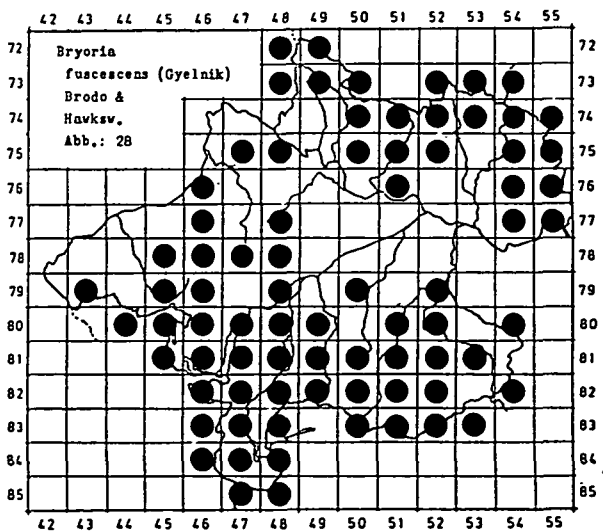
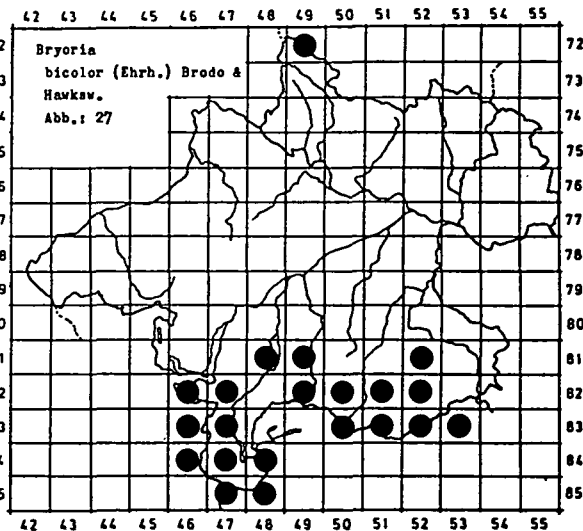
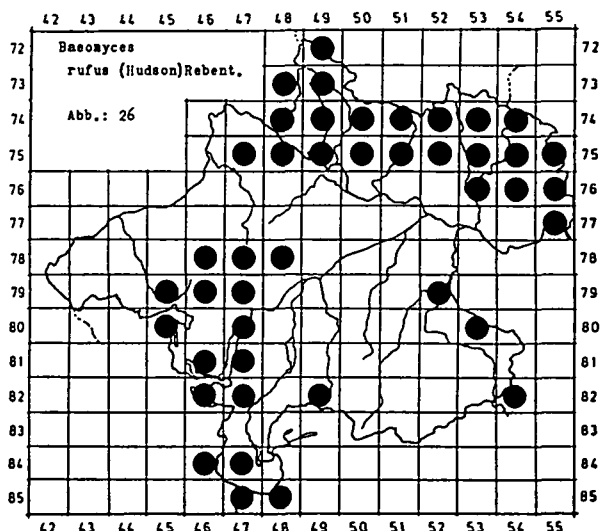
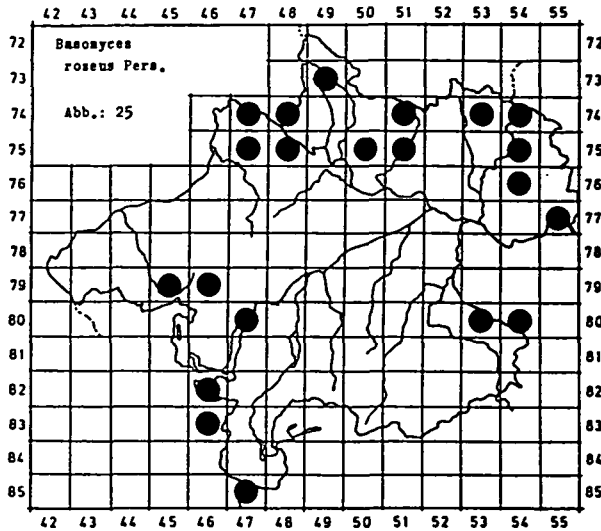
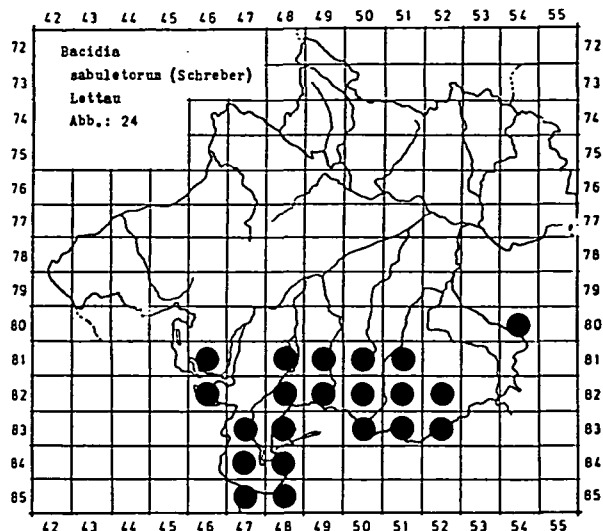
5. VERBREITUNGSKARTEN

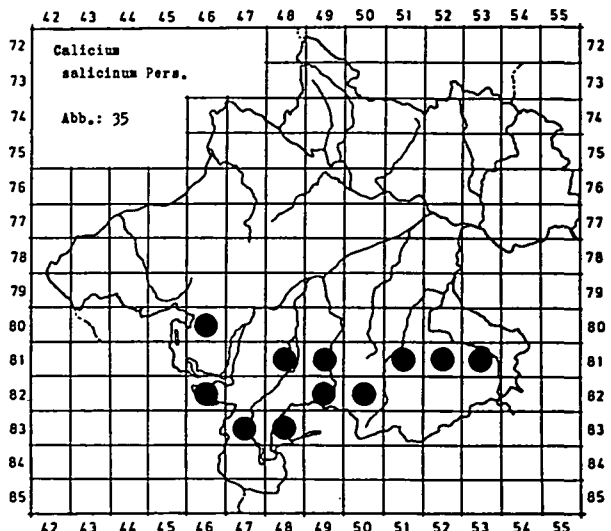
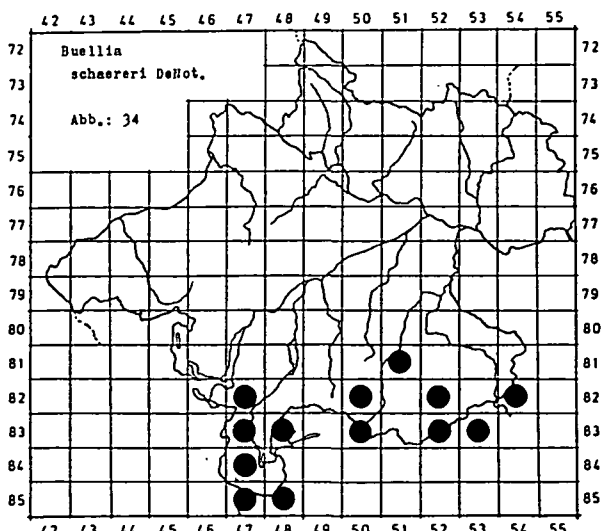
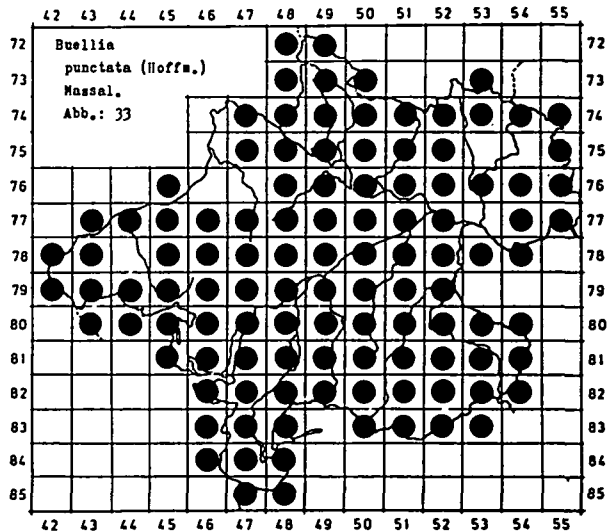
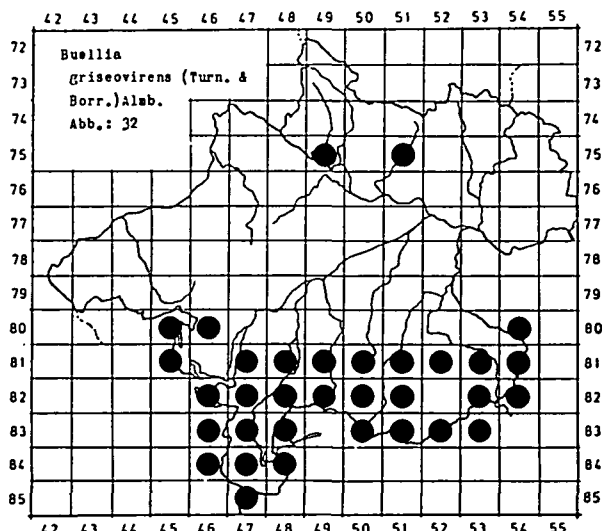
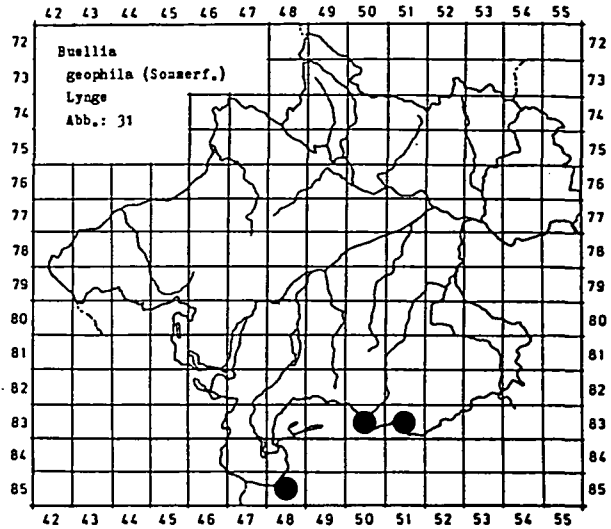
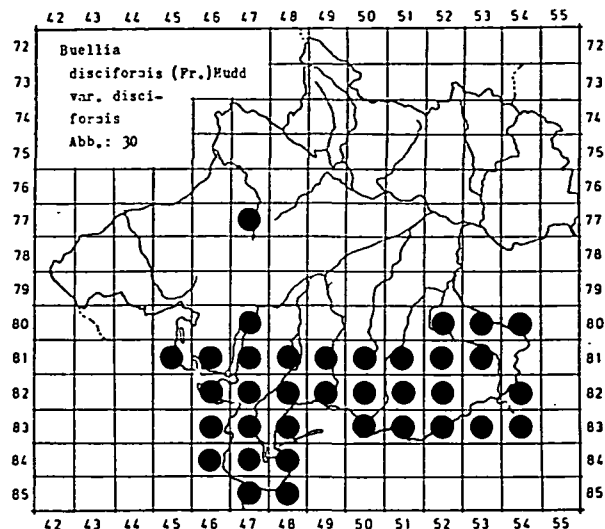


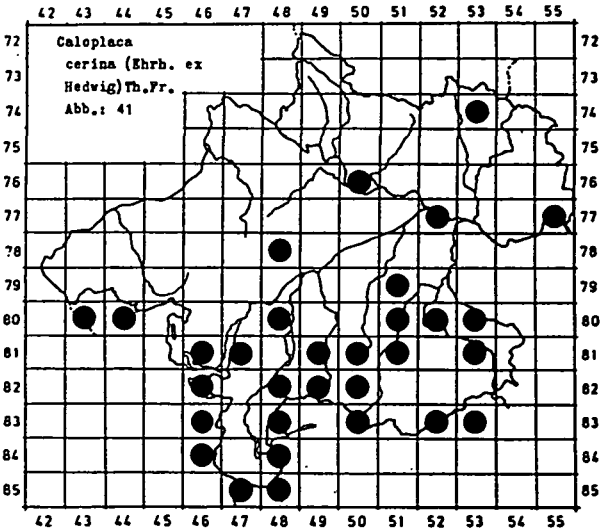
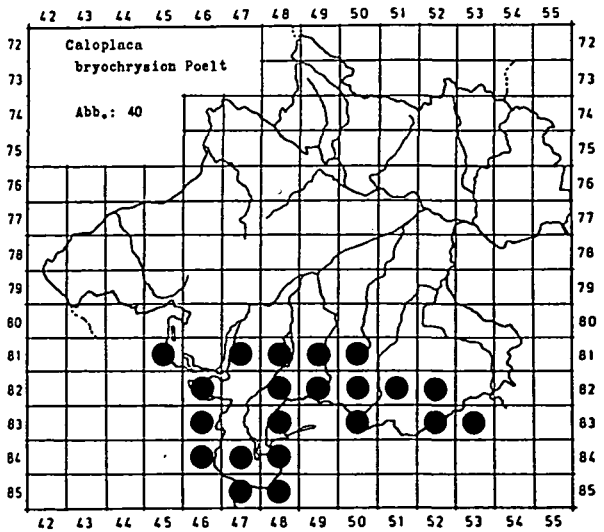
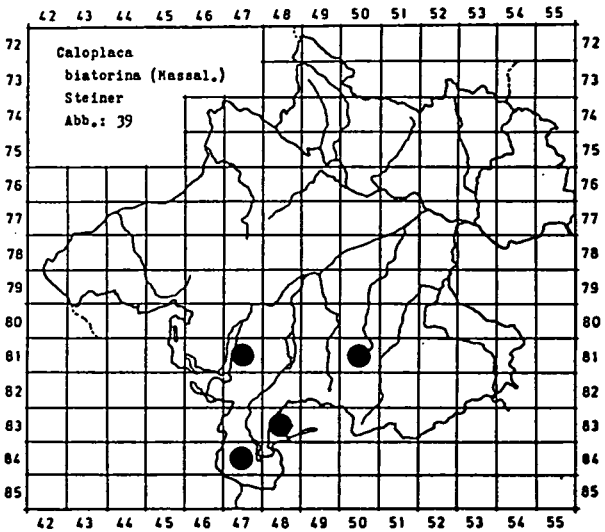
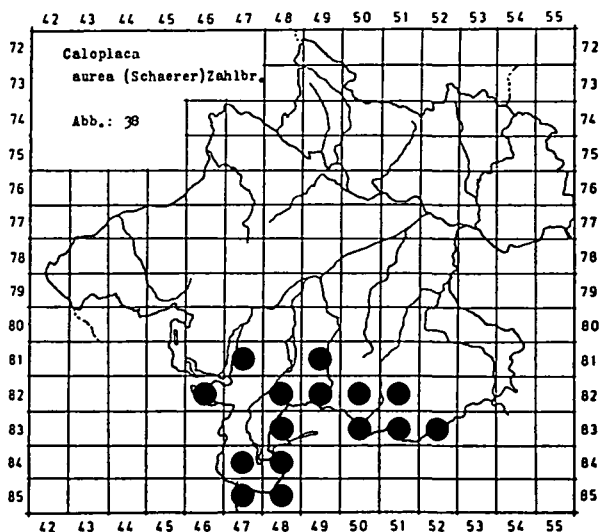
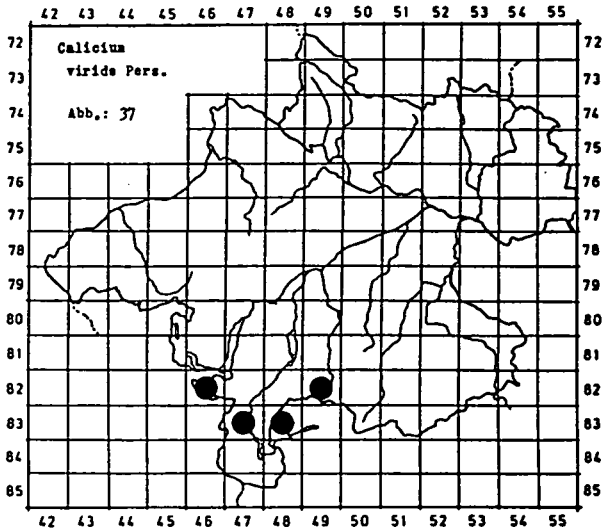
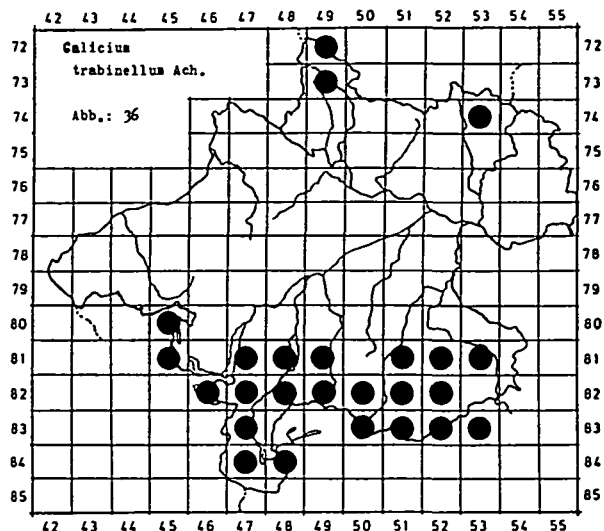


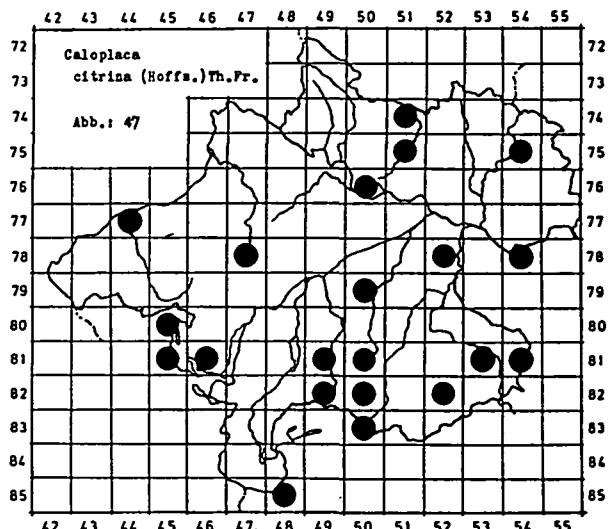
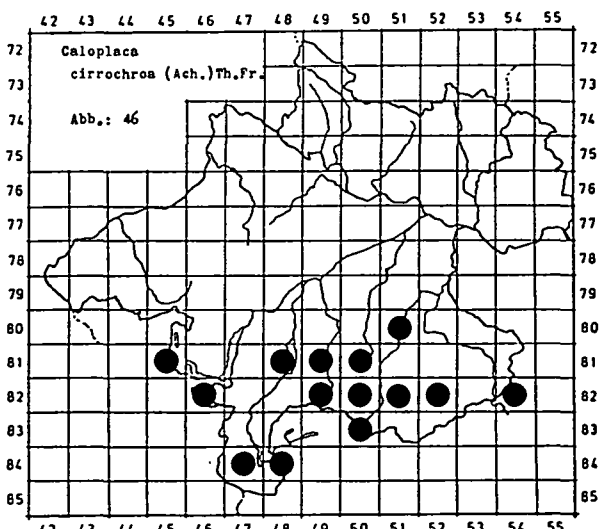
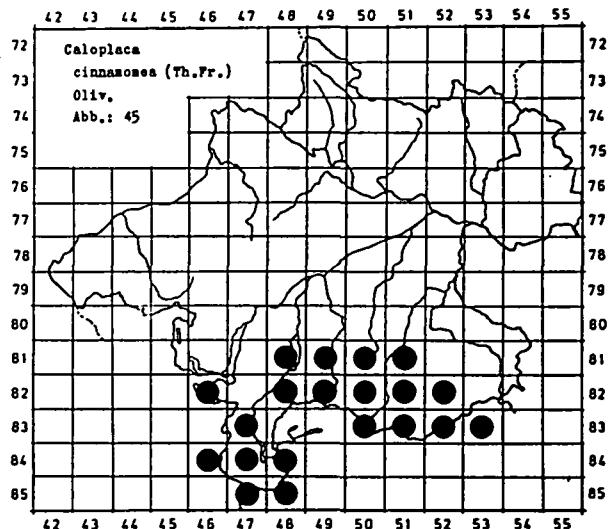
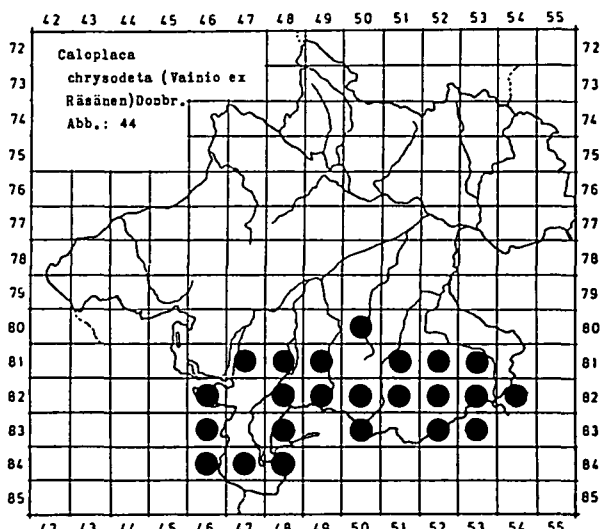
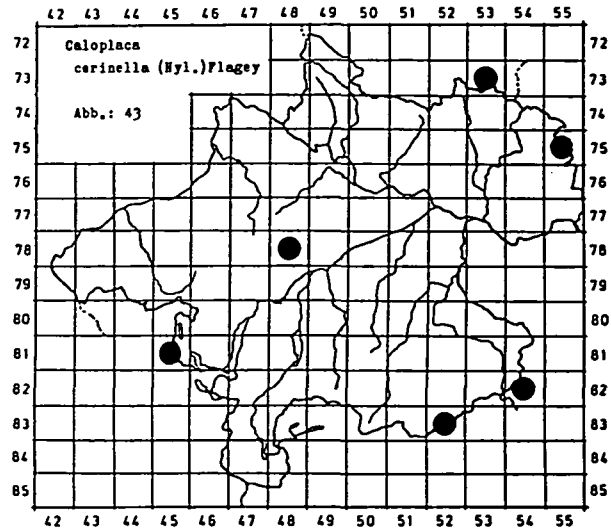
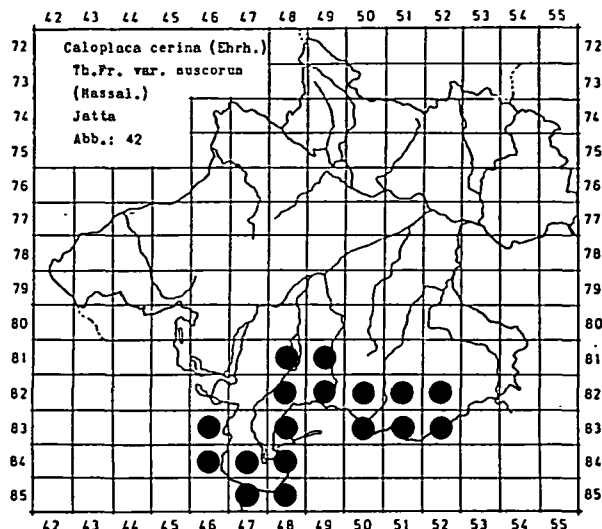


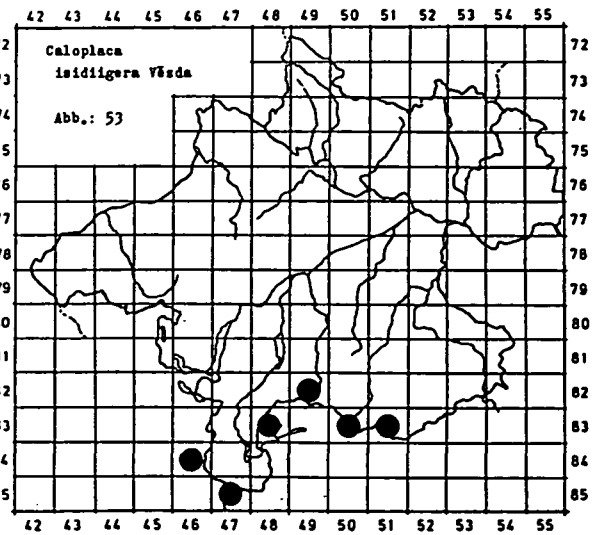
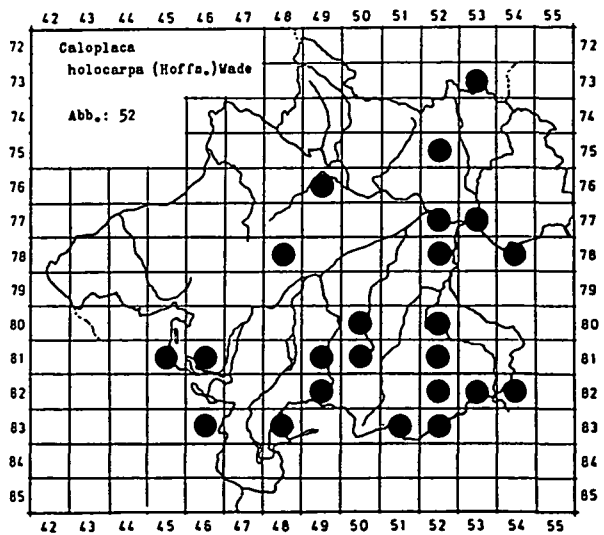
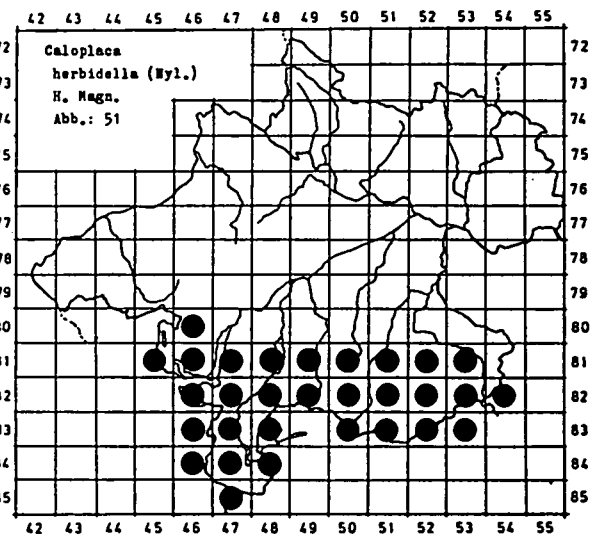
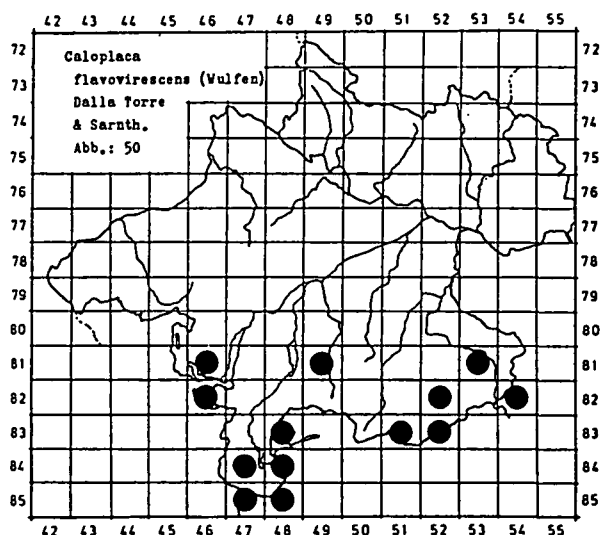
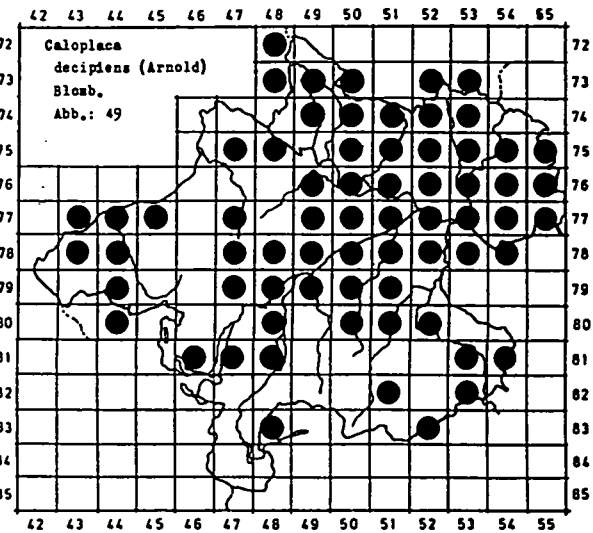
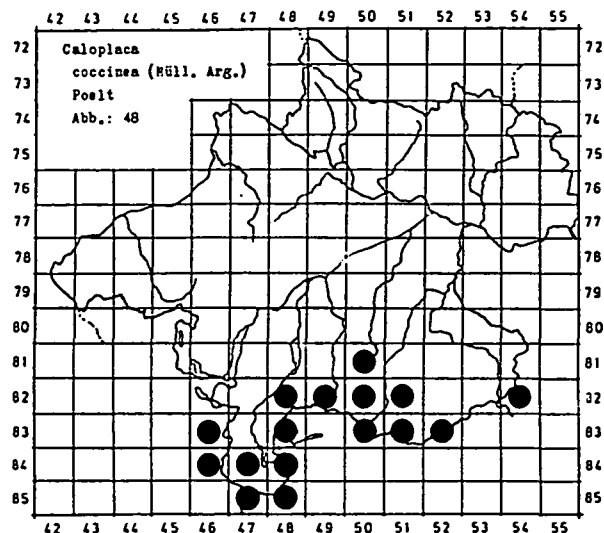


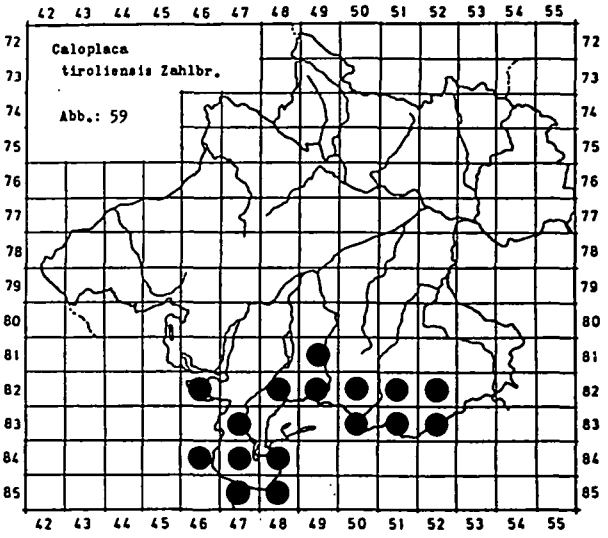
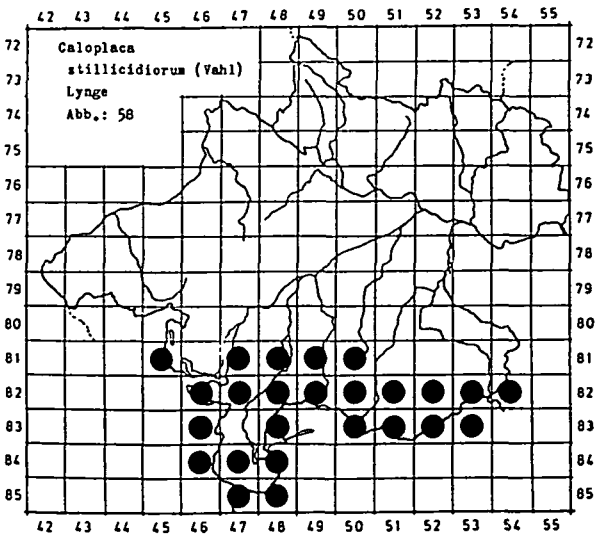
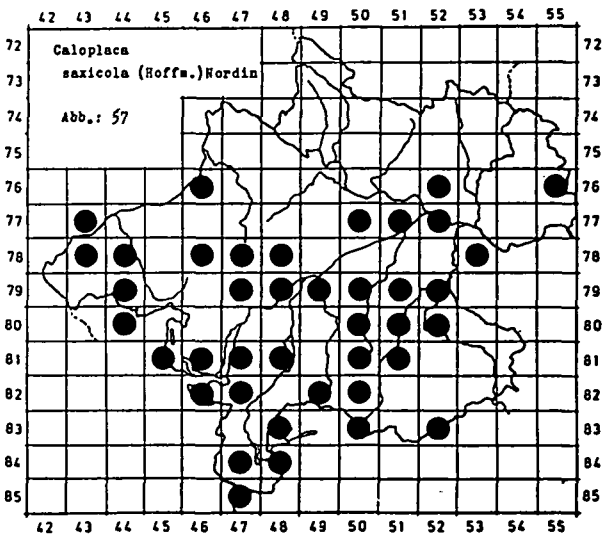
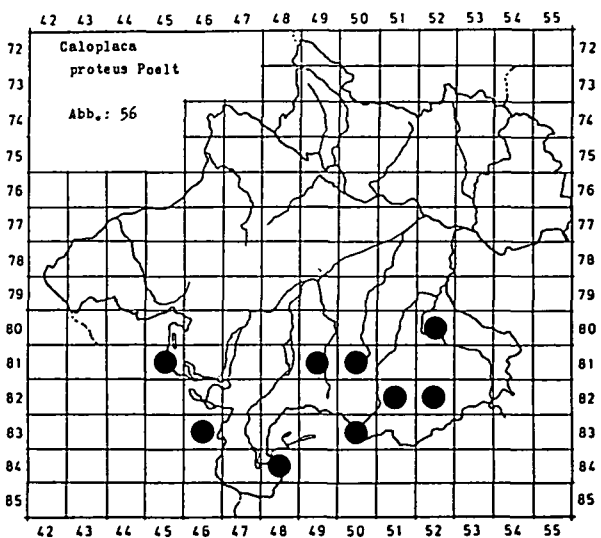
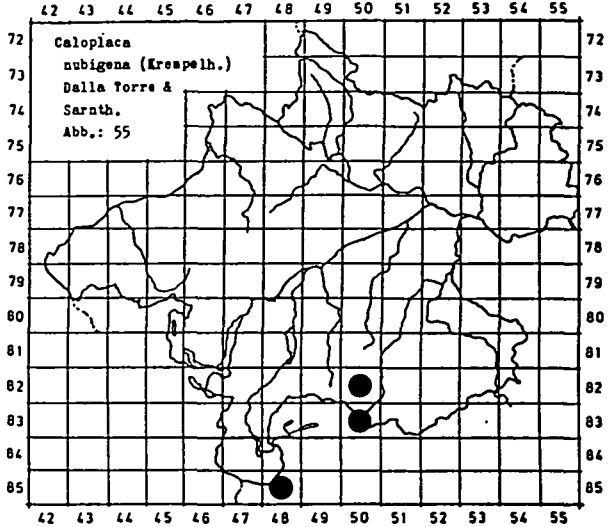
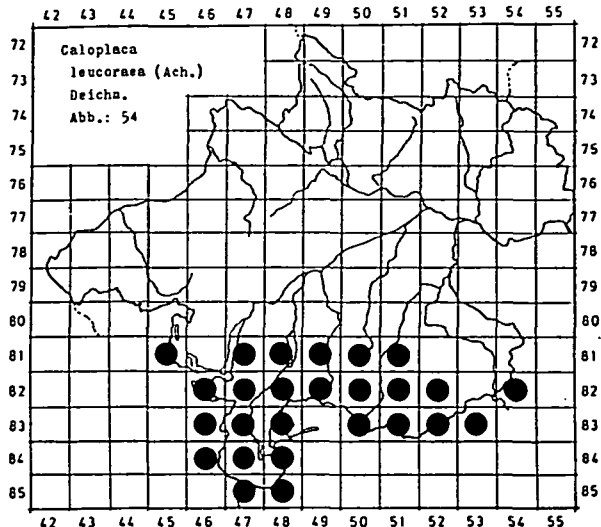


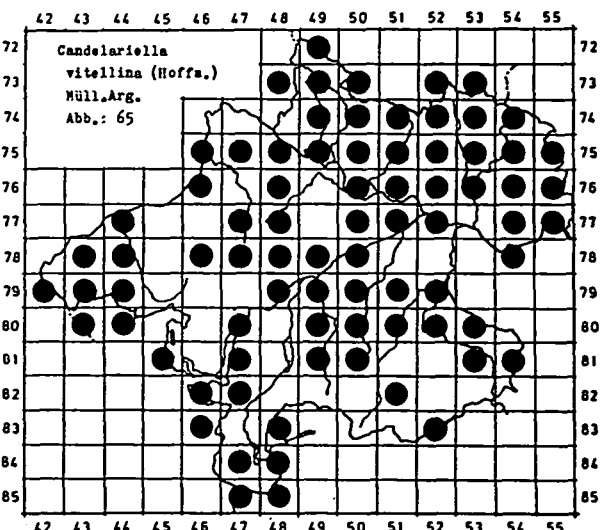
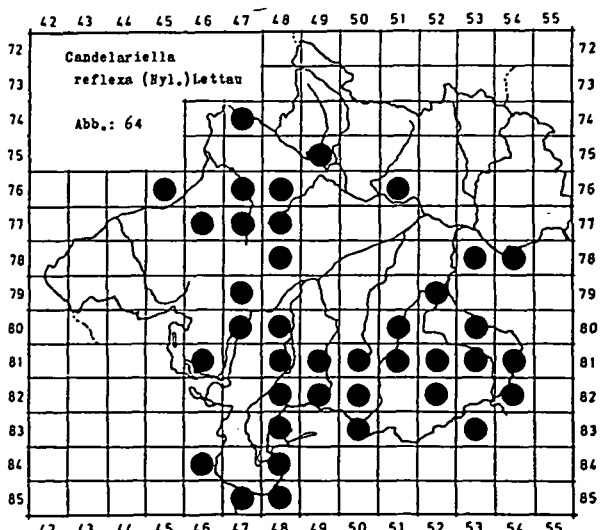
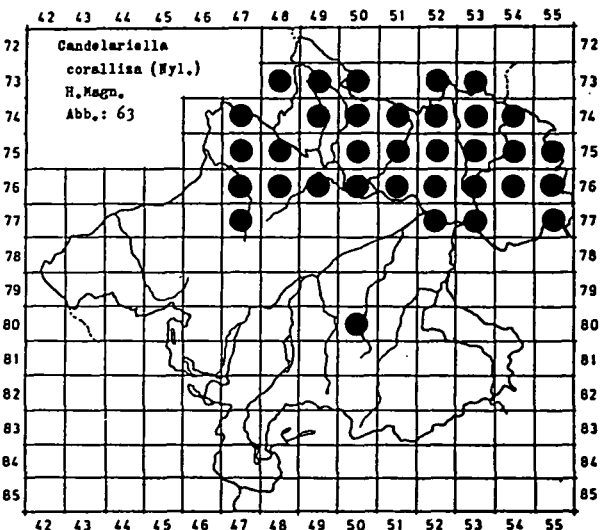
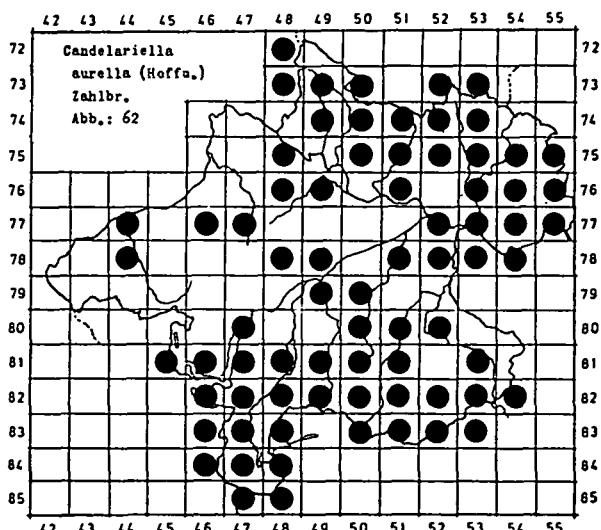
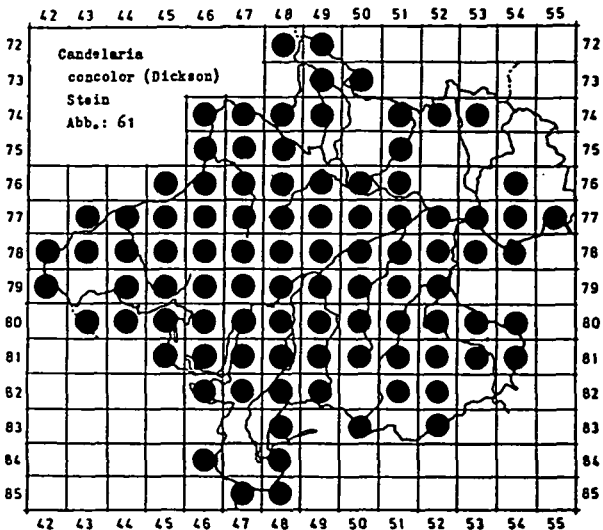
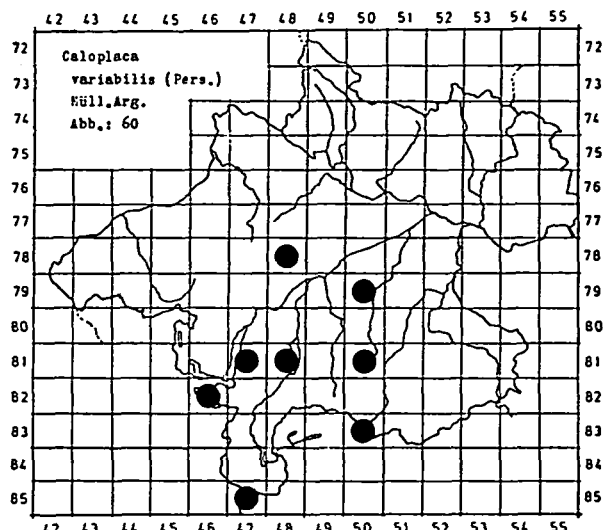


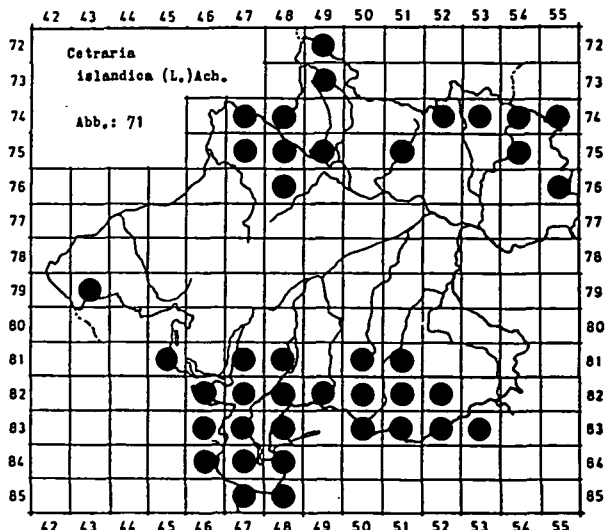
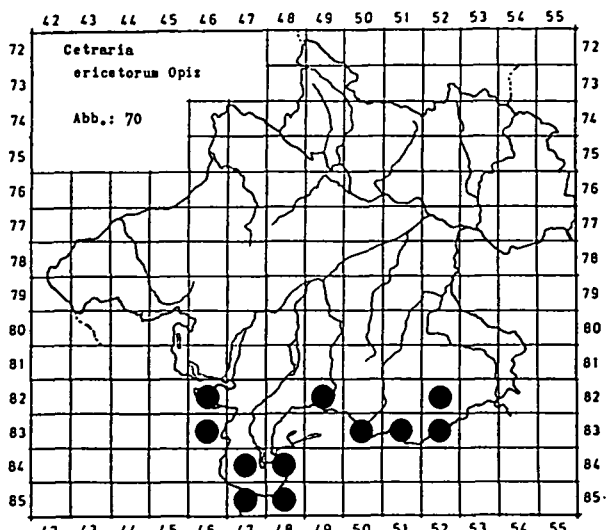
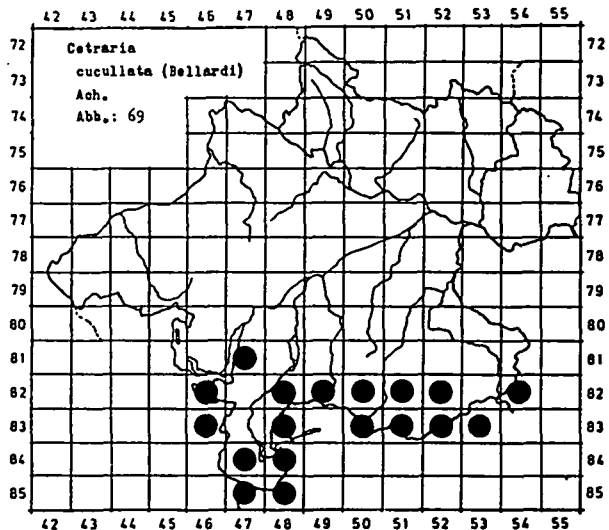
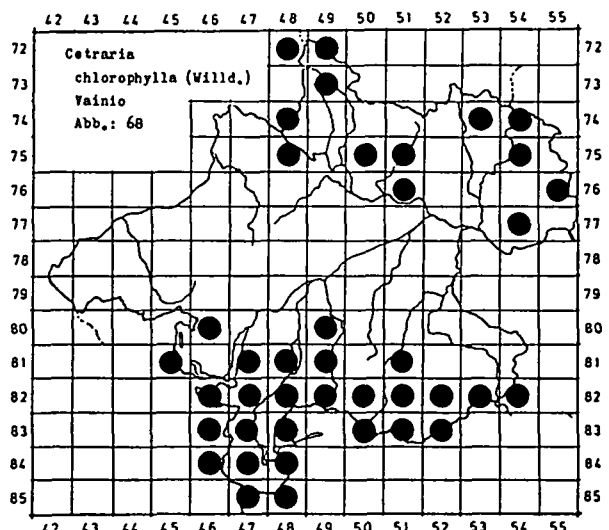
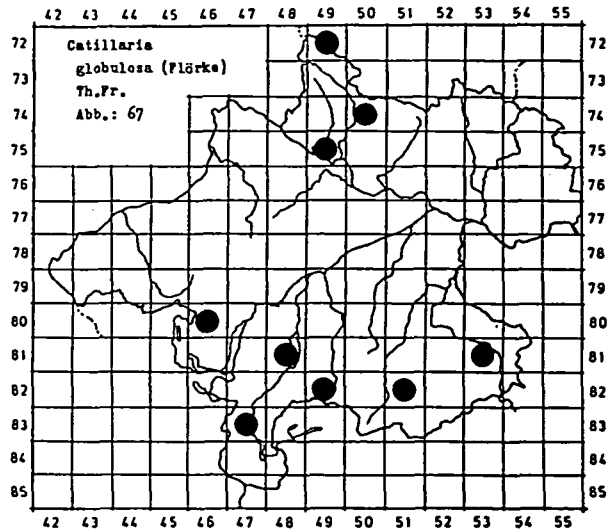
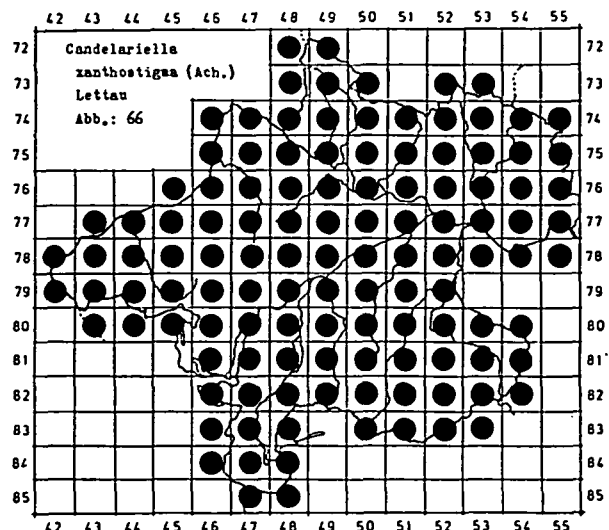


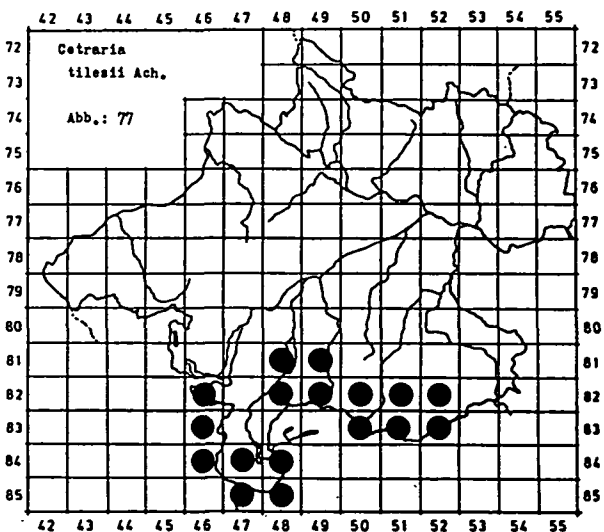
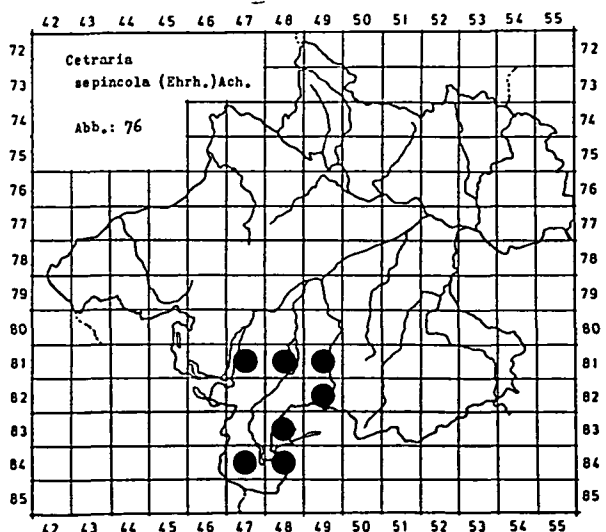
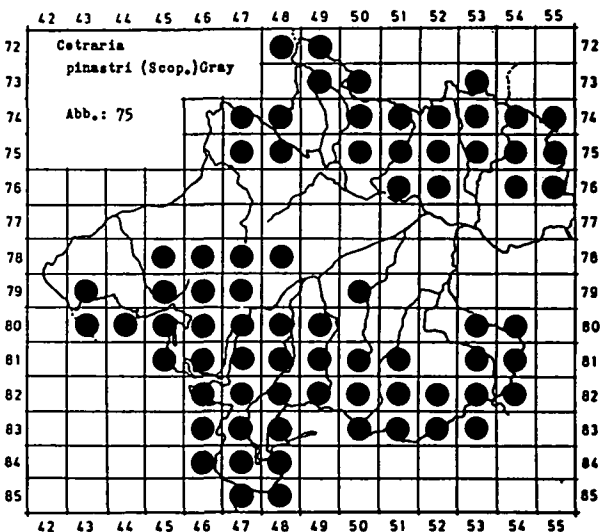
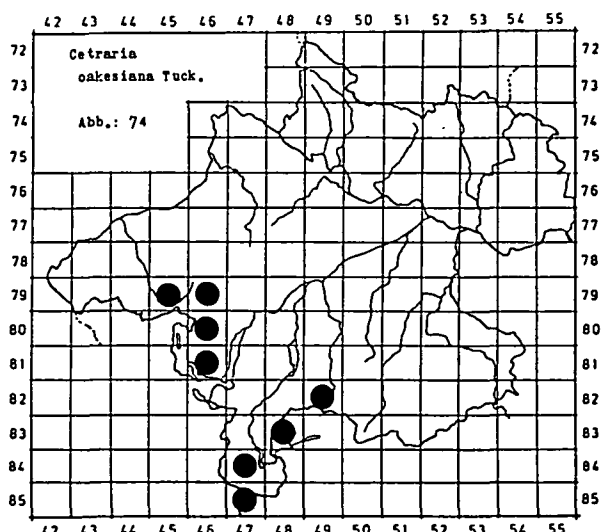
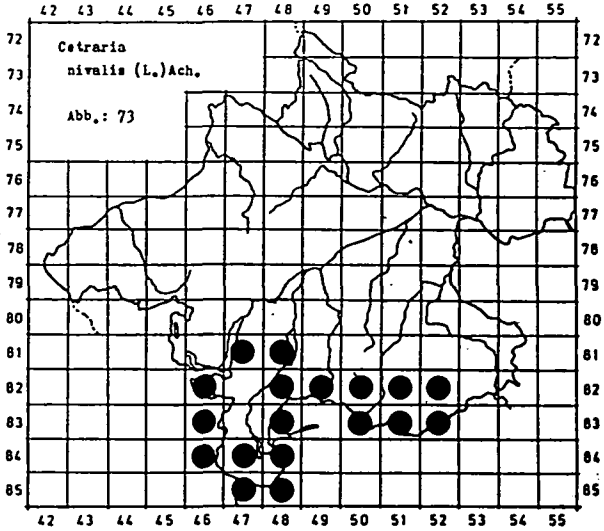
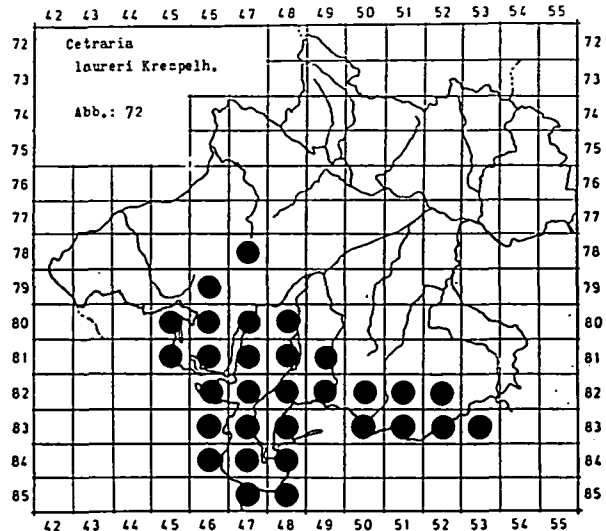


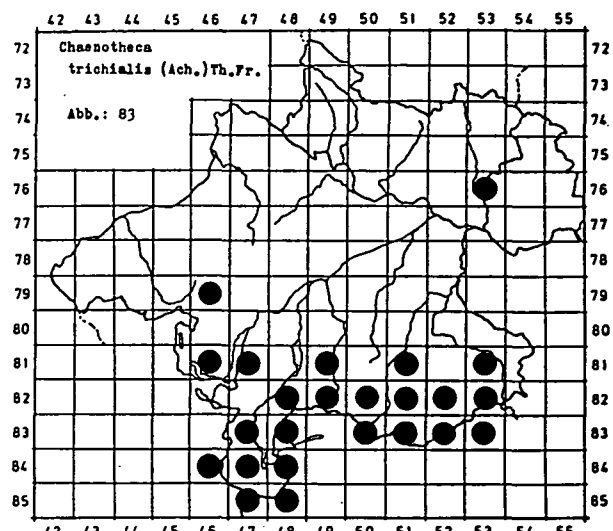
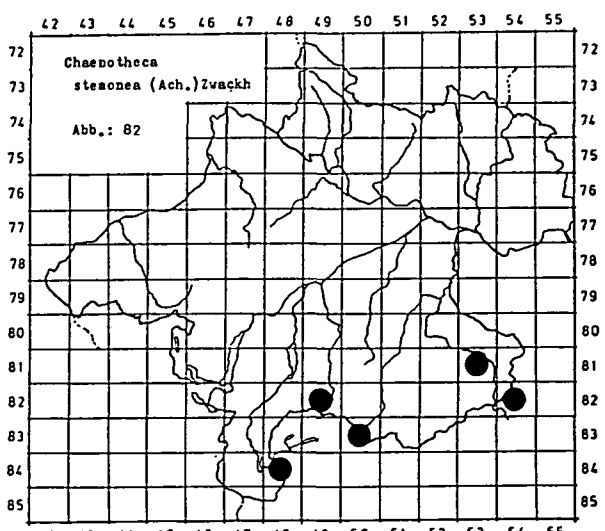
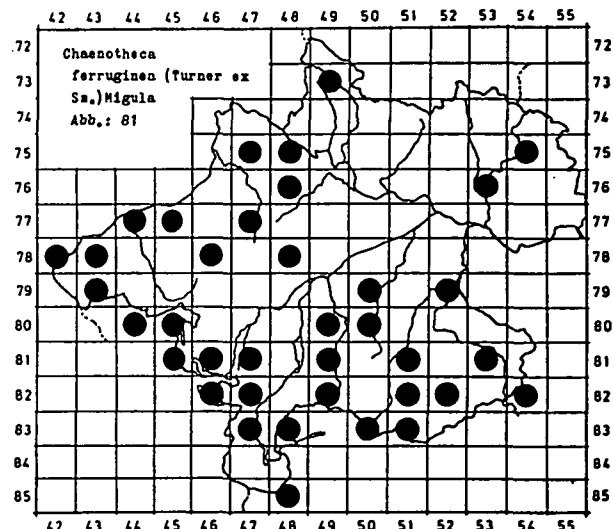
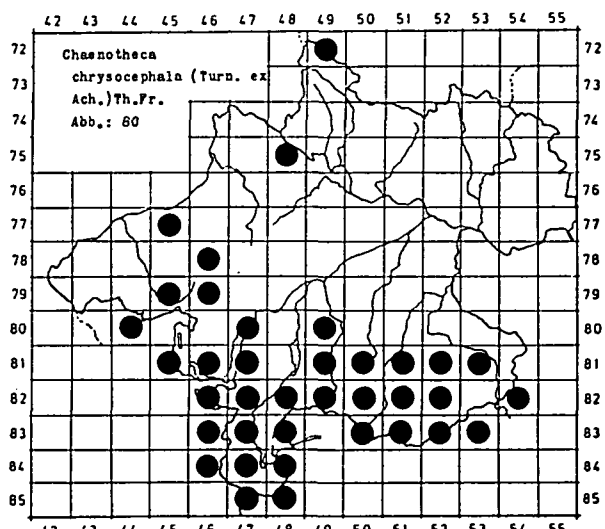
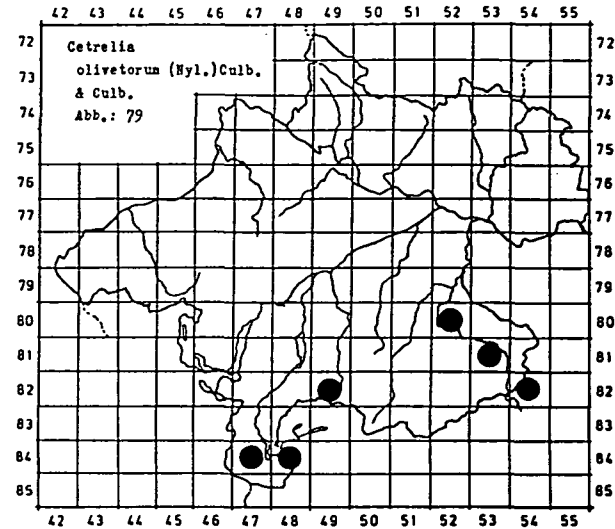
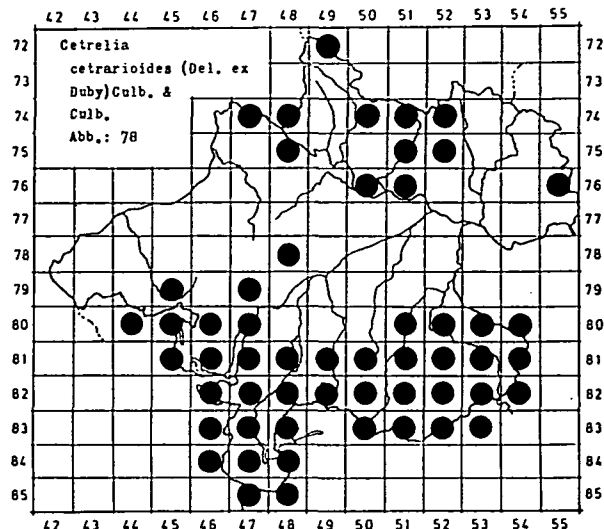


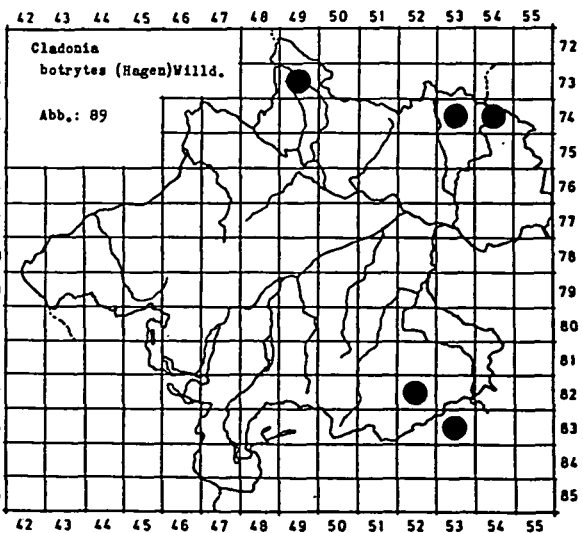
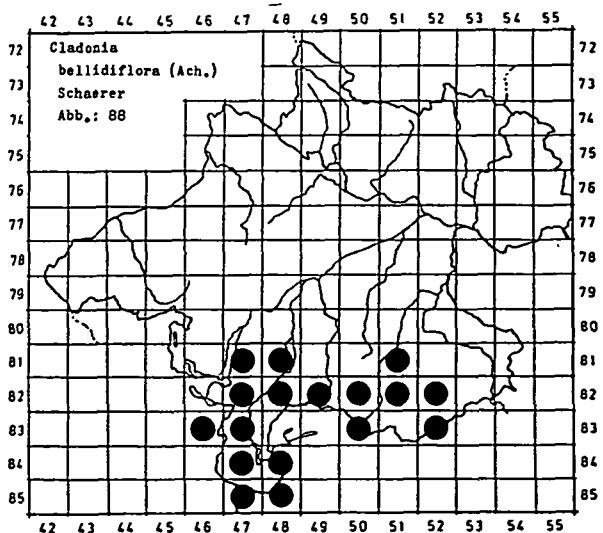
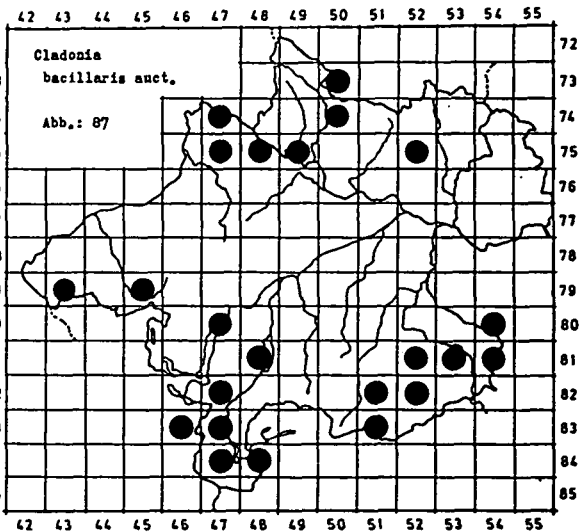
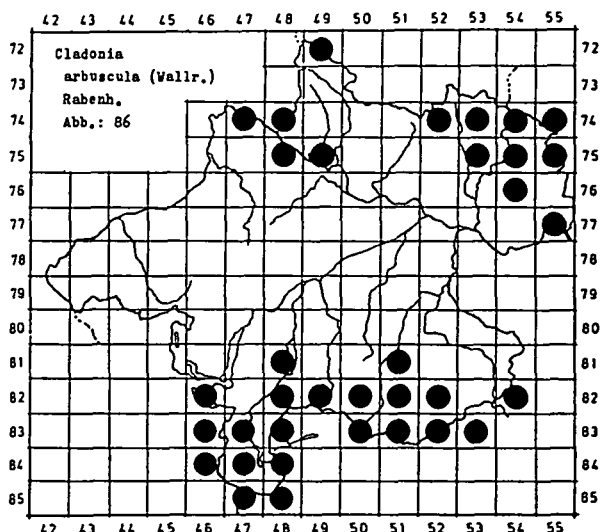
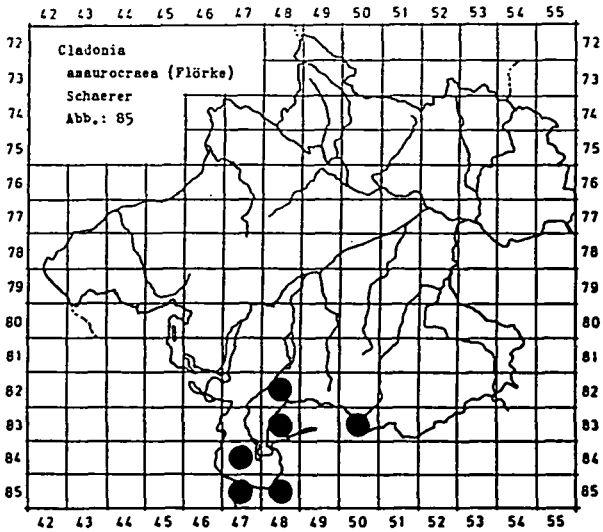
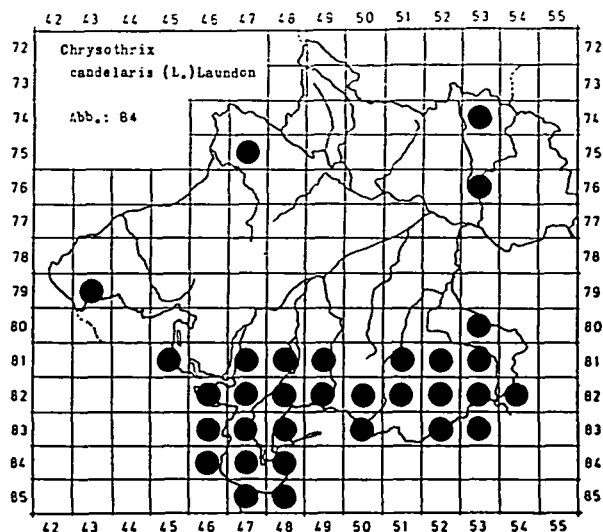


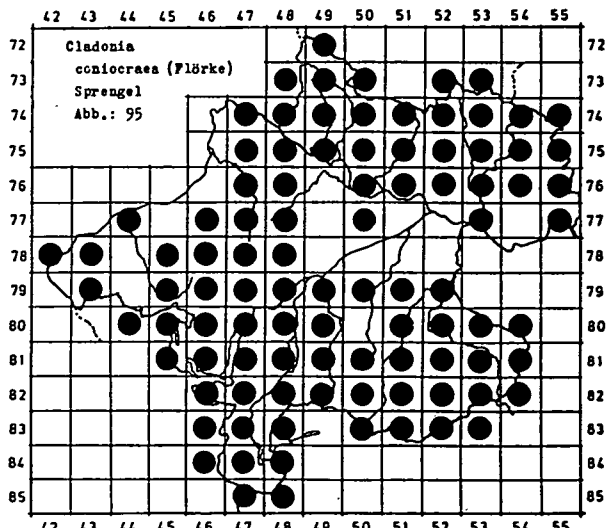
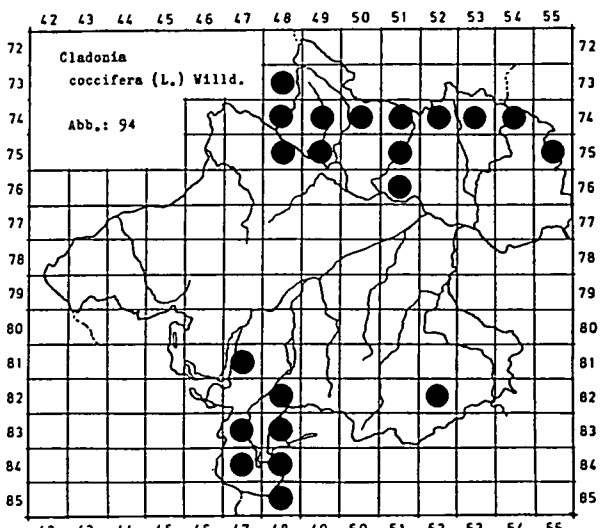
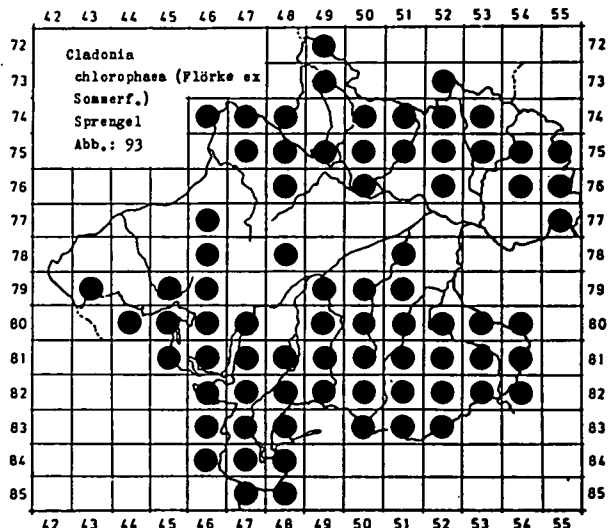
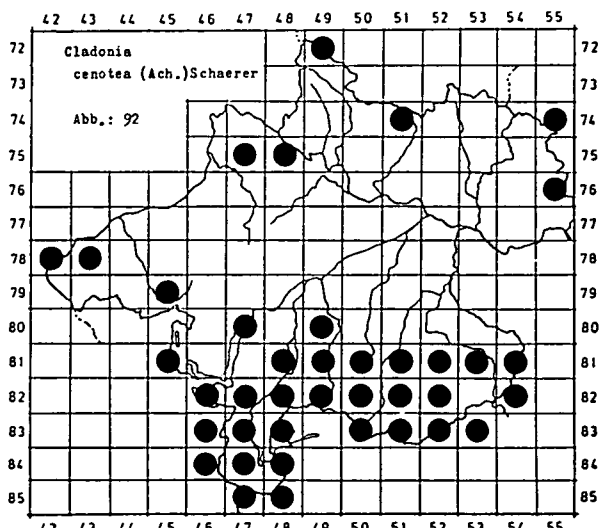
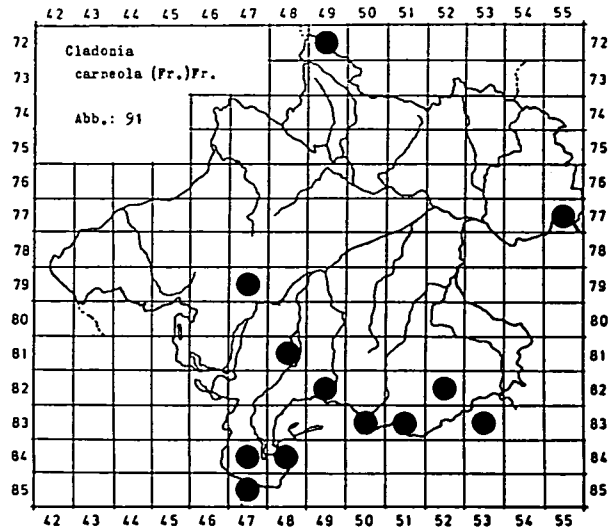
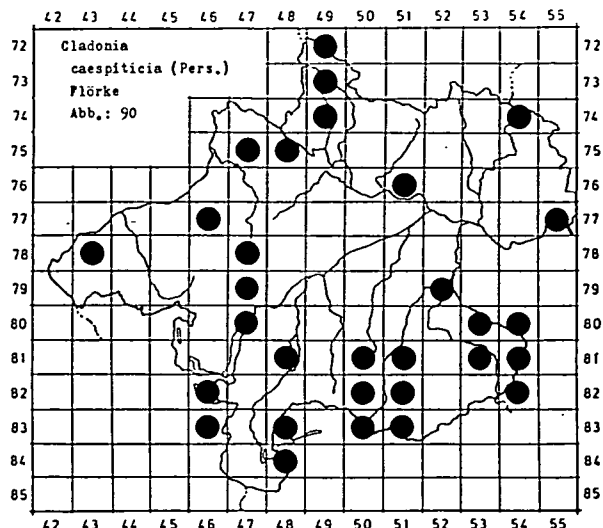


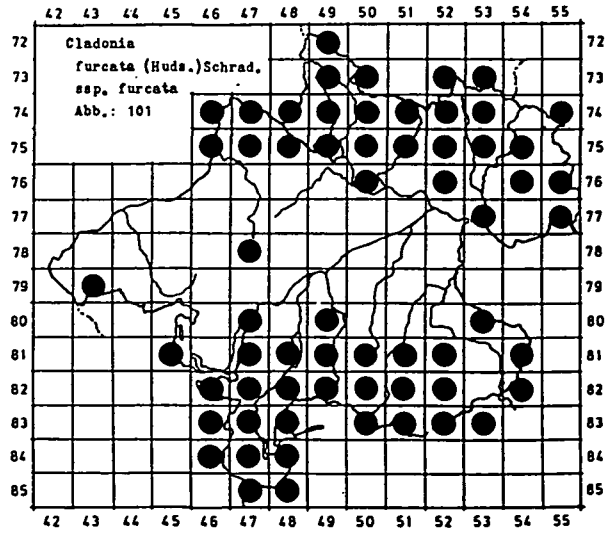
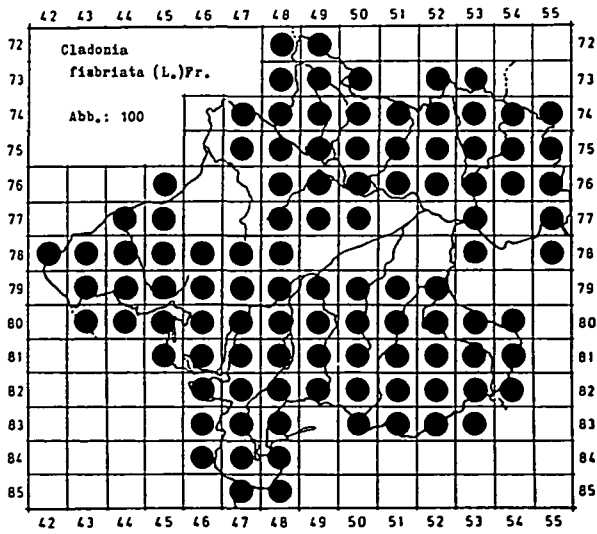
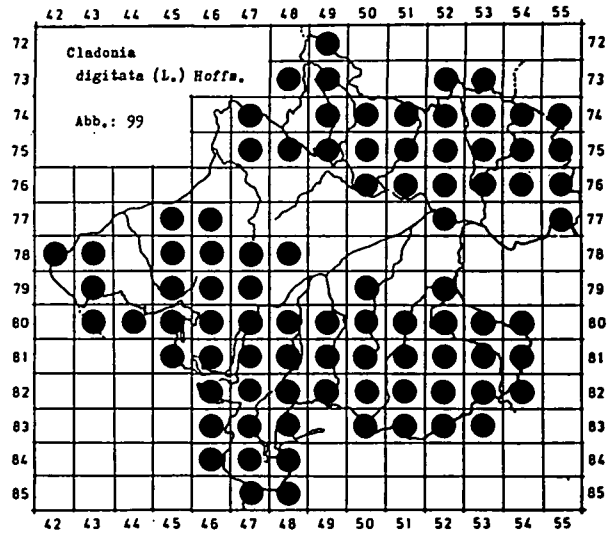
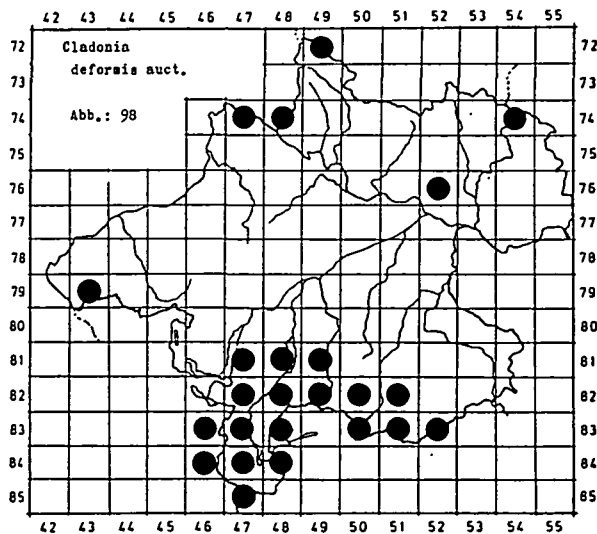
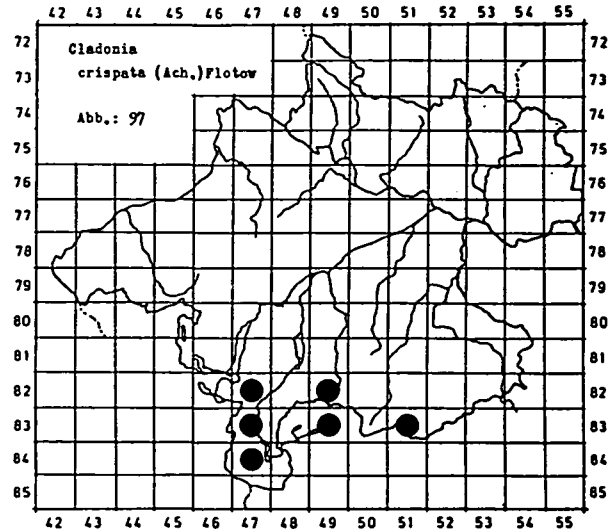
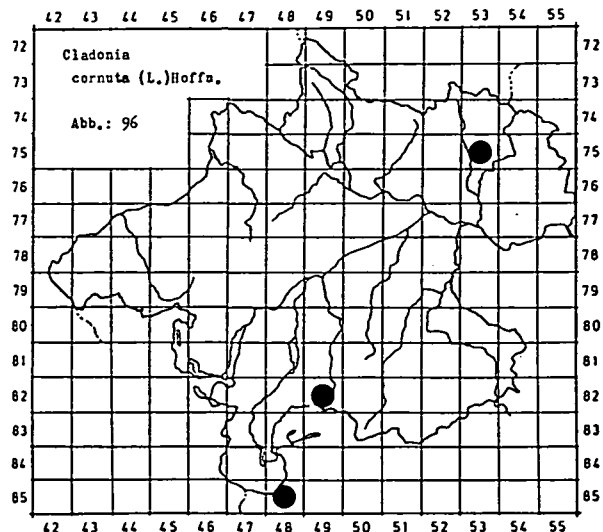


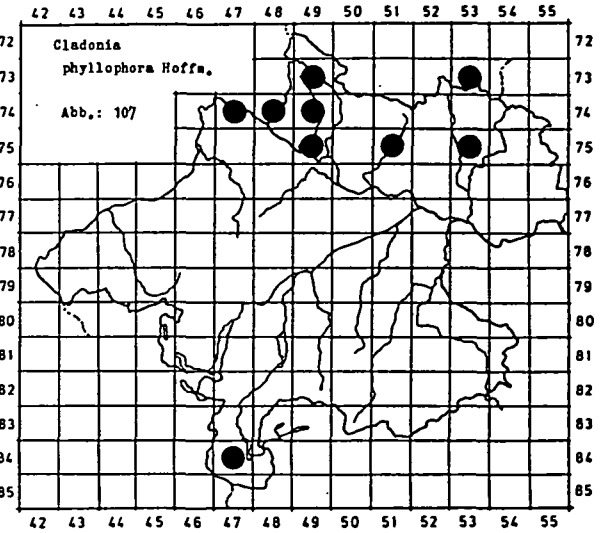
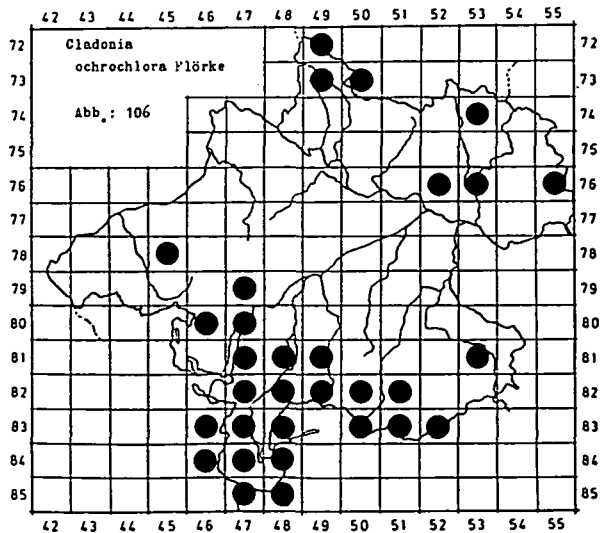
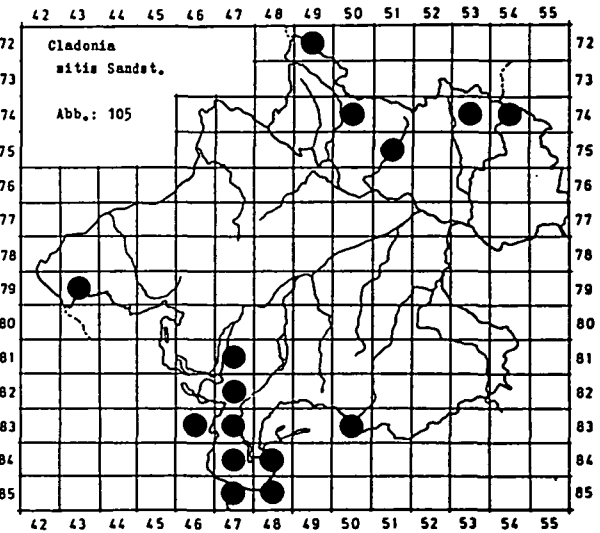
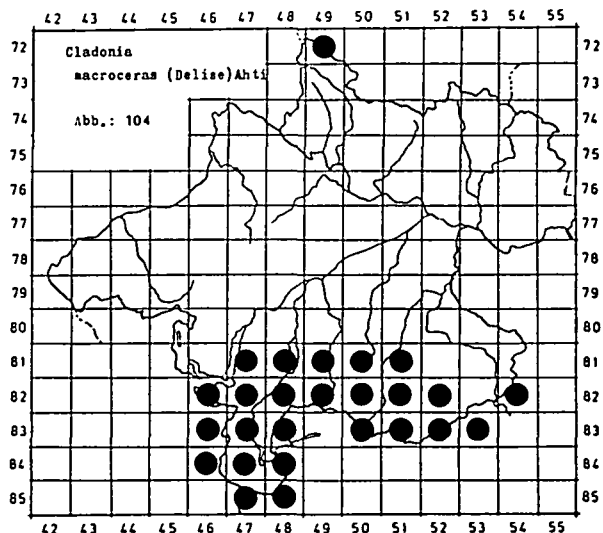
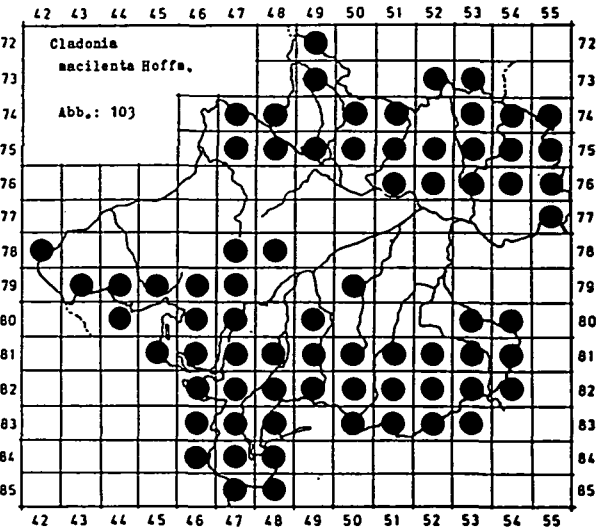
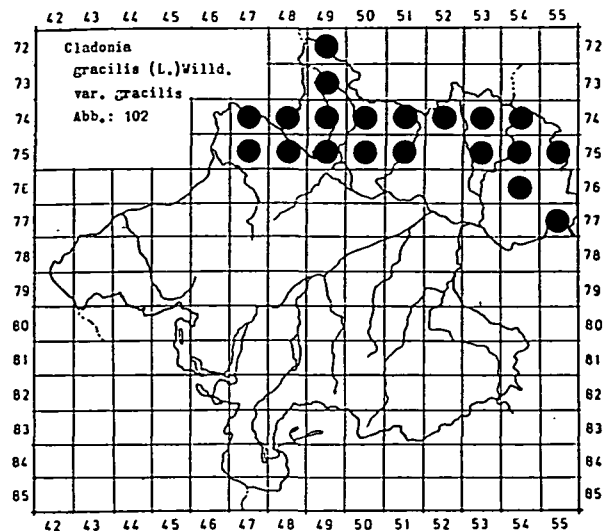


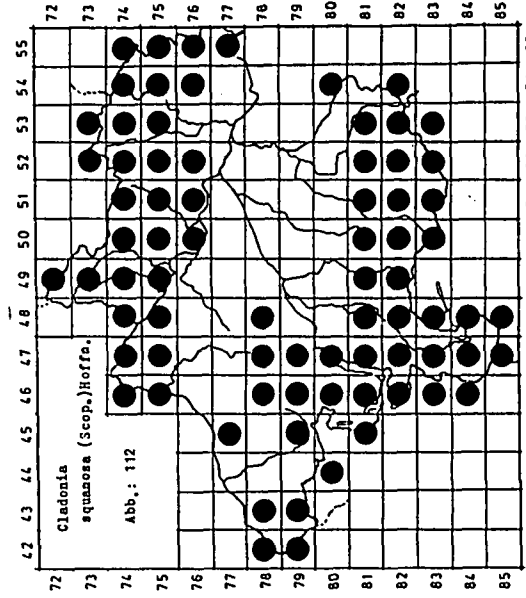
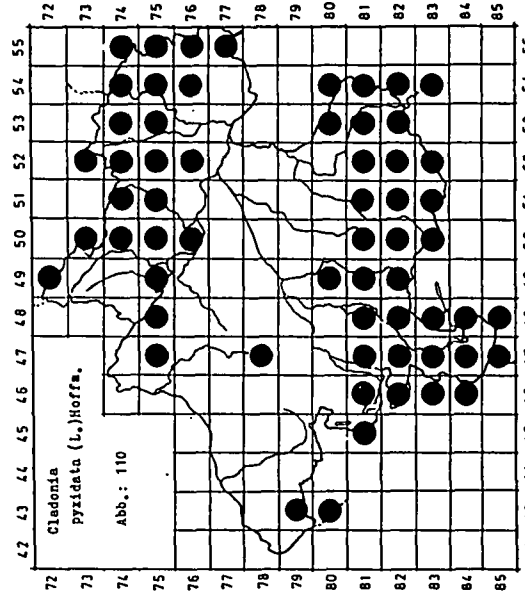
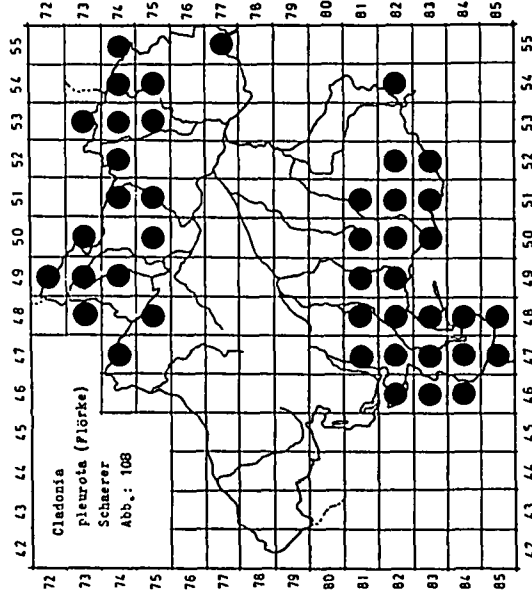
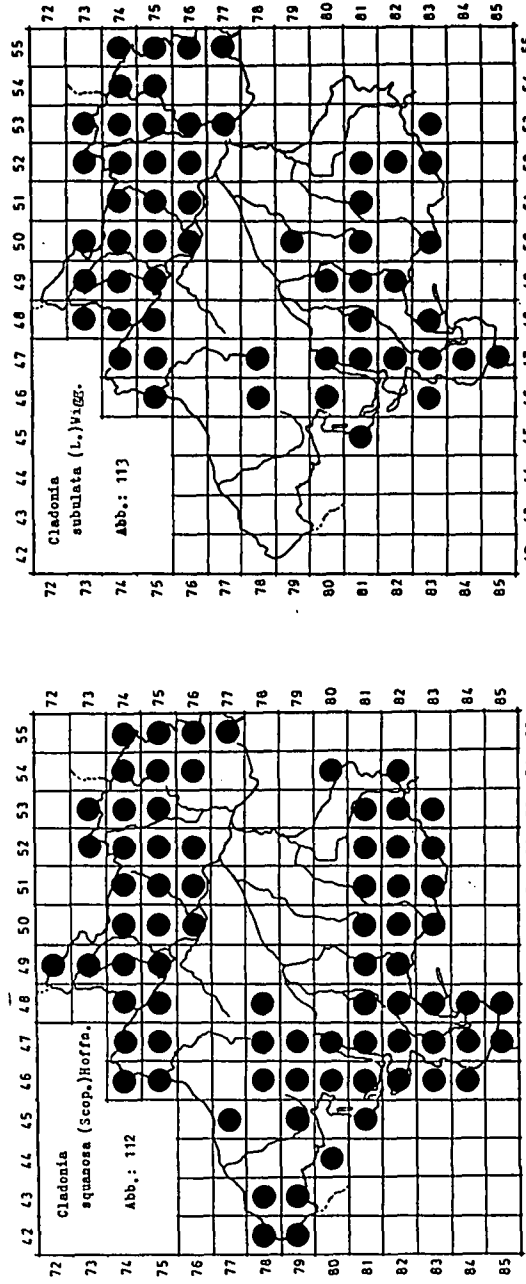
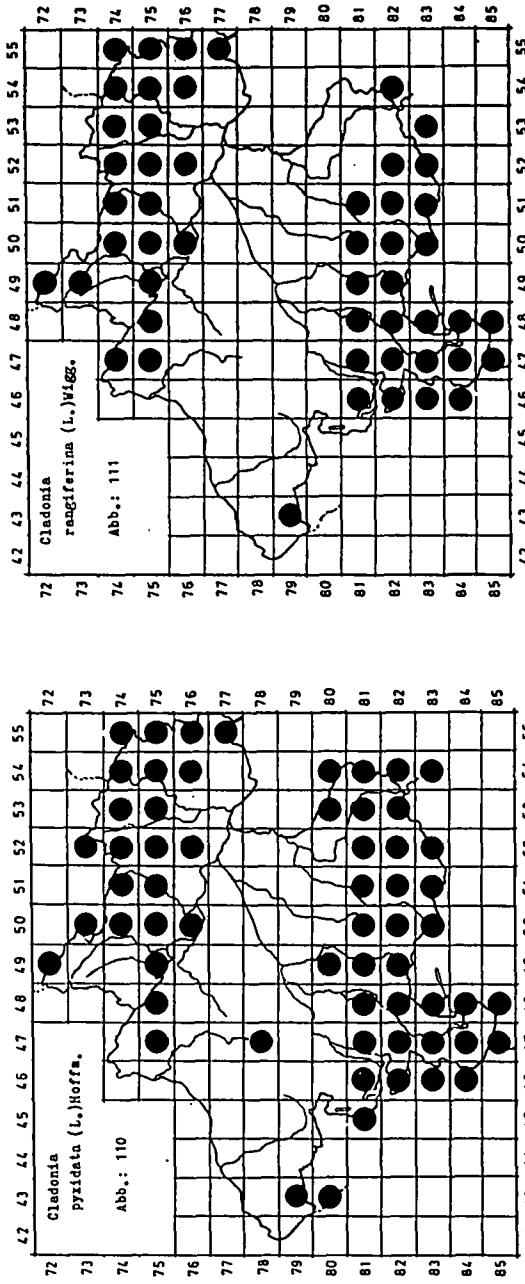
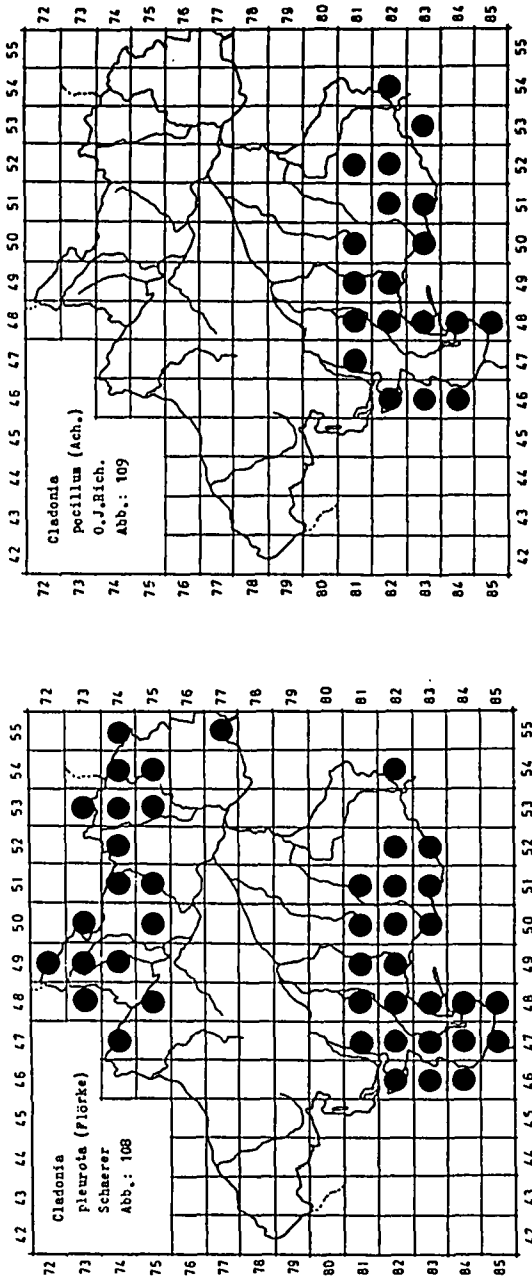


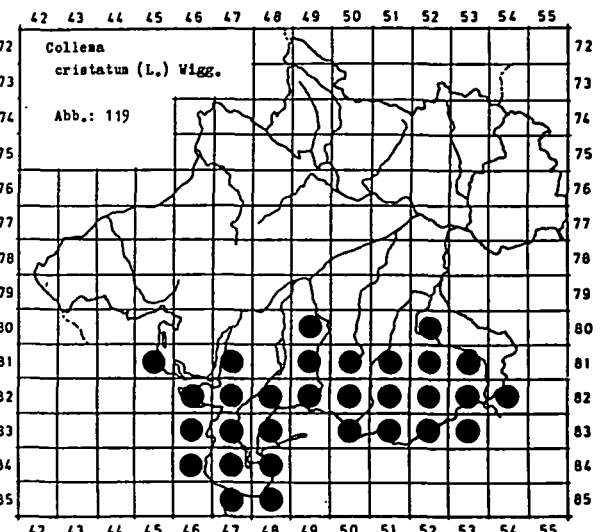
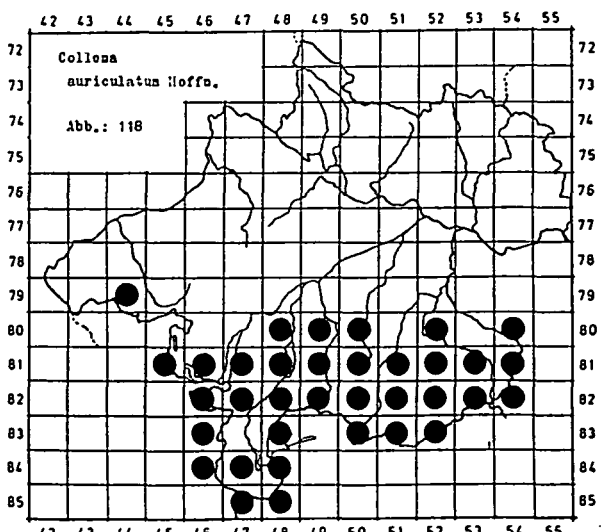
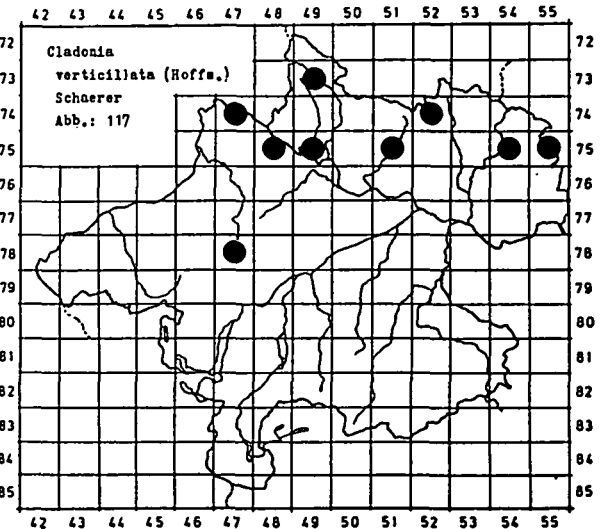
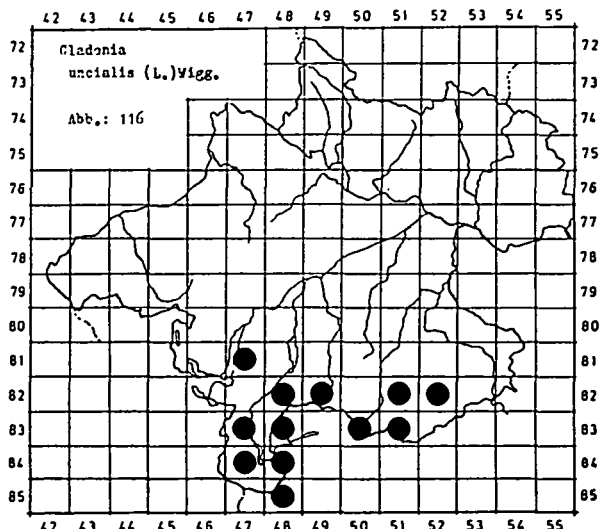
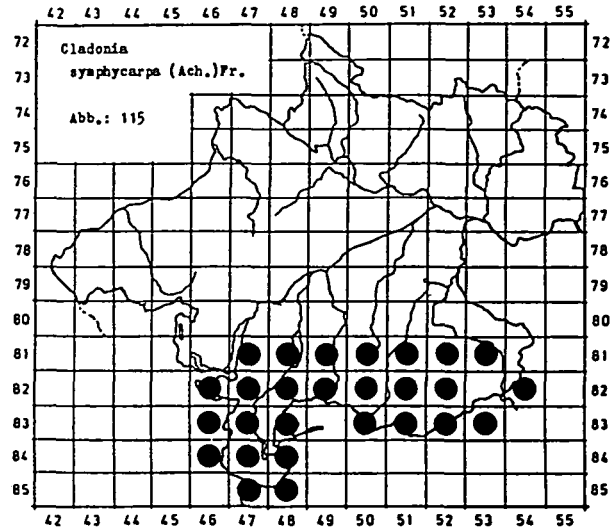
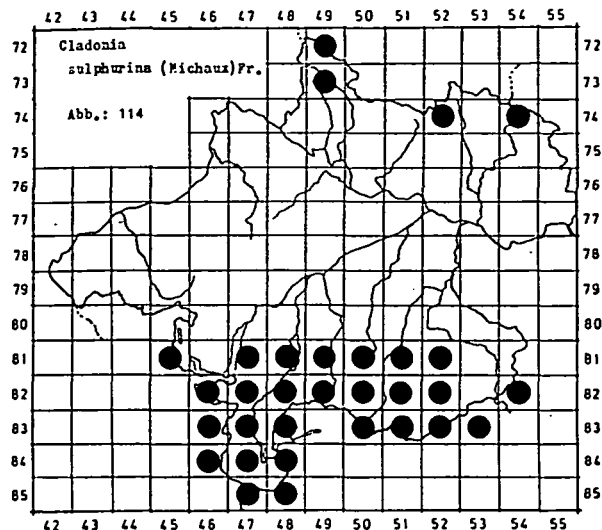


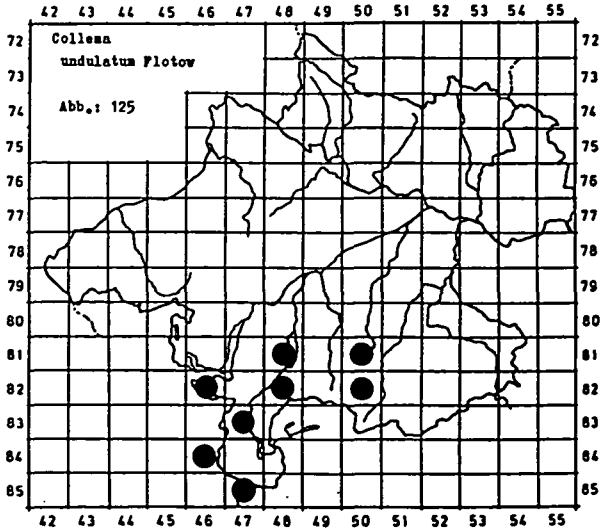
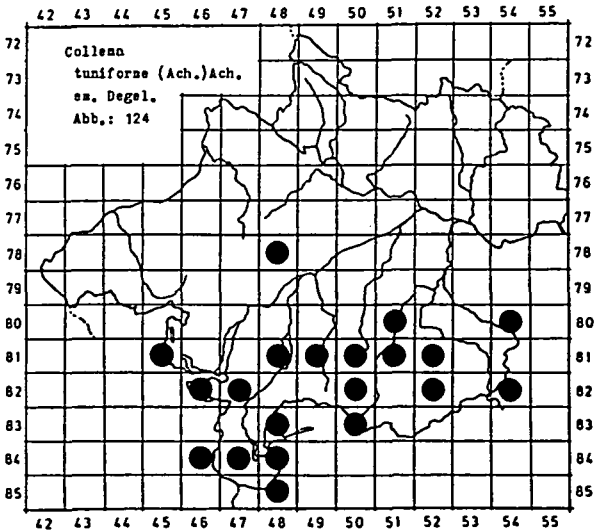
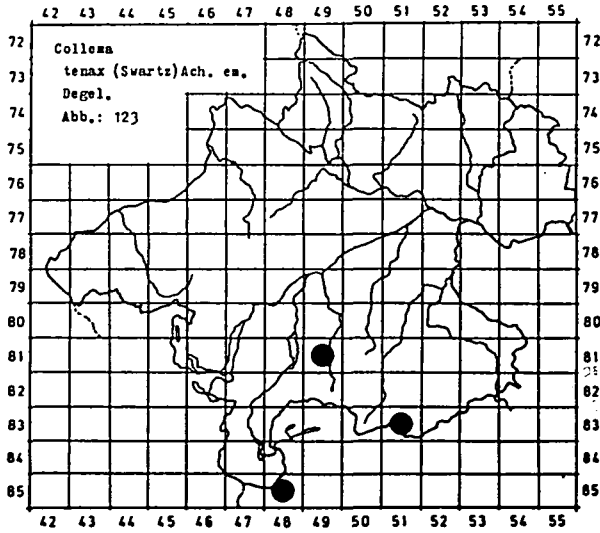
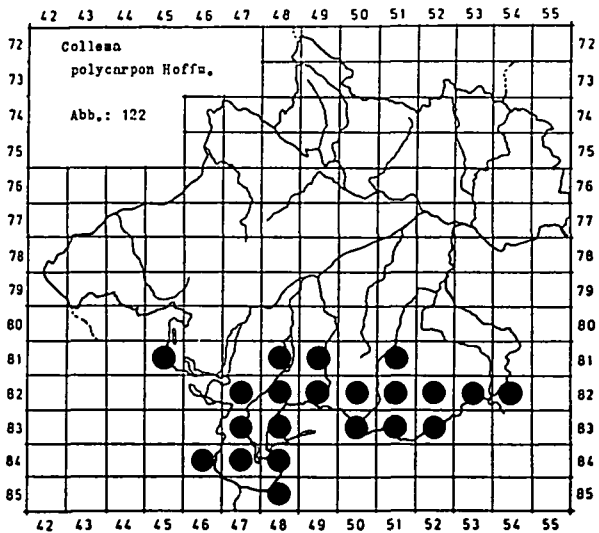
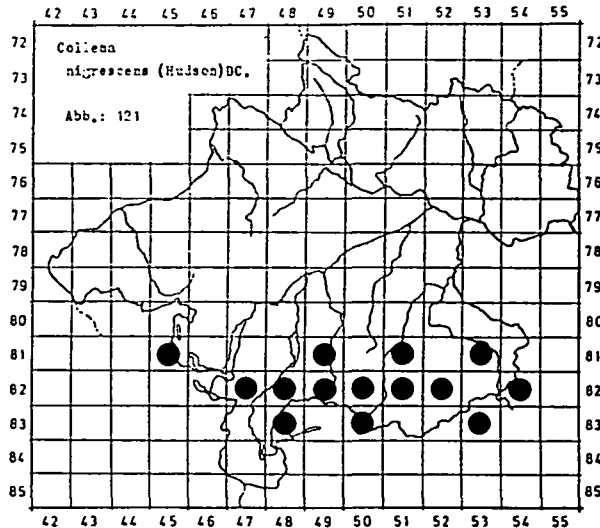
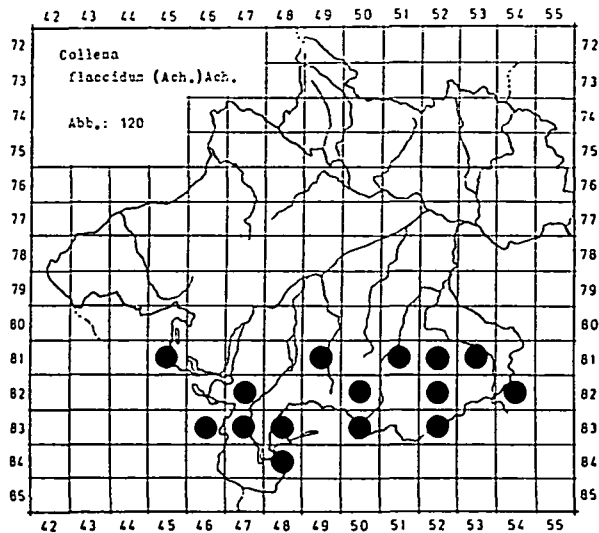


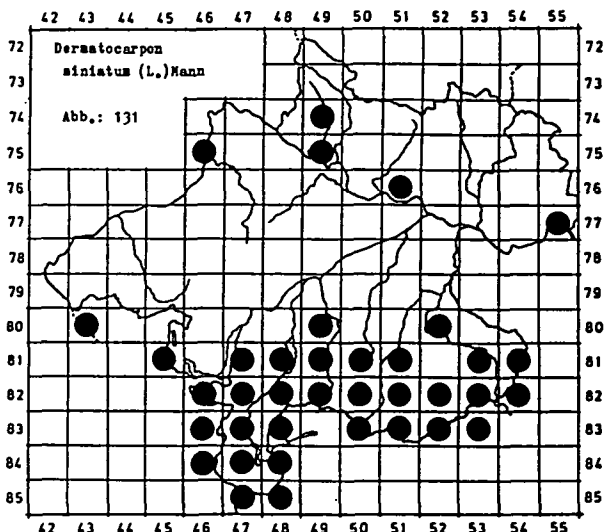
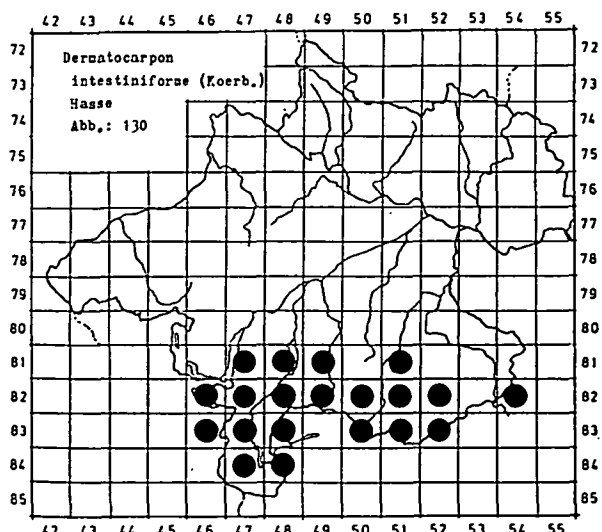
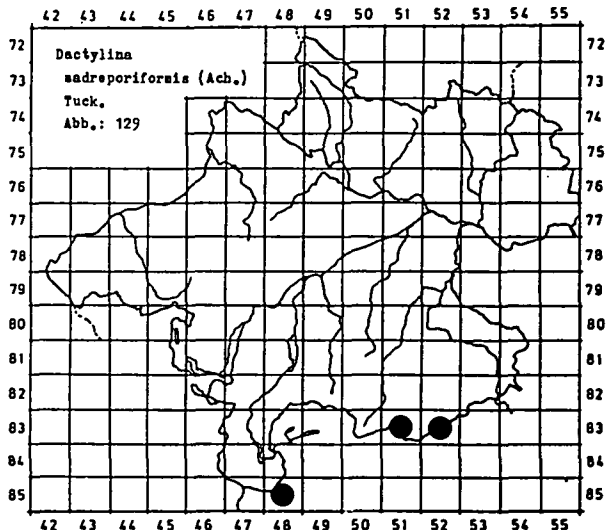
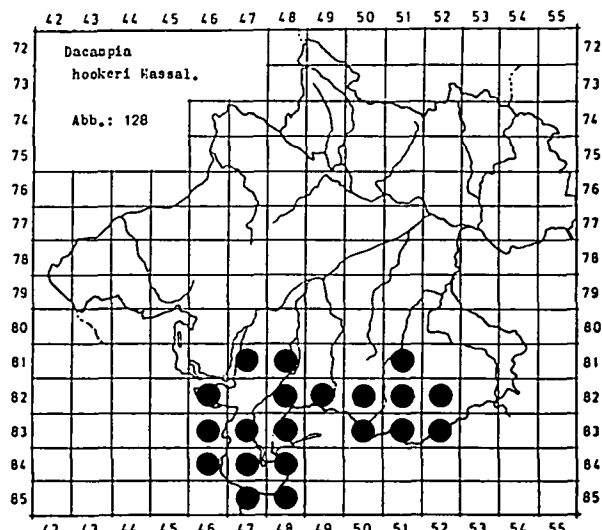
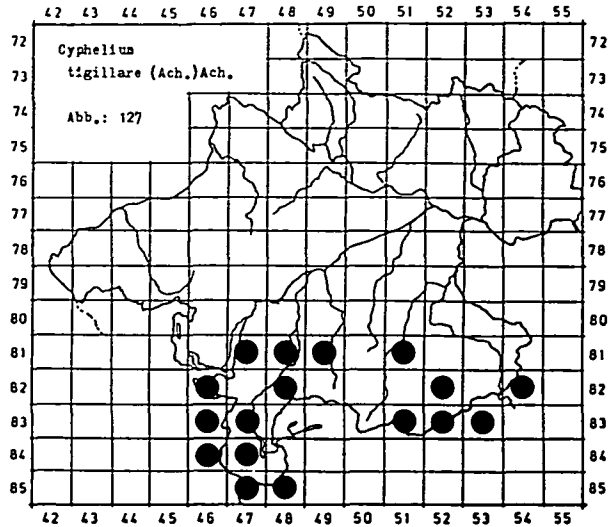
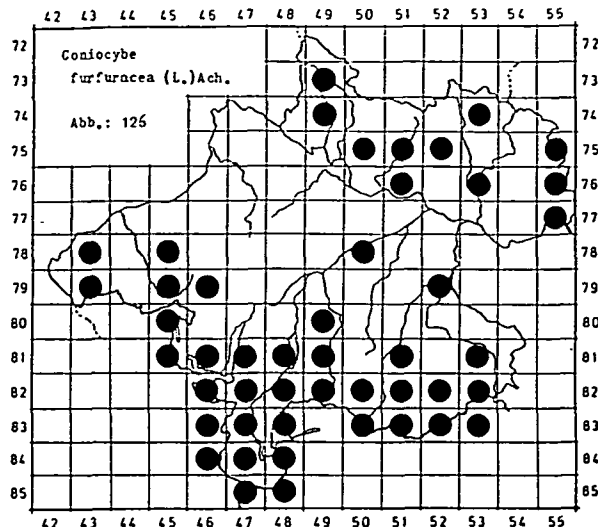


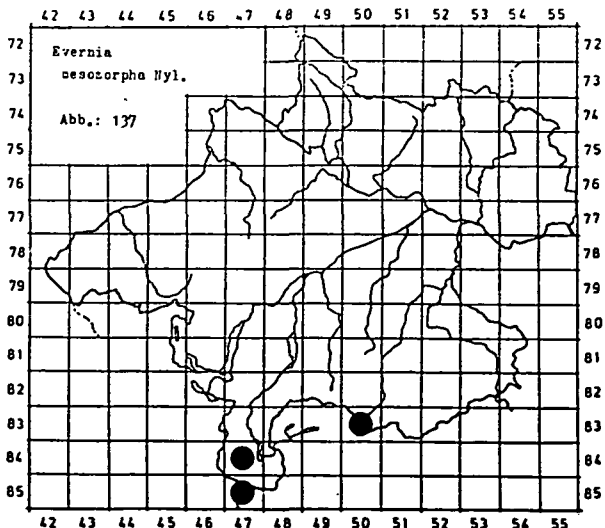
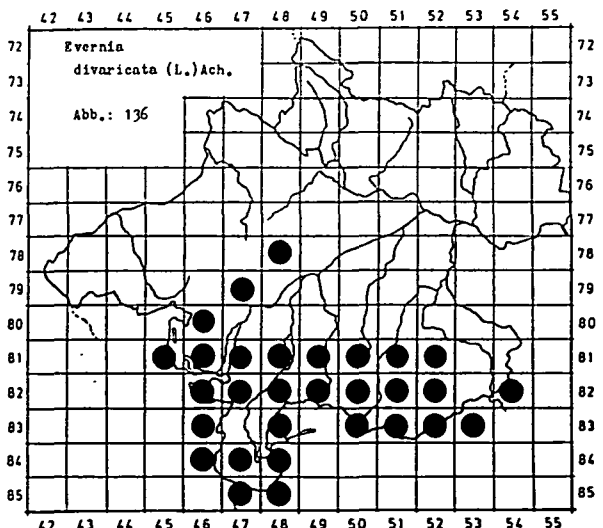
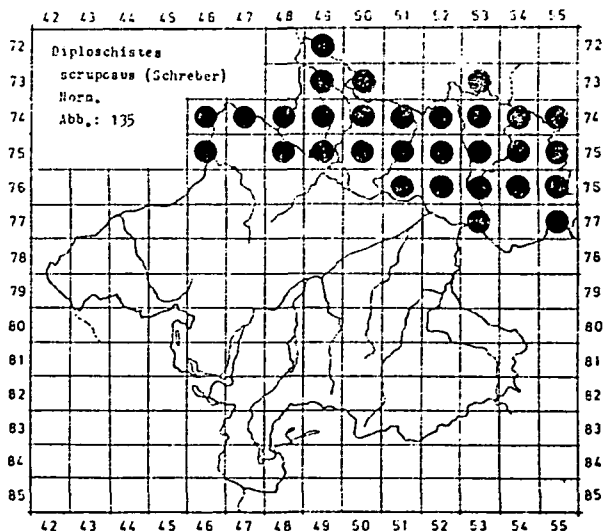
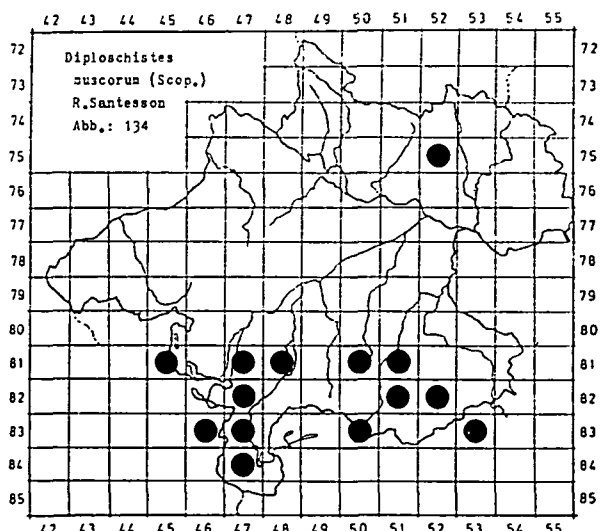
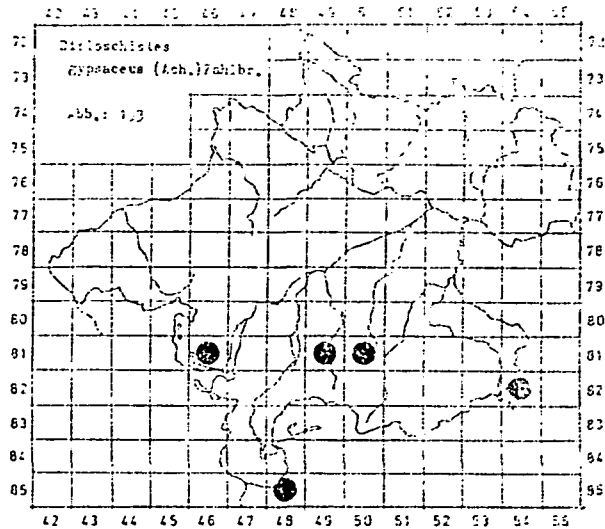
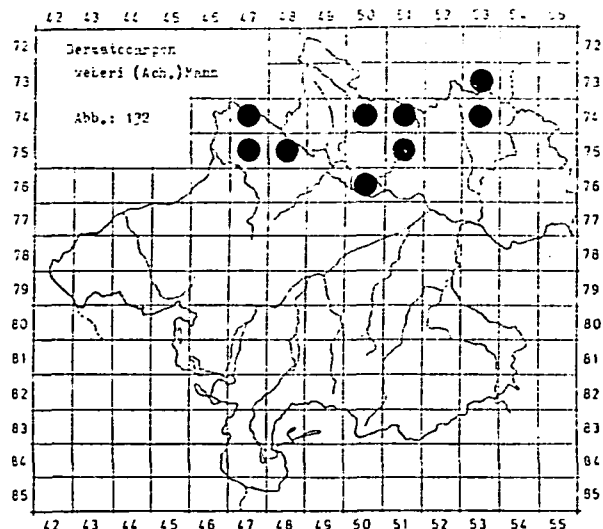


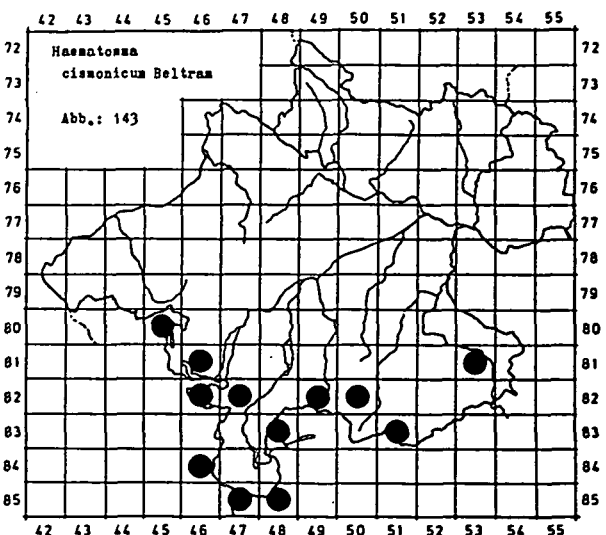
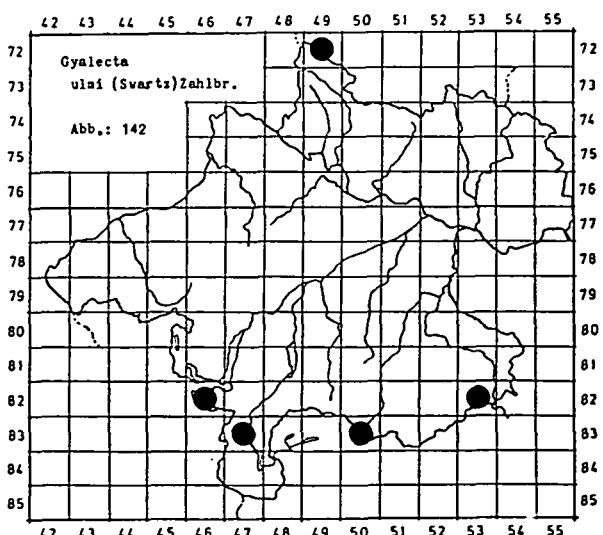
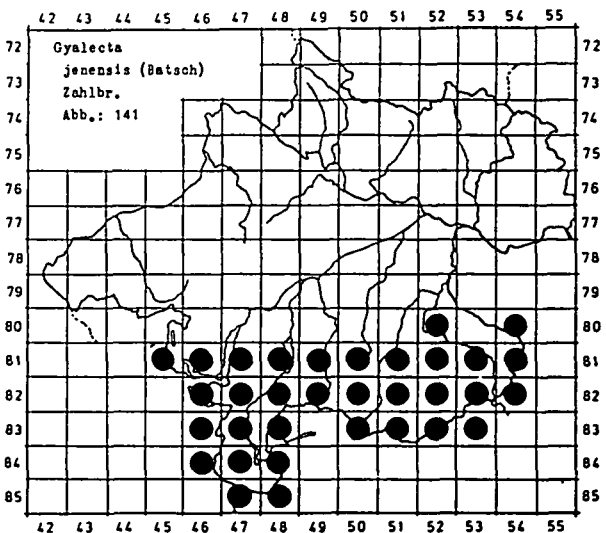
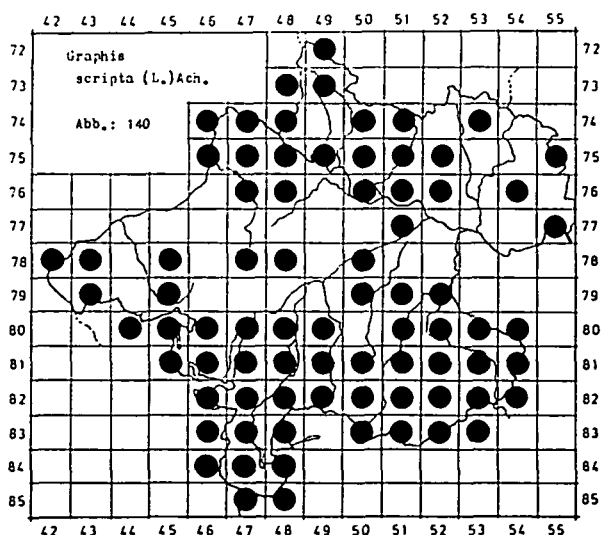
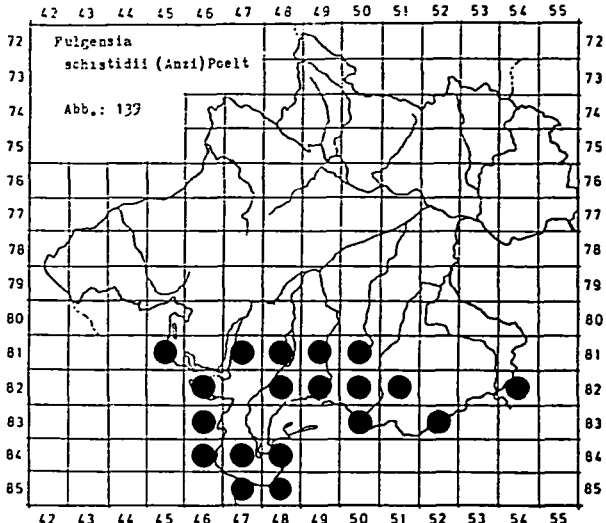
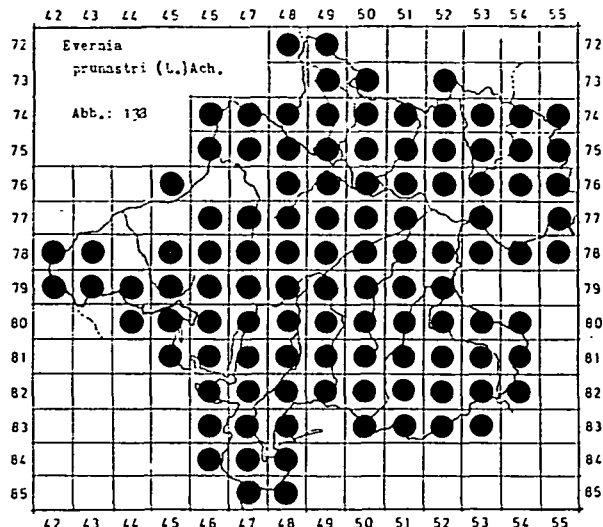


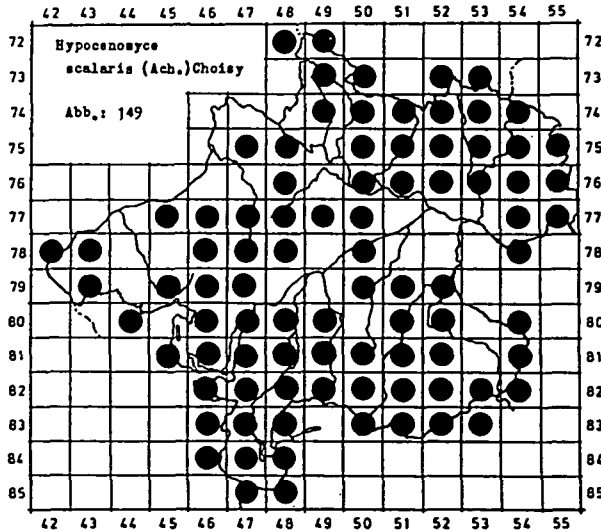
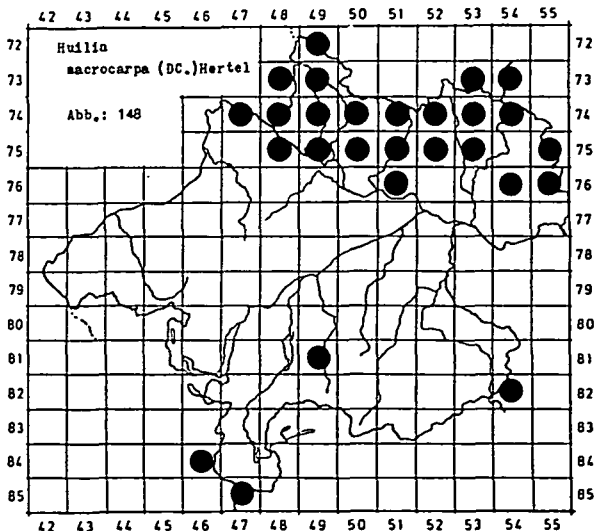
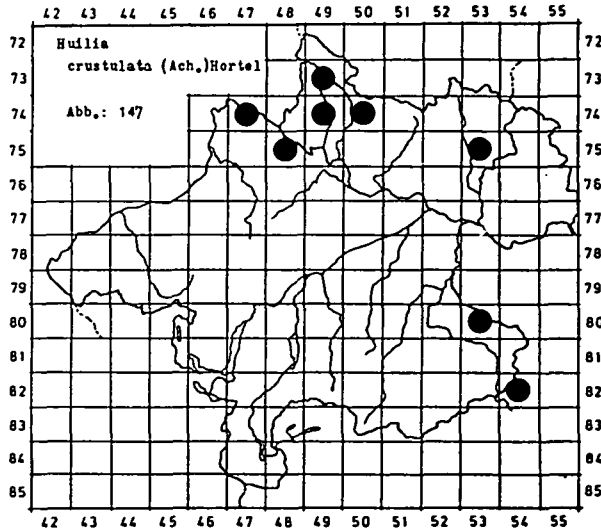
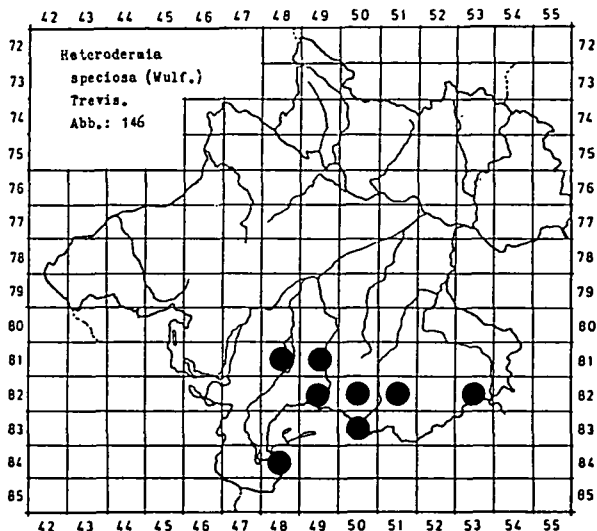
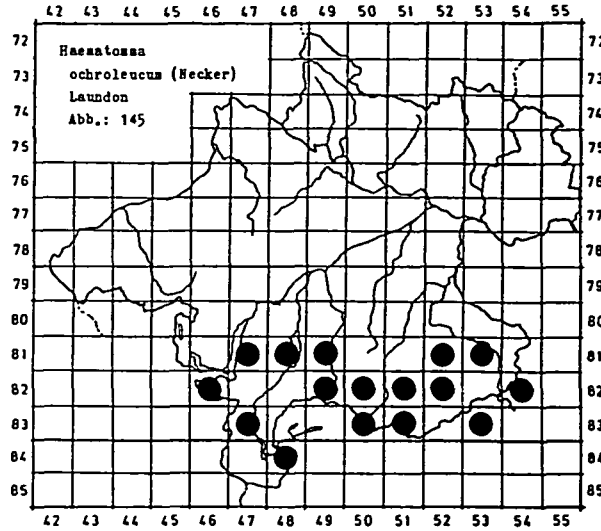
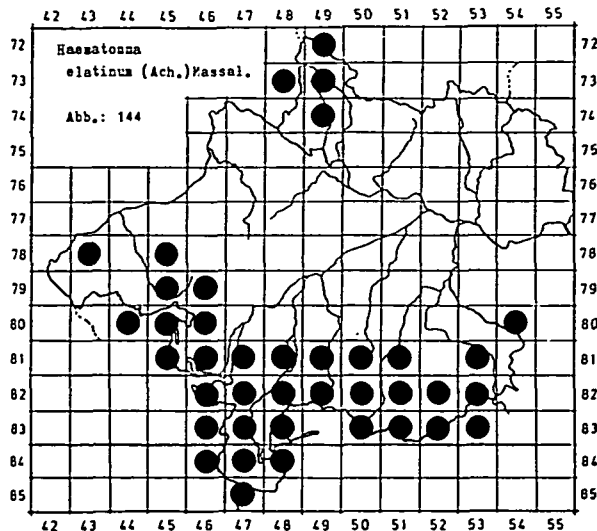


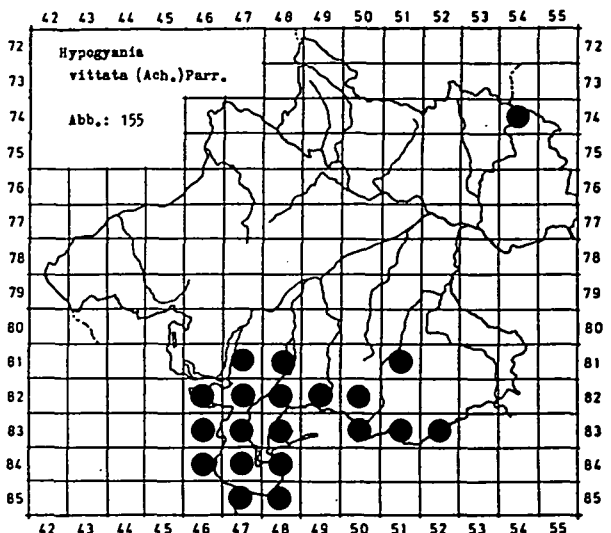
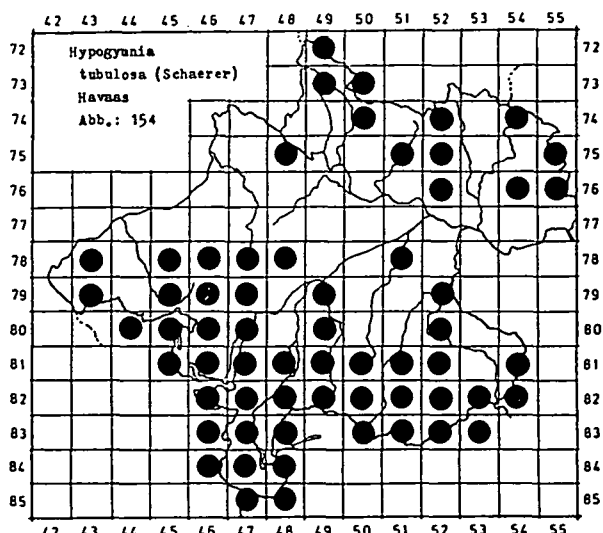
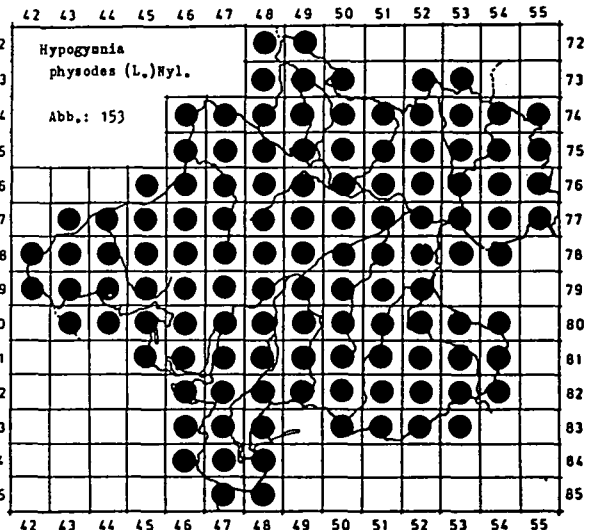
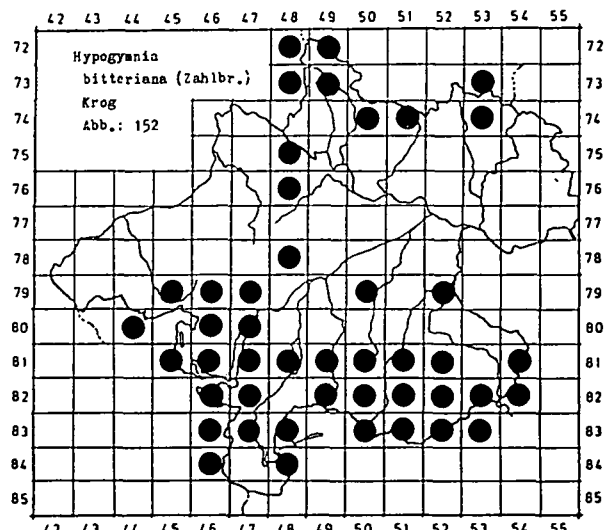
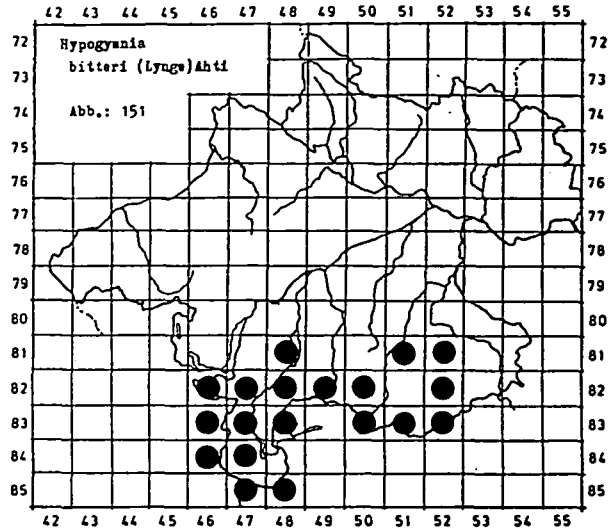
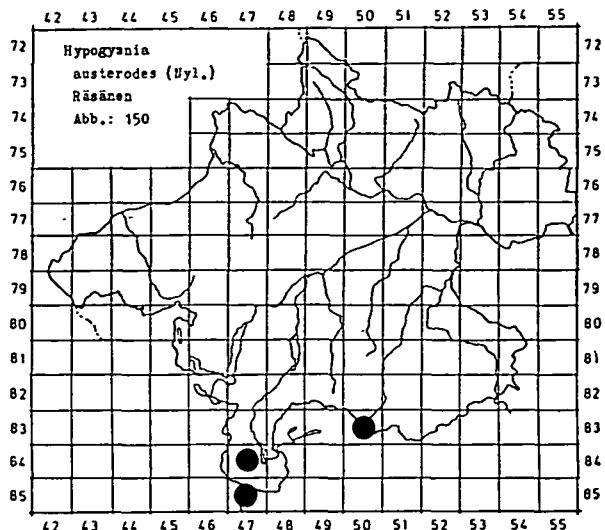


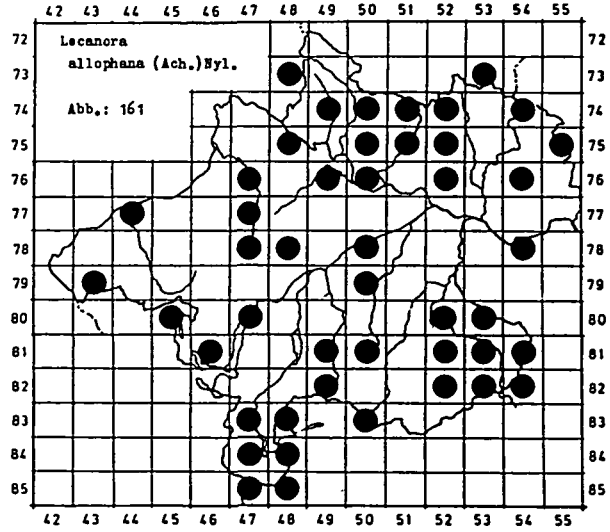
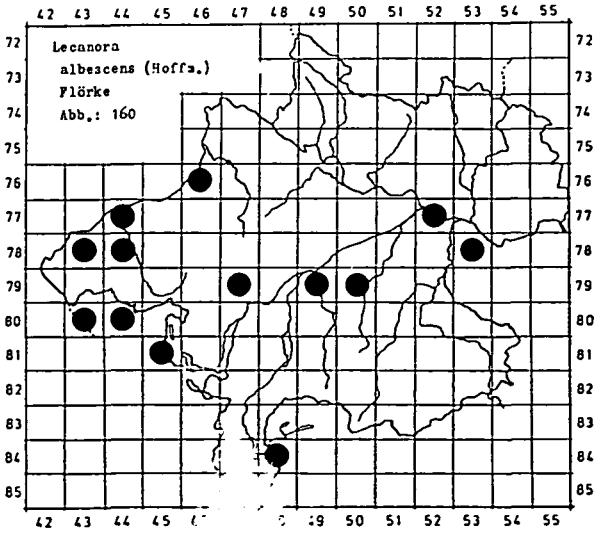
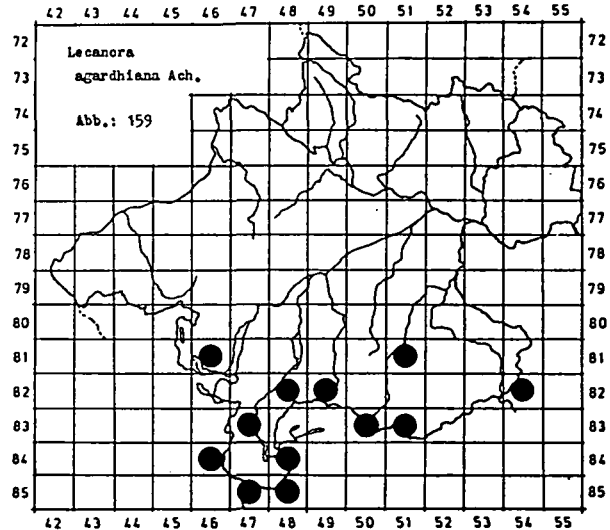
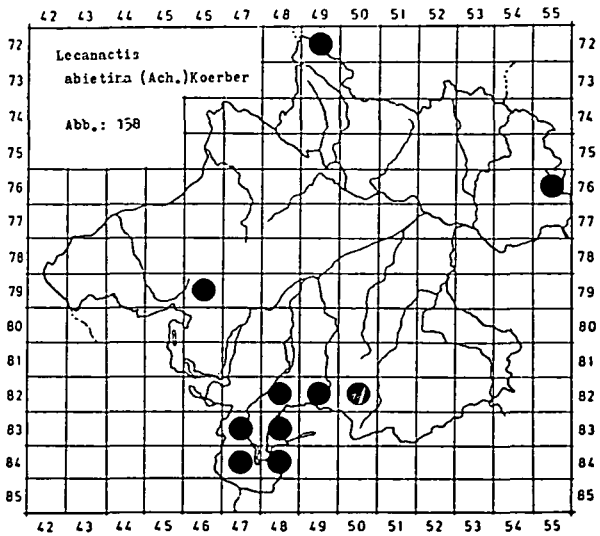
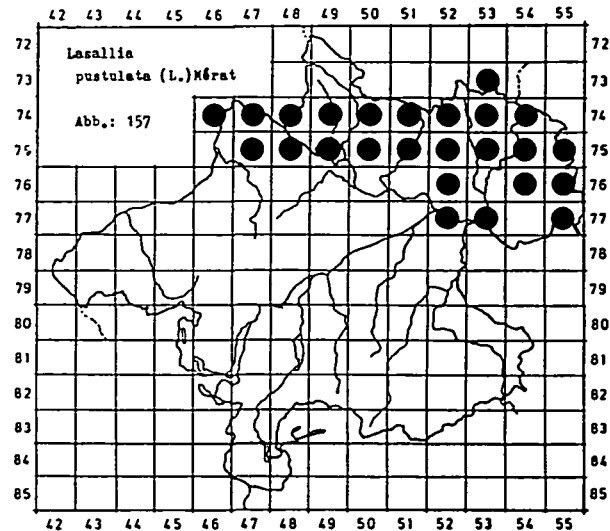
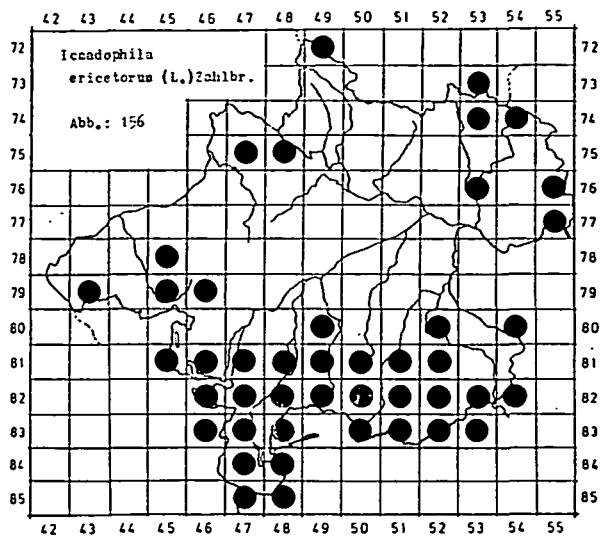


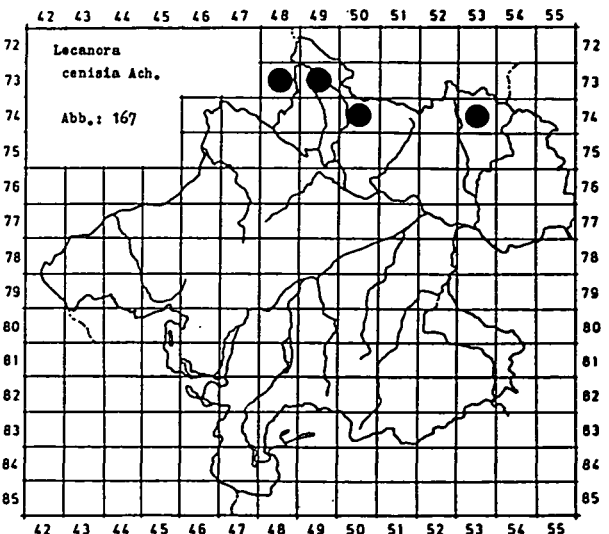
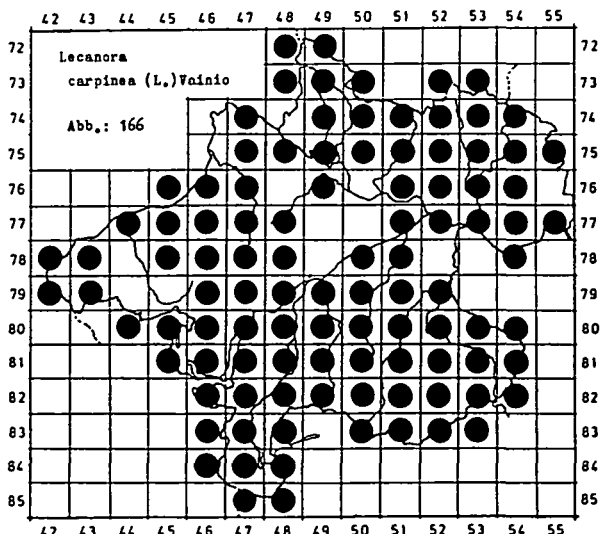
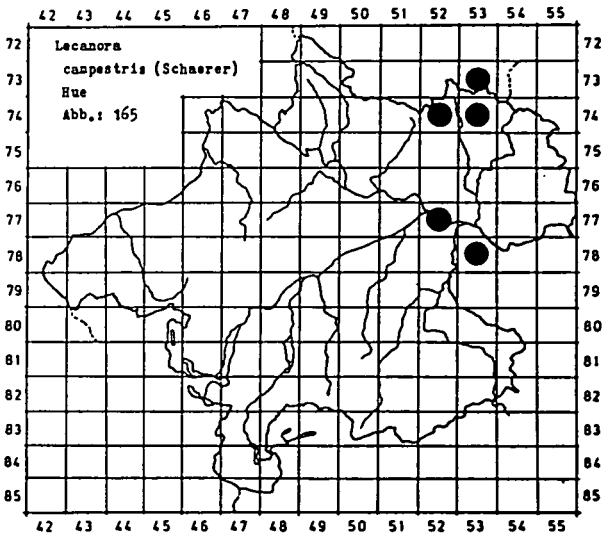
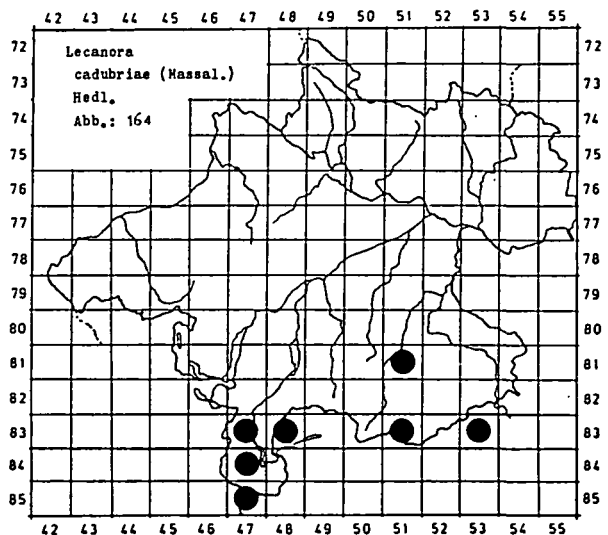
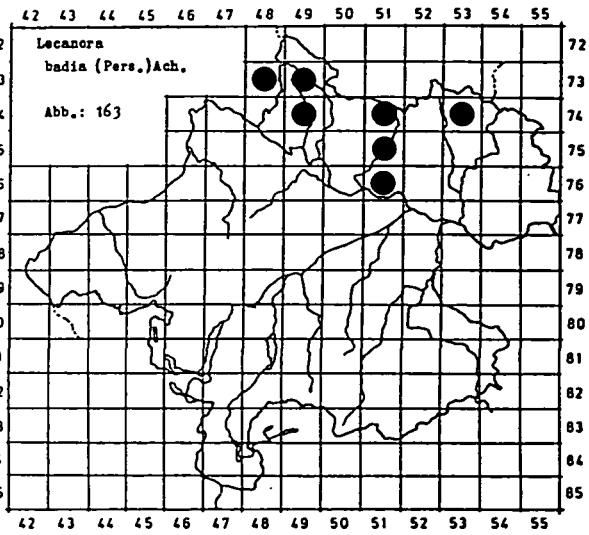
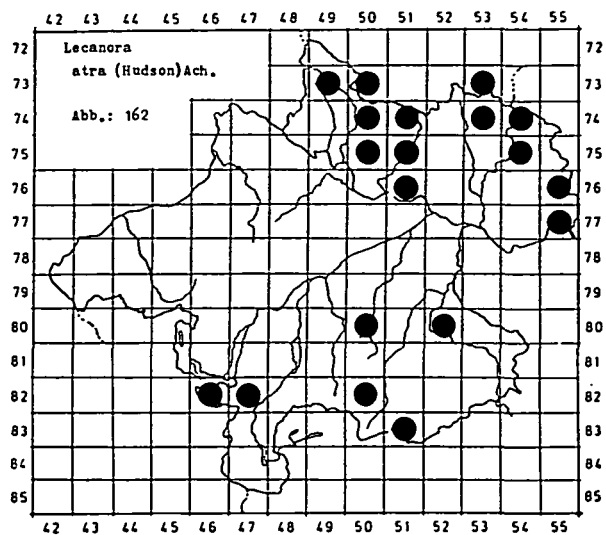


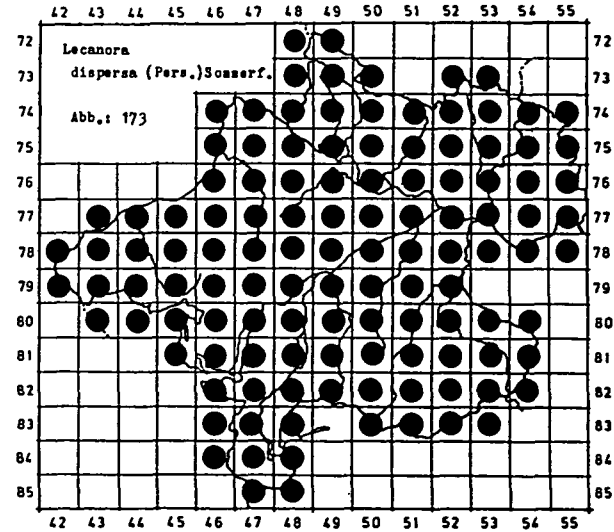
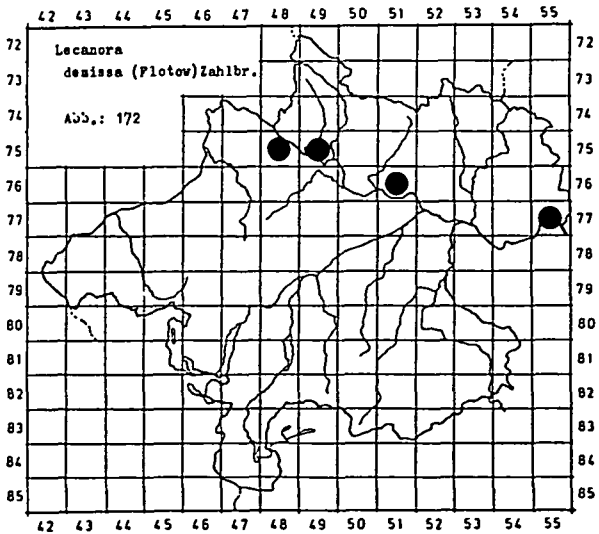
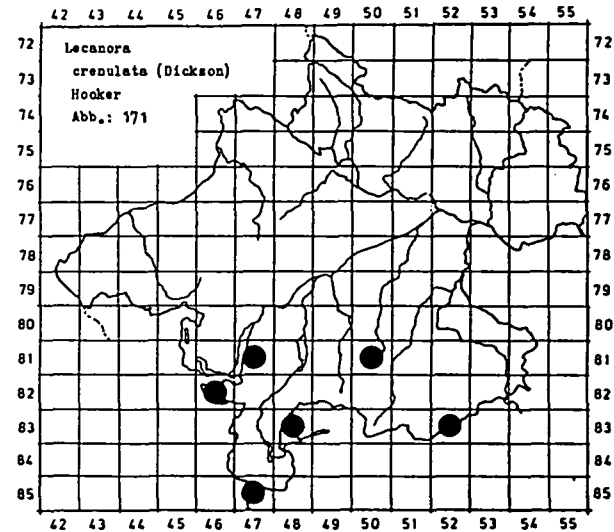
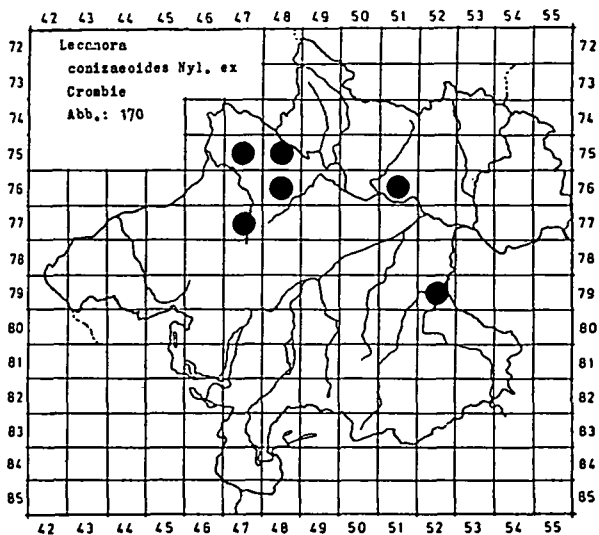
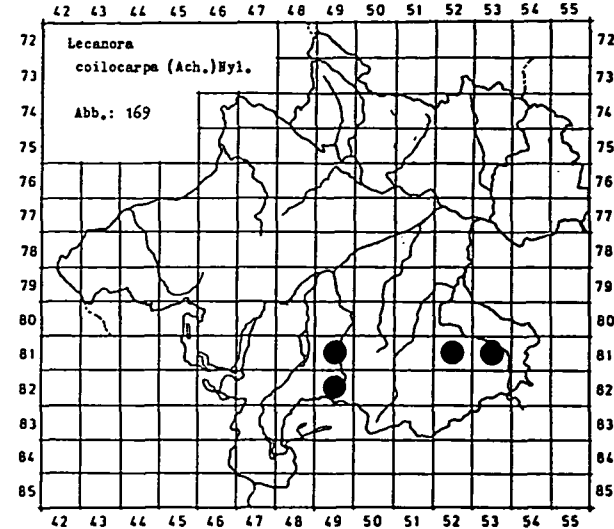
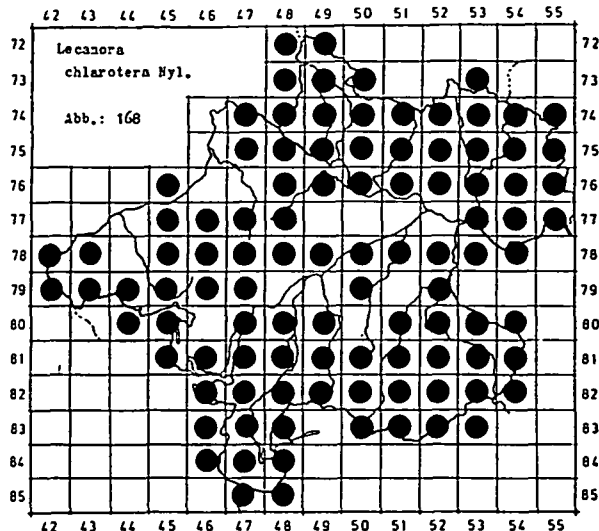


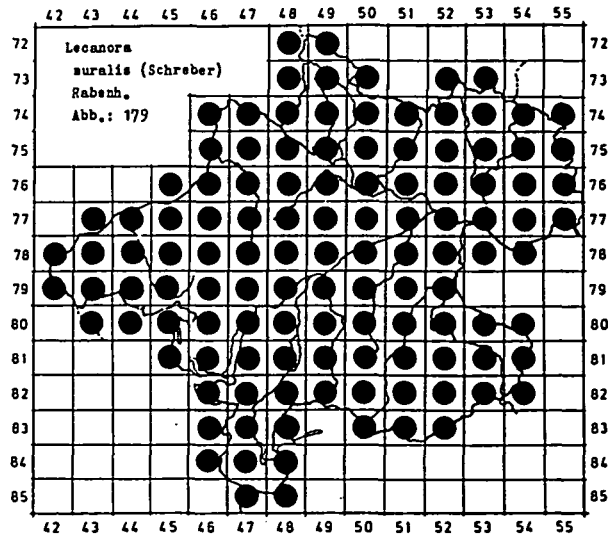
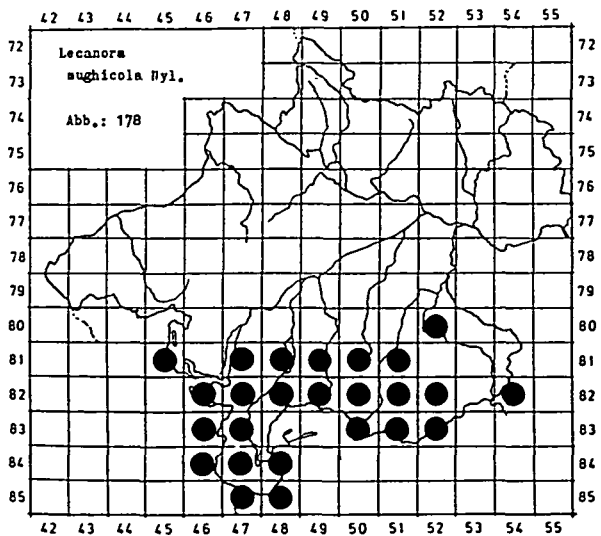
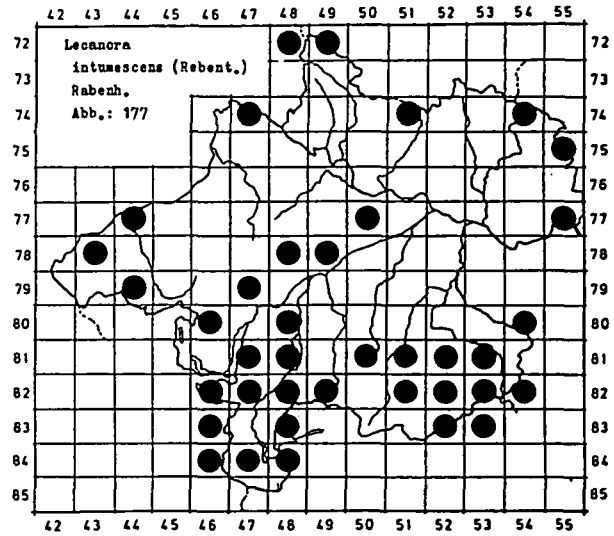
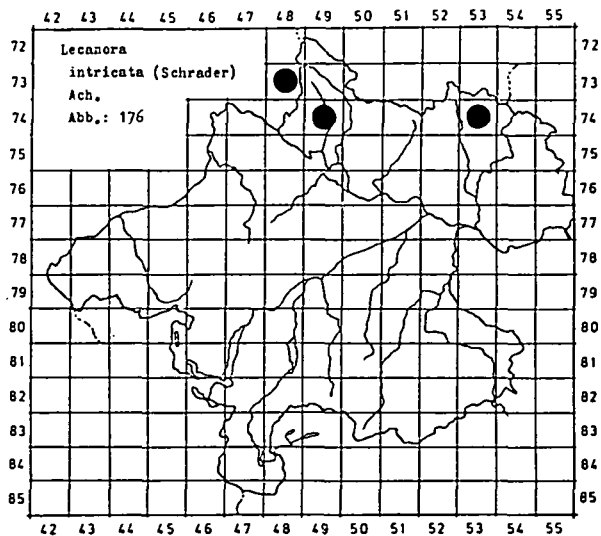
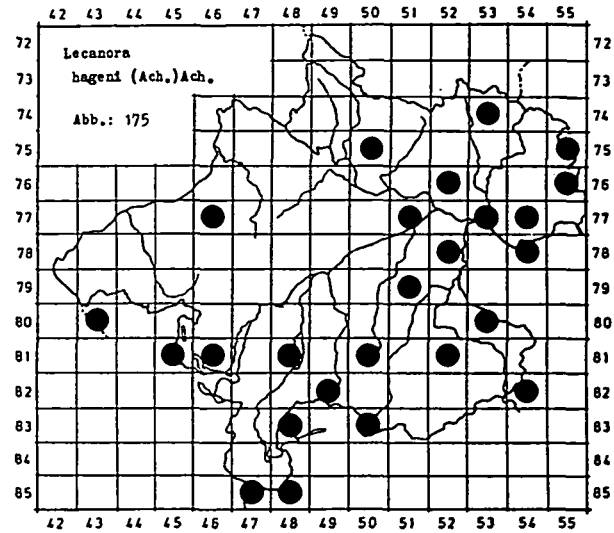
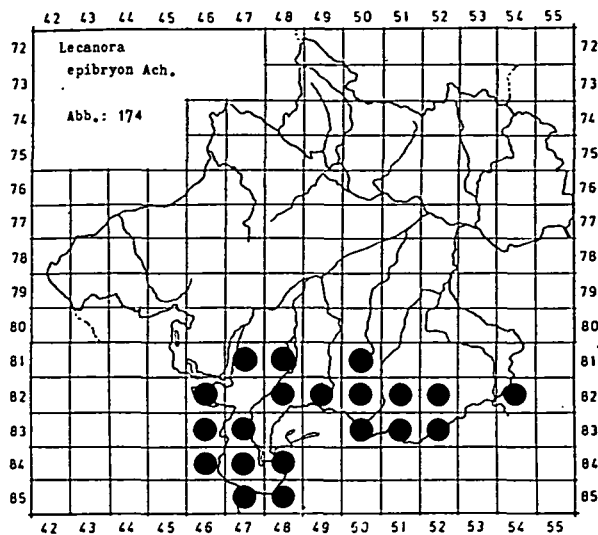


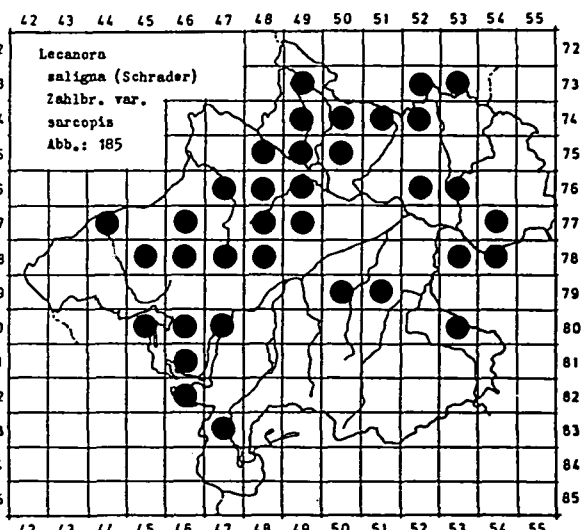
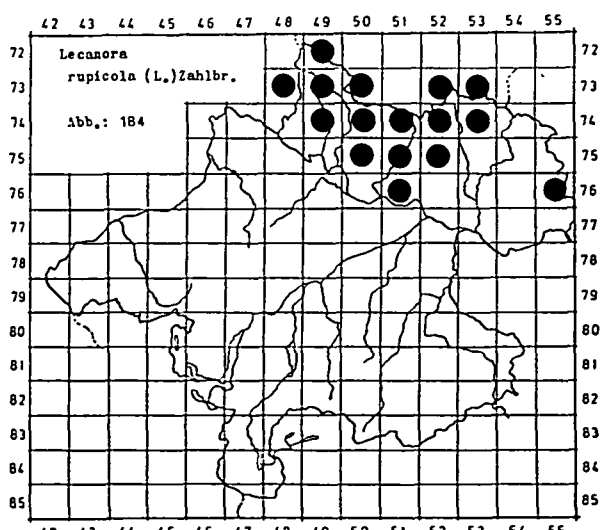
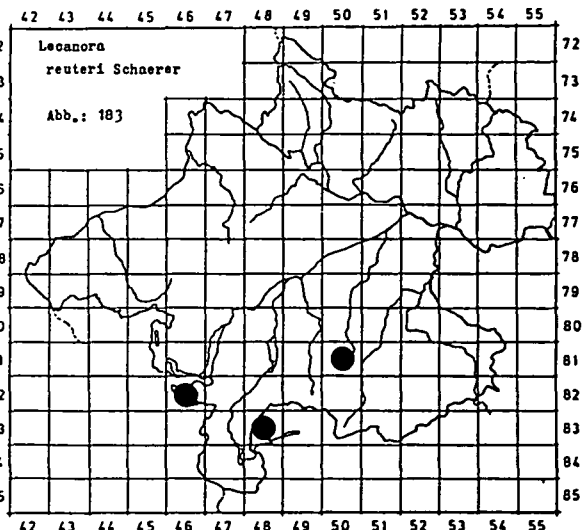
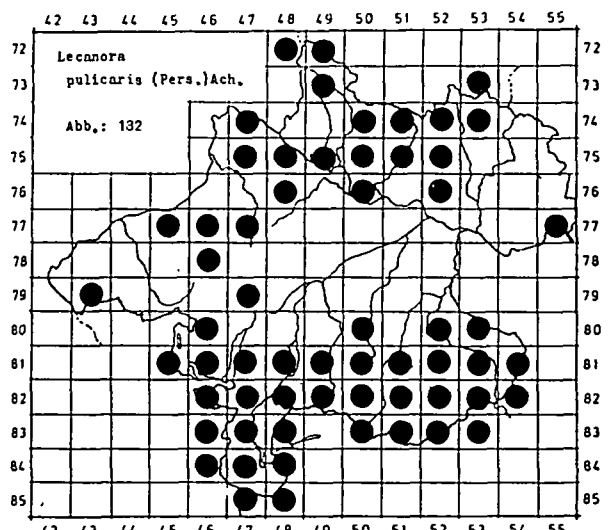
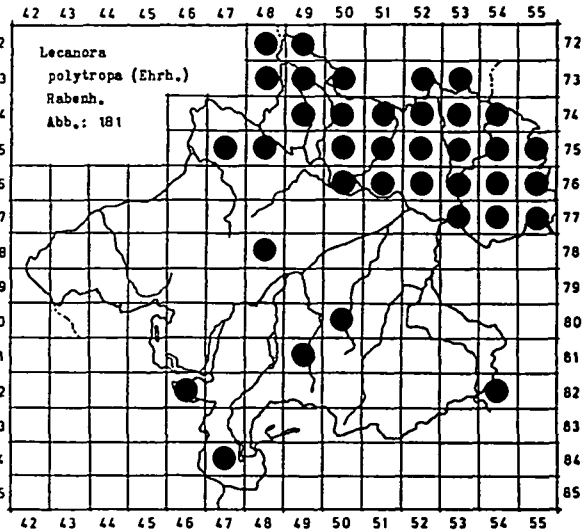
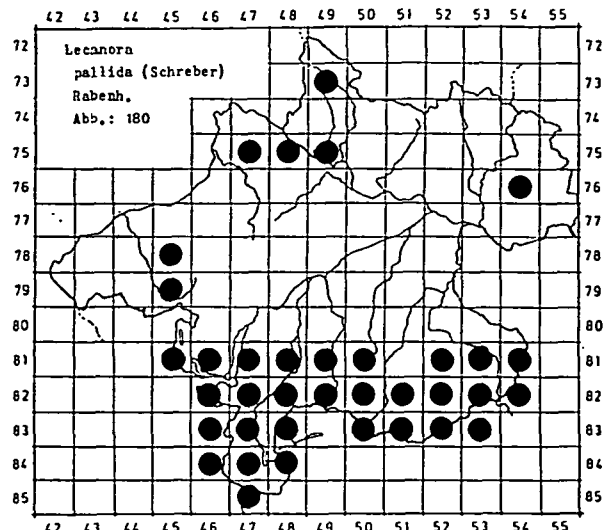


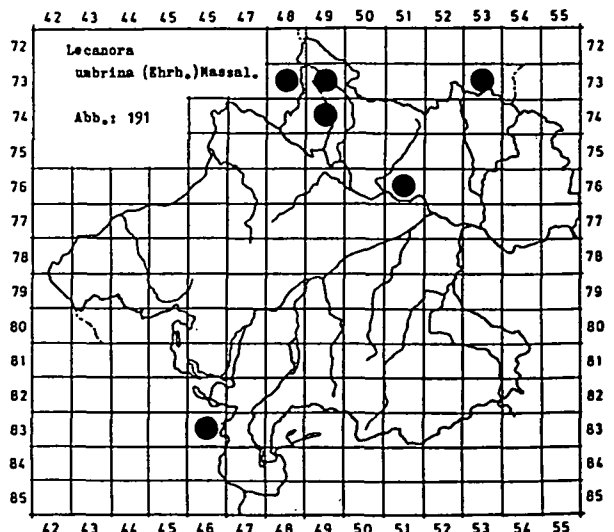
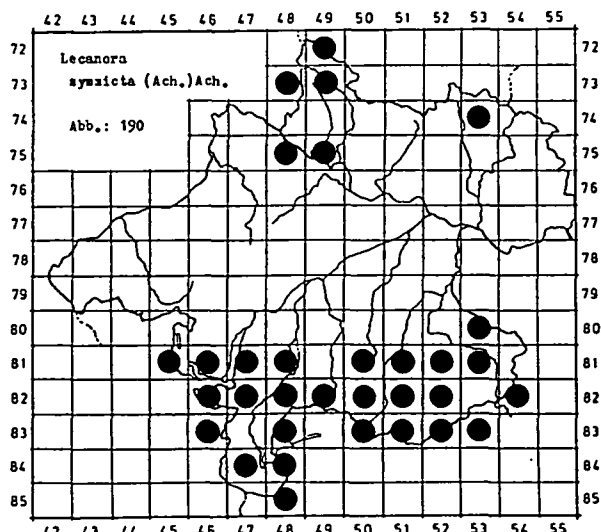
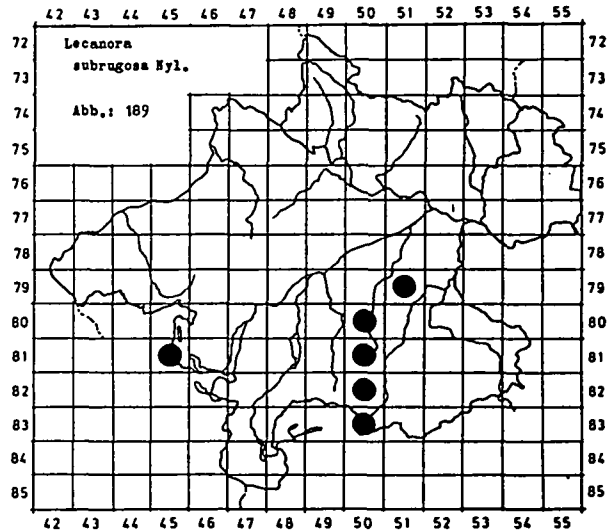
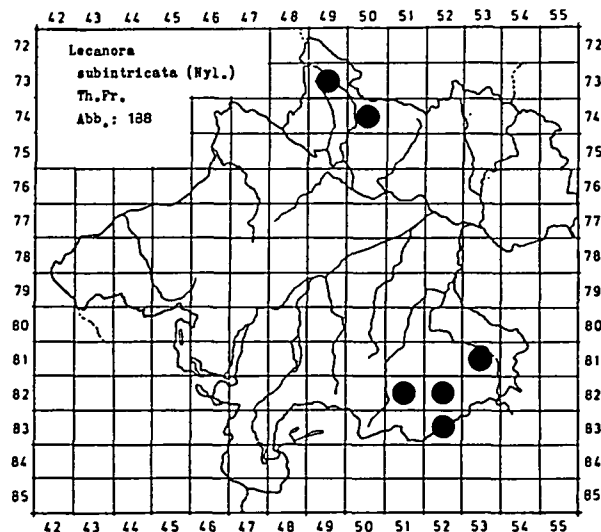
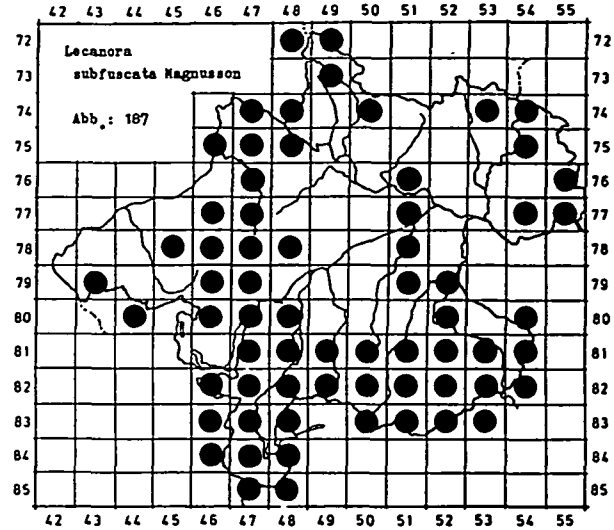
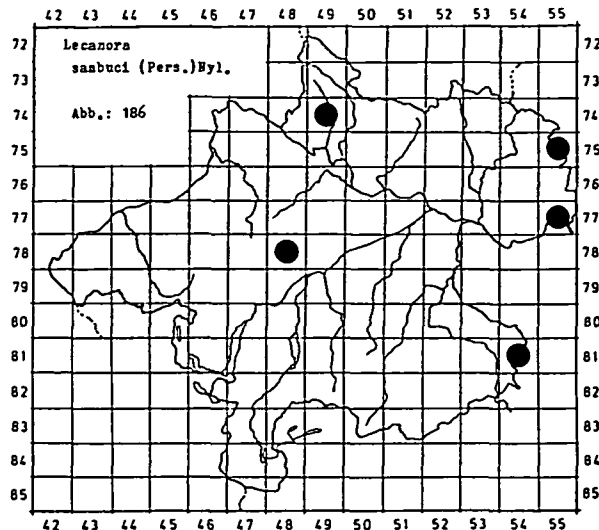


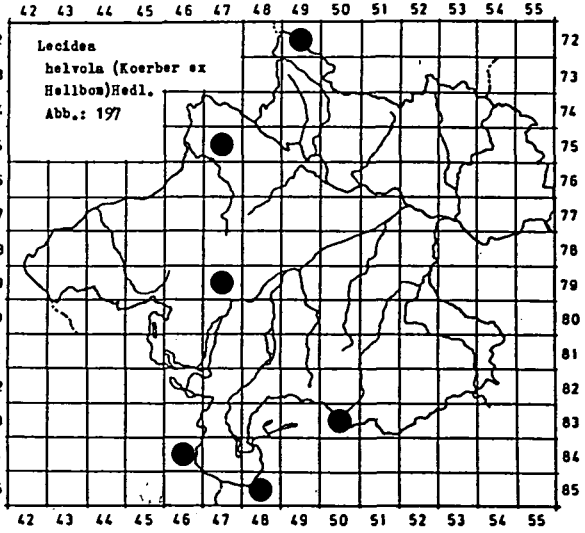
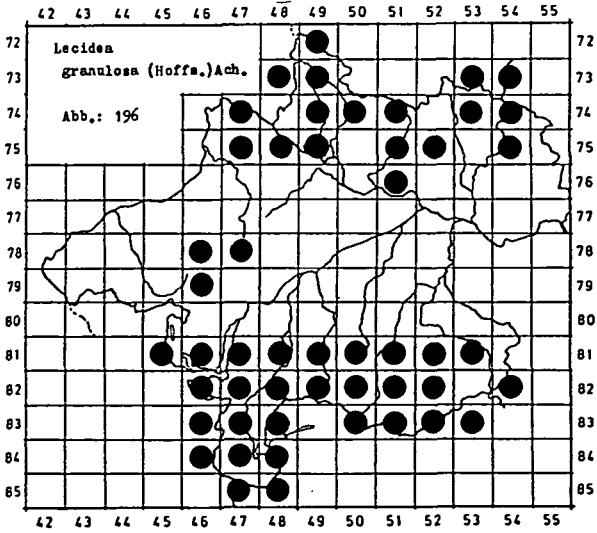
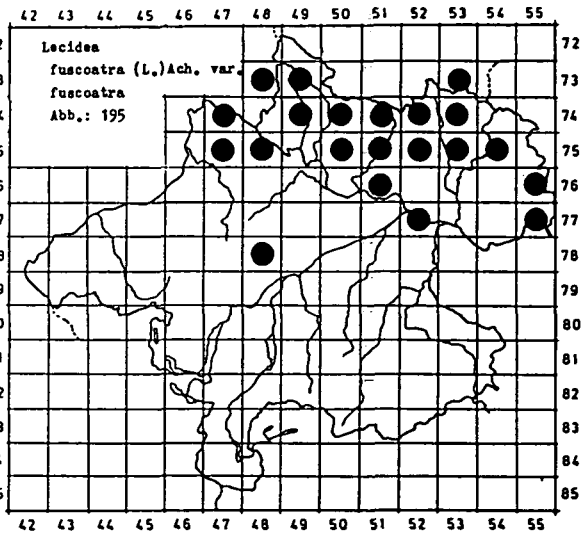
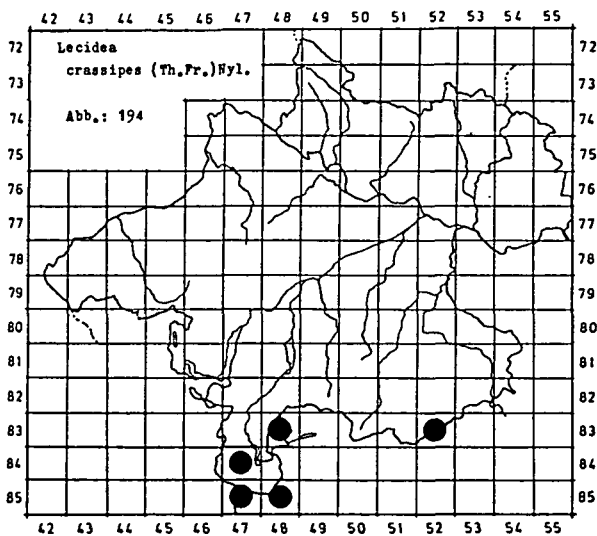
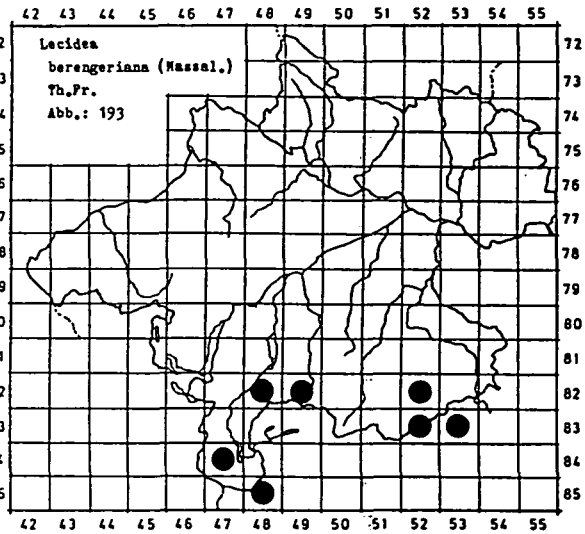
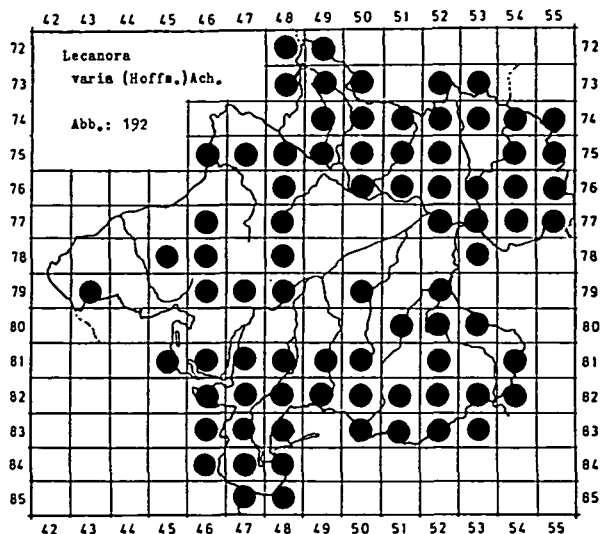


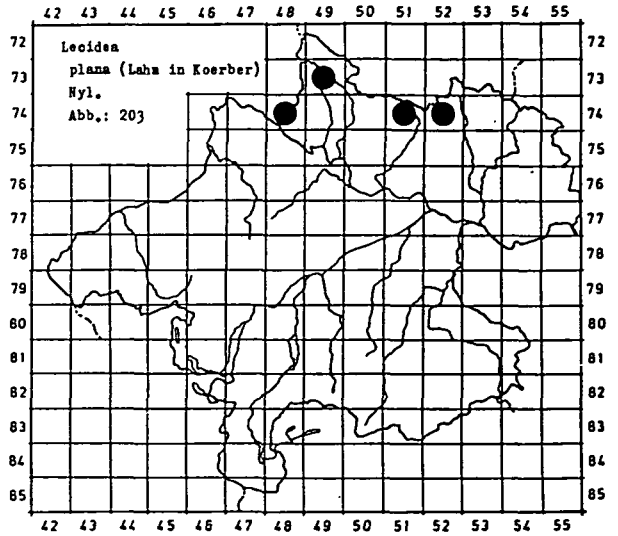
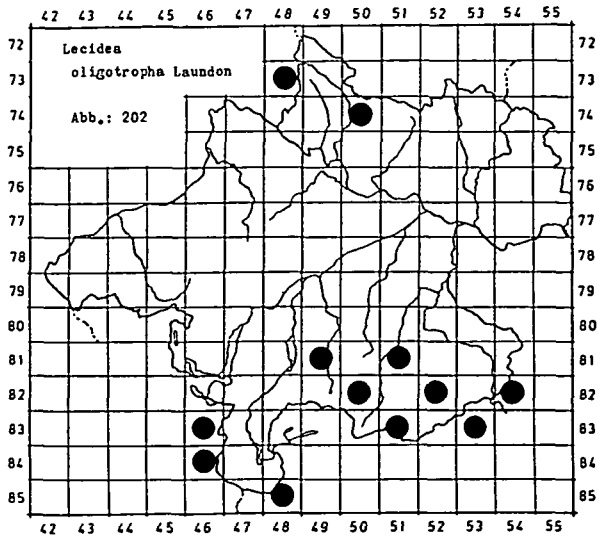
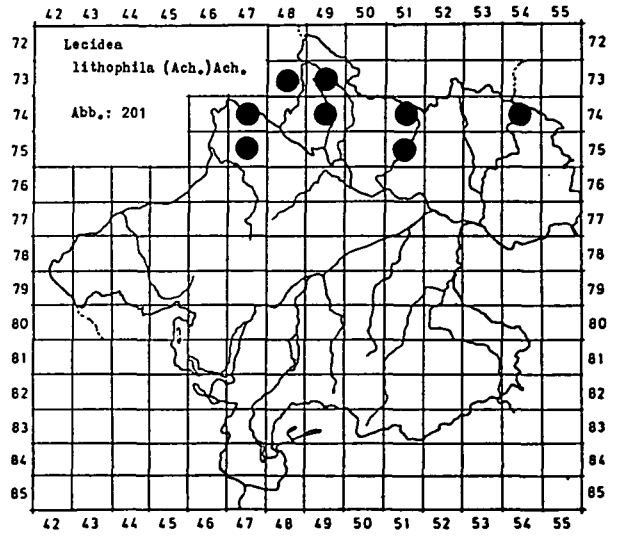
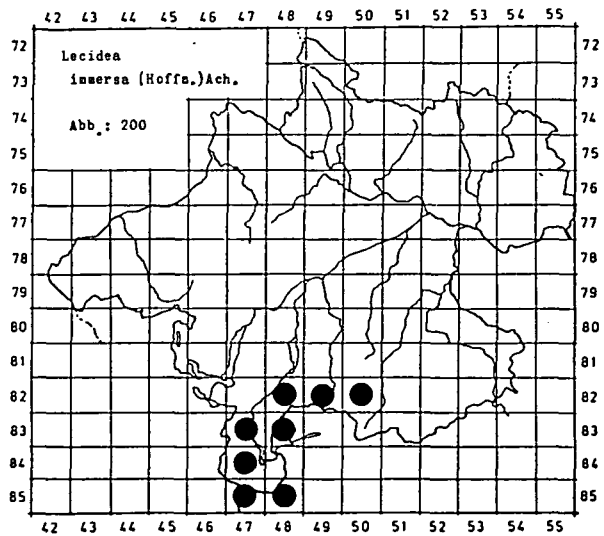
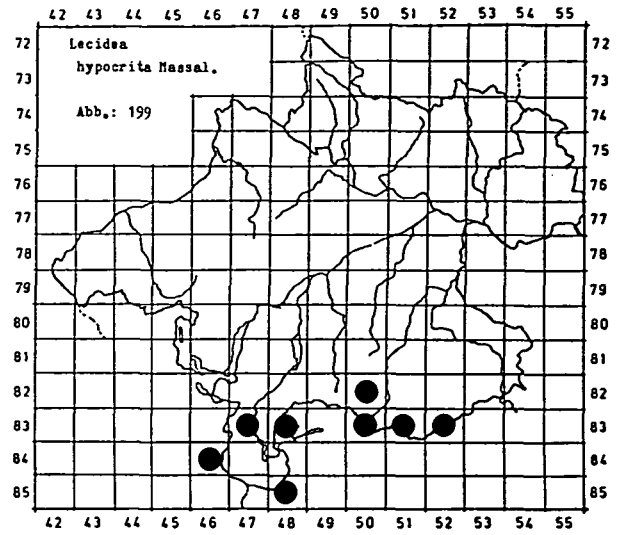
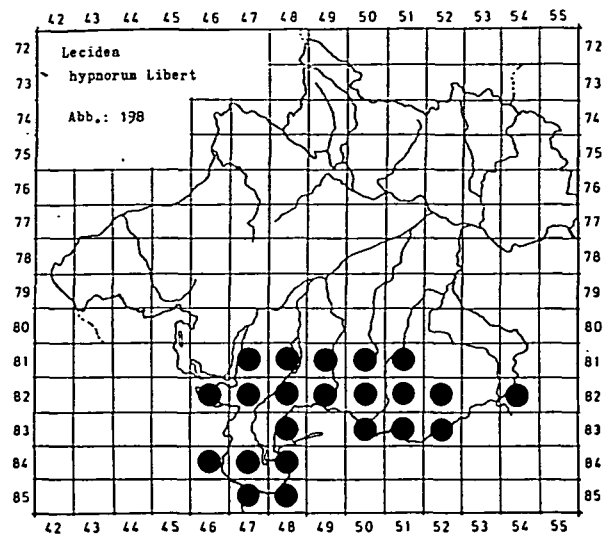


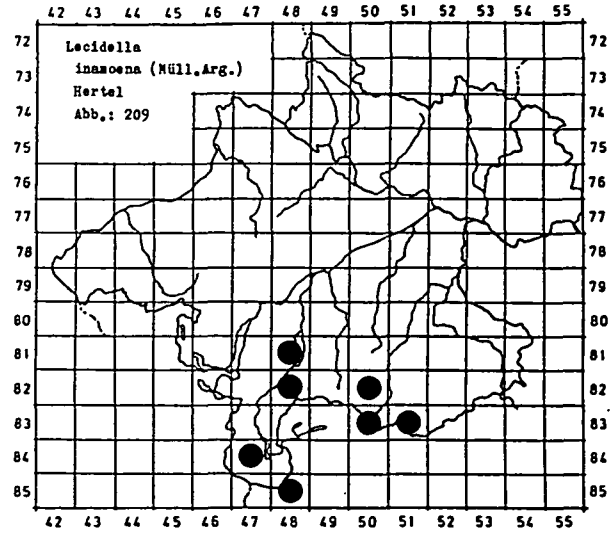
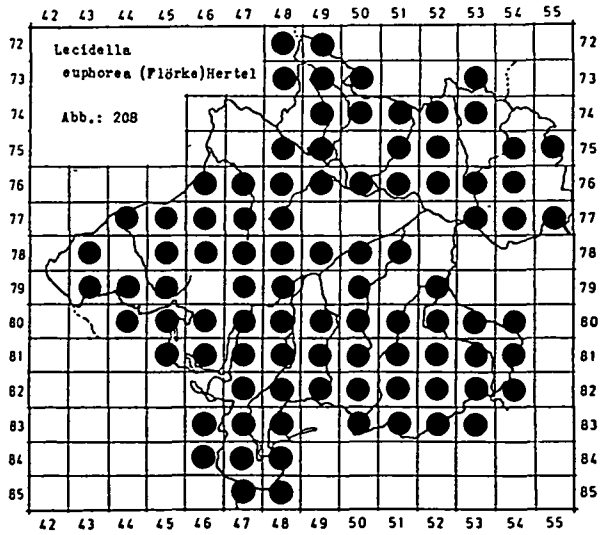
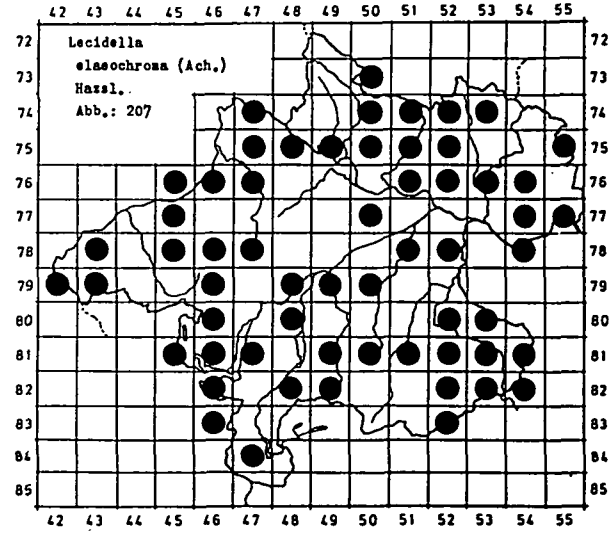
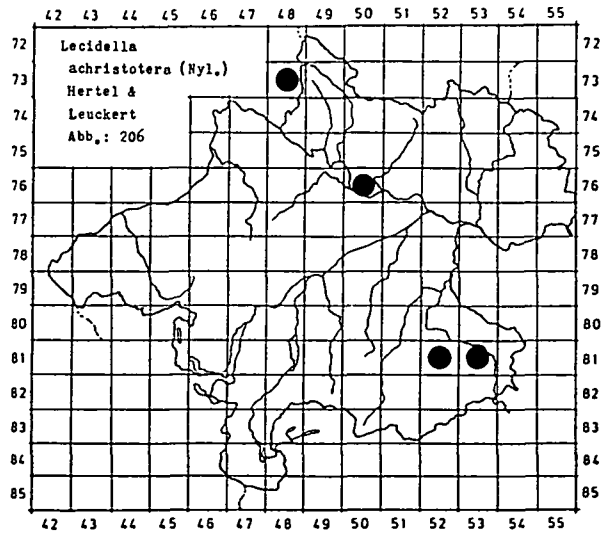
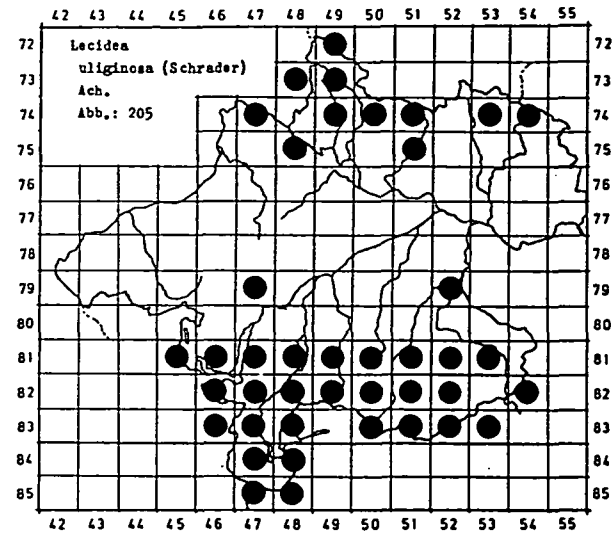
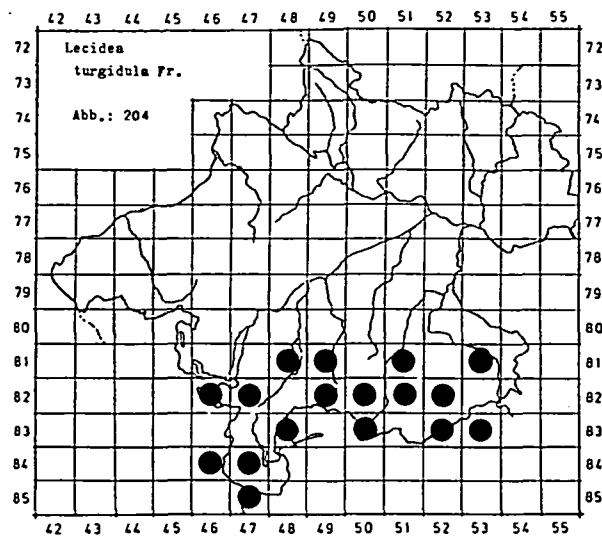


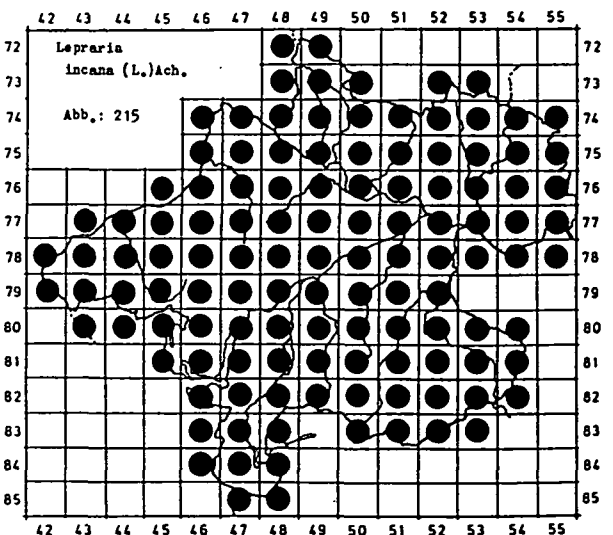
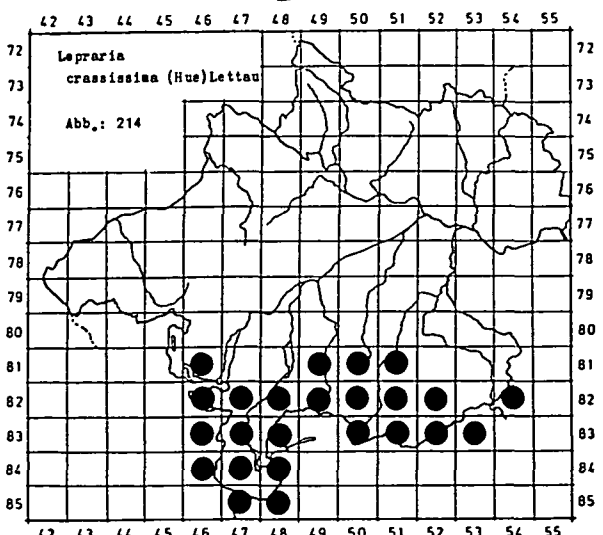
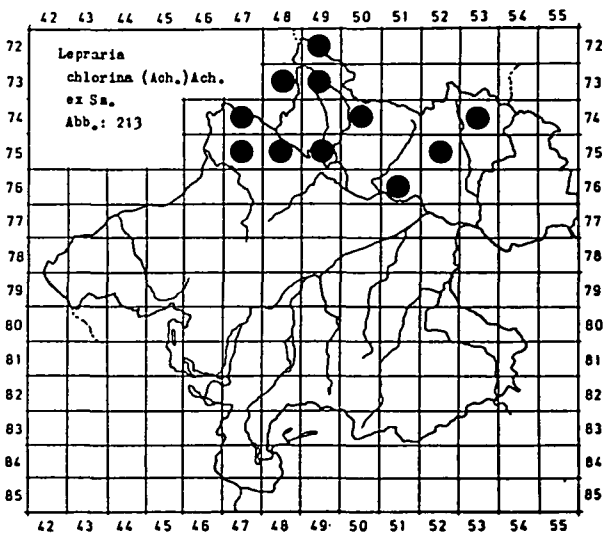
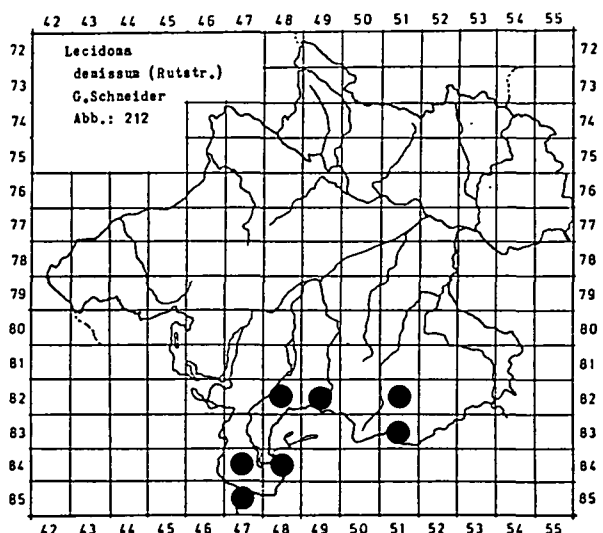
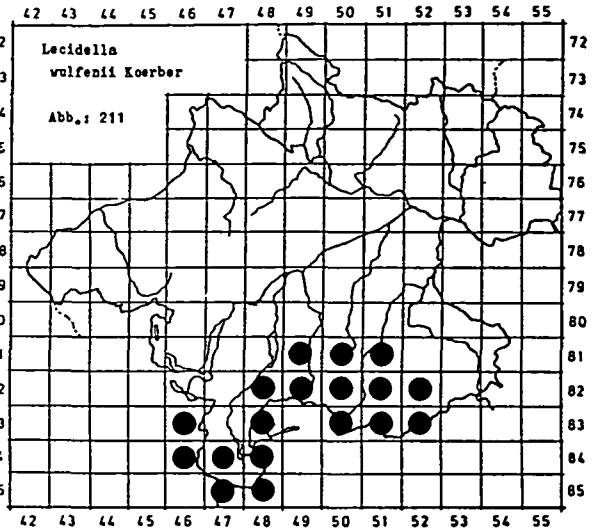
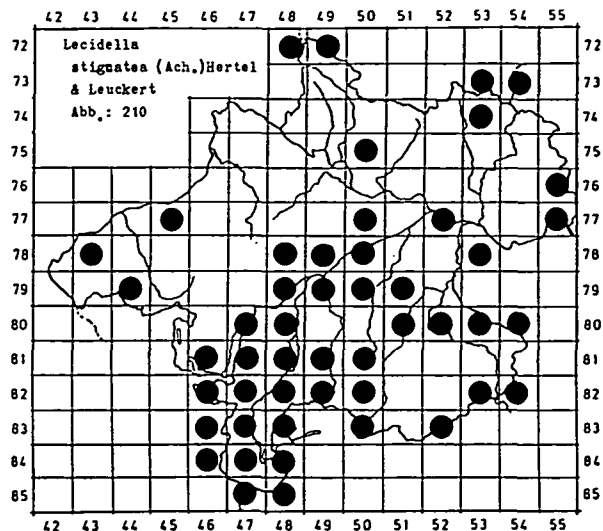


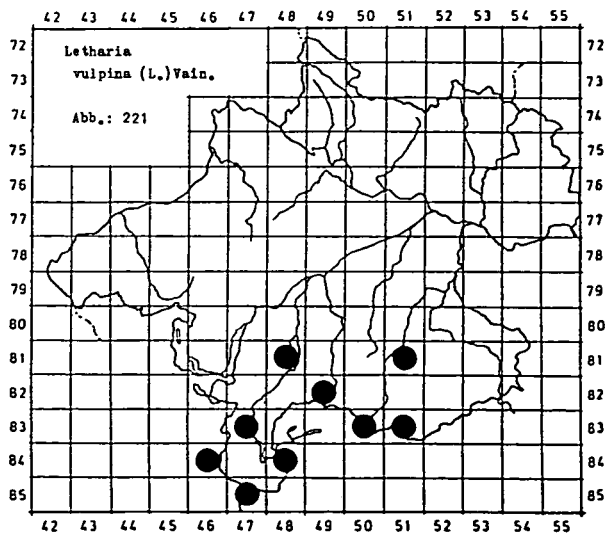
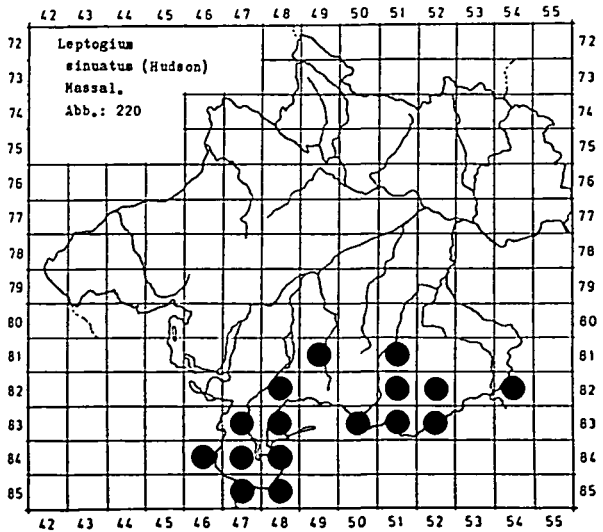
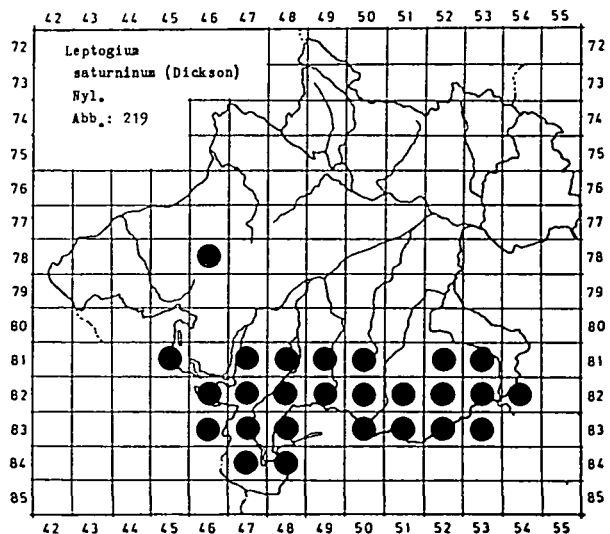
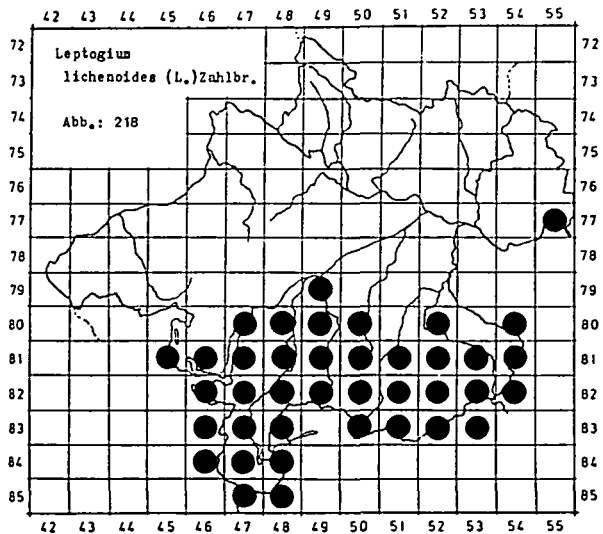
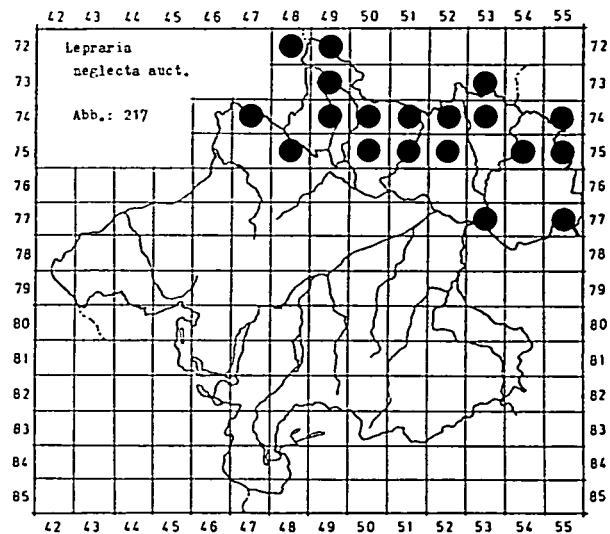
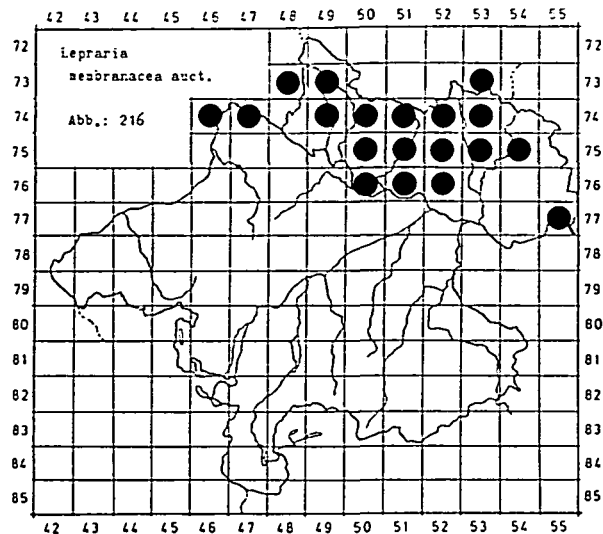


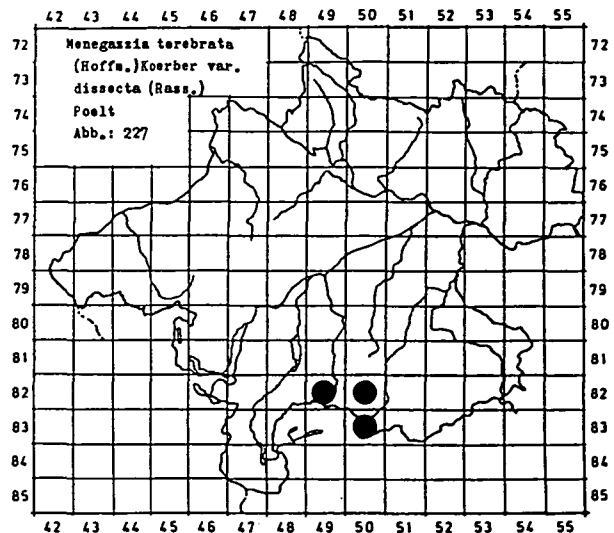
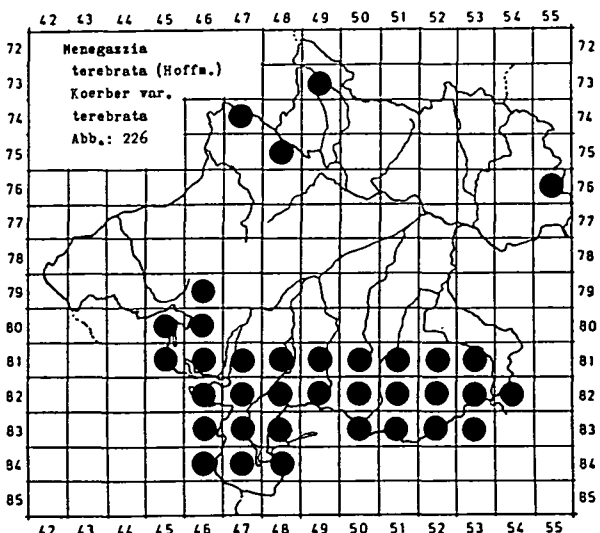
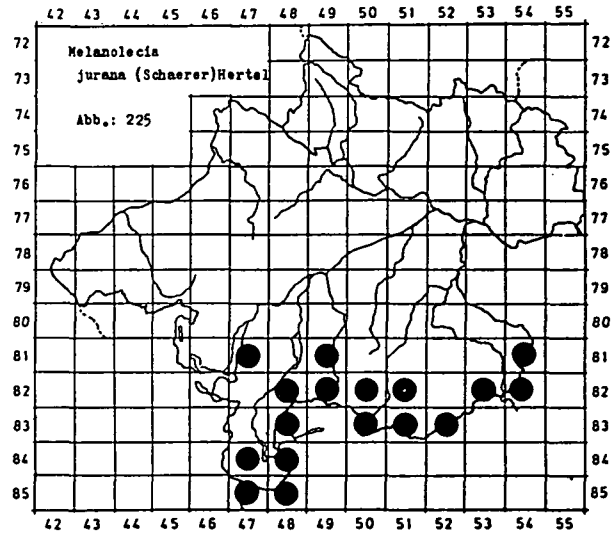
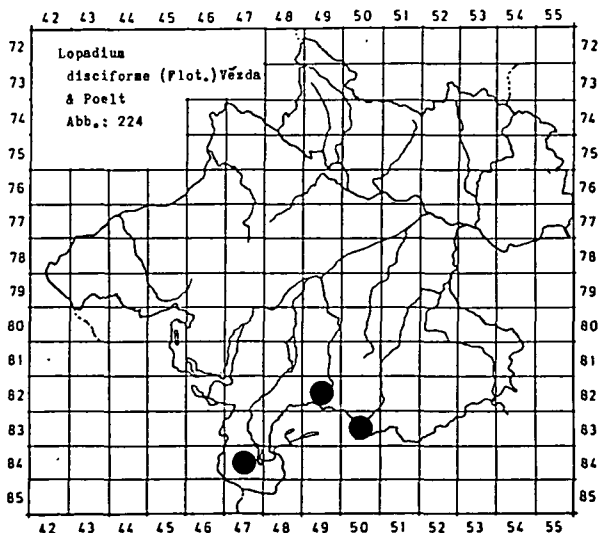
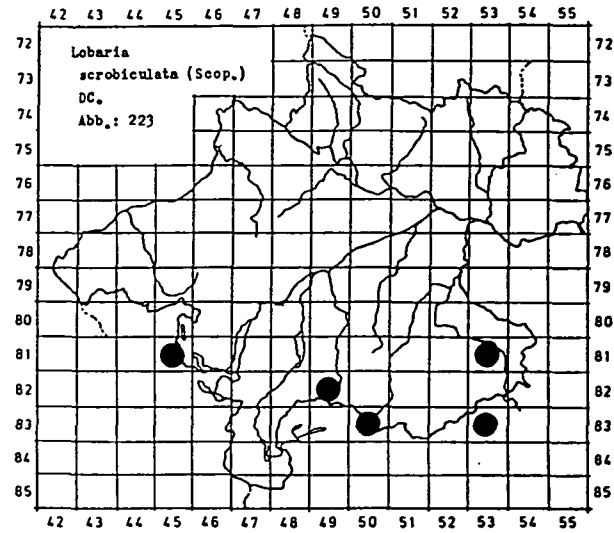
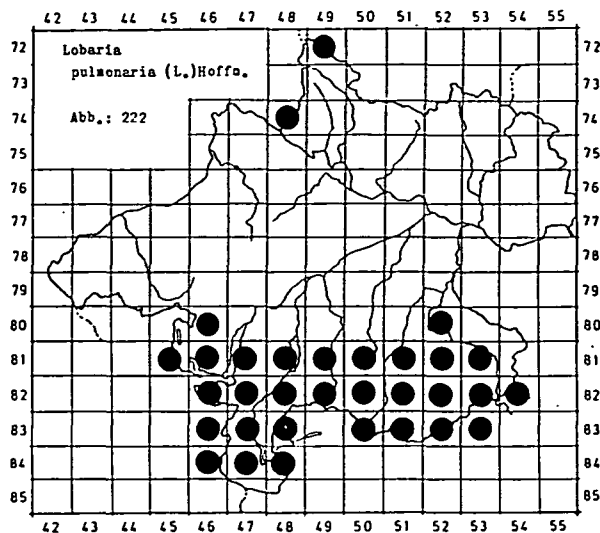


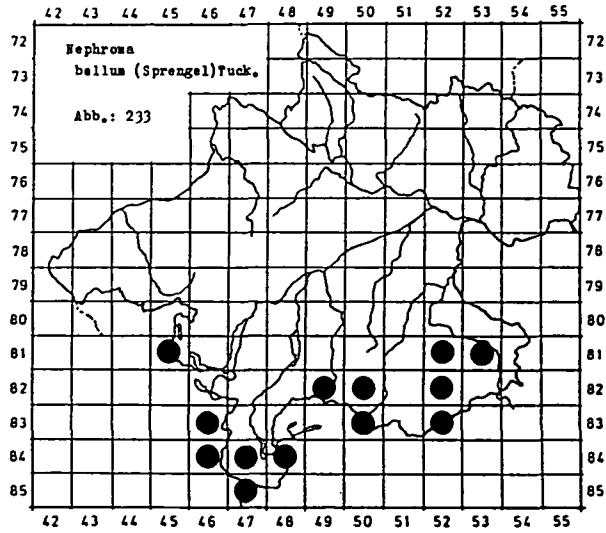
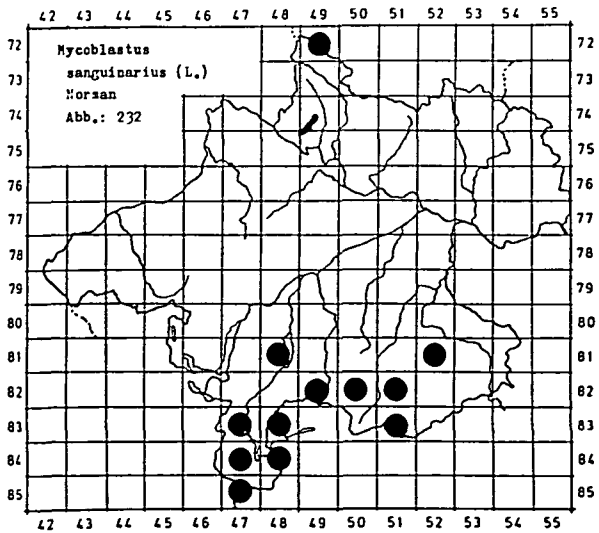
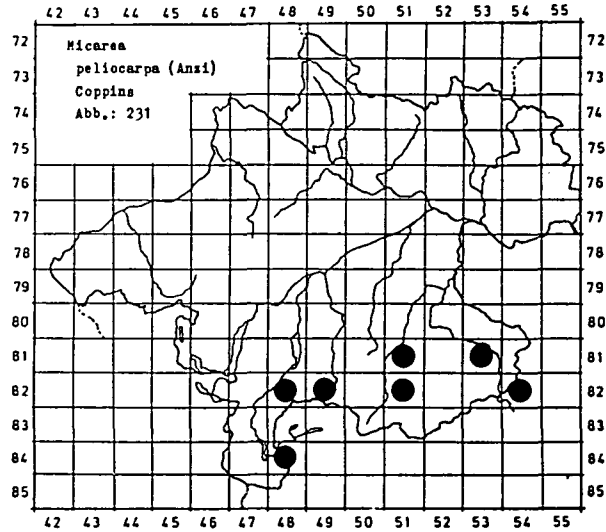
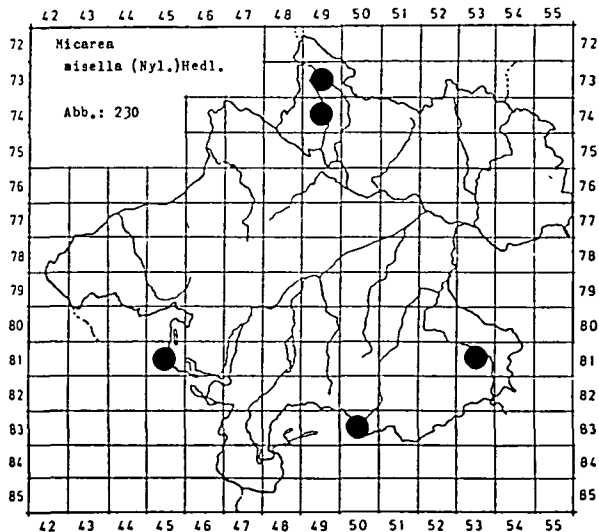
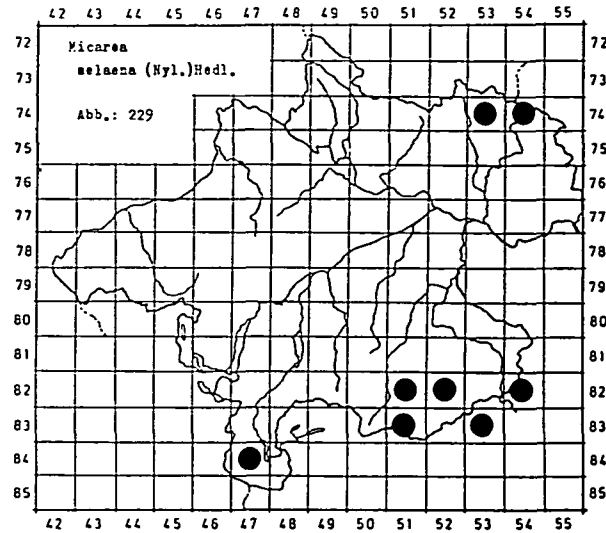
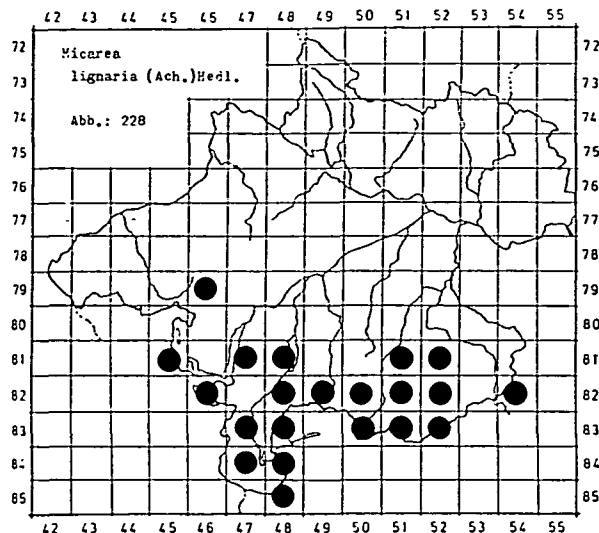


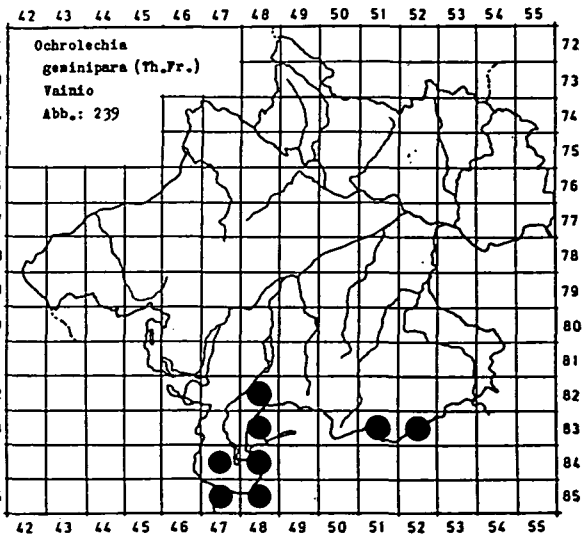
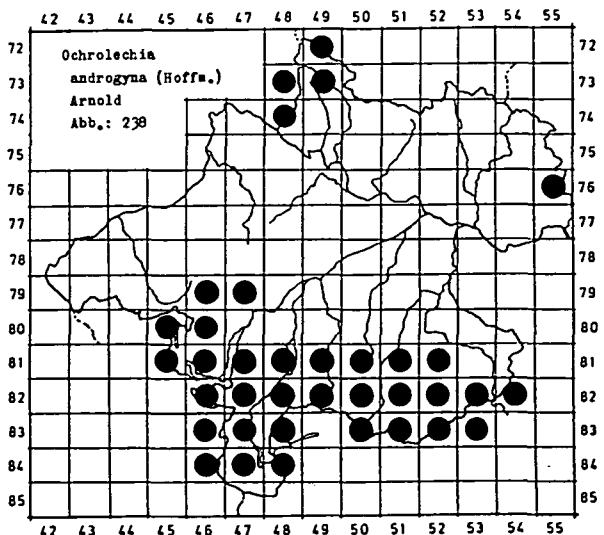
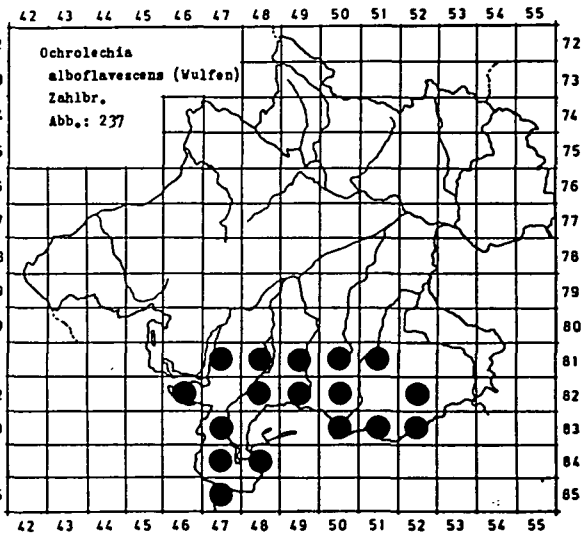
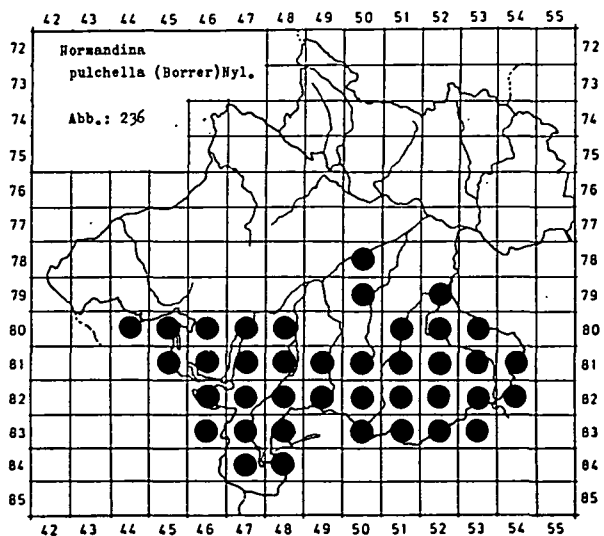
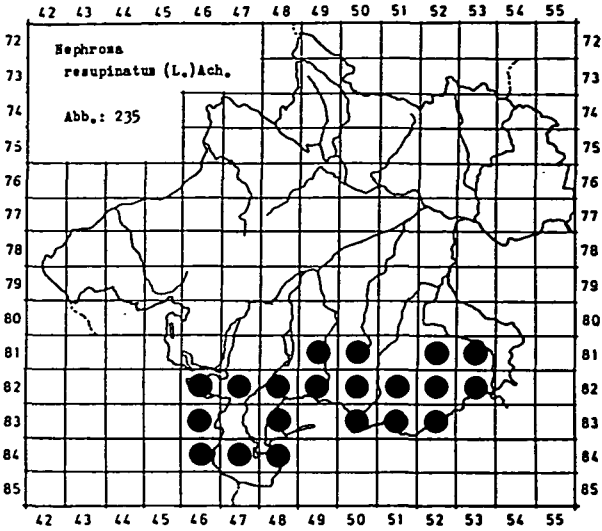
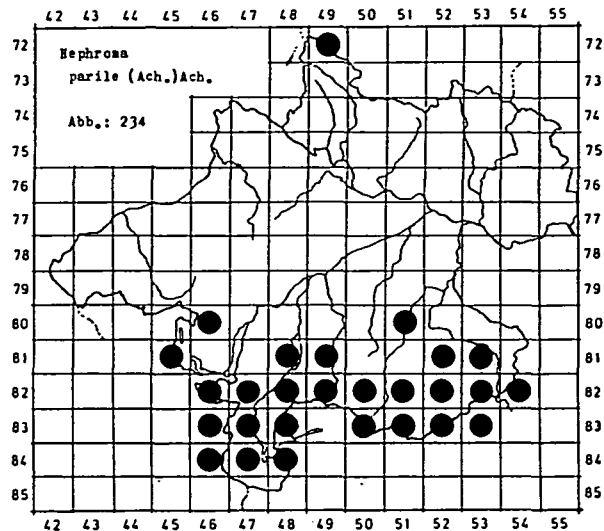


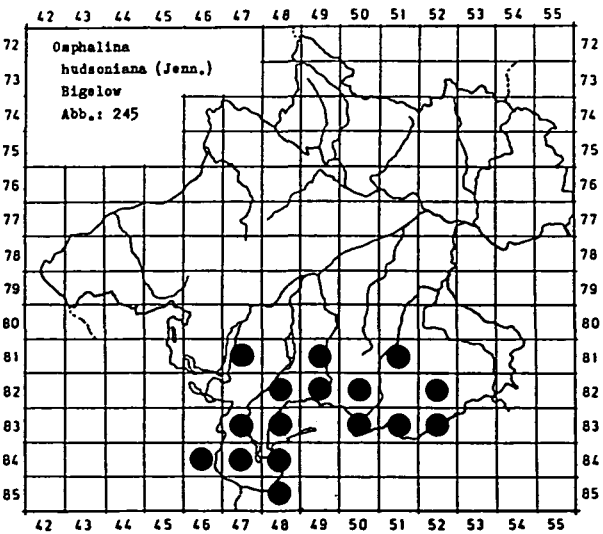
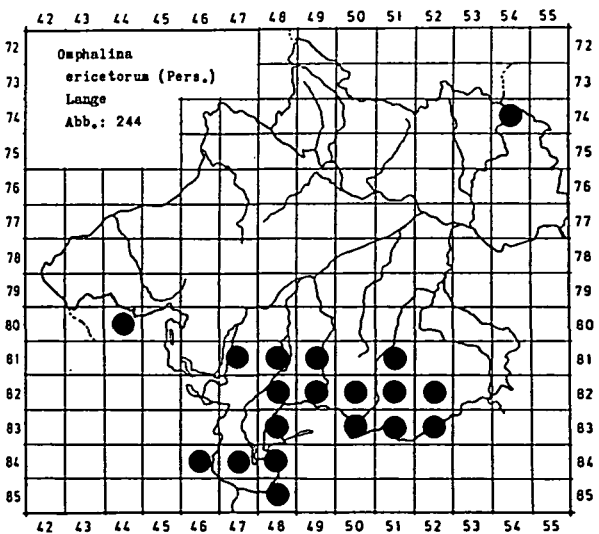
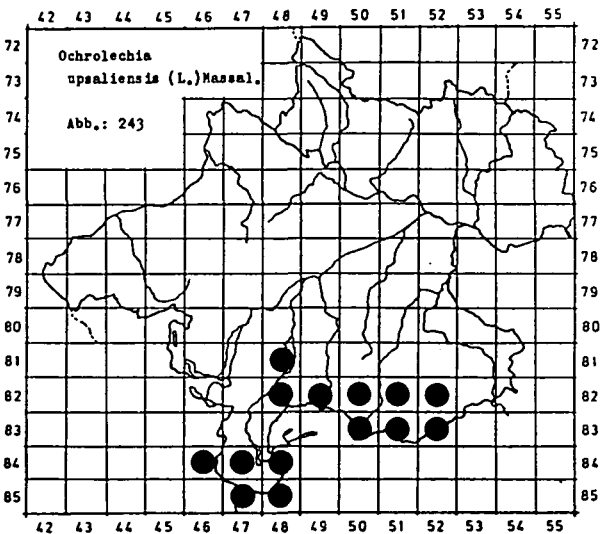
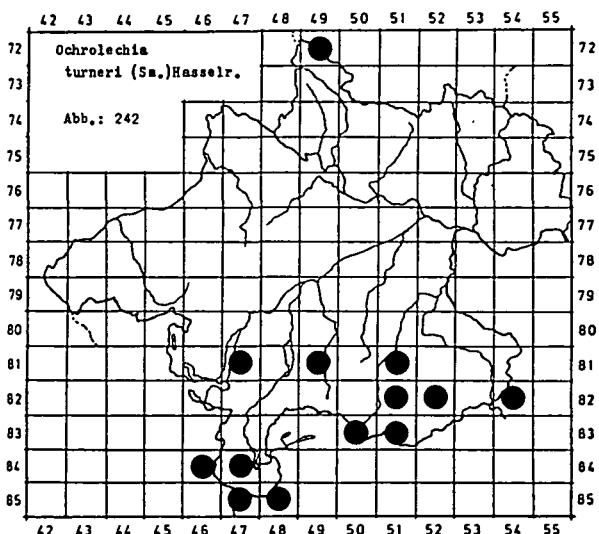
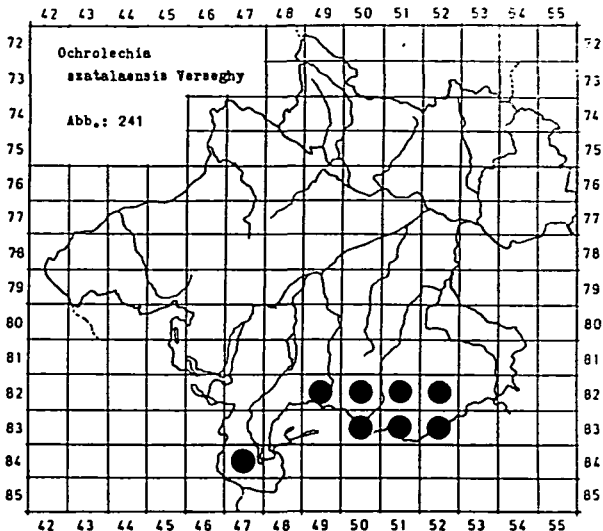
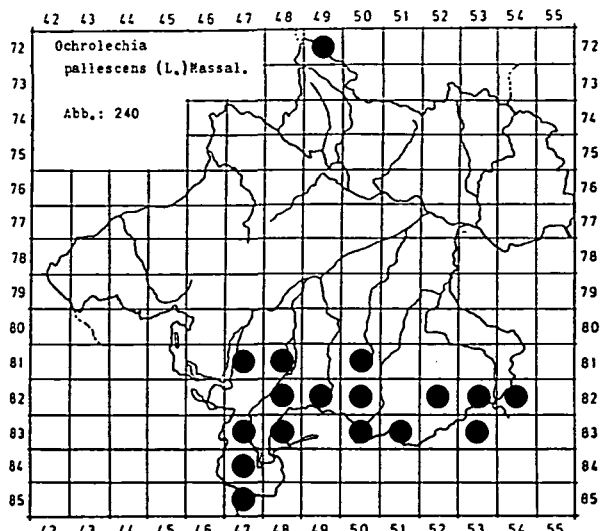


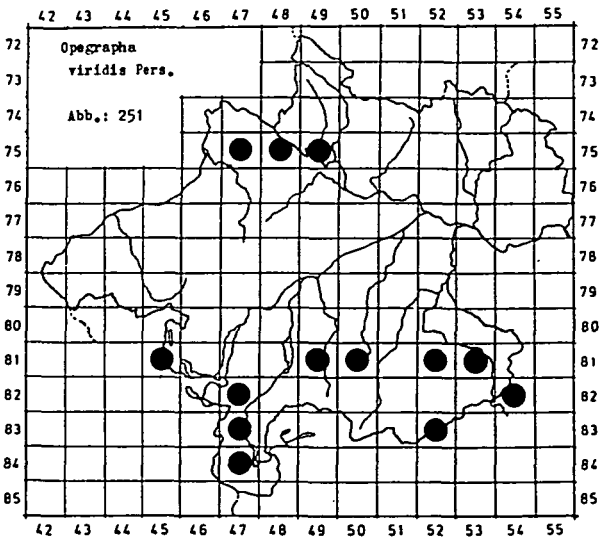
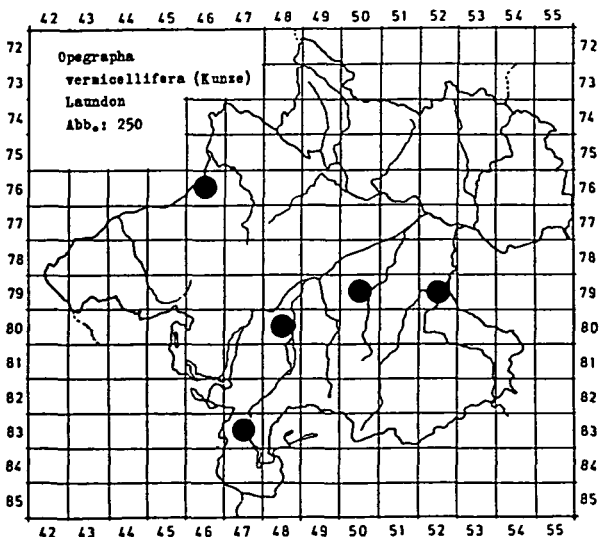
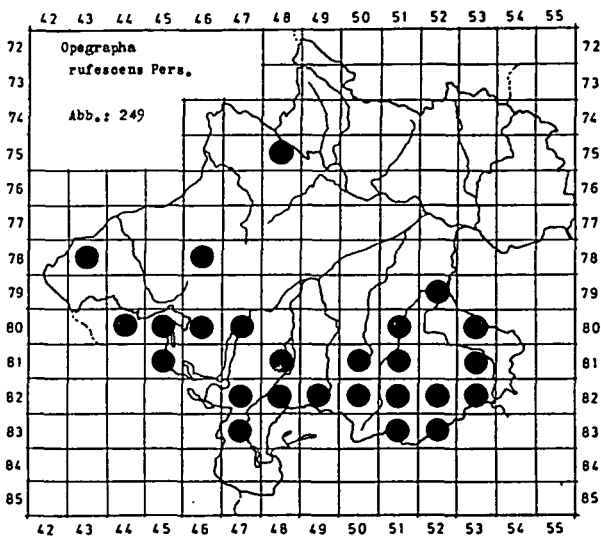
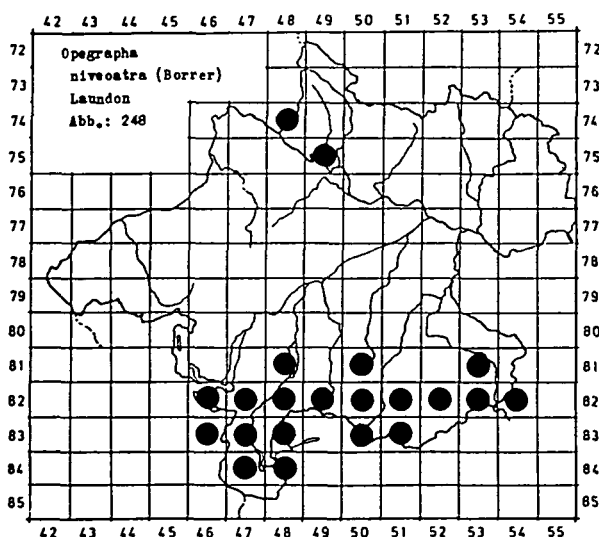
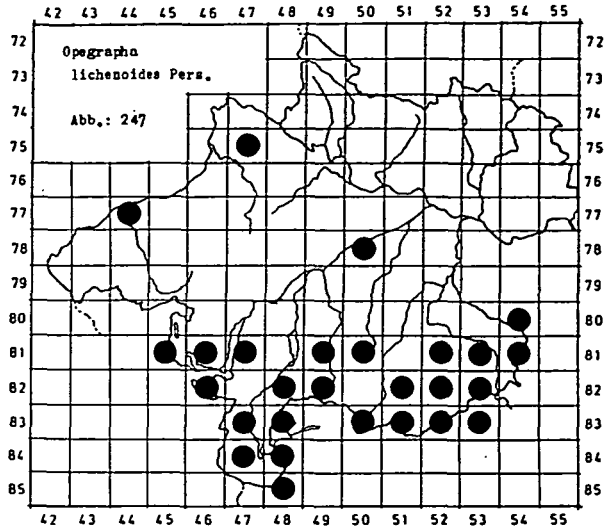
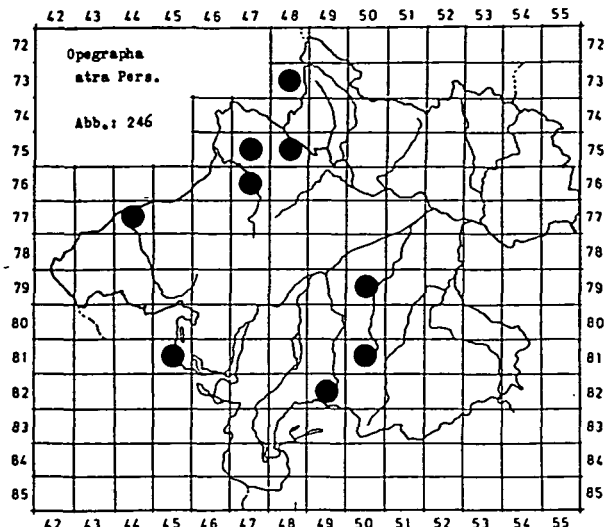


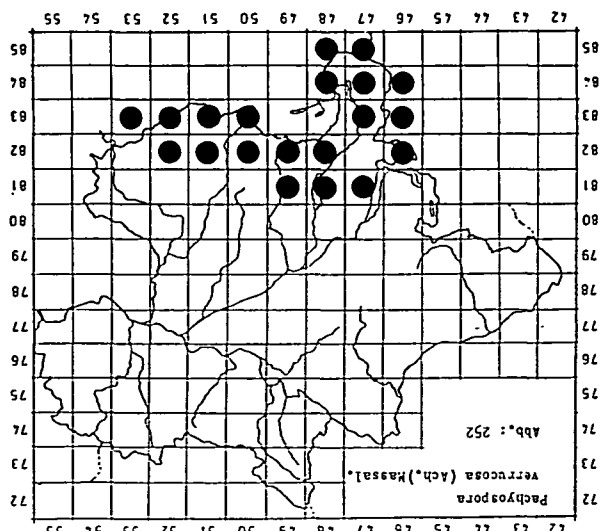
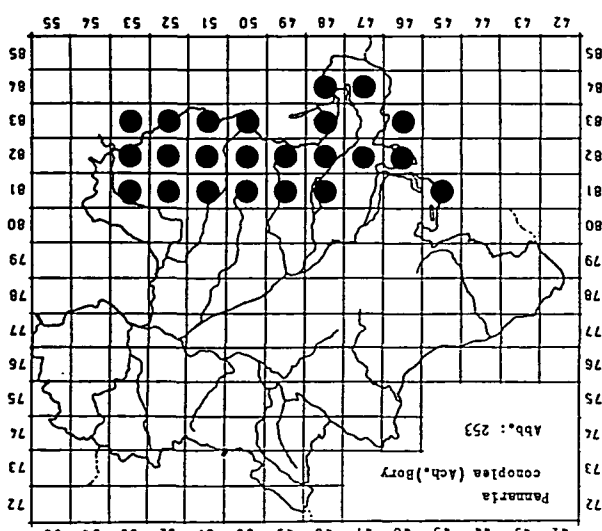
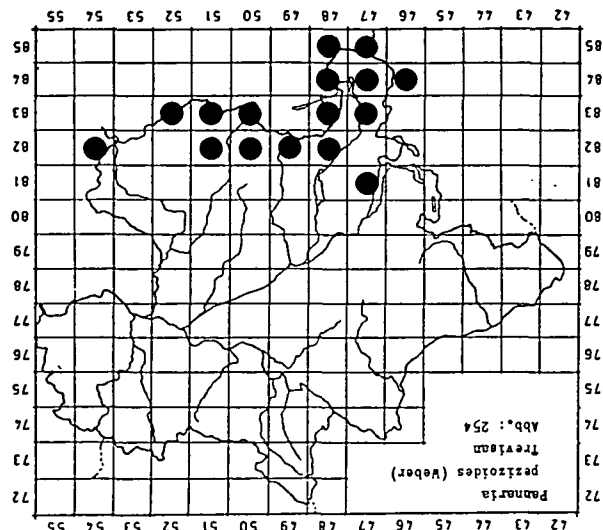
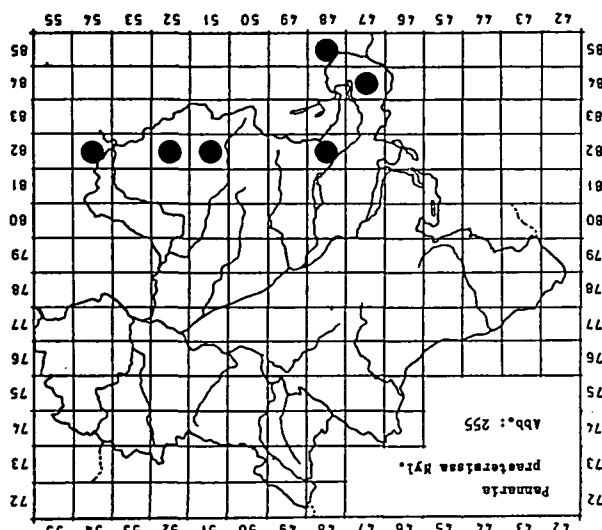
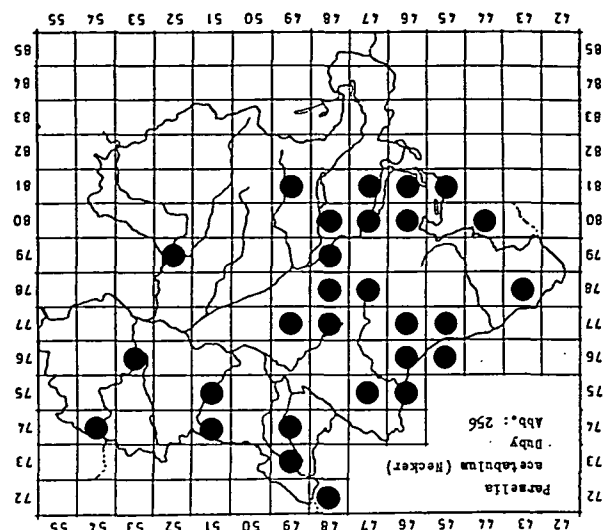
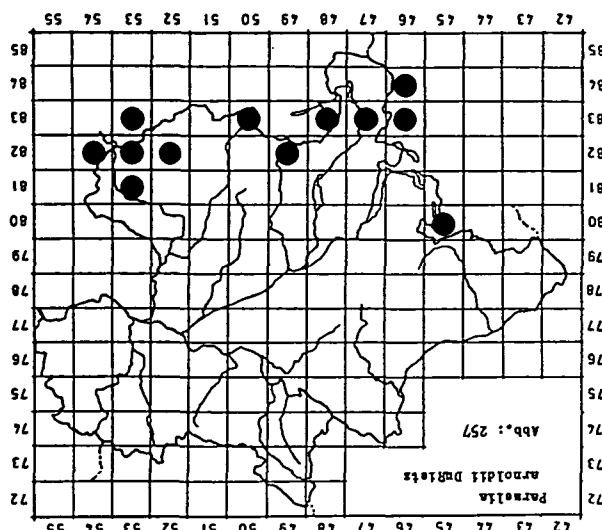


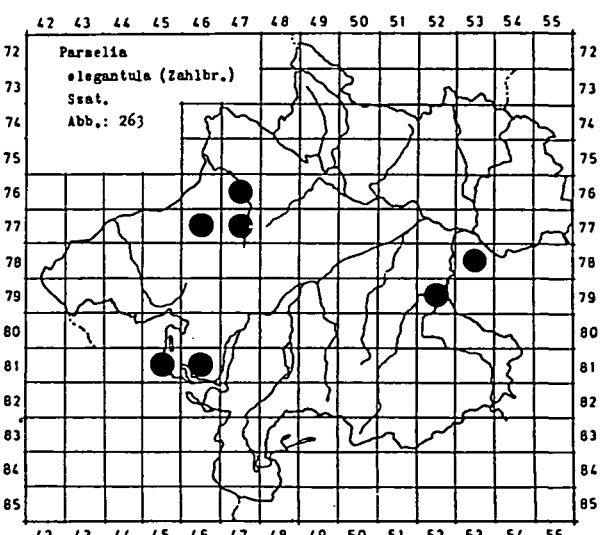
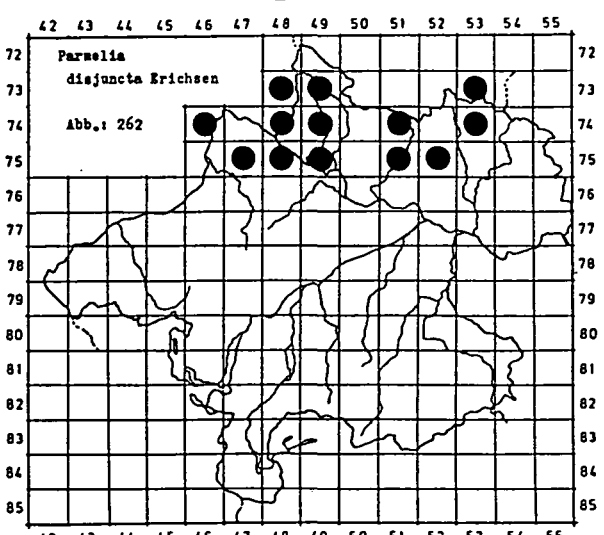
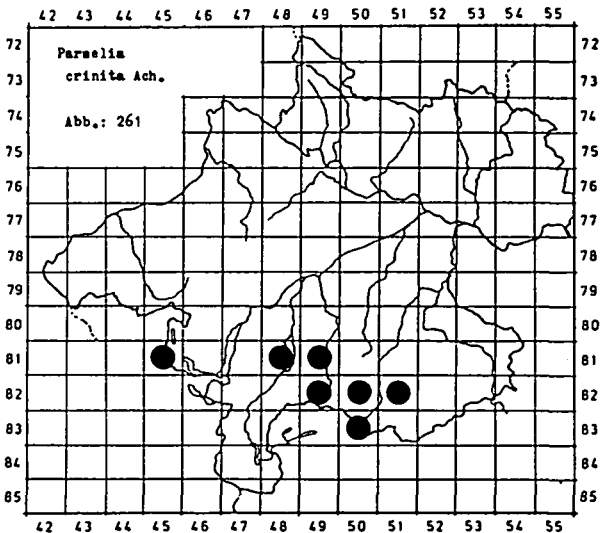
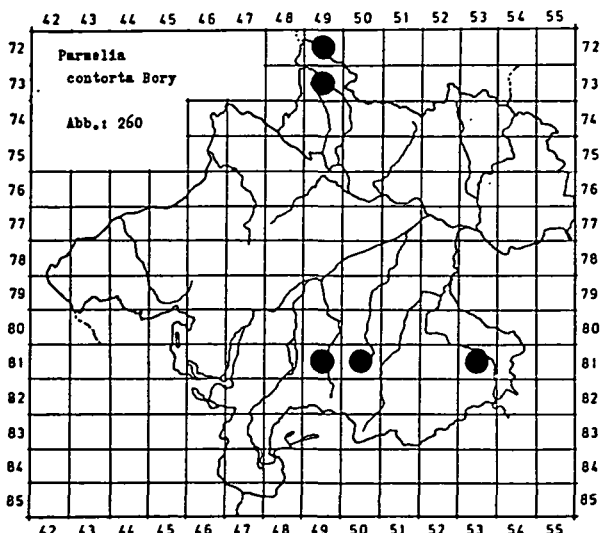
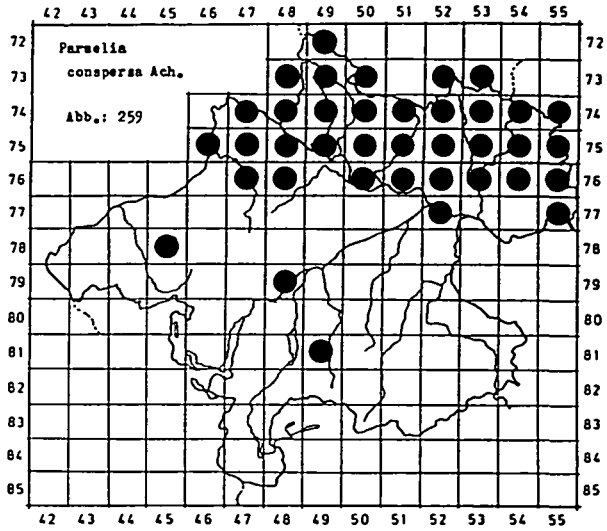
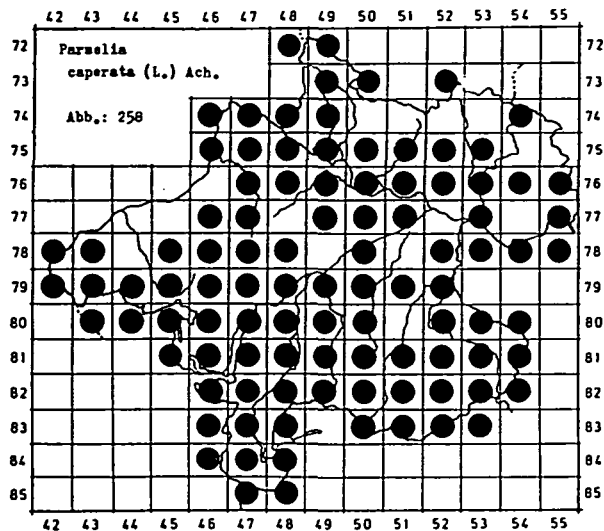


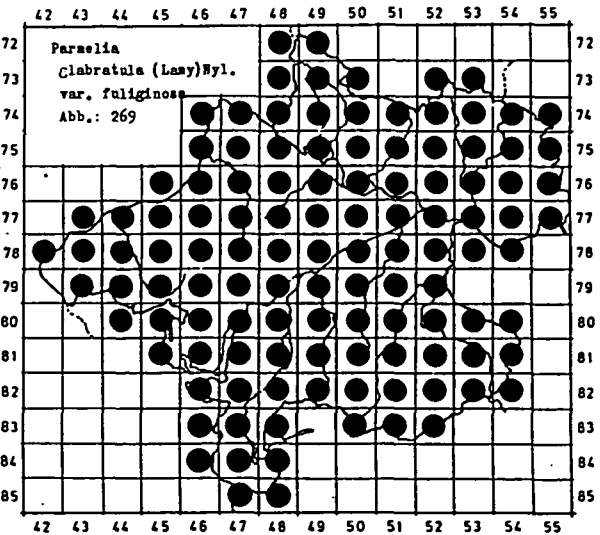
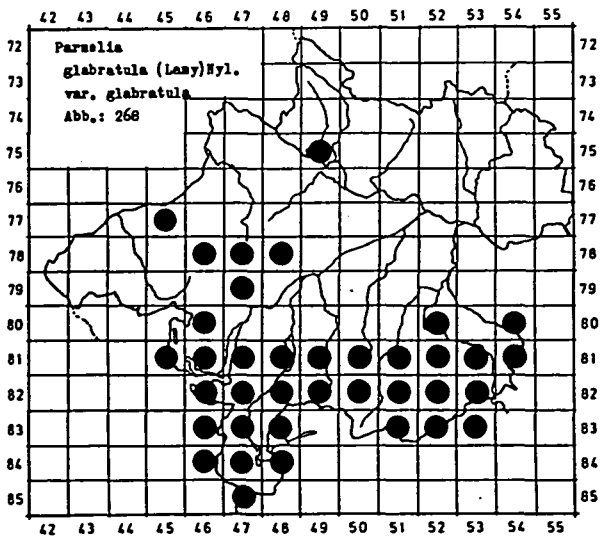
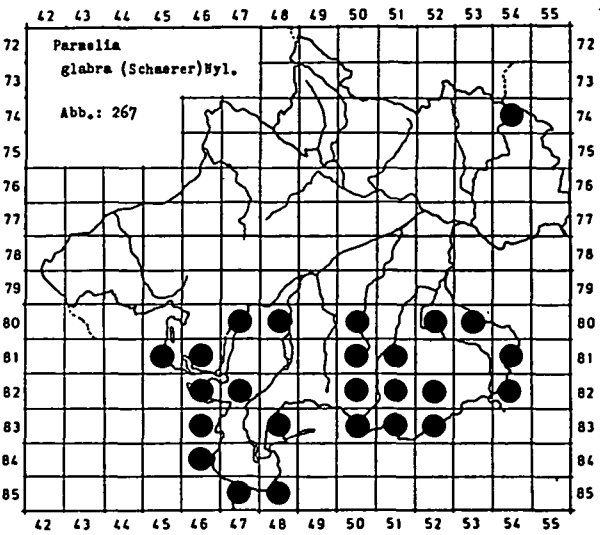
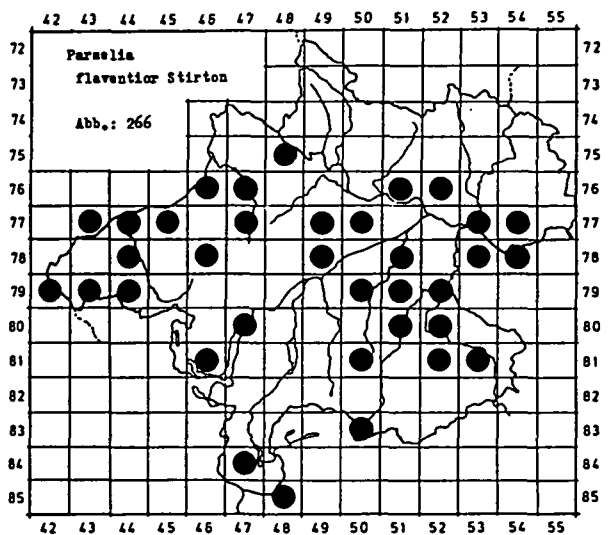
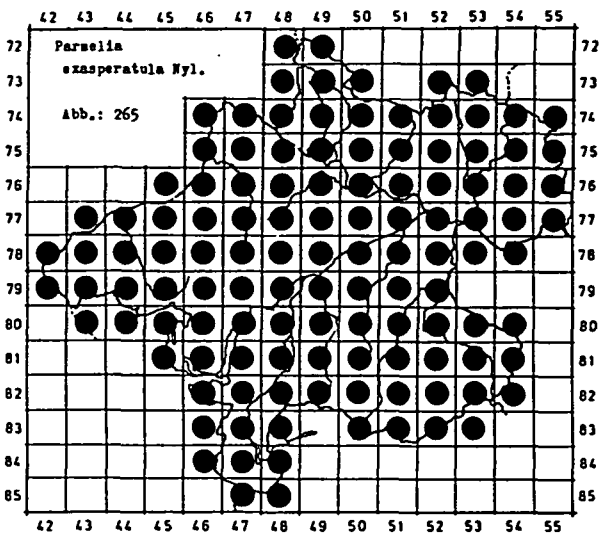
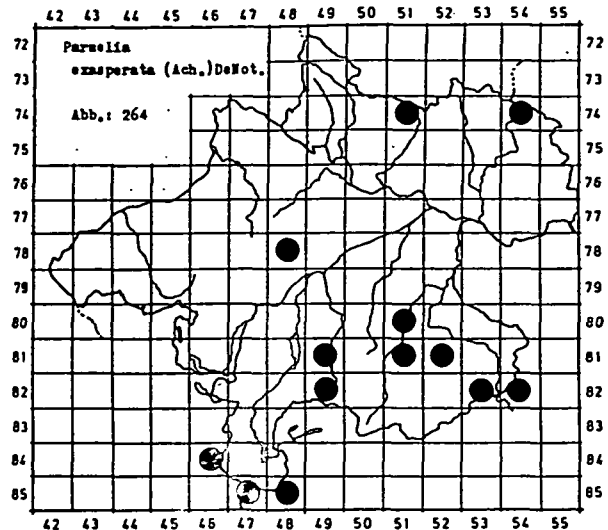


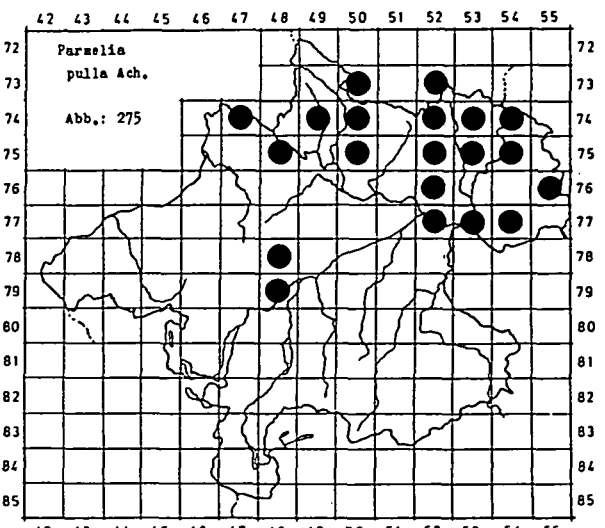
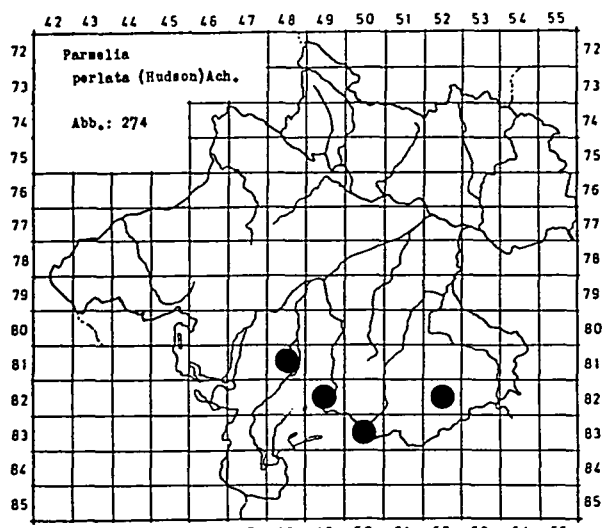
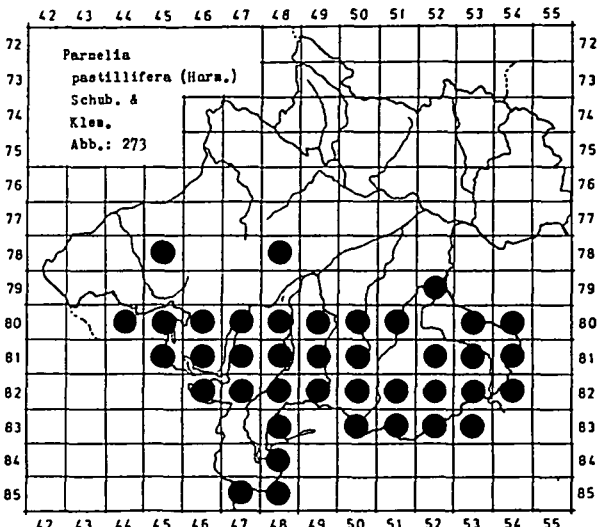
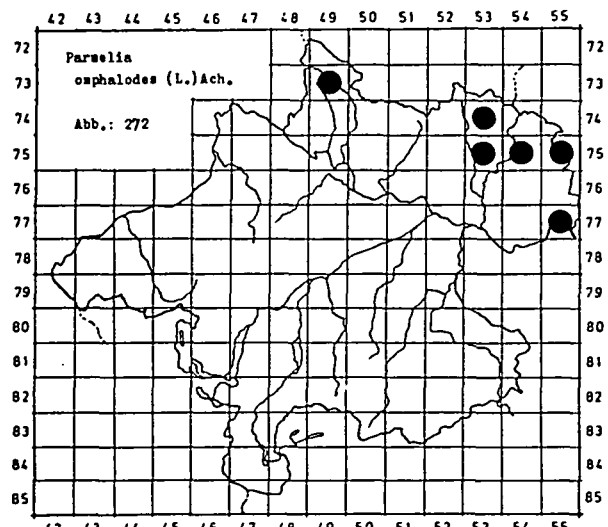
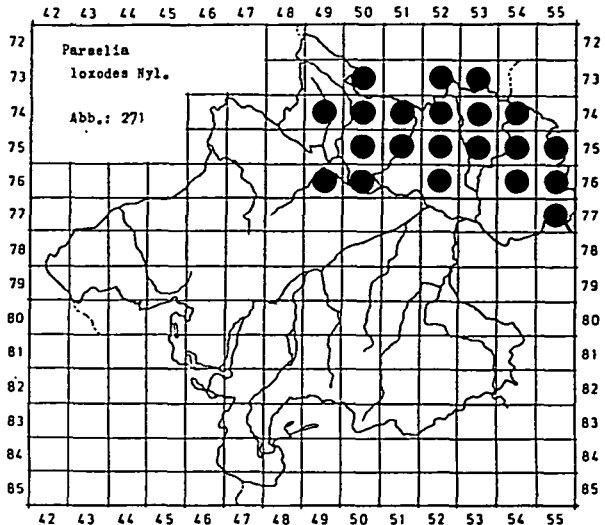
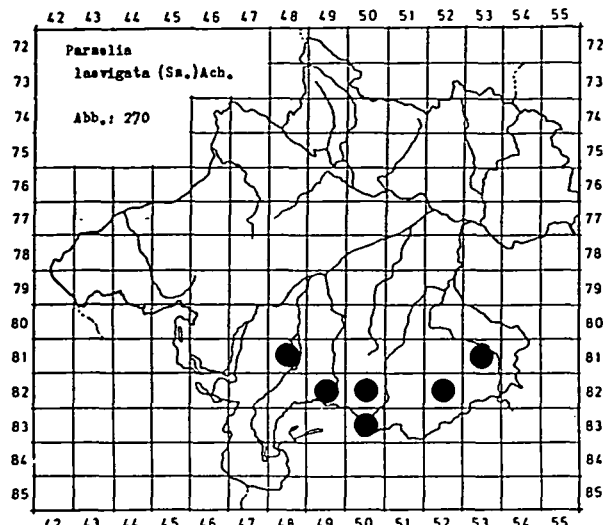


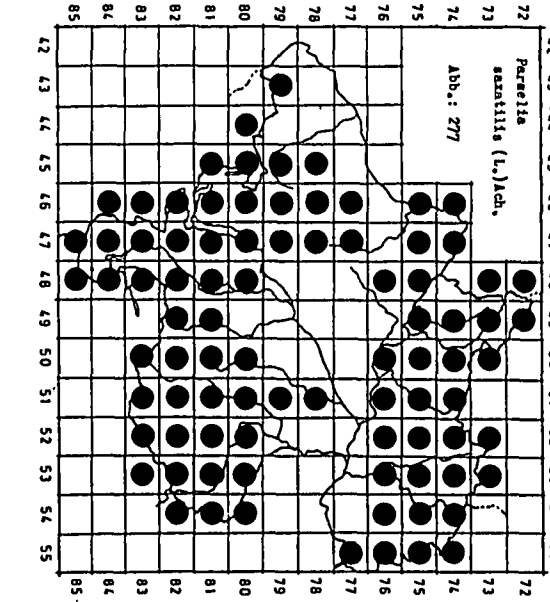
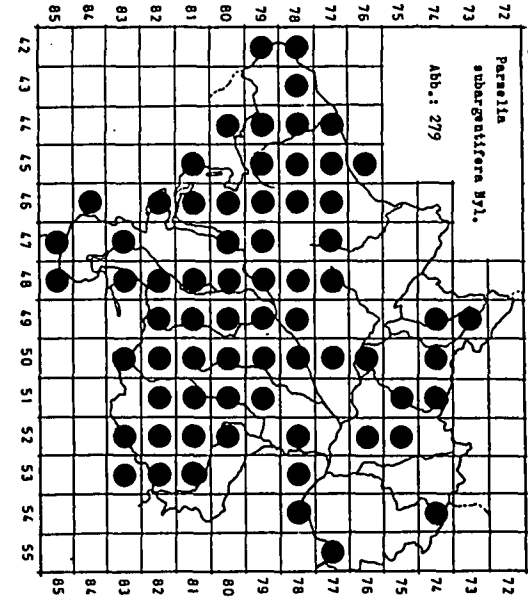
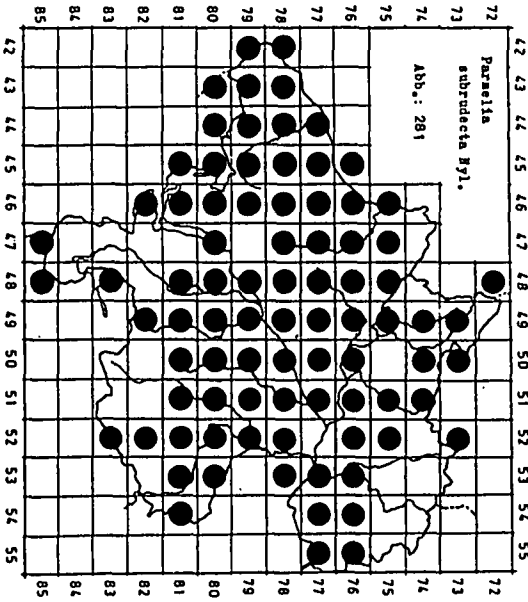
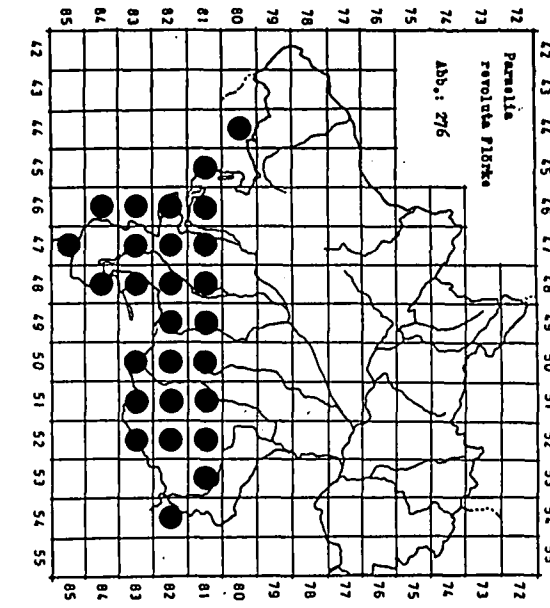
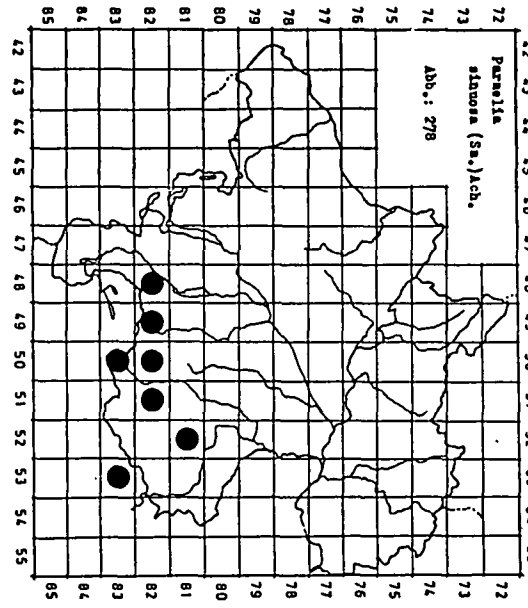
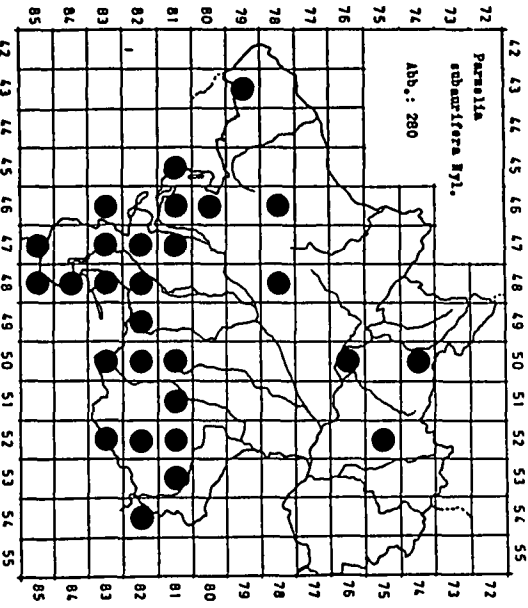


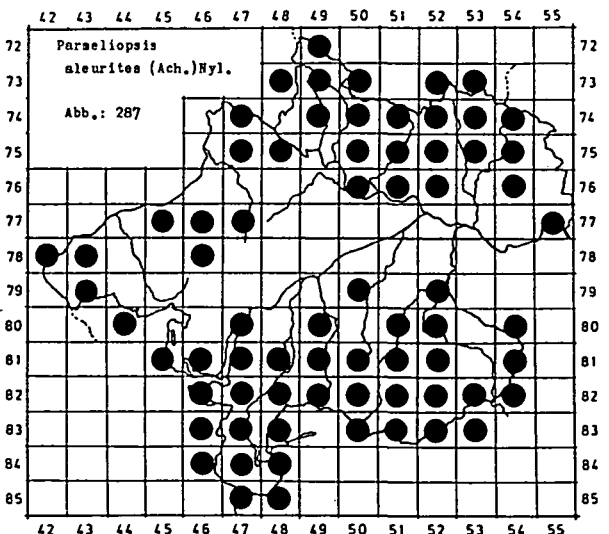
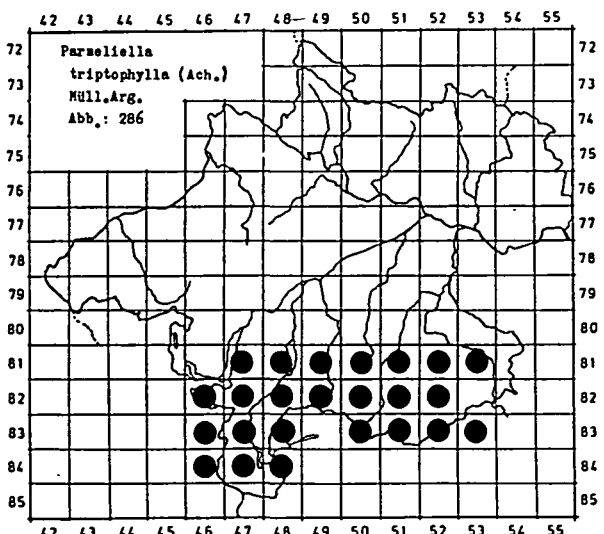
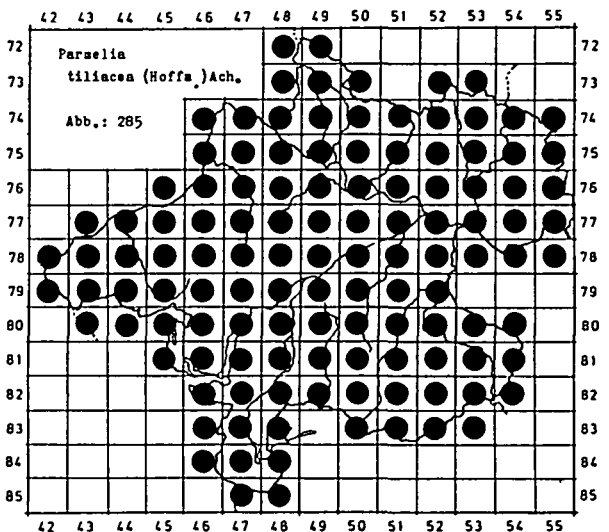
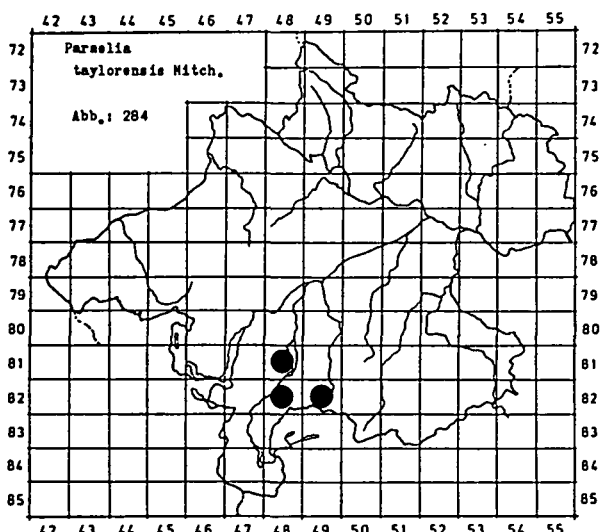
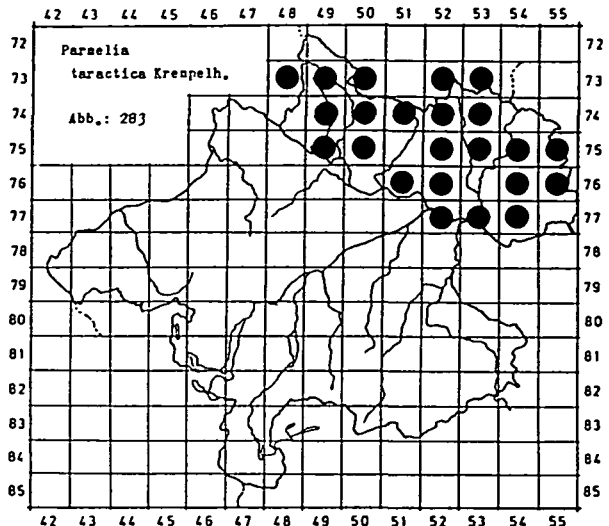
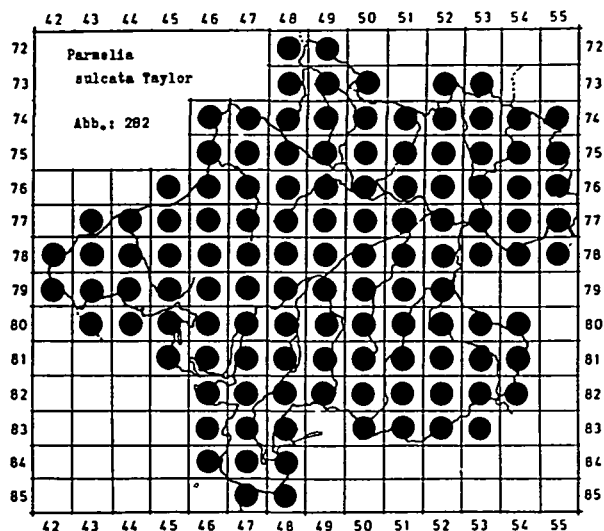


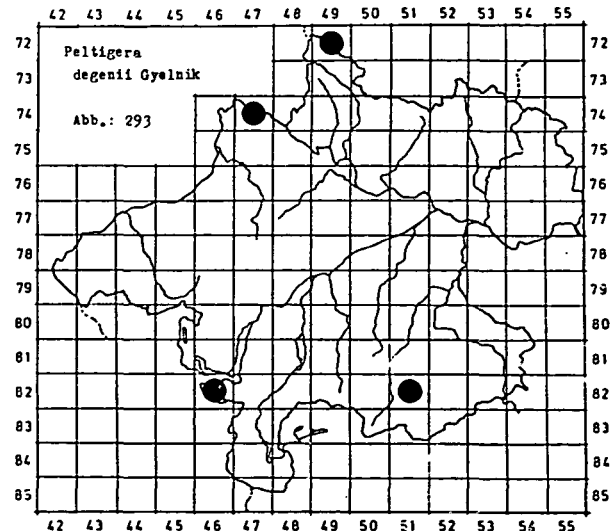
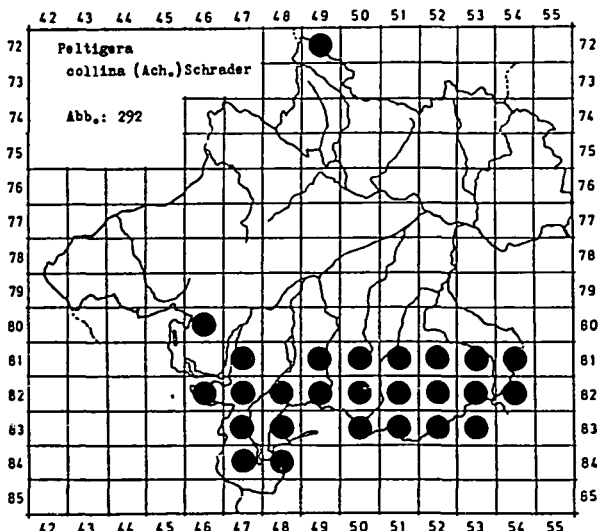
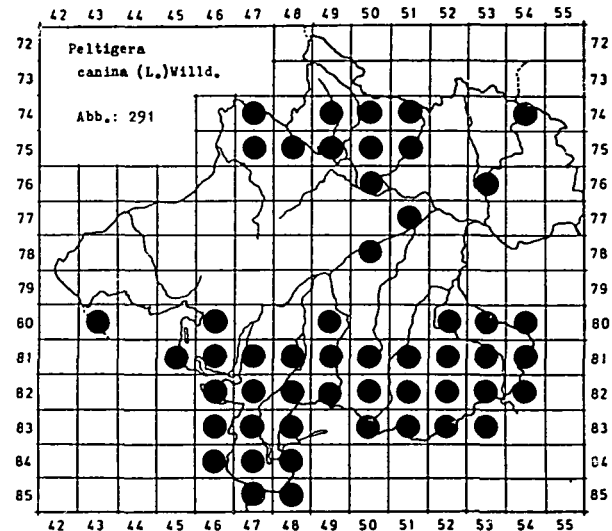
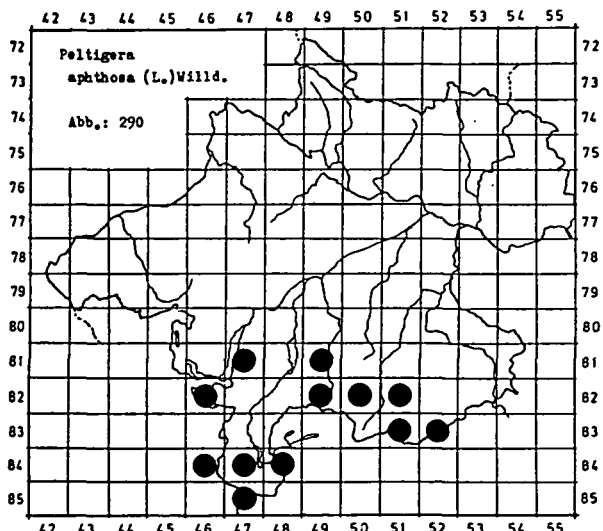
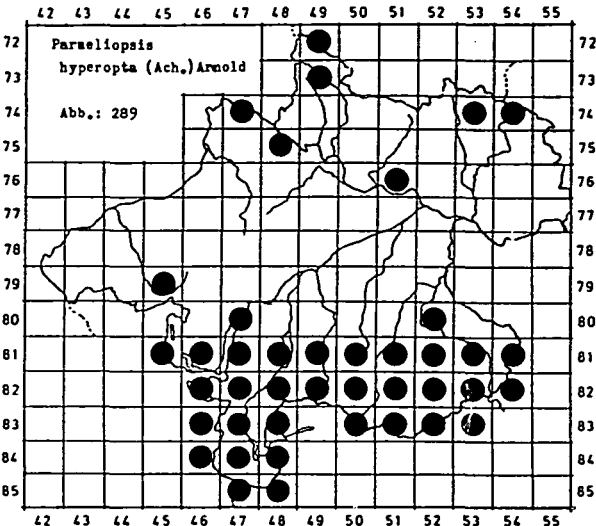
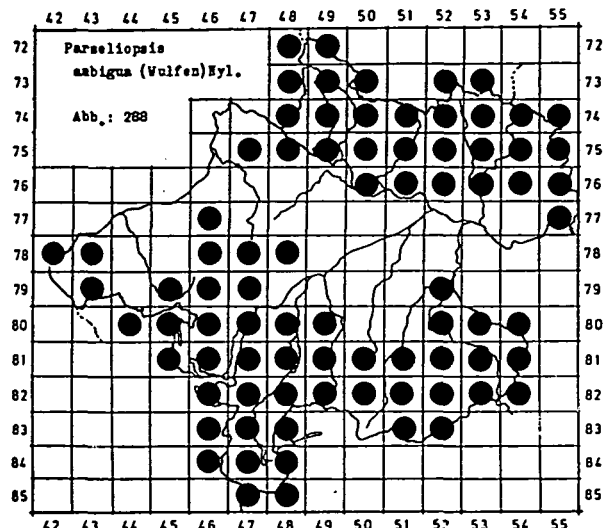


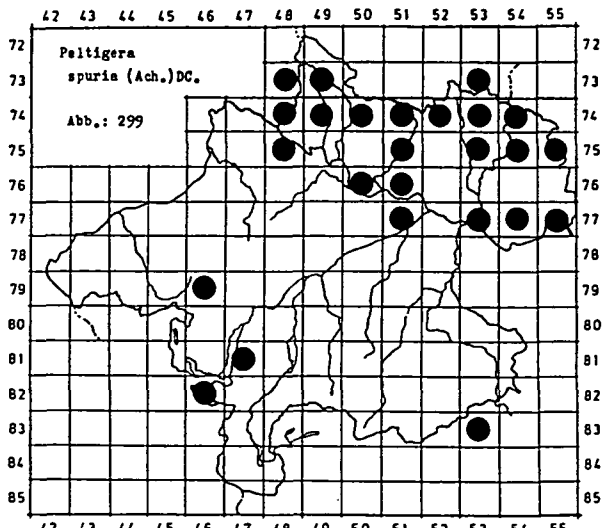
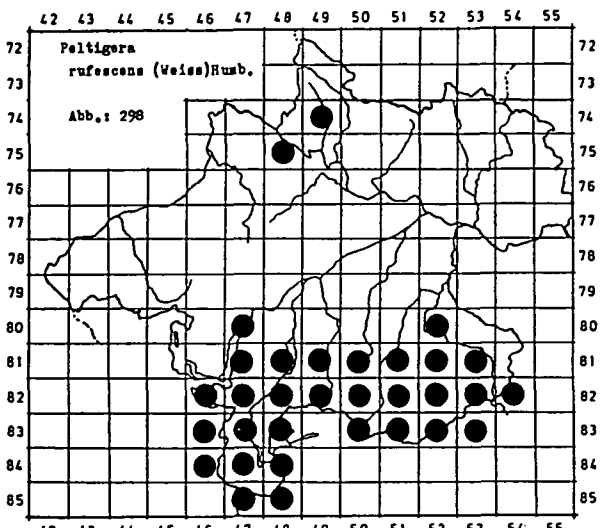
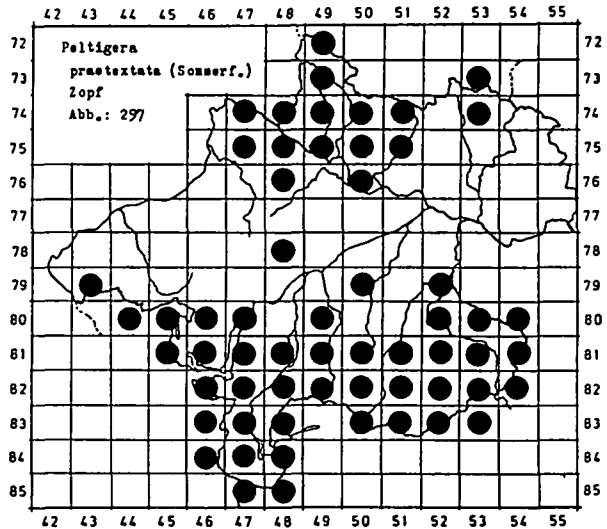
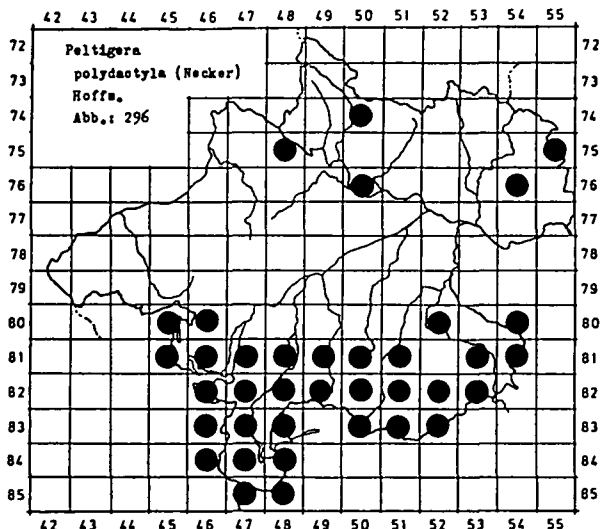
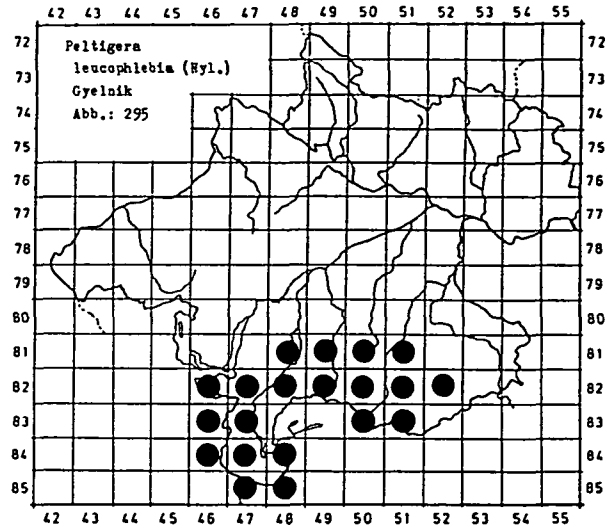
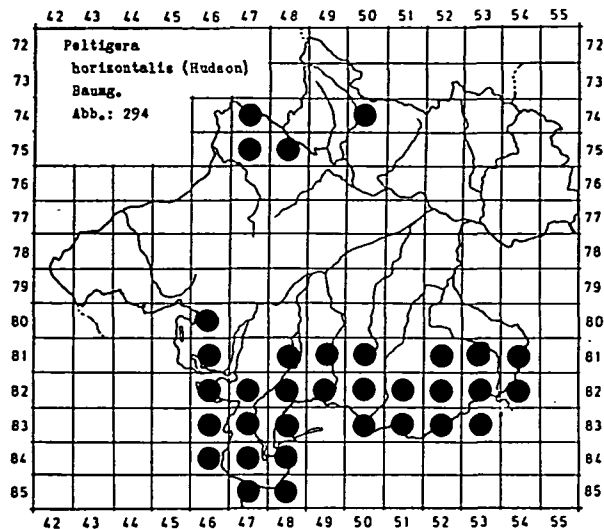


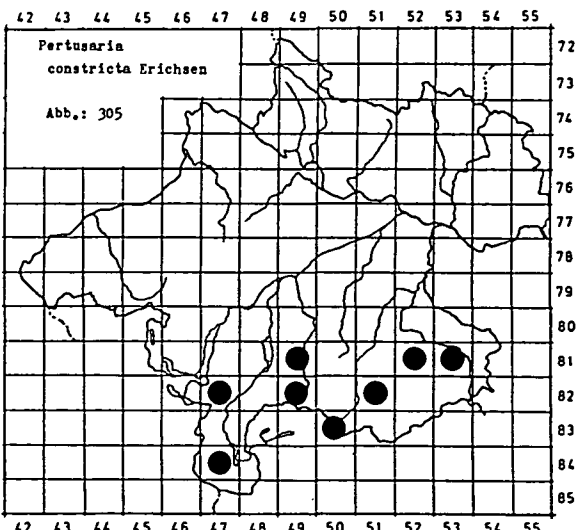
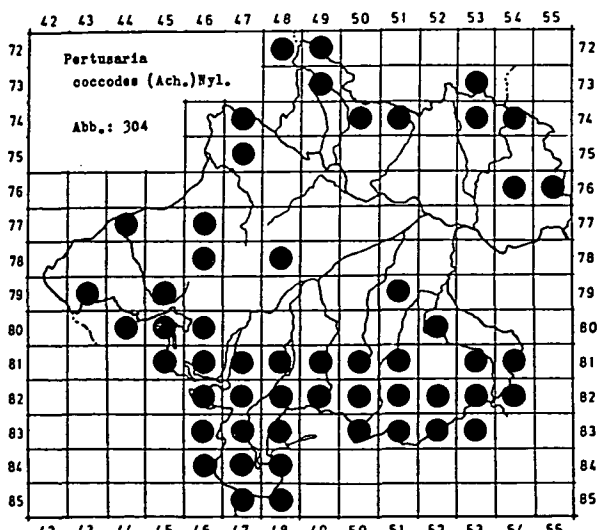
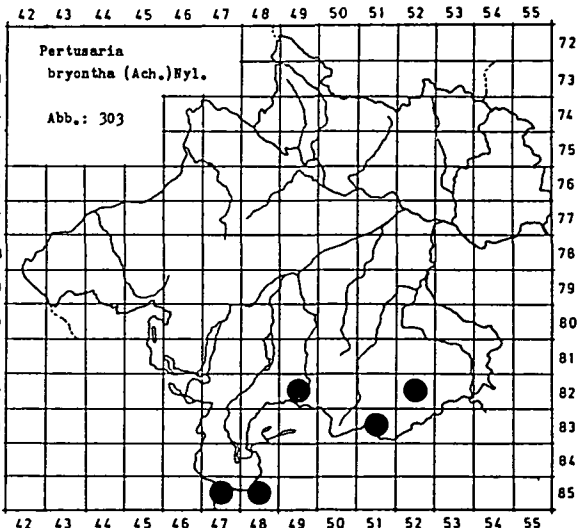
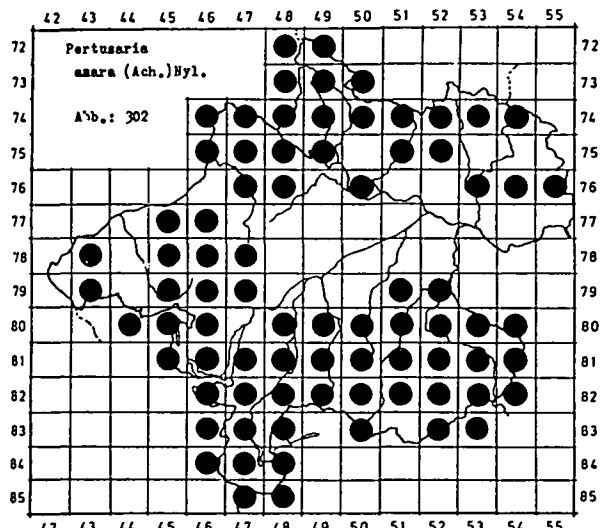
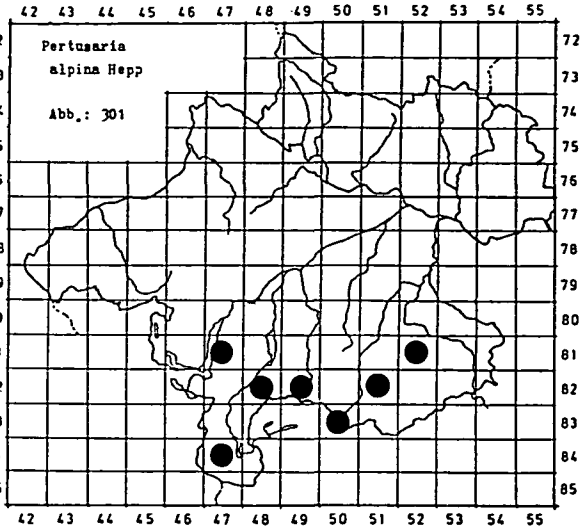
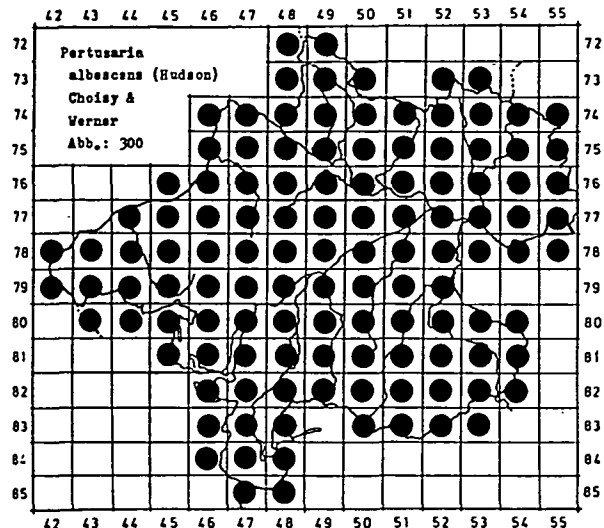


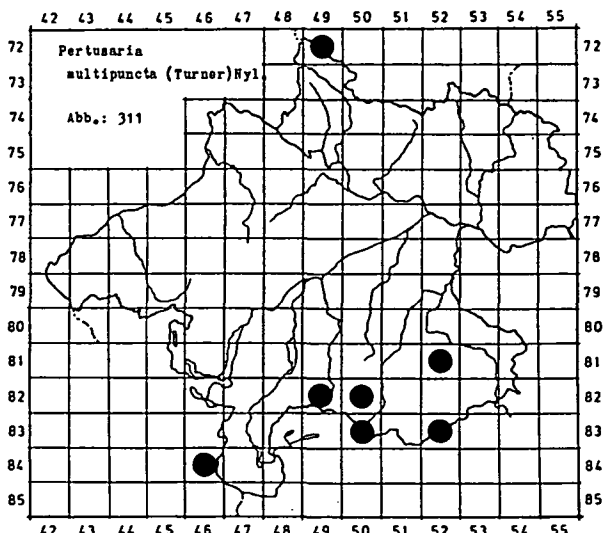
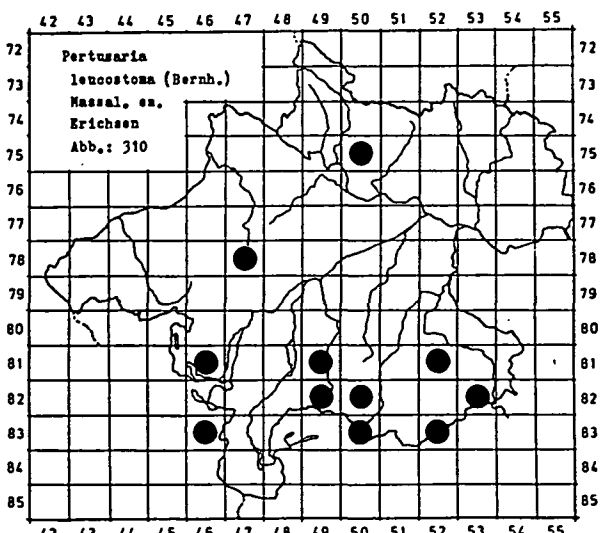
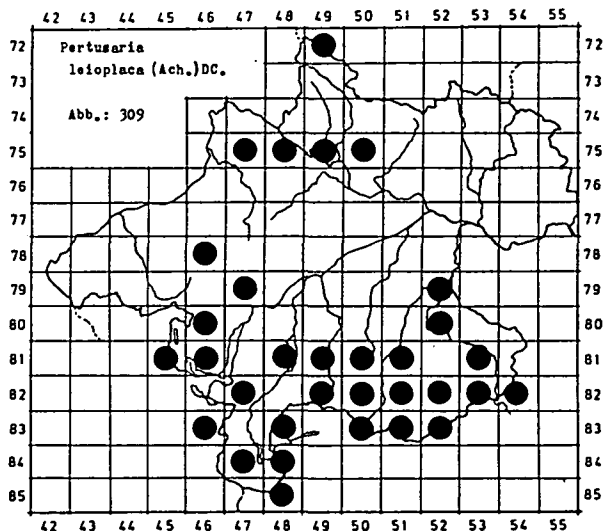
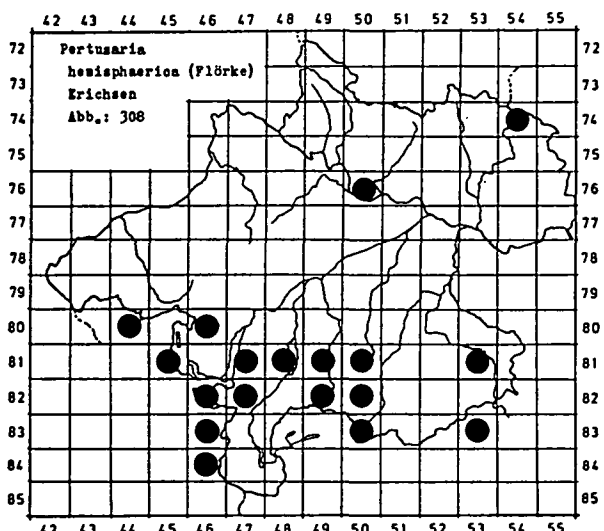
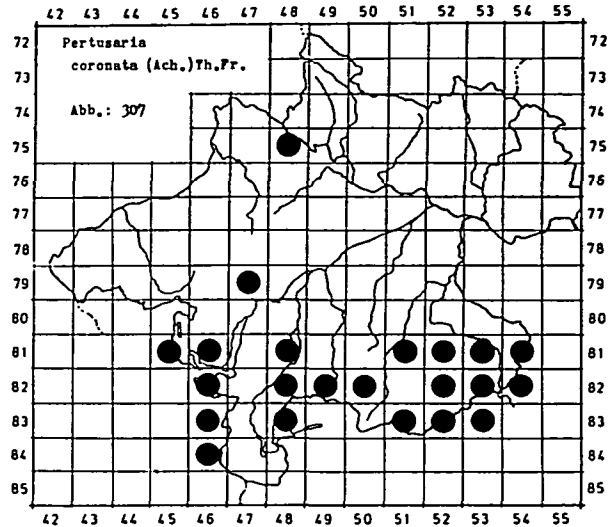
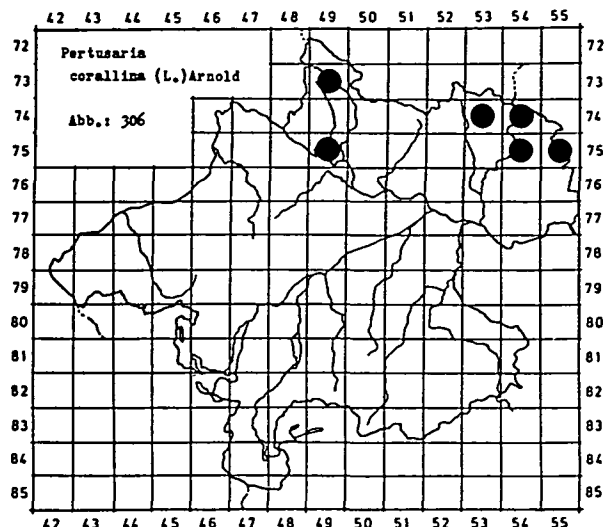


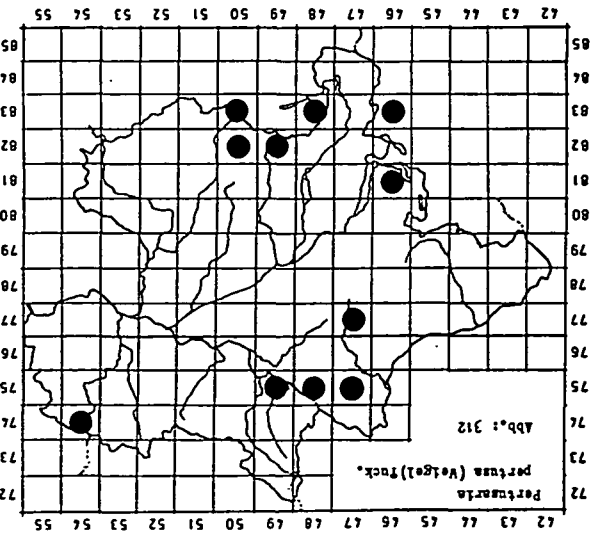
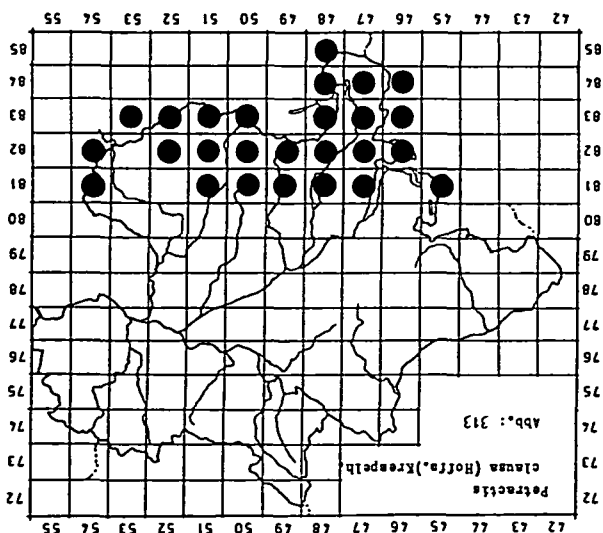
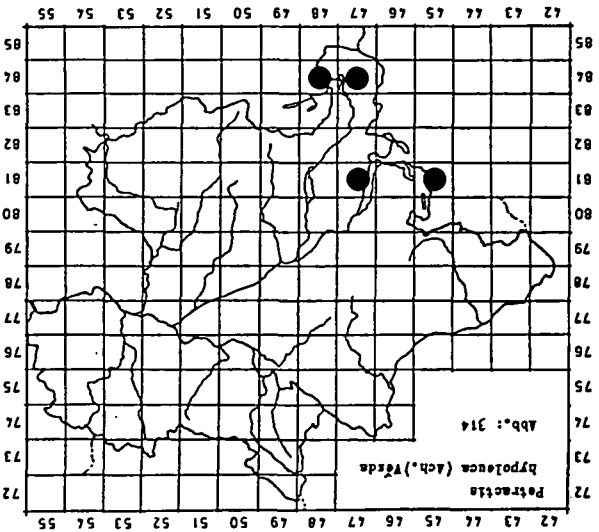
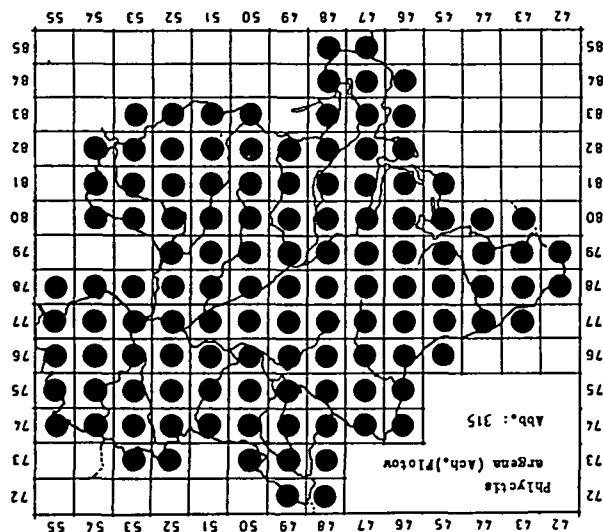
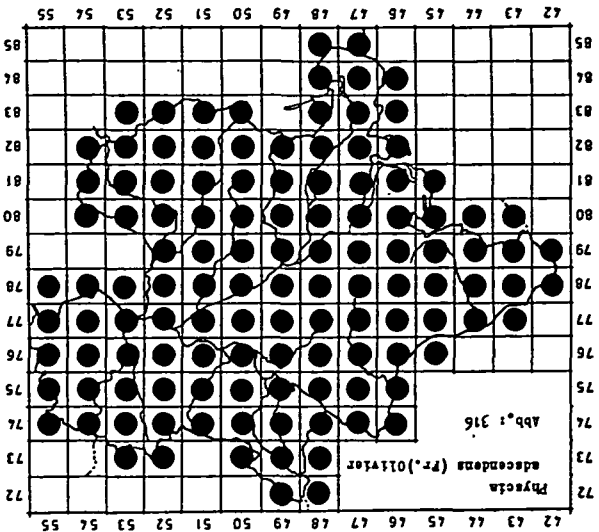
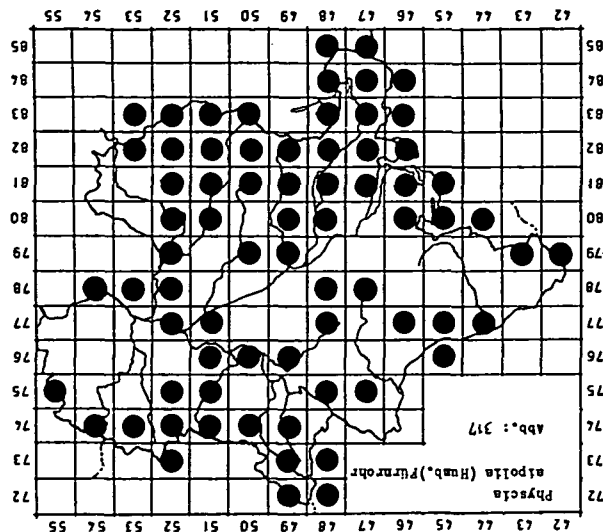


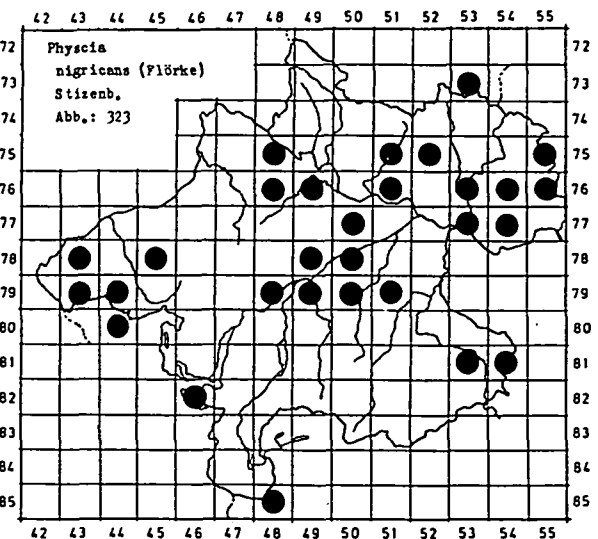
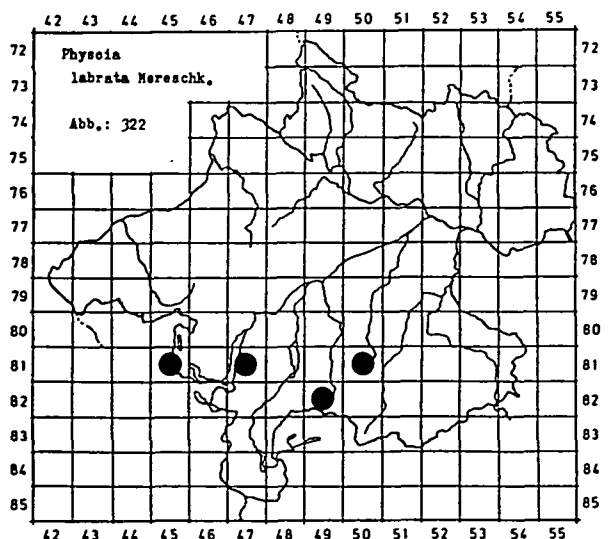
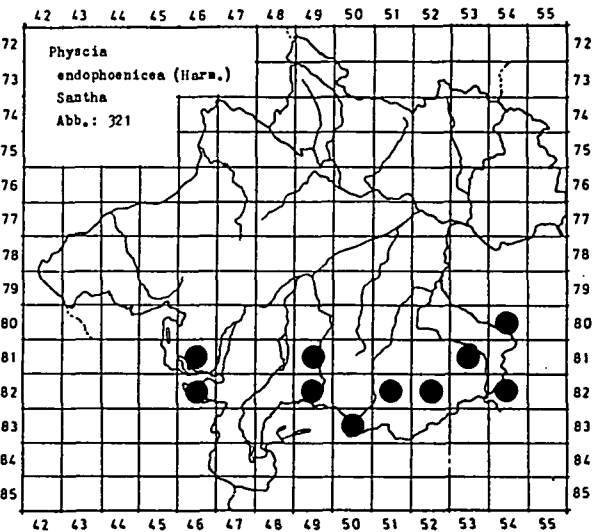
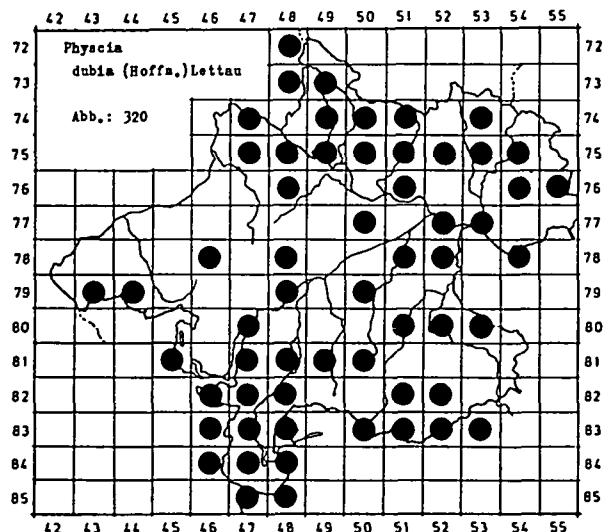
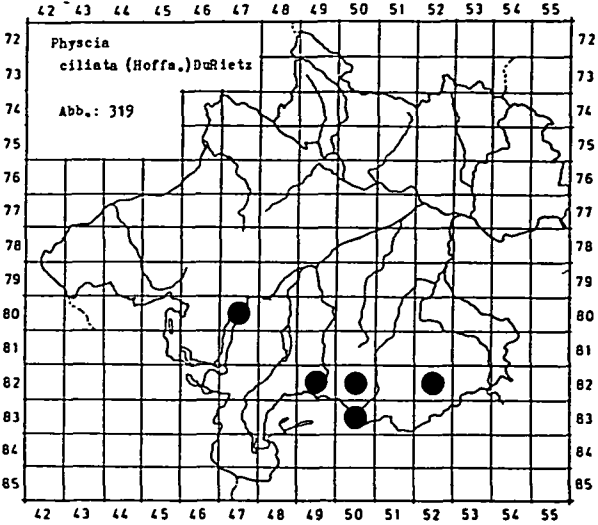
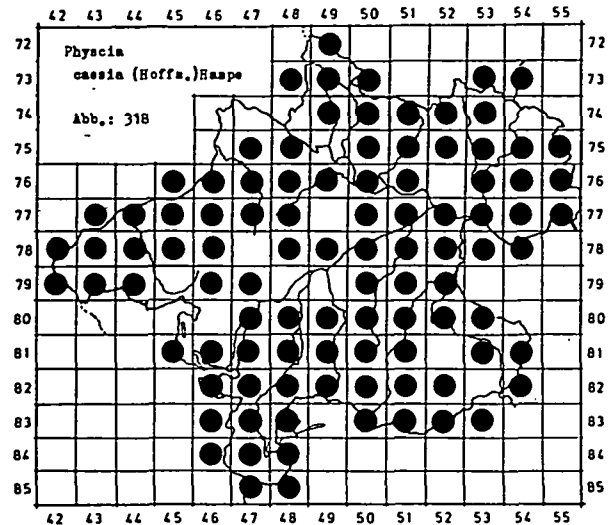


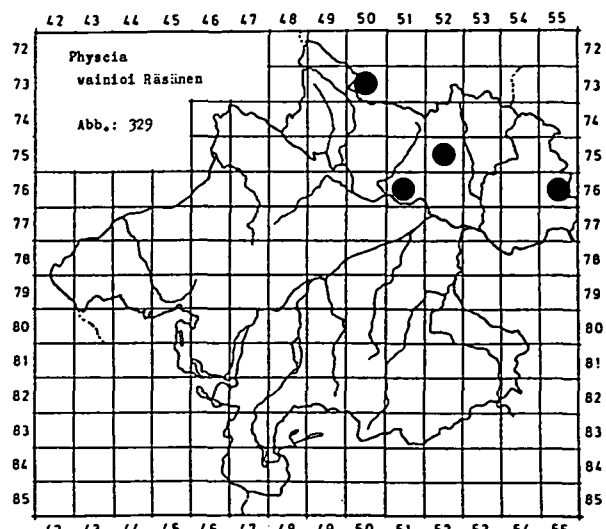
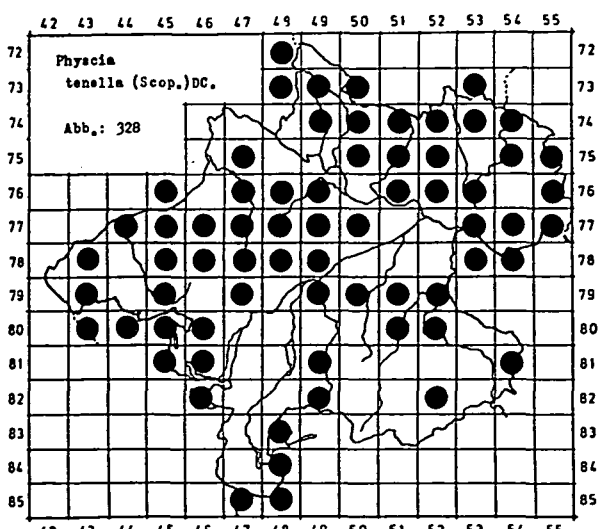
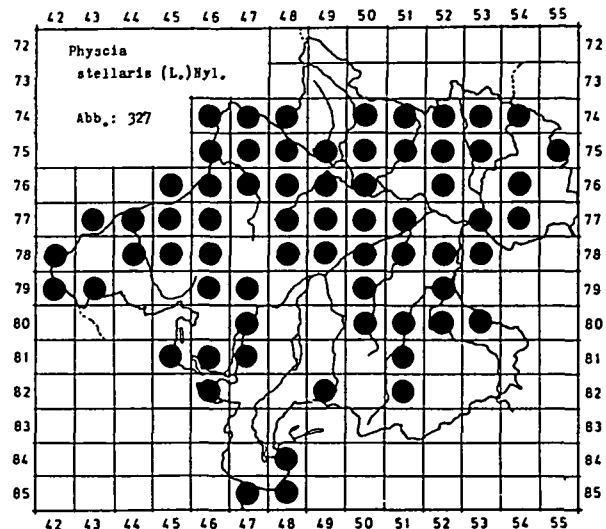
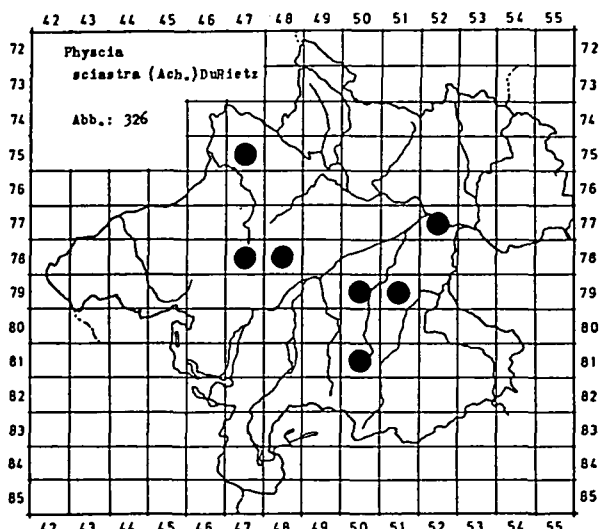
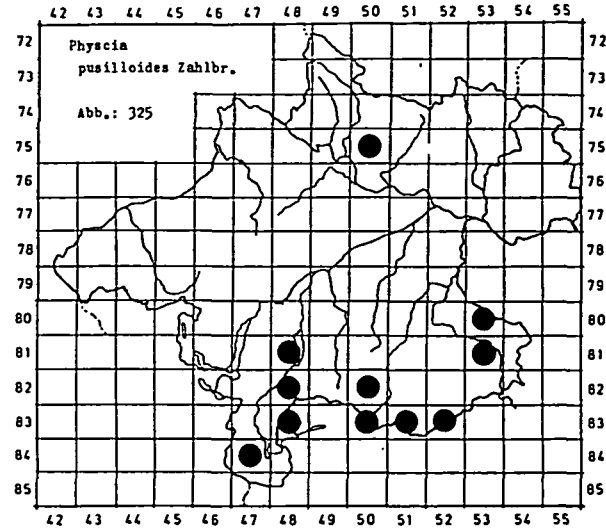
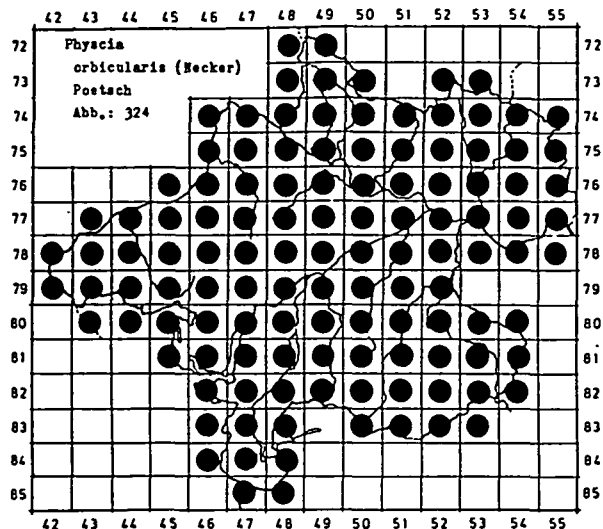


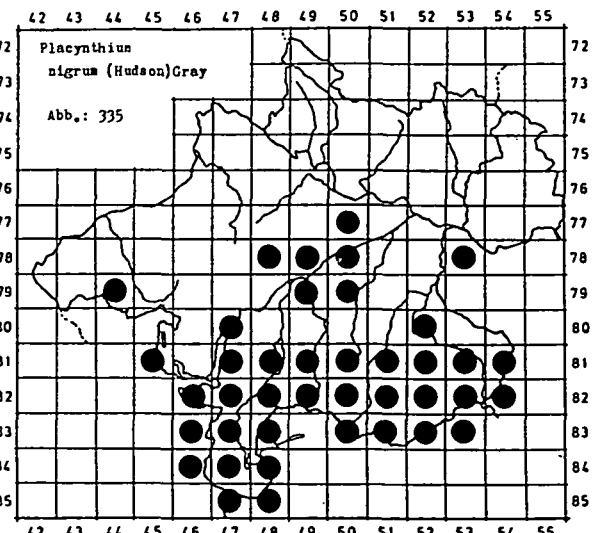
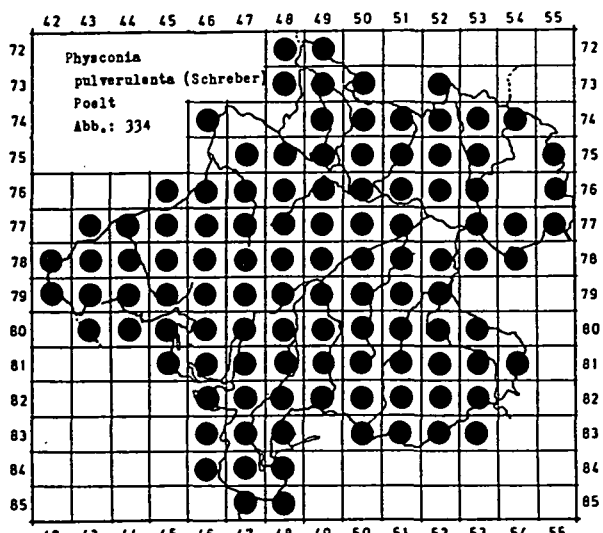
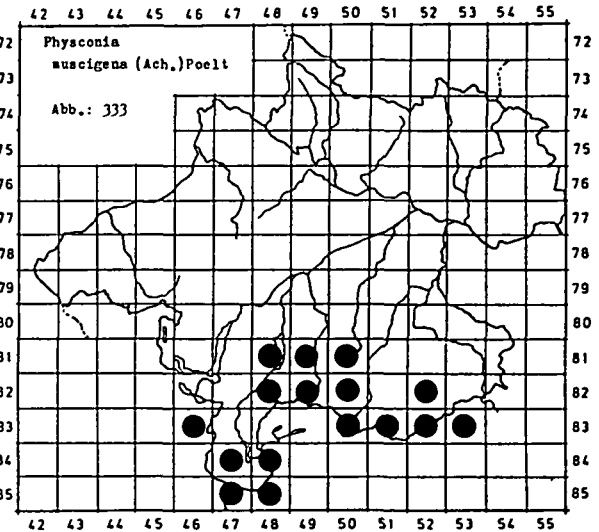
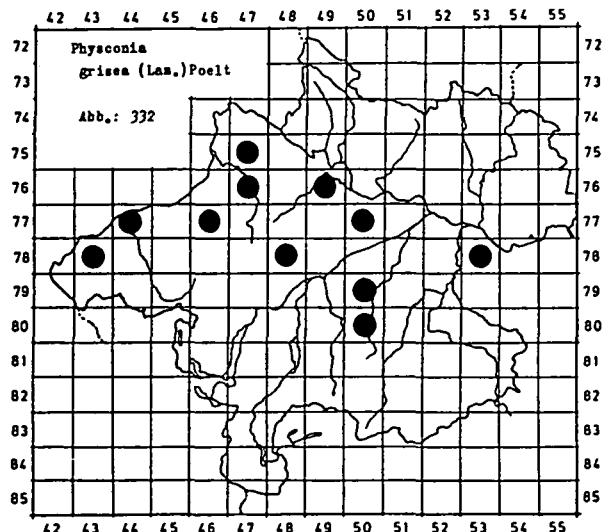
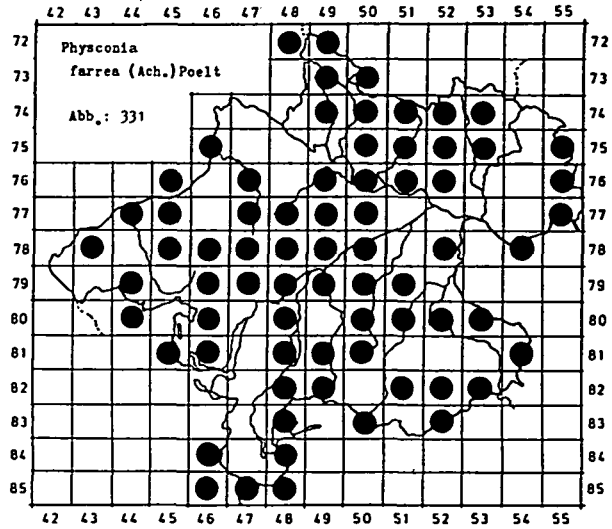
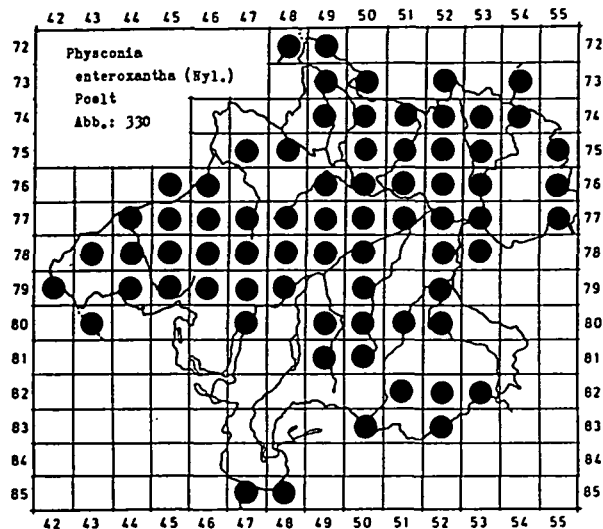


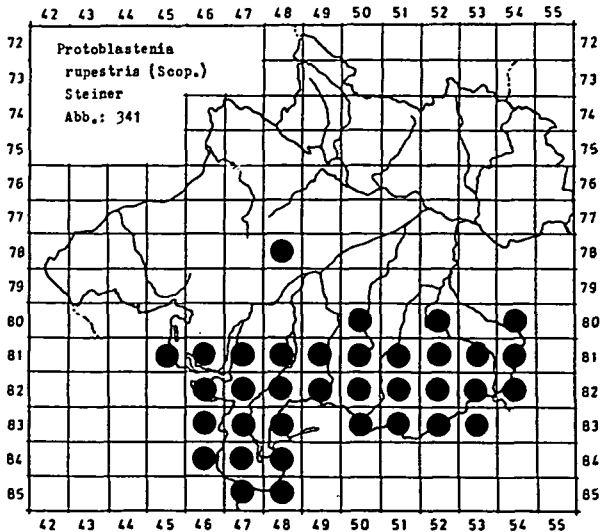
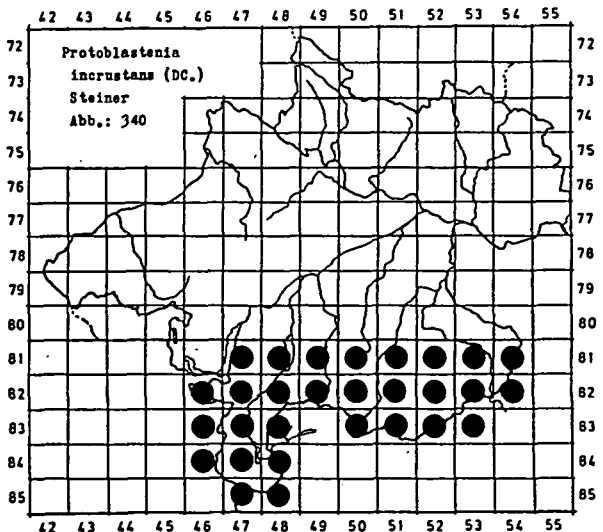
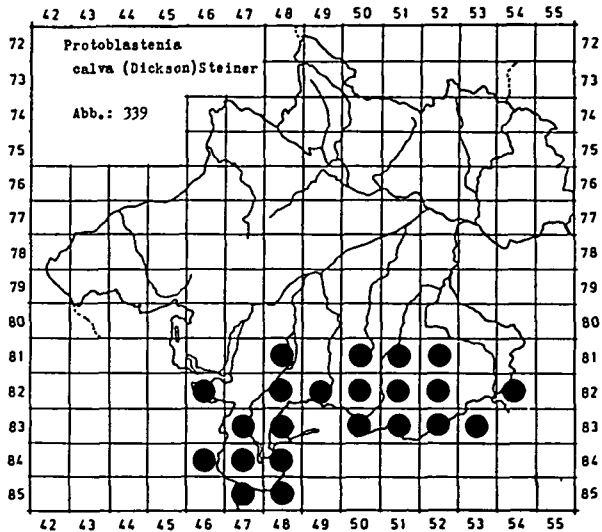
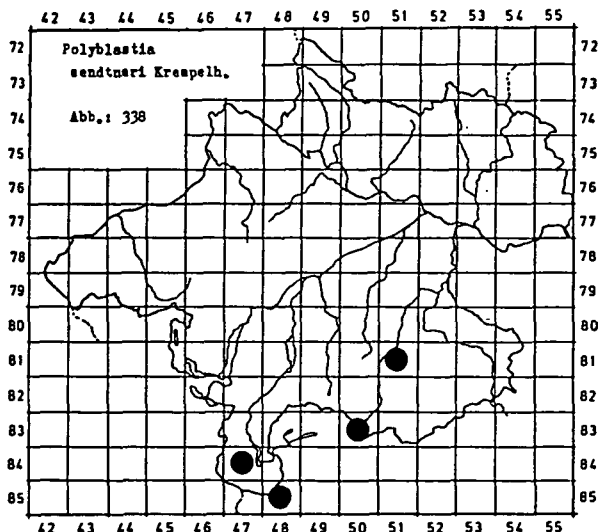
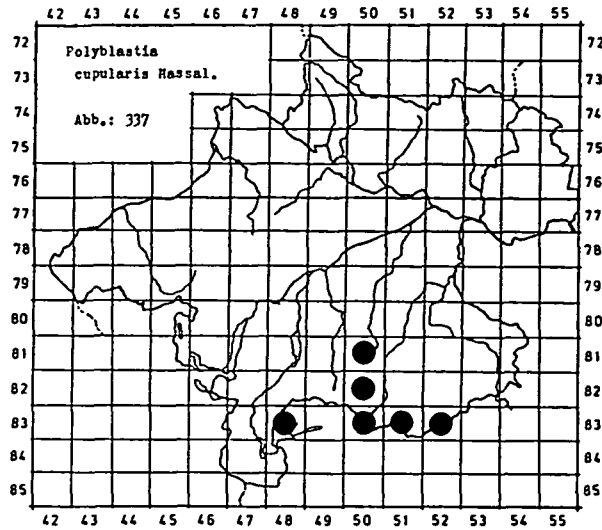
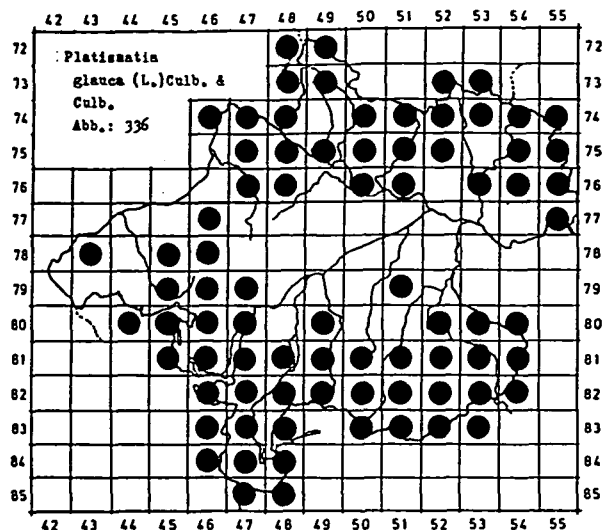


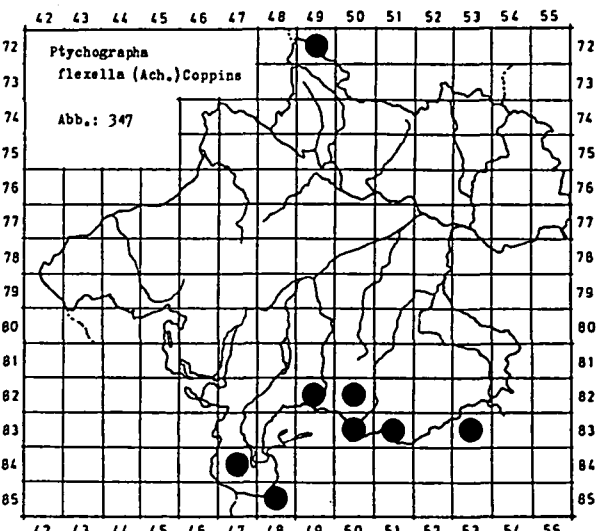
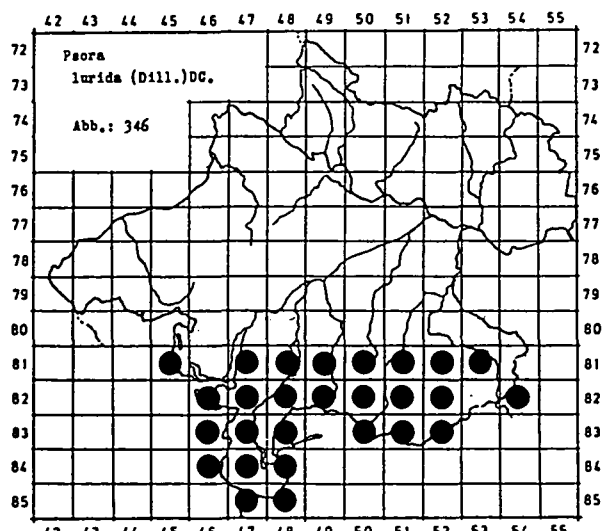
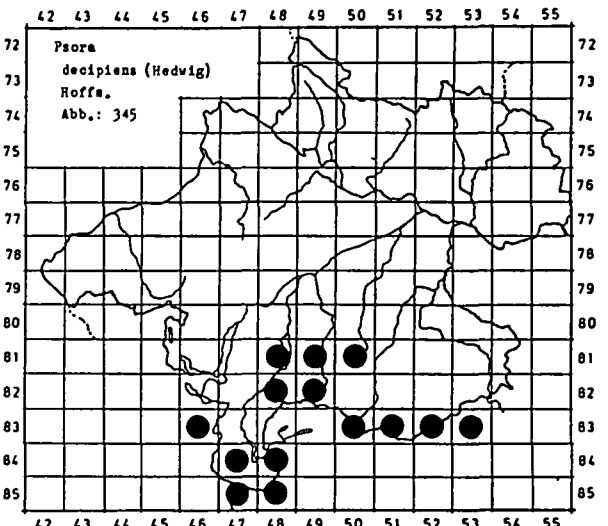
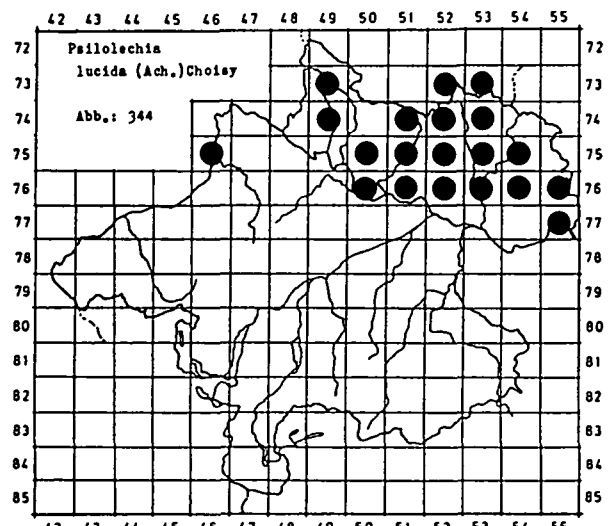
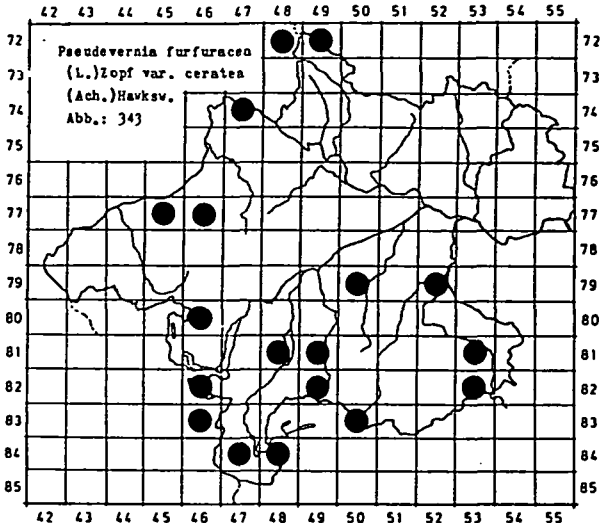
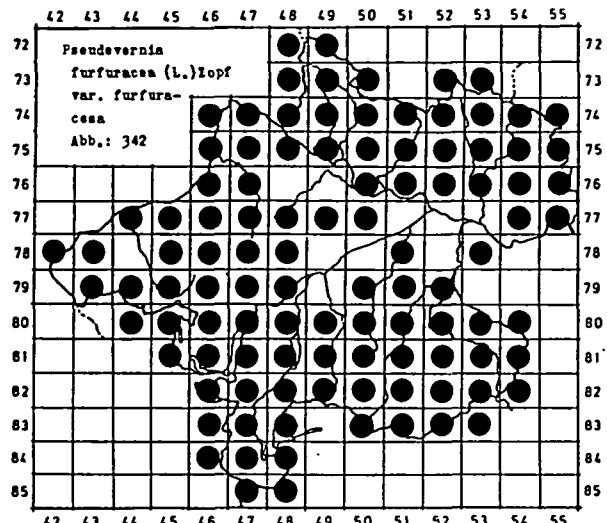


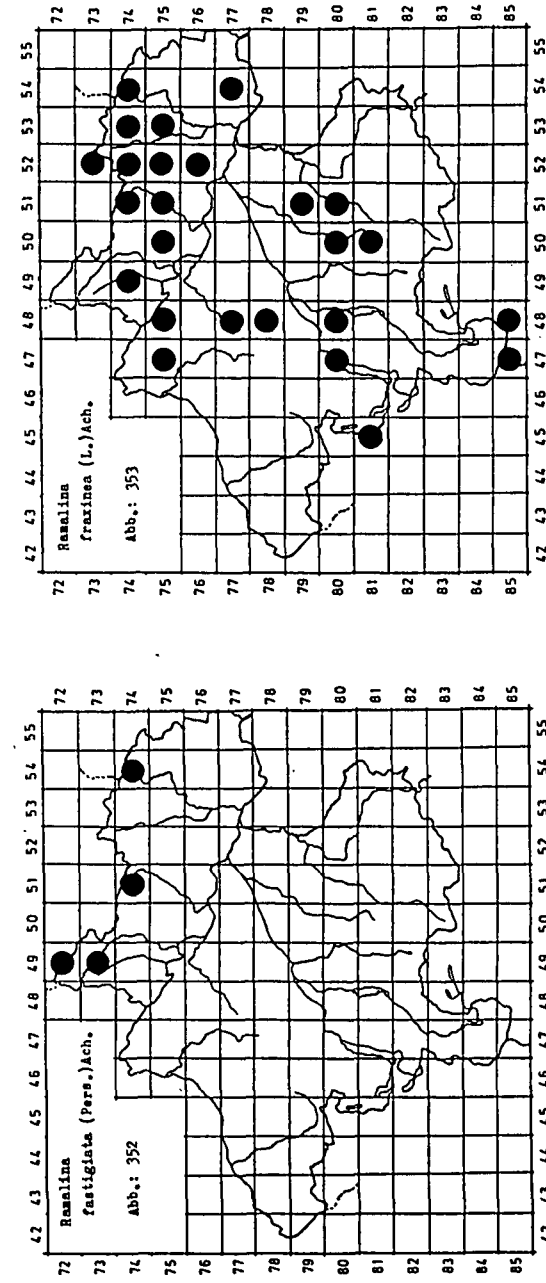
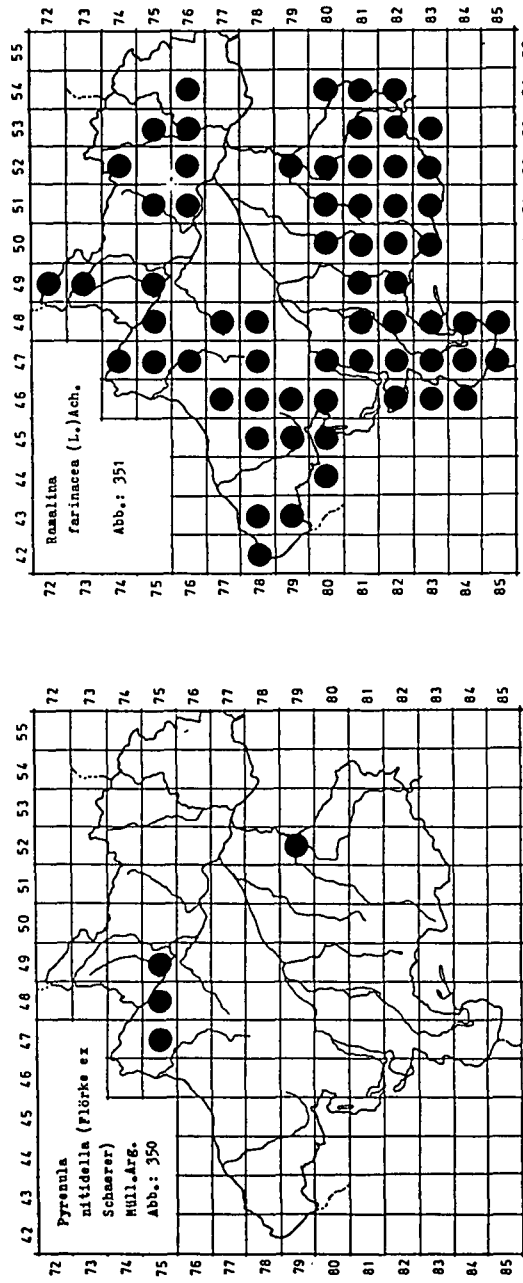
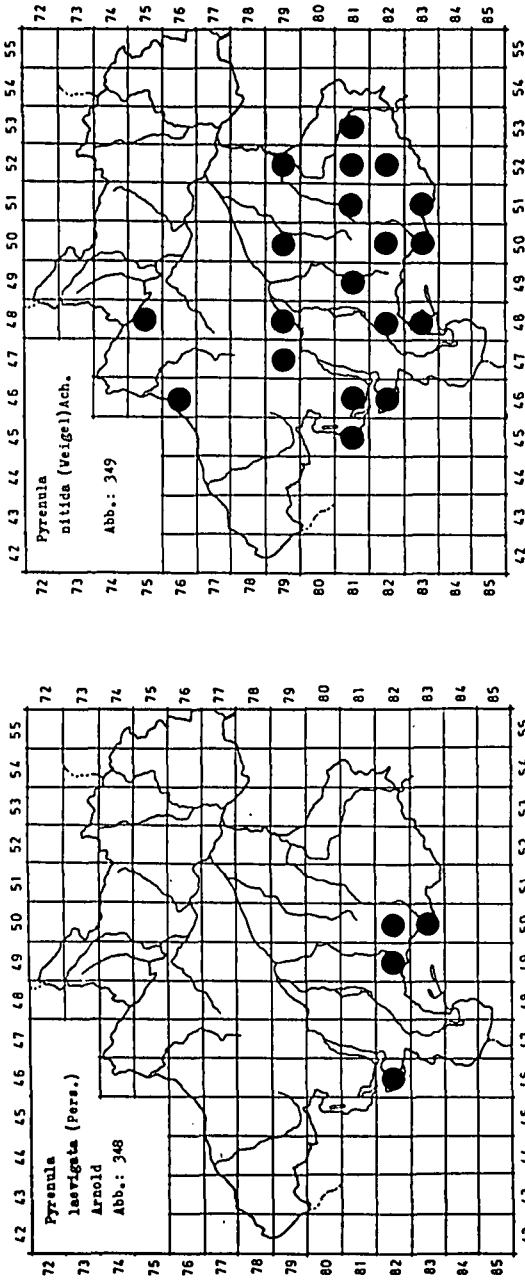


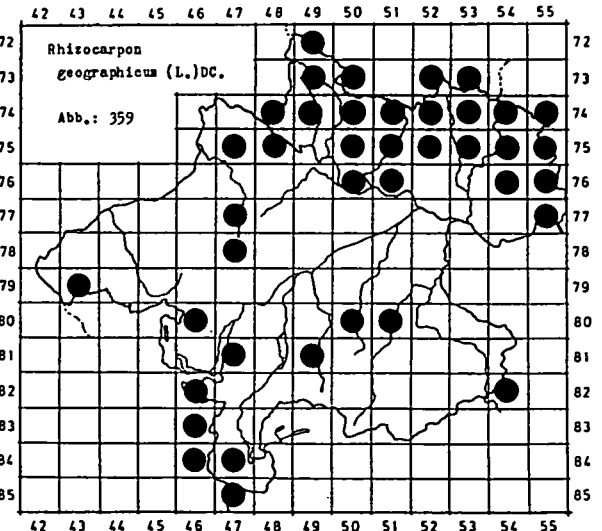
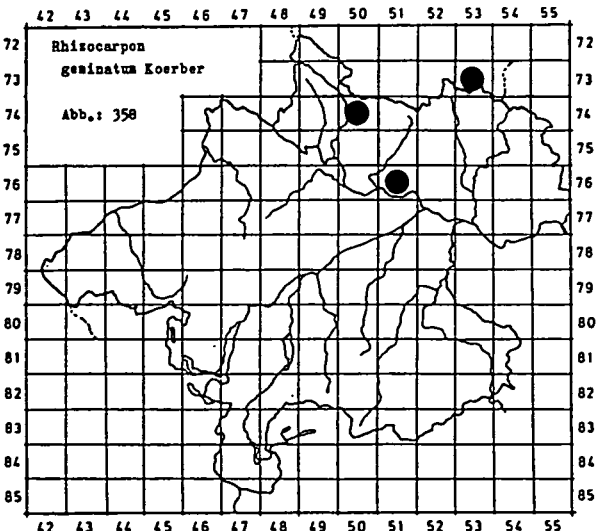
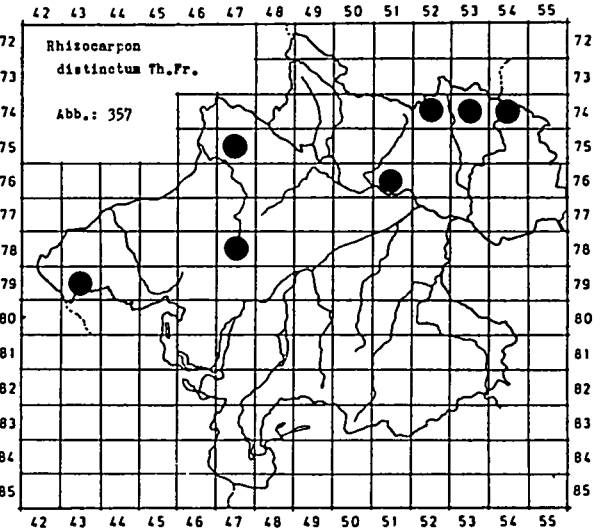
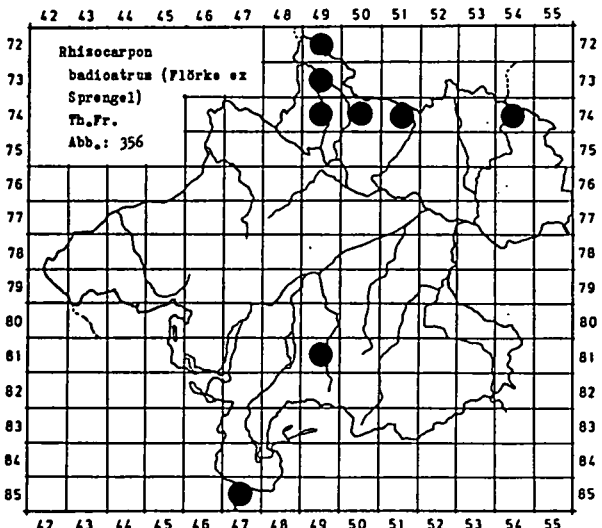
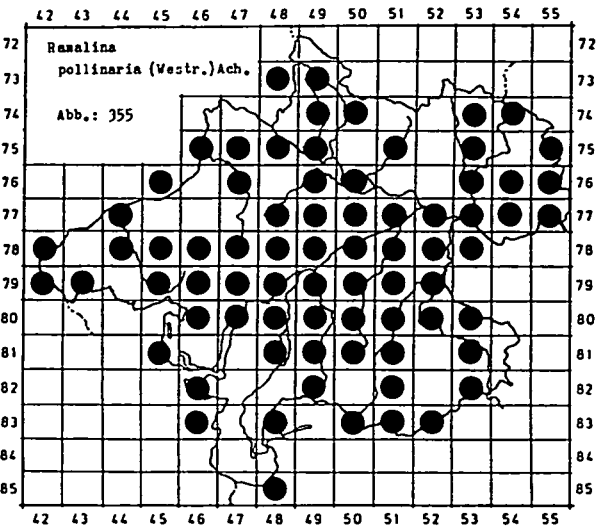
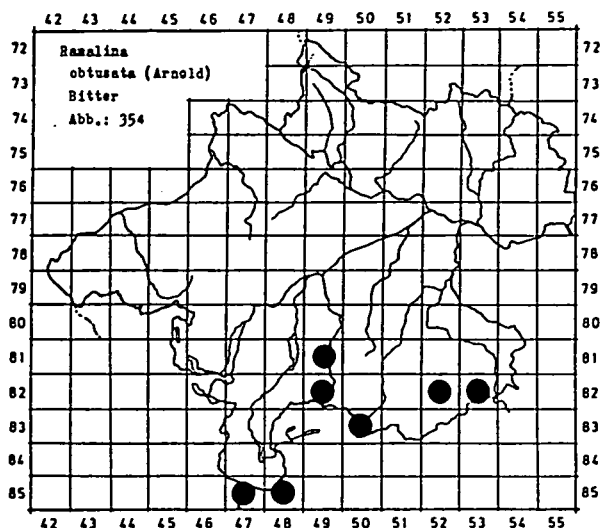


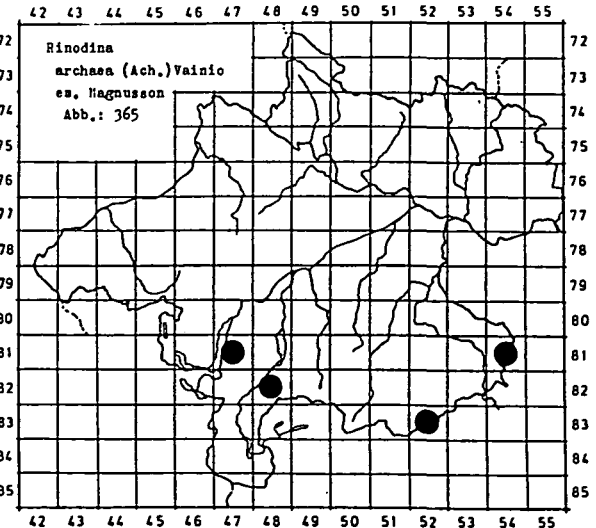
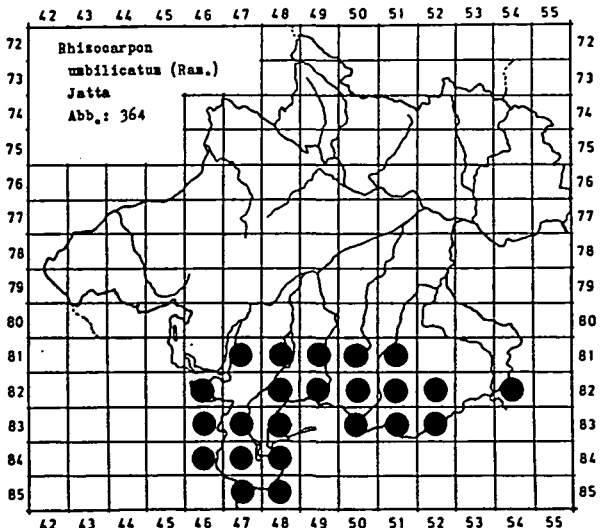
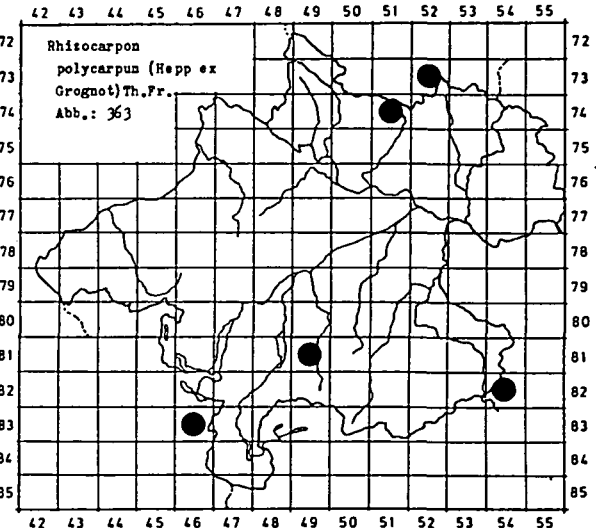
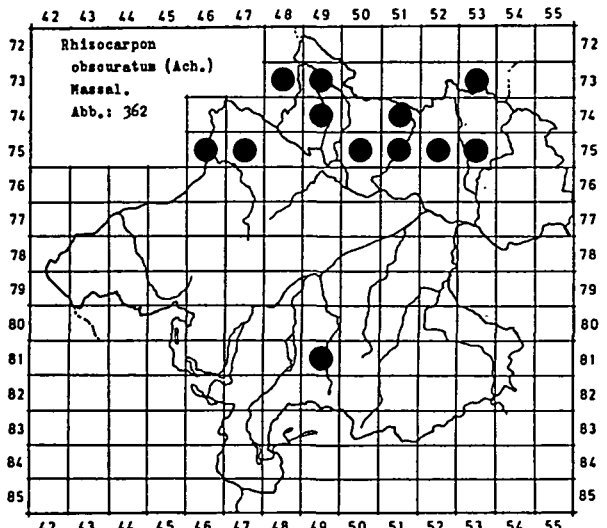
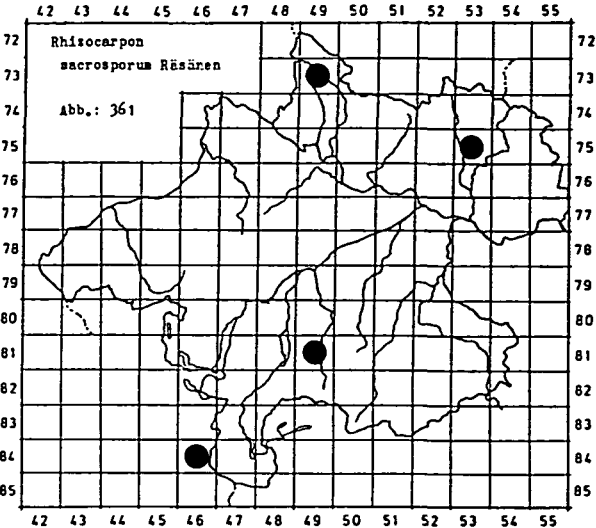
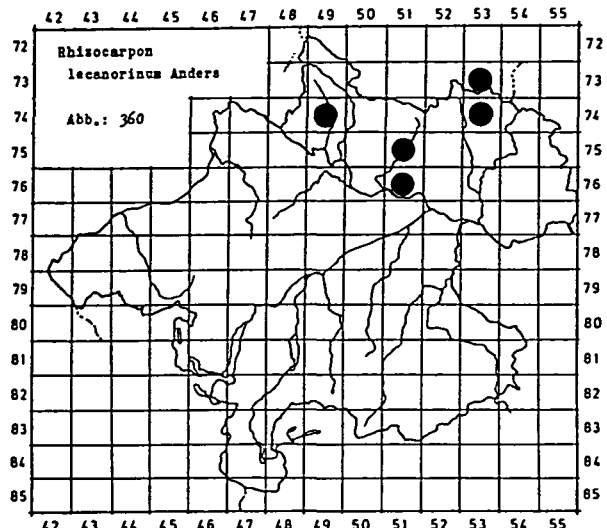


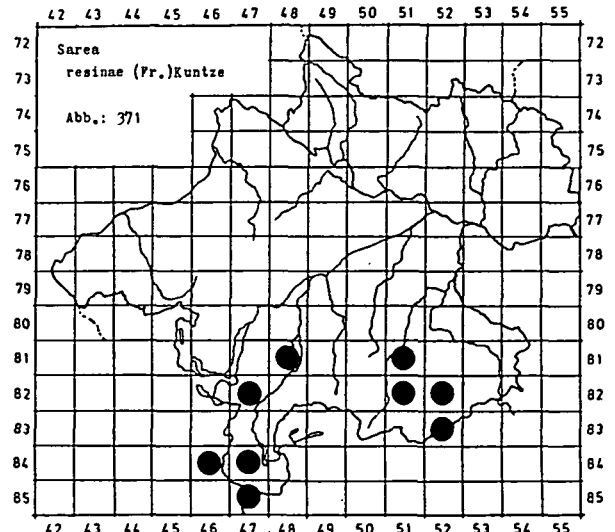
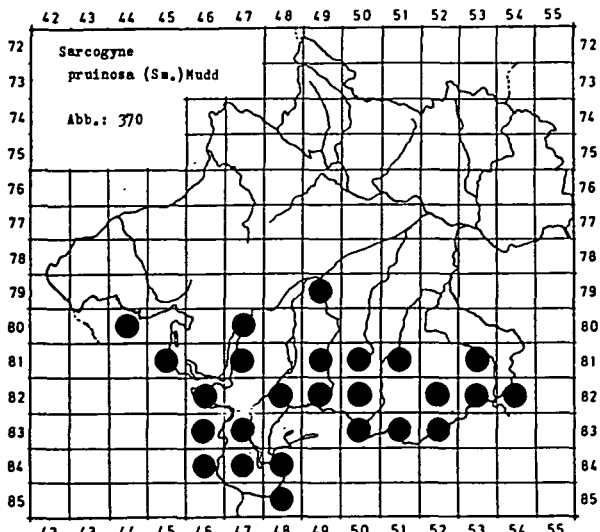
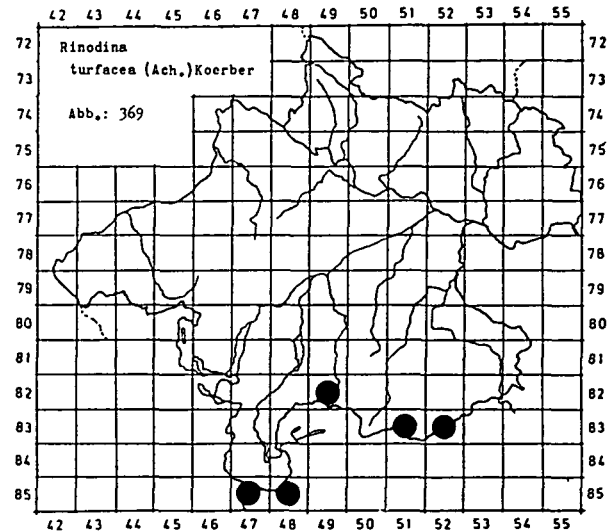
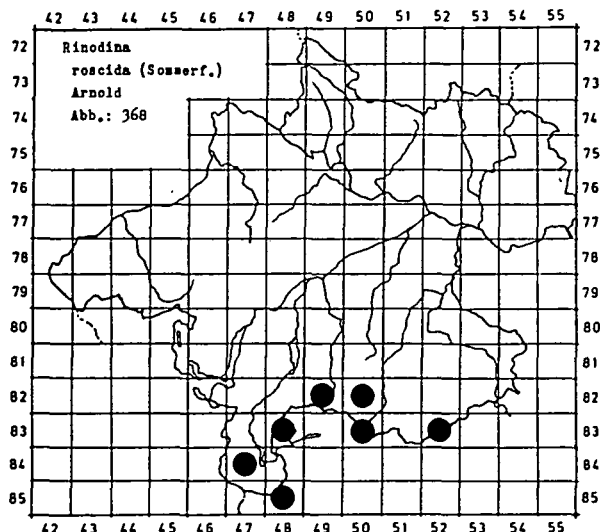
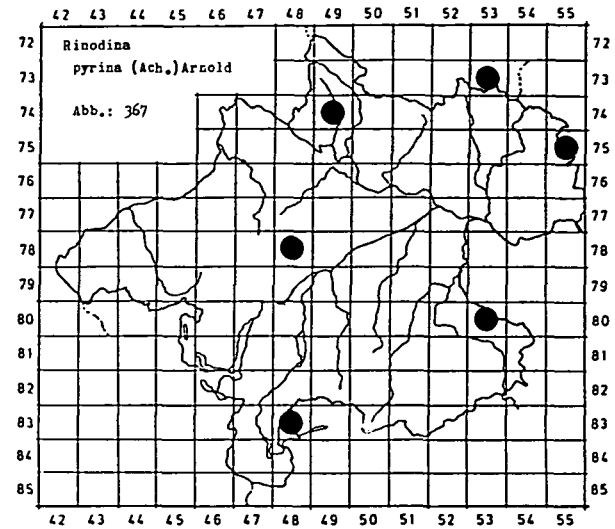
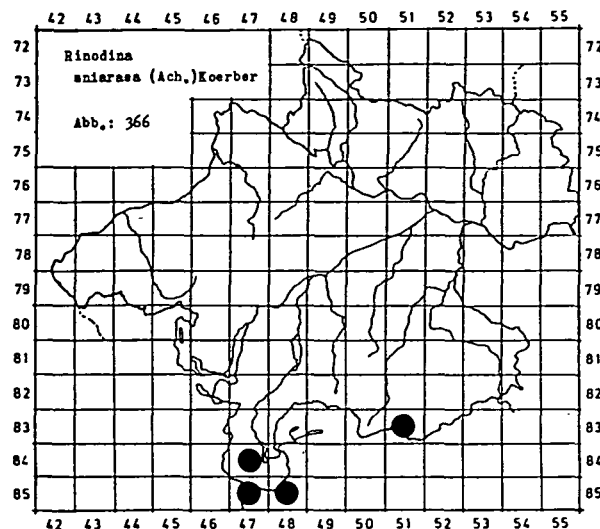


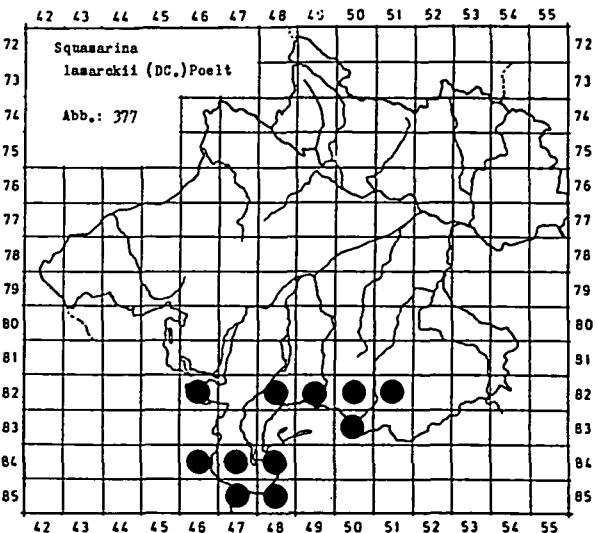
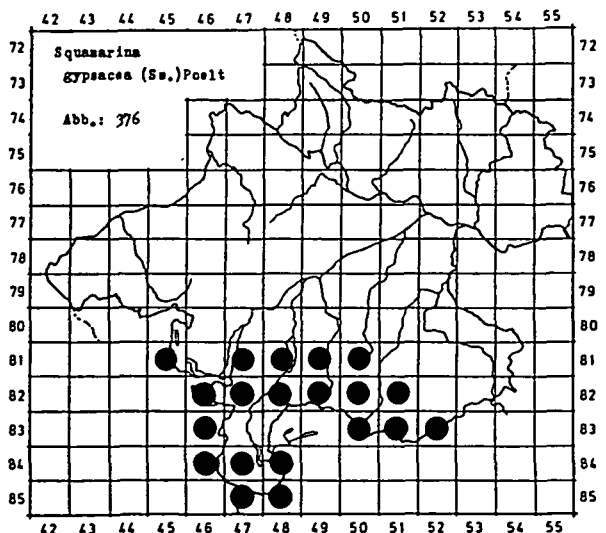
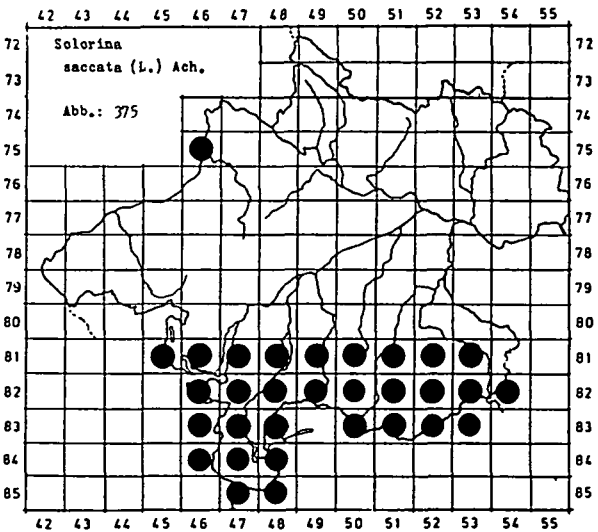
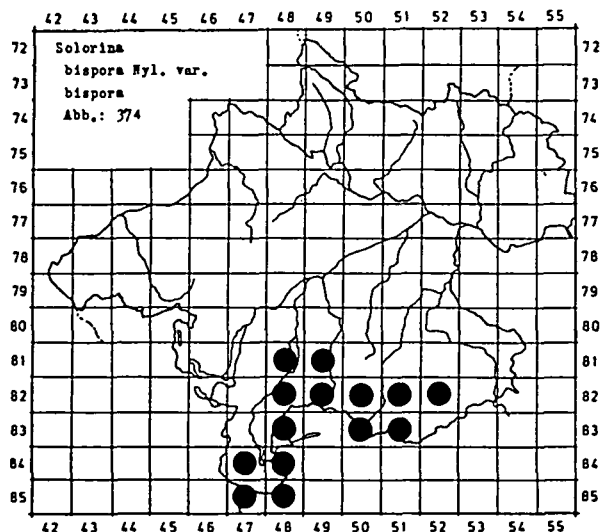
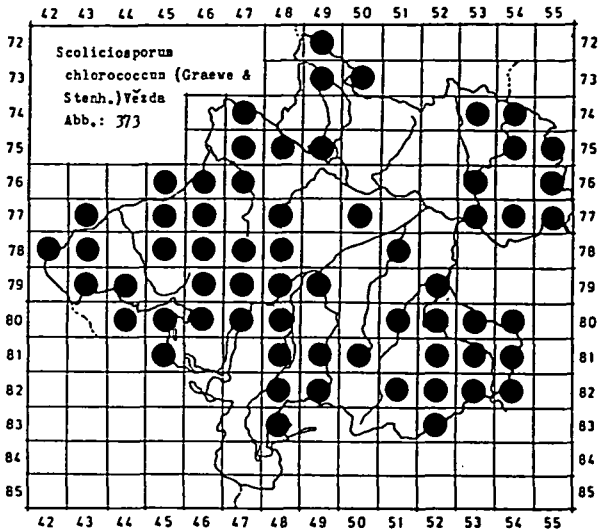
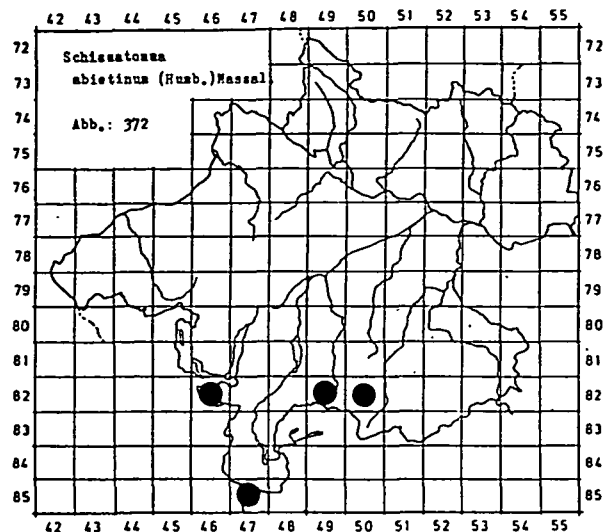


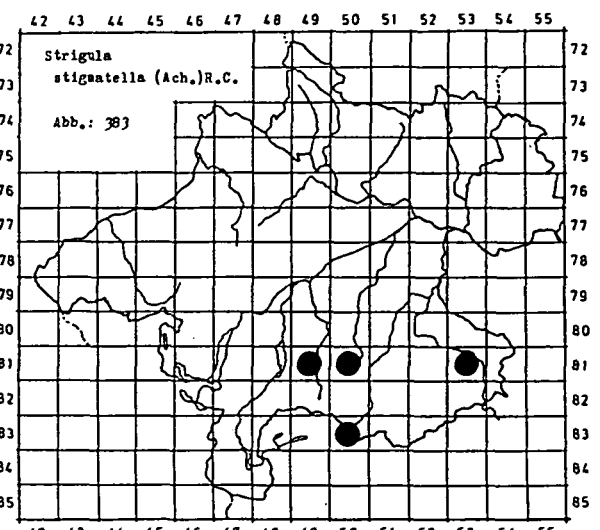
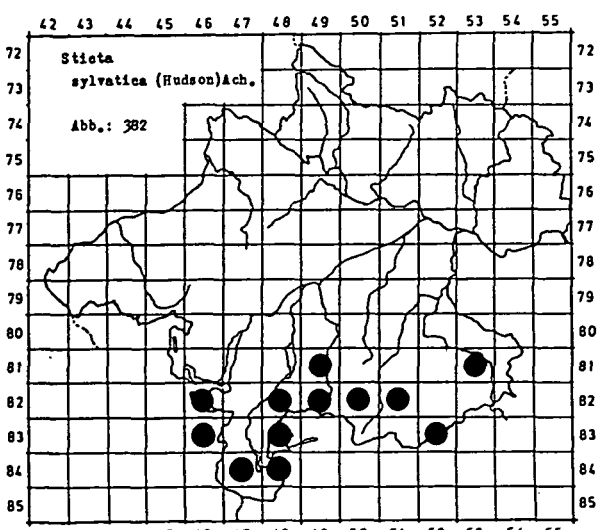
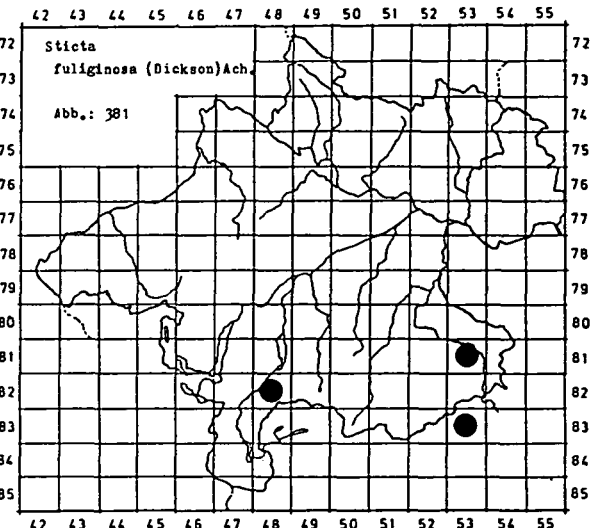
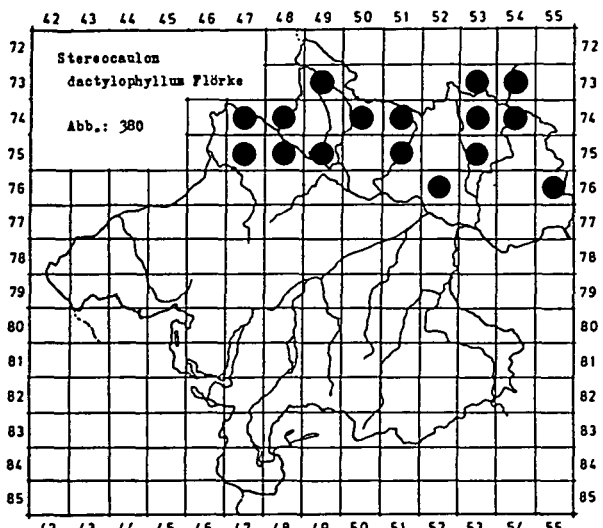
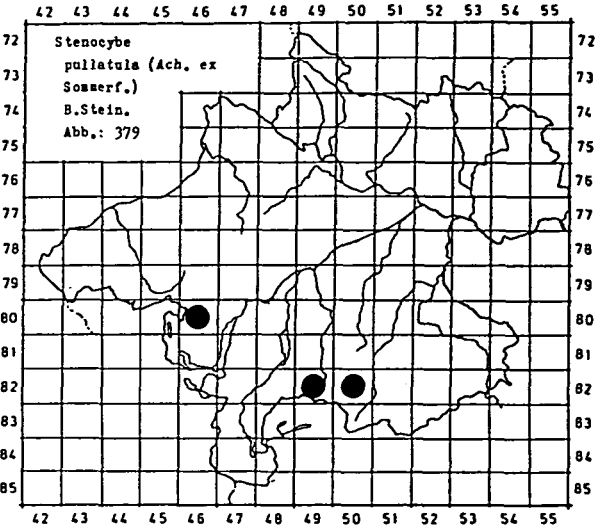
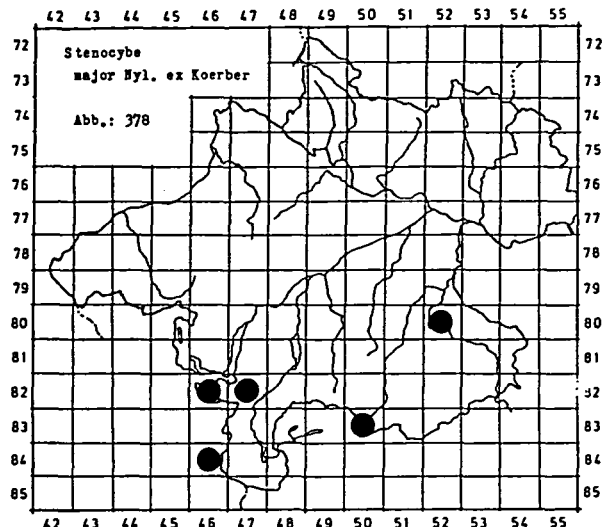


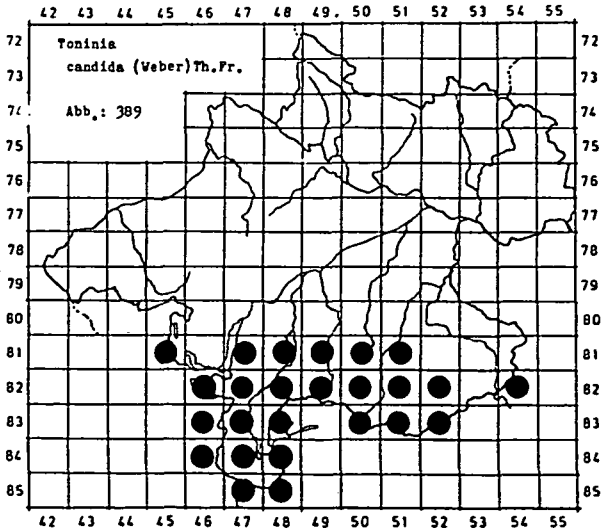
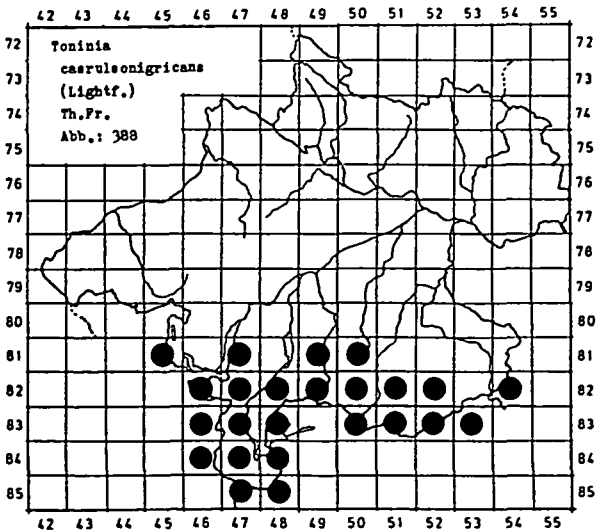
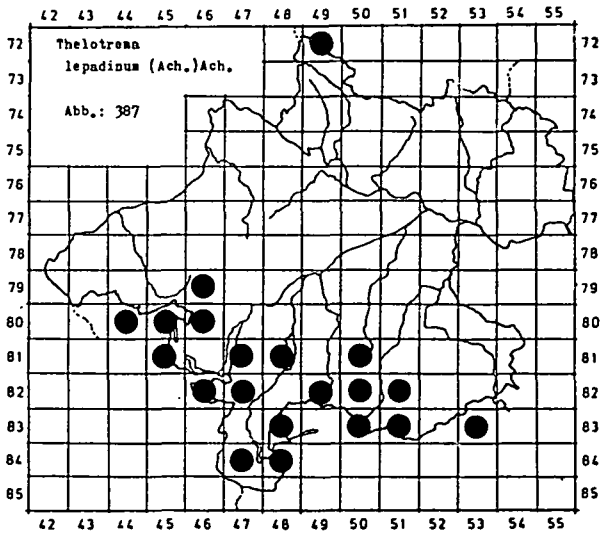
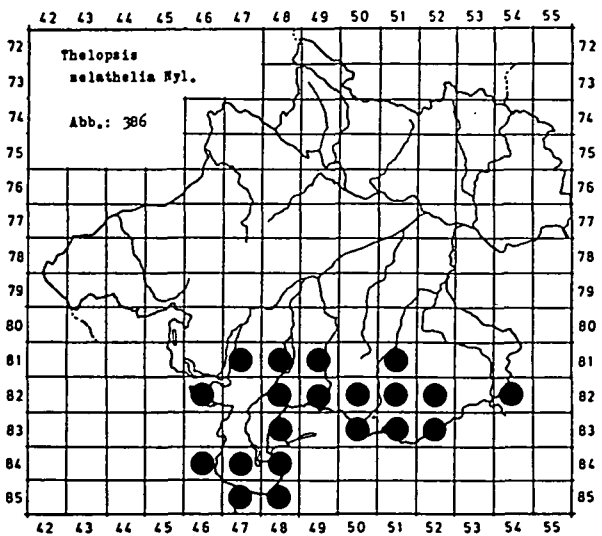
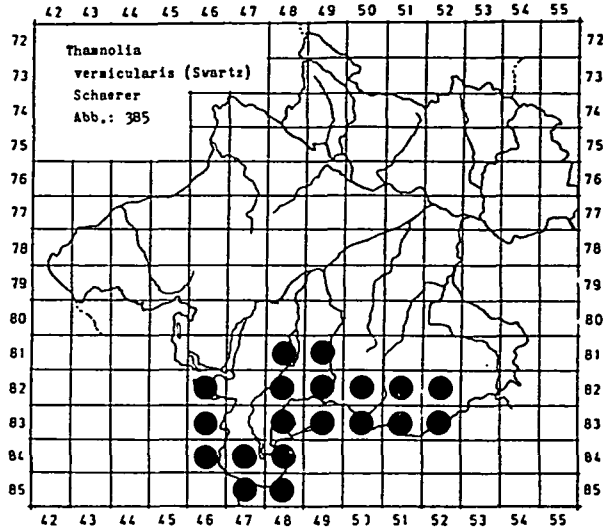
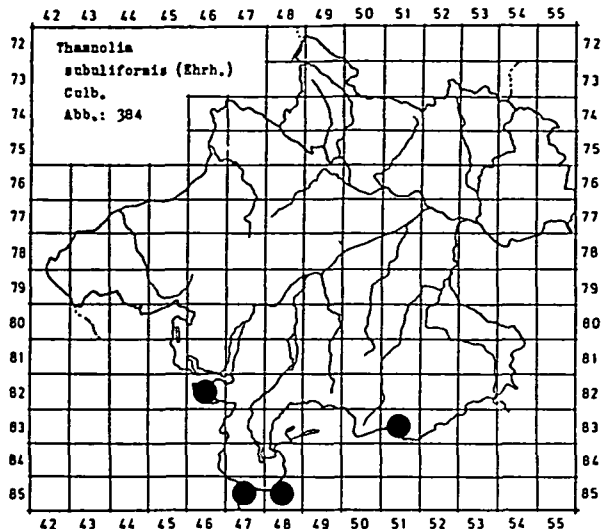


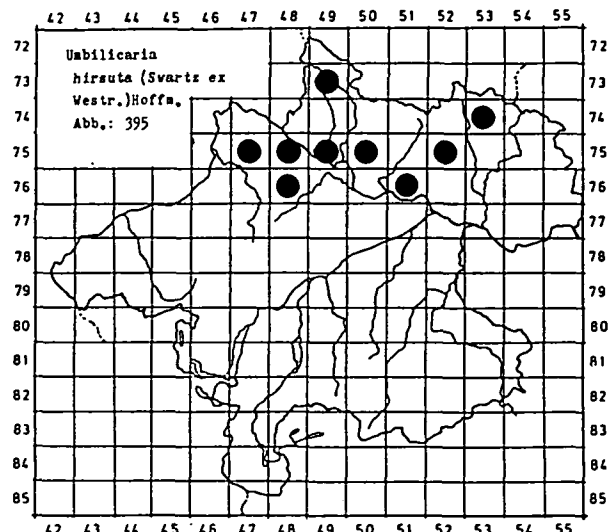
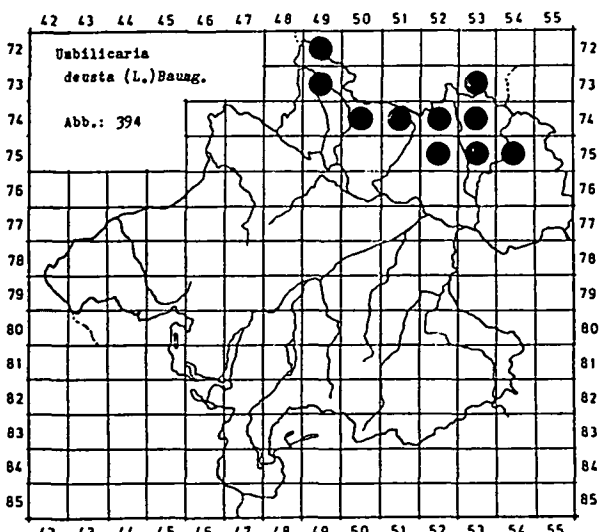
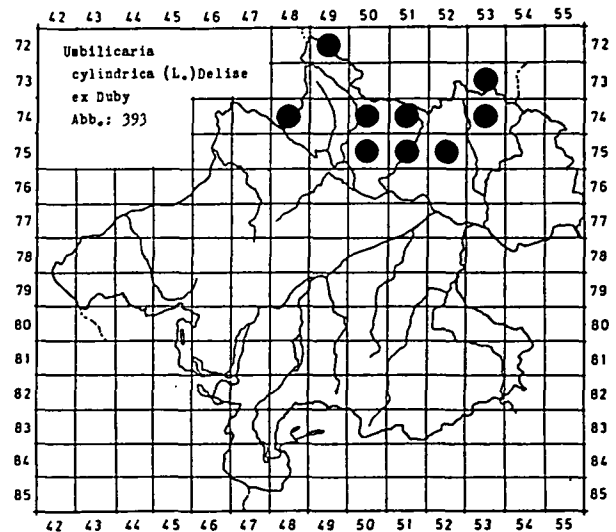
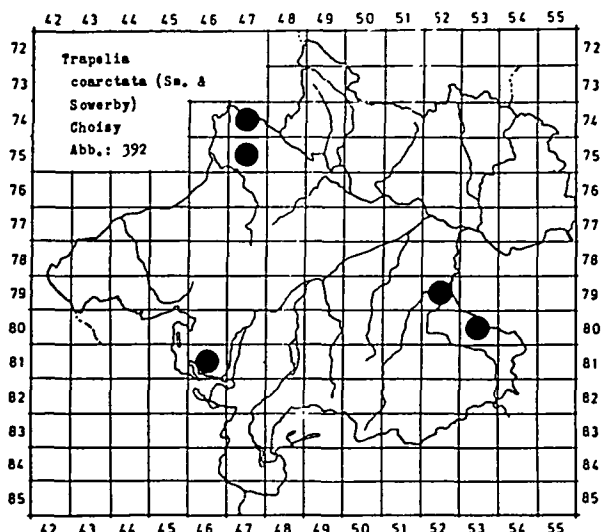
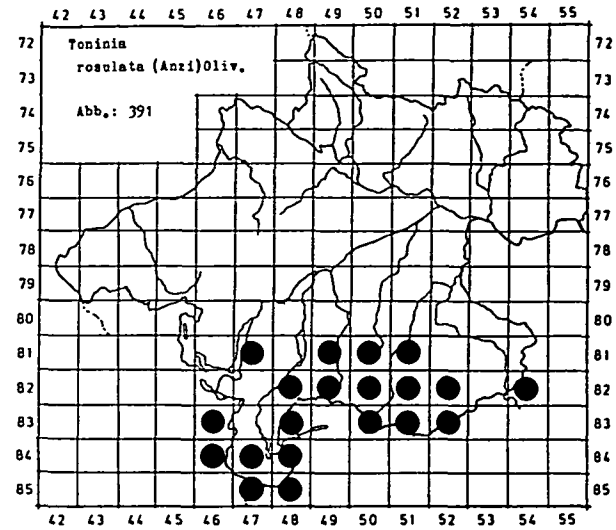
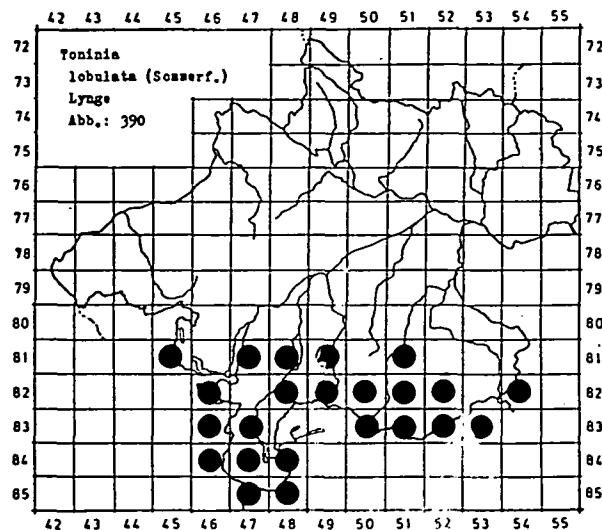


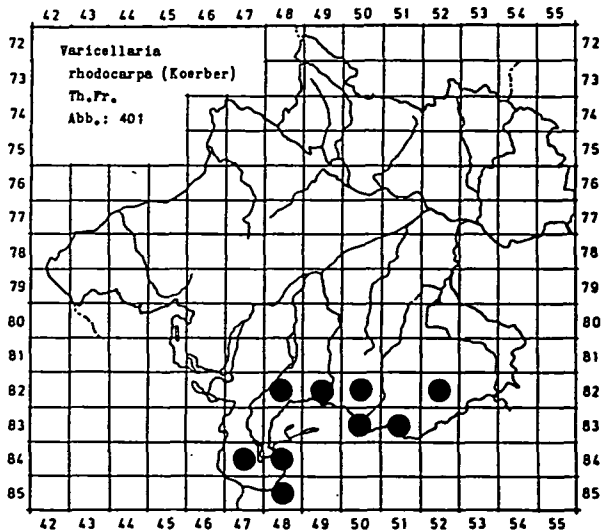
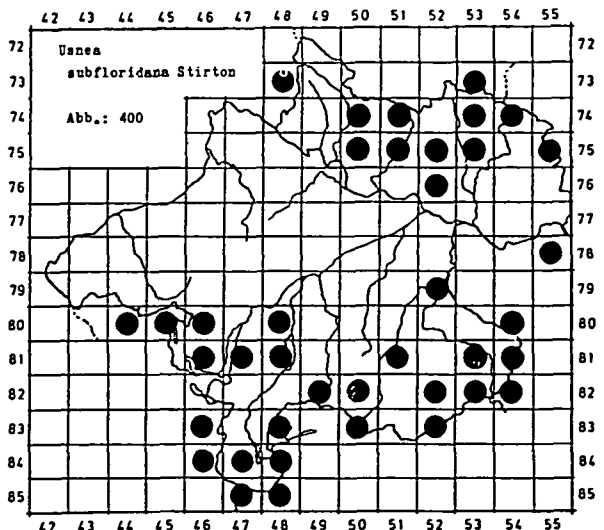
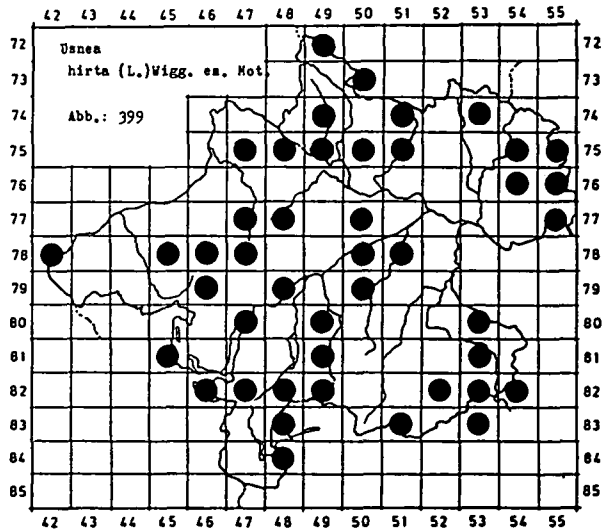
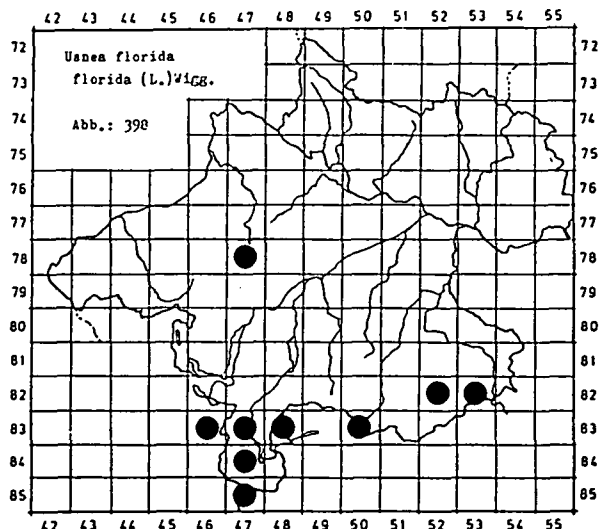
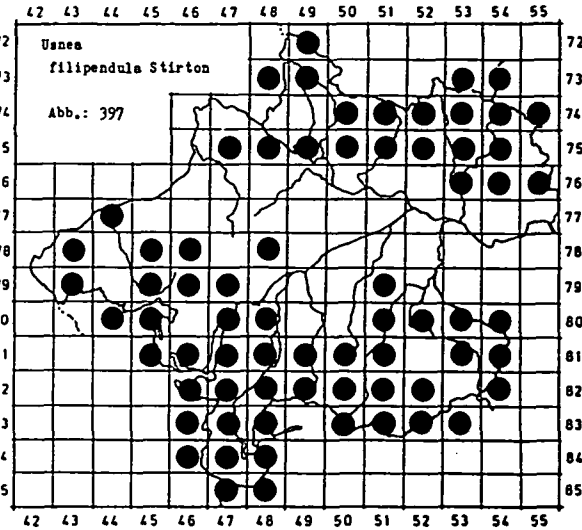
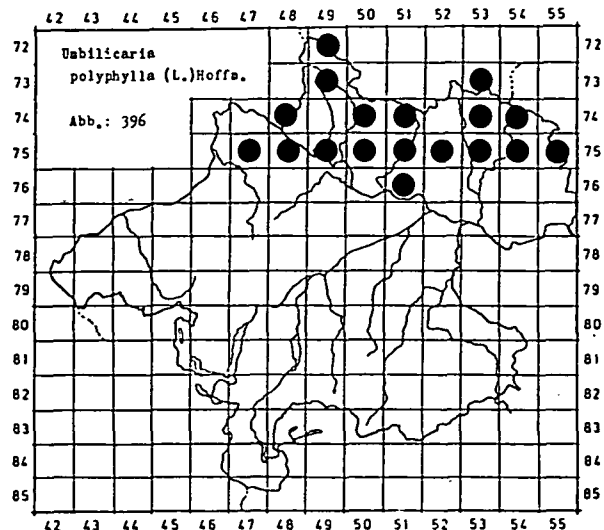


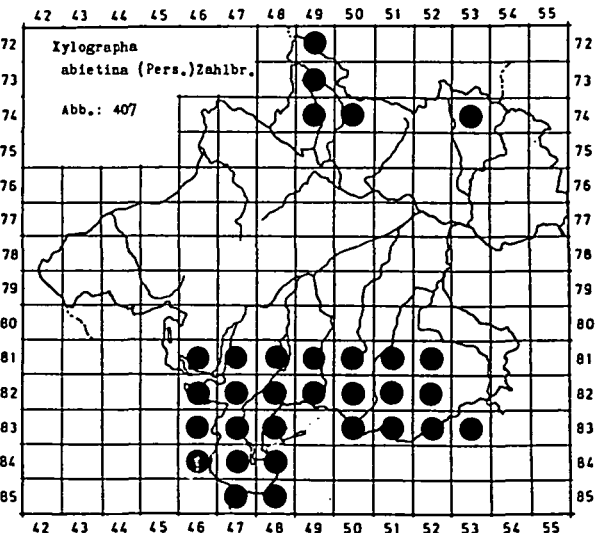
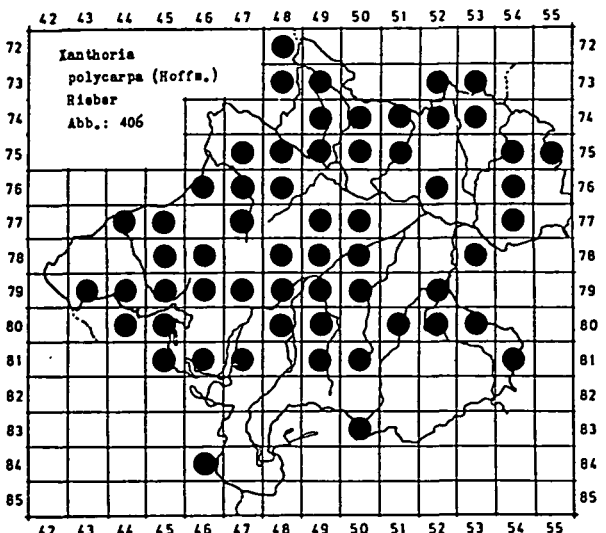
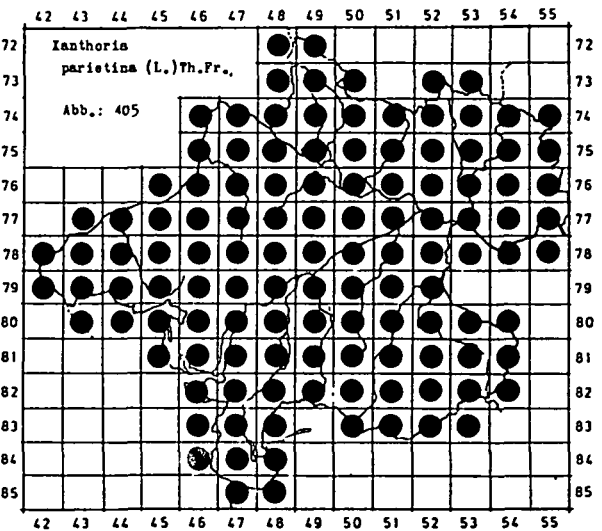
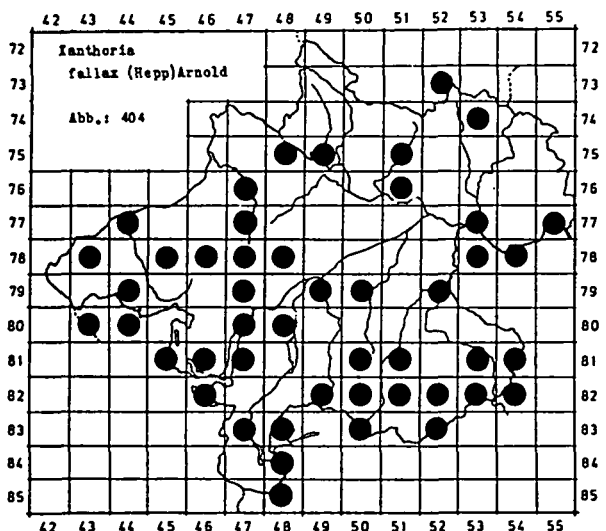
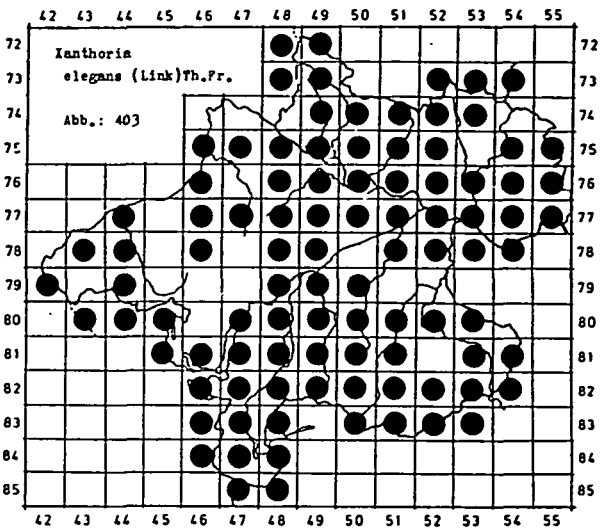
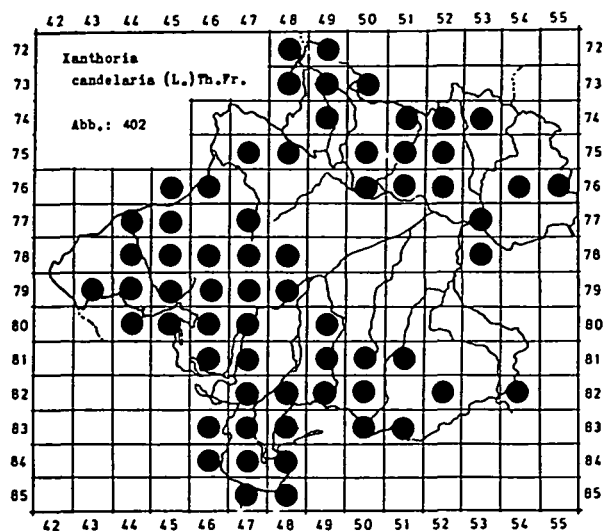


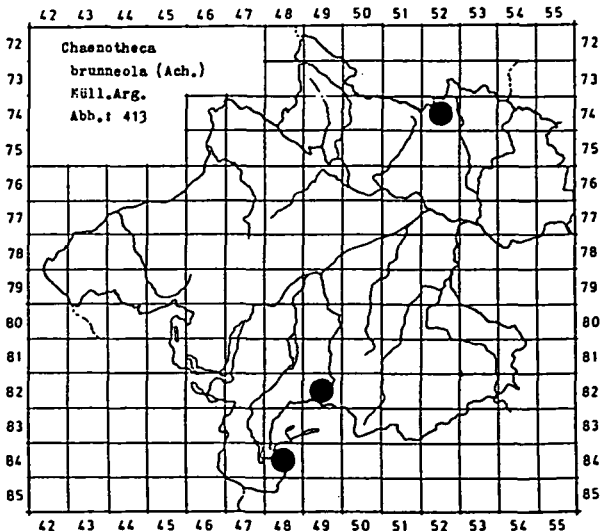
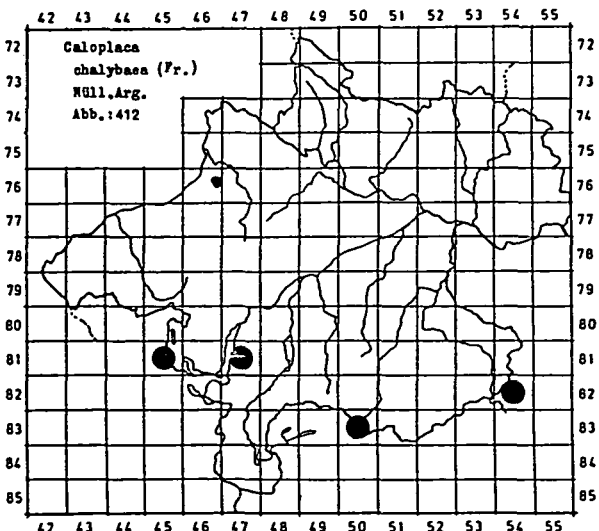
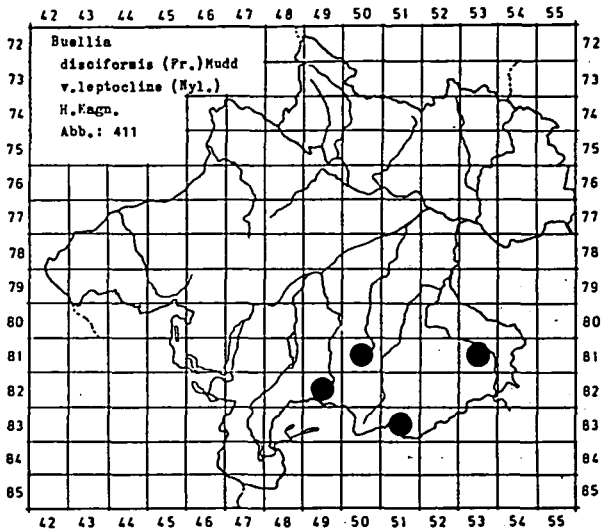
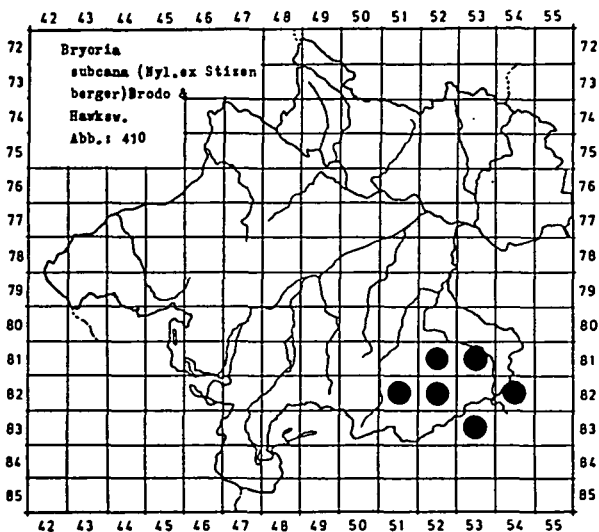
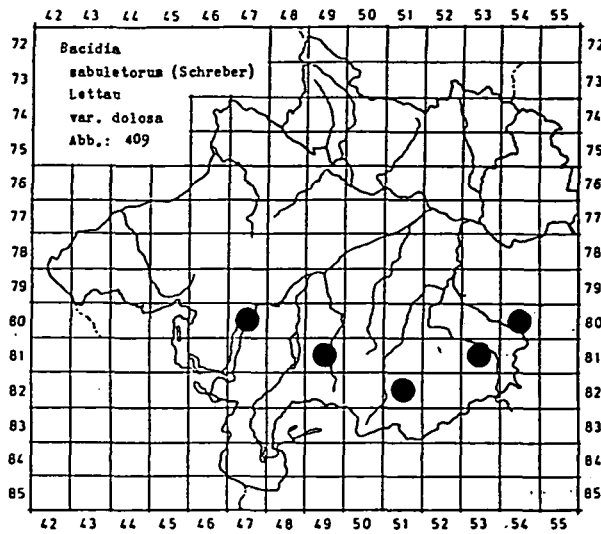
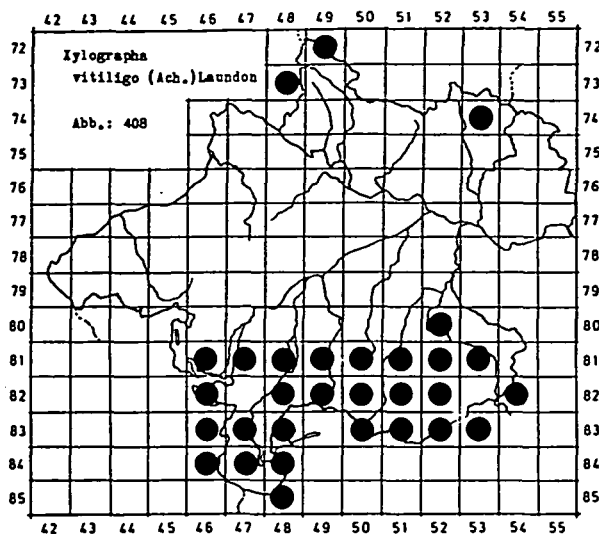


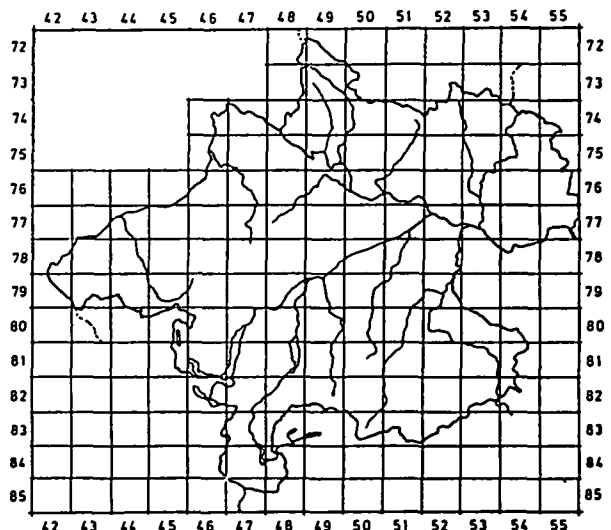
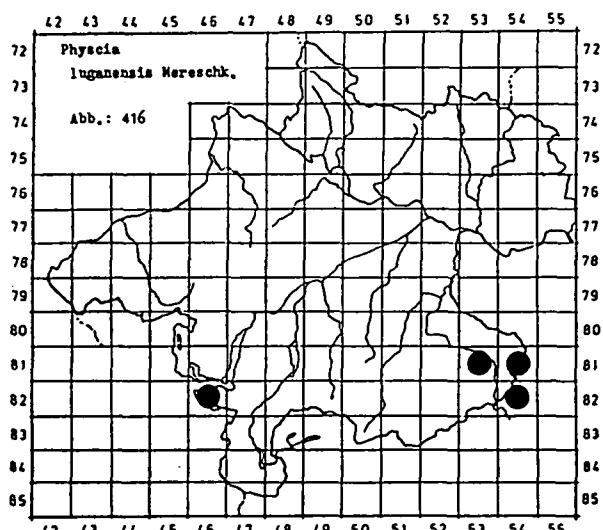
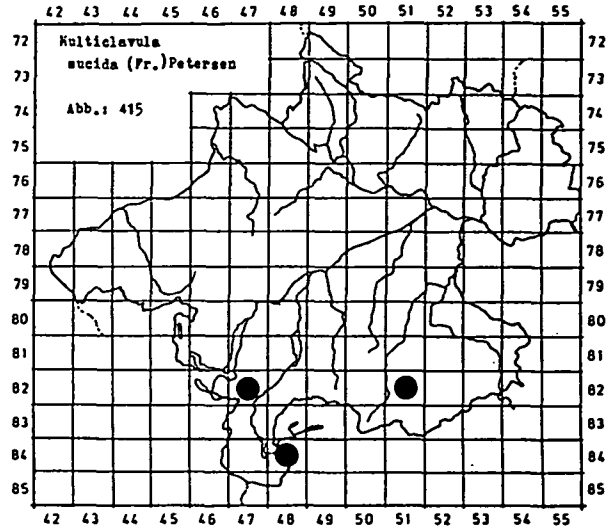
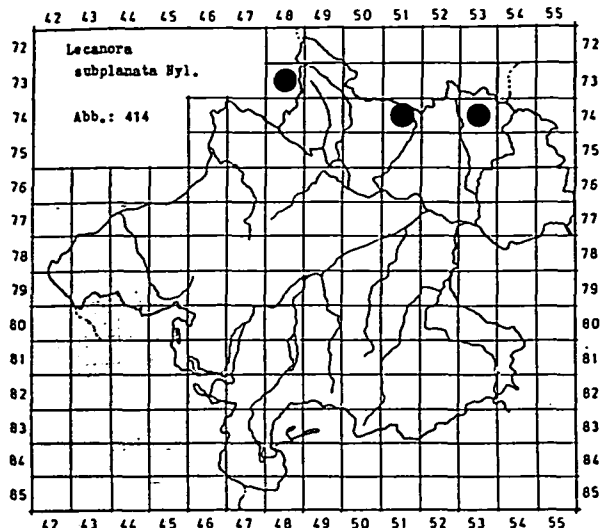












Adresse der Autoren:
Dr. Roman Türk und Helmut Wittmann
Institut für Botanik
Universität Salzburg
Lasserstraße 39
A-5020 Salzburg